

**UNIVERSIDAD NACIONAL DE INGENIERÍA**  
**FACULTAD DE INGENIERÍA GEOLÓGICA, MINERA**  
**Y METALÚRGICA**



**EFICIENCIA DEL CLASIFICADOR STOKES**

**TESIS**

**PARA OPTAR EL TÍTULO PROFESIONAL DE:**

**INGENIERO METALURGISTA**

**PRESENTADO POR:**

**JUAN ANTONIO KOBASHICAWA CHINEN**

**PROMOCIÓN**  
**1999 – II**

**LIMA – PERÚ**  
**2003**

# **EFICIENCIA DEL CLASIFICADOR STOKES**

A Kamisama, Kosey & Teru  
Gracias por siempre, este trabajo va para ustedes.

Mi más sincero agradecimiento a quienes apoyaron mi formación profesional  
En forma especial a Tía Kyoko y Tía Yoshimi.

## TABLA DE CONTENIDOS

|   |           |
|---|-----------|
| <b>PRÓLOGO.....</b>   | <b>1</b>  |
| <b>NOMENCLATURA DE SÍMBOLOS.....</b>  | <b>2</b>  |
| <b>CAPÍTULO 1 INTRODUCCIÓN .....</b>  | <b>10</b> |
| 1.1 <b>OBJETIVOS .....</b>  | 10        |
| 1.2 <b>MÉTODO PARA DETERMINAR LA EFICIENCIA DEL CLASIFICADOR STOKES.</b><br>.....   | 11        |
| 1.3 <b>CONTENIDO DE LA PRESENTE TESIS .....</b>   | 12        |
| <b>CAPÍTULO 2 CORRECCIÓN DE ANÁLISIS GRANULOMÉTRICOS EN</b><br><b>SISTEMAS DE “M+1” ENTRADAS Y “N+1” SALIDAS POR MULTIPLICADORES</b><br><b>DE LAGRANGE.....</b> | <b>15</b> |
| 2.1 <b>INTRODUCCIÓN.....</b>  | 15        |
| 2.2 <b>BALANCE DE MASA: .....</b>   | 18        |
| 2.3 <b>ECUACIONES DE BALANCE DE MASA:.....</b>  | 20        |
| 2.4 <b>MÉTODO LAGRANGIANO .....</b>   | 27        |
| 2.5 <b>RESUMEN DEL MÉTODO.....</b>  | 31        |
| 2.6 <b>PROPIEDADES PARA LA CORRÉCCION DE ANÁLISIS GRANULOMÉTRICO</b><br><b>POR MULTIPLICADORES DE LAGRANGE EN EL SISTEMA EMPLEADO .....</b>                     | 33        |
| <b>CAPÍTULO 3 CORRECCIÓN DE ANÁLISIS GRANULOMÉTRICOS DEL</b><br><b>CLASIFICADOR STOKES.....</b>   | <b>37</b> |
| 3.1 <b>INTRODUCCIÓN.....</b>  | 37        |
| 3.2 <b>ESQUEMA DEL CLASIFICADOR STOKES .....</b>  | 39        |
| 3.3 <b>MÉTODO DE LA CORRECCIÓN.....</b>   | 40        |
| 3.4 <b>ANÁLISIS GRANULOMÉTRICO. ....</b>  | 41        |
| 3.5 <b>CORRECCIÓN DE LOS ANÁLISIS GRANULOMÉTRICOS.....</b>  | 43        |
| 3.5.1 <b>Resolver la ecuación lineal <math>A \cdot X=B</math> para obtener los caudales corregidos: .</b>   | 43        |
| 3.5.2 <b>Hallar los errores para cada malla: .....</b>  | 48        |
| 3.5.3 <b>Hallar los Multiplicadores de Lagrange para cada malla.....</b>  | 49        |
| 3.5.4 <b>Hallar las correcciones:.....</b>  | 50        |
| 3.5.5 <b>Corregir los Análisis Granulométricos .....</b>  | 50        |

|       |   |           |
|-------|---|-----------|
| 3.5.6 | Análisis Granulométricos Corregidos.....  | 51        |
| 3.5.7 | Hallar el Error de la corrección: .....   | 51        |
| 3.6   | <b>CORRECCIÓN DE LOS ANÁLISIS GRANULOMÉTRICOS DE PORCENTAJES ACUMULADOS .....</b> | <b>52</b> |

**CAPÍTULO 4 CORRECCIÓN DE ANÁLISIS QUÍMICO EN EL SISTEMA POR MULTIPLICADORES DE LAGRANGE .....** 54

|     |   |    |
|-----|---|----|
| 4.1 | INTRODUCCIÓN.....   | 54 |
| 4.2 | BALANCE DE MASA: .....  | 56 |
| 4.3 | ECUACIONES DE BALANCE POR UN ELEMENTO X:.....   | 57 |
| 4.4 | MÉTODO LAGRANGIANO .....  | 60 |
| 4.5 | RESUMEN DEL MÉTODO.....   | 84 |
| 4.6 | PROPIEDADES PARA LA CORRÉCCION DE ANÁLISIS QUÍMICO POR MULTIPLICADORES DE LAGRANGE EN EL SISTEMA EMPLEADO ..... | 88 |

**CAPÍTULO 5 CORRECCIÓN DE ANÁLISIS QUÍMICO DEL CLASIFICADOR STOKES .....** 92

|        |   |           |
|--------|---|-----------|
| 5.1    | INTRODUCCIÓN.....   | 92        |
| 5.2    | BALANCE DE MASA: .....  | 93        |
| 5.3    | <b>CORRECCIÓN DE LOS ANÁLISIS QUÍMICOS .....</b>                                      | <b>94</b> |
| 5.3.1  | Corregir los Análisis Granulométricos .....   | 94        |
| 5.3.2  | Hallar los errores: .....   | 95        |
| 5.3.3  | Hallar las Matrices:.....   | 96        |
| 5.3.4  | Calcular las Matrices $\bar{H}$ y $\bar{\Phi}_0$ .....                                | 99        |
| 5.3.5  | Hallar los Multiplicadores de Lagrange para cada Intervalo de Tamaño ...              | 102       |
| 5.3.6  | Hallar los Multiplicadores de Lagrange de flujos de Entrada y Salida del Sistema..... | 107       |
| 5.3.7  | Hallar las correcciones para cada Intervalo de Tamaño. ....                           | 109       |
| 5.3.8  | Hallar las Correcciones para los flujos (Entradas y Salidas del Sistema)...           | 110       |
| 5.3.9  | Corregir las Leyes.....   | 111       |
| 5.3.10 | Hallar el Error .....   | 111       |

**CAPÍTULO 6 ANÁLISIS ESTADÍSTICO .....** 113

|       |   |            |
|-------|---|------------|
| 6.1   | INTRODUCCIÓN.....   | 113        |
| 6.2   | FÓRMULAS ESTADÍSTICAS:.....   | 115        |
| 6.3   | <b>FUNCIONES DE DISTRIBUCIÓN .....</b>  | <b>116</b> |
| 6.3.1 | Variación de Parámetros de las funciones de Distribución según el Coeficiente de Variación: .....                                     | 126        |
| 6.3.2 | Gráficas de las Funciones de Distribución variando el Coeficiente de Variación a un Tamaño Medio igual a 1000 $\mu$ m constante. .... | 132        |
| 6.4   | <b>ANÁLISIS GRANULOMÉTRICOS.....</b>  | <b>136</b> |
| 6.4.1 | Porcentaje en Peso .....  | 136        |
| 6.4.2 | Porcentaje Acumulado Pasante.....   | 138        |
| 6.4.3 | Ajuste a las Funciones de Distribución.....   | 139        |

|         |   |     |
|---------|---|-----|
| 6.4.3.1 | <i>Consideraciones para determinar que función de distribución puede representar una muestra.</i> ..... | 148 |
|---------|---|-----|

## **CAPÍTULO 7 CÁLCULO DE LA EFICIENCIA DEL CLASIFICADOR STOKES. 153**

|         |  |     |
|---------|--|-----|
| 7.1     | <b>INTRODUCCIÓN</b> .....  | 153 |
| 7.2     | <b>CÁLCULO DE LOS ANÁLISIS GRANULOMÉTRICOS DE LOS REBOSES</b> .....            | 156 |
| 7.2.1   | Análisis Granulométricos Calculados (Rebose de Cámaras).....                   | 158 |
| 7.3     | <b>DETERMINACIÓN DE LAS CURVAS DE PARTICIÓN</b> .....                          | 159 |
| 7.3.1   | Curvas de Partición Ideales.....   | 160 |
| 7.3.2   | Curvas de Partición.....   | 161 |
| 7.4     | <b>CÁLCULO DEL PARÁMETRO D50</b> .....   | 162 |
| 7.5     | <b>CORRECCIÓN DE LAS CURVAS DE PARTICION</b> .....                             | 163 |
| 7.6     | <b>ECUACIONES DE LA CURVA DE PARTICIÓN CORREGIDA</b> .....                     | 164 |
| 7.6.1   | Plitt.....   | 165 |
| 7.6.2   | Lynch.....   | 165 |
| 7.6.3   | Distribución LogNormal.....  | 165 |
| 7.6.4   | Logística en $\ln(x)$ .....  | 165 |
| 7.6.4.1 | <i>Método para ajustar los parámetros a la curvas de Partición.</i> .....      | 166 |
| 7.6.5   | Parámetros de las Funciones Ajustadas .....                                    | 168 |
| 7.6.6   | Gráficos de los Datos y Funciones Ajustadas.....                               | 169 |
| 7.6.7   | Cálculo del parámetro $d_{50c}$ (Corregido). .....                             | 173 |
| 7.6.8   | Curvas de Partición Reducidas .....  | 174 |
| 7.7     | <b>EFICIENCIA DE CLASIFICACIÓN.</b> .....                                      | 177 |
| 7.7.1   | Eficiencia de Finos: .....   | 178 |
| 7.7.2   | Eficiencia de Gruesos: .....   | 178 |
| 7.7.3   | Eficiencia de una Cámara (Spigot).....   | 179 |
| 7.7.4   | Eficiencia del Clasificador Stokes .....                                       | 182 |
| 7.7.4.1 | <i>Eficiencias Calculadas</i> .....  | 182 |
| 7.8     | <b>VARIACIÓN DE EFICIENCIA RESPECTO A PARÁMETROS DE LAS CURVAS TROMP</b> ..... | 182 |

## **CAPÍTULO 8 FUNCIONES DE LAS CURVAS DE PARTICIÓN..... 184**

|       |   |     |
|-------|---|-----|
| 8.1   | <b>INTRODUCCIÓN</b> .....   | 184 |
| 8.2   | <b>PENDIENTE DE LA CURVA DE PARTICIÓN EN FUNCIÓN DEL PARÁMETRO DE FACTOR DE FORMA DE LAS ECUACIONES</b> ..... | 185 |
| 8.2.1 | Para la Ecuación de Plitt.....  | 187 |
| 8.2.2 | Para la Ecuación de Lynch: .....  | 188 |
| 8.2.3 | Para la distribución Log-Normal .....   | 189 |
| 8.2.4 | Para la función Logística en $\ln(x)$ .....   | 190 |
| 8.3   | <b>MÉTODO PARA EL AJUSTE A LA CURVA DE LYNCH</b> .....  | 192 |

## **CAPÍTULO 9 PROGRAMACIÓN EN MATLAB..... 194**

|         |   |     |
|---------|---|-----|
| 9.1     | <b>INTRODUCCIÓN</b> .....                   | 194 |
| 9.2     | <b>TIPOS DE ARCHIVOS USADOS</b> .....       | 194 |
| 9.2.1   | Archivos-MAT: .....                         | 195 |
| 9.2.1.1 | <i>Archivos-MAT: Ingreso de Datos</i> ..... | 195 |

|  |   |                   |
|--|---|-------------------|
| 9.2.2  | Archivos-M: Funciones y Programas ..... | 198               |
| 9.2.3  | Archivos-RPT: Resultados en HTML .....  | 199               |
| <b><u>RESULTADOS Y DISCUSIÓN .....</u></b>   |   | <b><u>231</u></b> |
| <b><u>CONCLUSIONES.....</u></b>  |   | <b><u>237</u></b> |
| CORRECCIÓN DE ANÁLISIS GRANULOMÉTRICOS POR MULTIPLICADORES DE LAGRANGE..... 237  |   |                   |
| CORRECCIÓN DE ANÁLISIS QUÍMICO POR MULTIPLICADORES DE LAGRANGE. 238  |   |                   |
| ANÁLISIS ESTADÍSTICO..... 239  |   |                   |
| CÁLCULO DE LA EFICIENCIA DEL CLASIFICADOR STOKES ..... 242   |   |                   |
| PROGRAMACIÓN EN MATLAB..... 244  |   |                   |
| <b><u>REFERENCIAS BIBLIOGRÁFICAS .....</u></b>   |   | <b><u>245</u></b> |
| <b><u>ANEXOS.....</u></b>  |   | <b><u>247</u></b> |
| PROGRAMA PARA CALCULAR LA EFICIENCIA DEL CLASIFICADOR STOKES EN MATLAB. .... 248   |   |                   |
| PROGRAMA PARA CORREGIR LOS ANALISIS GRANULOMETRICOS DEL CLASIFICADOR STOKES EN MATLAB. .... 260                          |   |                   |
| PROGRAMA PARA CORREGIR LOS ANALISIS QUIMICOS DEL CLASIFICADOR STOKES EN MATLAB..... 264                                  |   |                   |
| PROGRAMA PARA AJUSTAR LOS ANALISIS GRANULOMÉTRICOS A LAS FUNCIONES DE DISTRIBUCION PRESENTADAS EN EL CAPÍTULO 6..... 268 |   |                   |
| PROGRAMA PARA AJUSTAR LOS ANALISIS GRANULOMÉTRICOS A LA FUNCIÓN DE GATES GAUDIN SCHUHMAN ..... 272                       |   |                   |
| PROGRAMA PARA AJUSTAR LOS ANALISIS GRANULOMÉTRICOS A LA FUNCIÓN DE GAUDIN MELOY..... 273                                 |   |                   |
| PROGRAMA PARA AJUSTAR LOS ANALISIS GRANULOMÉTRICOS A LA FUNCIÓN DE ROSIN RAMMLER ..... 275                               |   |                   |
| PROGRAMA PARA AJUSTAR LOS ANALISIS GRANULOMÉTRICOS A LA DISTRIBUCIÓN NORMAL..... 276                                     |   |                   |
| PROGRAMA PARA AJUSTAR LOS ANALISIS GRANULOMÉTRICOS A LA DISTRIBUCIÓN NORMAL MODIFICADA ..... 278                         |   |                   |
| PROGRAMA PARA AJUSTAR LOS ANALISIS GRANULOMÉTRICOS A LA DISTRIBUCIÓN LOG-NORMAL..... 280                                 |   |                   |
| PROGRAMA PARA AJUSTAR LOS ANALISIS GRANULOMÉTRICOS A LA DISTRIBUCIÓN GAMMA ..... 282                                     |   |                   |
| PROGRAMA PARA AJUSTAR LOS ANALISIS GRANULOMÉTRICOS A LA FUNCIÓN DE BROADBENT CALLCOTT ..... 284                          |   |                   |
| PROGRAMA PARA AJUSTAR LOS ANALISIS GRANULOMÉTRICOS A LA FUNCIÓN DE HARRIS ..... 285                                      |   |                   |
| PROGRAMA PARA AJUSTAR LOS ANALISIS GRANULOMÉTRICOS A LA DISTRIBUCIÓN BETA..... 287                                       |   |                   |
| PROGRAMA PARA AJUSTAR LAS CURVAS DE PARTICIÓN ..... 289  |   |                   |
| PROGRAMA PARA AJUSTAR A LA FUNCIÓN DE PLITT ..... 291  |   |                   |
| PROGRAMA PARA AJUSTAR A LA FUNCIÓN DE LYNCH ..... 292  |   |                   |

|  |            |
|--|------------|
| <b>PROGRAMA PARA AJUSTAR A LA DISTRIBUCIÓN LOG-NORMAL.....</b>   | <b>293</b> |
| <b>PROGRAMA PARA AJUSTAR A LA FUNCIÓN LOGÍSTICA EN LN(X).....</b>  | <b>294</b> |
| <b>MÉTODO PARA OBTENER LOS TAMAÑOS PROMEDIOS DE LOS INTERVALOS DE UN<br/>ANÁLISIS GRANULOMÉTRICO. ....</b> | <b>295</b> |
| <b>PROGRAMA PARA OBTENER LOS TAMAÑOS PROMEDIOS DE LOS INTERVALOS..</b>                                     | <b>300</b> |
| <b>INTERPOLACION DE LAGRANGE .....</b>   | <b>302</b> |



## PRÓLOGO

Este trabajo se basó en análisis granulométricos y químicos del clasificador Stokes que comprenden una alimentación y siete productos. Estos análisis fueron tomados en la Practica Pre-Profesional que realicé a inicios de 1998 en la compañía minera Minsur S. A.

Por lo que se puede observar en este trabajo, gran parte del mismo es el desarrollo de ecuaciones, el comportamiento de ciertas funciones tanto de distribución como de curvas de partición. En sí, si bien es muy teórico, se quiso aplicar a un caso específico en la industria y un tanto más complicado (matemáticamente) como en el caso del Clasificador Stokes, para esto se presentan casi todos los pasos realizados en cada cálculo (en tablas).

J. A. Kobashicawa

## NOMENCLATURA DE SÍMBOLOS

Para las correcciones de Análisis Granulométricos y Químicos por  
Multiplicadores de Lagrange. Capítulos 2, 3, 4, y 5.

| Símbolo                          | Significado  | Dimensiones           |
|----------------------------------|--|-----------------------|
| $A$                              | Flujo de la Entrada Principal al Sistema   | $\frac{Masa}{Tiempo}$ |
| $E_i$<br>$i = 1, 2, \dots, m$    | Flujo de la Entrada "i" al Sistema   | $\frac{Masa}{Tiempo}$ |
| $Z$                              | Flujo de la Salida Principal del Sistema   | $\frac{Masa}{Tiempo}$ |
| $S_j$<br>$j = 1, 2, \dots, n$    | Flujo de la Salida "j" del Sistema   | $\frac{Masa}{Tiempo}$ |
| $m$                              | Número de Entradas al Sistema (Exceptuando la Entrada Principal "A".)  | Adimensional          |
| $n$                              | Número de Salidas del Sistema (Exceptuando la Salida Principal "Z".)   | Adimensional          |
| $k$                              | Número de intervalos de tamaños  | Adimensional          |
| $u$<br>$u = 1, 2, \dots, k$      | Intervalo de tamaño <sup>1</sup>   | Adimensional          |
| $fA^u$                           | Fracción en peso del Análisis Granulométrico de la Entrada principal "A" correspondiente al intervalo de tamaño "u". | Adimensional          |
| $fE_i^u$<br>$i = 1, 2, \dots, m$ | Fracción en peso del Análisis Granulométrico de la Entrada "i" correspondiente al intervalo de tamaño "u".           | Adimensional          |
| $fZ^u$                           | Fracción en peso del Análisis Granulométrico de la Salida principal "Z" correspondiente al intervalo de tamaño "u".  | Adimensional          |

<sup>1</sup> Por simplicidad en el desarrollo de las ecuaciones de balance de masa (Capítulo 2 y 4) se omitirá este termino "u". Por ejemplo se usará:  $fA$  en vez de  $fA^u$ . No se deberá confundir a este superíndice "u" como un exponente.

|                                       |  |                       |
|---------------------------------------|--|-----------------------|
| $fS_j^u$<br>$j = 1, 2, \dots, n$      | Fracción en peso del Análisis Granulométrico de la Salida "j" correspondiente al intervalo de tamaño "u".                      | Adimensional          |
| $Ac$                                  | Flujo de la Entrada Principal Corregida al Sistema   | $\frac{Masa}{Tiempo}$ |
| $Eic$<br>$i = 1, 2, \dots, m$         | Flujo de la Entrada "i" Corregida al Sistema   | $\frac{Masa}{Tiempo}$ |
| $Zc$                                  | Flujo de la Salida Principal Corregida del Sistema   | $\frac{Masa}{Tiempo}$ |
| $Sjc$<br>$j = 1, 2, \dots, n$         | Flujo de la Salida "j" Corregida del Sistema   | $\frac{Masa}{Tiempo}$ |
| $fAc^u$                               | Fracción en peso del Análisis Granulométrico Corregido del Entrada principal "A" correspondiente al intervalo de tamaño "u".   | Adimensional          |
| $fEic^u$<br>$i = 1, 2, \dots, m$      | Fracción en peso del Análisis Granulométrico Corregido de la Entrada "i" correspondiente al intervalo de tamaño "u".           | Adimensional          |
| $fZc^u$                               | Fracción en peso del Análisis Granulométrico Corregido de la Salida principal "Z" correspondiente al intervalo de tamaño "u".  | Adimensional          |
| $fSjc^u$<br>$j = 1, 2, \dots, n$      | Fracción en peso del Análisis Granulométrico Corregido de la Salida "j" correspondiente al intervalo de tamaño "u".            | Adimensional          |
| $\alpha_i$<br>$i = 1, 2, \dots, m$    | Relación de Flujos de la Entrada "i" con Respecto a la Entrada Principal "A".<br>$\alpha_i = \frac{E_i}{A}$                    | Adimensional          |
| $\beta_j$<br>$j = 1, 2, \dots, n$     | Relación de Flujos de la Salida "j" con Respecto a la Entrada Principal "A".<br>$\beta_j = \frac{S_j}{A}$                      | Adimensional          |
| $\beta_Z$                             | Relación de Flujos de la Salida Principal "Z" con Respecto a la Entrada Principal "A".<br>$\beta_Z = \frac{Z}{A}$              | Adimensional          |
| $\Delta Q^u$                          | Error por los Flujos (Caudales) (Factores $\alpha_i$ , $\beta_j$ y $\beta_Z$ ) para el intervalo de tamaño "u".                | Adimensional          |
| $\alpha_{ic}$<br>$i = 1, 2, \dots, m$ | Relación de Flujos Corregidos de la Entrada "i" con Respecto a la Entrada Principal "A".<br>$\alpha_{ic} = \frac{E_{ic}}{A_c}$ | Adimensional          |
| $\beta_{jc}$<br>$j = 1, 2, \dots, n$  | Relación de Flujos Corregidos de la Salida "j" con Respecto a la Entrada Principal "A".  | Adimensional          |

|  |  |                           |
|--|--|---------------------------|
|  | $\beta_{jc} = \frac{S_{jc}}{Ac}$   |                           |
| $\beta_{Zc}$                           | Relación de Flujos Corregidos de la Salida Principal "Z" con Respecto a la Entrada Principal "A".<br>$\beta_{Zc} = \frac{Zc}{Ac}$  | Adimensional              |
| $\Delta M^u$                           | Error por los Flujos (Caudales) Corregidos (Factores $\alpha_{ic}$ , $\beta_{jc}$ y $\beta_{Zc}$ ) para el intervalo de tamaño "u".<br>Nota: $\Delta M^u$ es el valor mínimo de: $\Delta Q^u$<br>$\Delta M^u = \min(\Delta Q^u)$ | Adimensional              |
| $\Delta fA^u$                          | Corrección de la Fracción en peso del Análisis Granulométrico del Entrada principal "A" correspondiente al intervalo de tamaño "u".<br>$\Delta fA^u = fA^u - fAc^u$  | Adimensional              |
| $\Delta fEi^u$<br>$i = 1, 2, \dots, m$ | Corrección de la Fracción en peso del Análisis Granulométrico de la Entrada "i" correspondiente al intervalo de tamaño "u".<br>$\Delta fEi^u = fEi^u - fEic^u$   | Adimensional              |
| $\Delta fZ^u$                          | Corrección de la Fracción en peso del Análisis Granulométrico de la Salida principal "Z" correspondiente al intervalo de tamaño "u".<br>$\Delta fZ^u = fZ^u - fZc^u$   | Adimensional              |
| $\Delta fSj^u$<br>$j = 1, 2, \dots, n$ | Corrección de la Fracción en peso del Análisis Granulométrico de la Salida "j" correspondiente al intervalo de tamaño "u".<br>$\Delta fSj^u = fSj^u - fSjc^u$  | Adimensional              |
| $L(X, \lambda)$                        | Función Lagrangiana  | Adimensional              |
| $X$                                    | Parámetro de la Función Lagrangiana compuesto de todas las correcciones " $\Delta$ ".  | Adimensional              |
| $\lambda^u$                            | Multiplicador de Lagrange para el intervalo de tamaño "u" para la corrección de Análisis Granulométricos.  | Adimensional              |
| $S$                                    | Error de la Corrección (Sumatoria de las correcciones al cuadrado).  | Adimensional              |
| $LA$                                   | Análisis Químico del Flujo de la Entrada Principal al Sistema (Ley)  | Adimensional <sup>2</sup> |
| $LEi$                                  | Análisis Químico del Flujo de la Entrada "i" al  | Adimensional              |

<sup>2</sup> Los Análisis Químicos son Adimensionales debido a que estos están expresados por ejemplo como

$$\% \text{ ó como } \frac{gr}{t} = \frac{Masa}{Masa}$$

|                                      |  |              |
|--------------------------------------|--|--------------|
| $i = 1, 2, \dots, m$                 | Sistema  |              |
| $LZ$                                 | Análisis Químico del Flujo de la Salida Principal del Sistema  | Adimensional |
| $LS_j$<br>$j = 1, 2, \dots, n$       | Análisis Químico del Flujo de la Salida "j" del Sistema  | Adimensional |
| $LfA^u$                              | Análisis Químico de la Fracción en peso del Análisis Granulométrico del Entrada principal "A" correspondiente al intervalo de tamaño "u".            | Adimensional |
| $LfE_i^u$<br>$i = 1, 2, \dots, m$    | Análisis Químico de la Fracción en peso del Análisis Granulométrico de la Entrada "i" correspondiente al intervalo de tamaño "u".                    | Adimensional |
| $LfZ^u$                              | Análisis Químico de la Fracción en peso del Análisis Granulométrico de la Salida principal "Z" correspondiente al intervalo de tamaño "u".           | Adimensional |
| $LfS_j^u$<br>$j = 1, 2, \dots, n$    | Análisis Químico de la Fracción en peso del Análisis Granulométrico de la Salida "j" correspondiente al intervalo de tamaño "u".                     | Adimensional |
| $LAc$                                | Análisis Químico Corregido del Flujo de la Entrada Principal al Sistema  | Adimensional |
| $LE_{ic}$<br>$i = 1, 2, \dots, m$    | Análisis Químico Corregido del Flujo de la Entrada "i" al Sistema  | Adimensional |
| $LZc$                                | Análisis Químico Corregido del Flujo de la Salida Principal del Sistema  | Adimensional |
| $LS_{jc}$<br>$j = 1, 2, \dots, n$    | Análisis Químico Corregido del Flujo de la Salida "j" del Sistema  | Adimensional |
| $LfAc^u$                             | Análisis Químico Corregido de la Fracción en peso del Análisis Granulométrico del Entrada principal "A" correspondiente al intervalo de tamaño "u".  | Adimensional |
| $LfE_{ic}^u$<br>$i = 1, 2, \dots, m$ | Análisis Químico Corregido de la Fracción en peso del Análisis Granulométrico de la Entrada "i" correspondiente al intervalo de tamaño "u".          | Adimensional |
| $LfZc^u$                             | Análisis Químico Corregido de la Fracción en peso del Análisis Granulométrico de la Salida principal "Z" correspondiente al intervalo de tamaño "u". | Adimensional |
| $LfS_{jc}^u$<br>$j = 1, 2, \dots, n$ | Análisis Químico Corregido de la Fracción en peso del Análisis Granulométrico de la Salida "j" correspondiente al intervalo de tamaño "u".           | Adimensional |
| $\Delta M_q^u$                       | Error por los Análisis Químicos de las Fracciones en peso del Análisis Granulométrico correspondiente al intervalo de tamaño "u".                    | Adimensional |
| $\Delta M_q A$                       | Error por los Análisis Químicos de la Entrada Principal "A".<br>Ej: Ley de Cabeza - Ley de Cabeza Calculada  | Adimensional |
| $\Delta M_q E_i$                     | Error por los Análisis Químicos de la Entrada "i".   | Adimensional |
| $\Delta M_q Z$                       | Error por los Análisis Químicos de la Salida   | Adimensional |

|   |  |              |
|---|--|--------------|
|   | Principal "Z".   |              |
| $\Delta MqSj$                           | Error por los Análisis Químicos de la Salida Principal "j".  | Adimensional |
| $\Delta LA$                             | Corrección del Análisis Químico de la Entrada principal "A".<br>$\Delta LA = LA - LAc$   | Adimensional |
| $\Delta LEi$<br>$i = 1, 2, \dots, m$    | Corrección del Análisis Químico de la Entrada "i".<br>$\Delta LEi = LEi - LEic$  | Adimensional |
| $\Delta LZ$                             | Corrección del Análisis Químico de la Salida principal "Z".<br>$\Delta LZ = LZ - LZc$  | Adimensional |
| $\Delta LSj$<br>$j = 1, 2, \dots, n$    | Corrección del Análisis Químico de la Salida "j".<br>$\Delta LSj = LSj - LSjc$   | Adimensional |
| $\Delta LfA''$                          | Corrección del Análisis Químico de la Fracción en peso del Análisis Granulométrico del Entrada principal "A" correspondiente al intervalo de tamaño "u".<br>$\Delta LfA'' = LfA'' - LfAc''$  | Adimensional |
| $\Delta LfEi''$<br>$i = 1, 2, \dots, m$ | Corrección del Análisis Químico de la Fracción en peso del Análisis Granulométrico de la Entrada "i" correspondiente al intervalo de tamaño "u".<br>$\Delta LfEi'' = LfEi'' - LfEic''$       | Adimensional |
| $\Delta LfZ''$                          | Corrección del Análisis Químico de la Fracción en peso del Análisis Granulométrico de la Salida principal "Z" correspondiente al intervalo de tamaño "u".<br>$\Delta LfZ'' = LfZ'' - LfZc''$ | Adimensional |
| $\Delta LfSj''$<br>$j = 1, 2, \dots, n$ | Corrección del Análisis Químico de la Fracción en peso del Análisis Granulométrico de la Salida "j" correspondiente al intervalo de tamaño "u".<br>$\Delta LfSj'' = LfSj'' - LfSjc''$        | Adimensional |
| $\lambda q''$                           | Multiplicador de Lagrange para el intervalo de tamaño "u" para la corrección de Análisis Químico.  | Adimensional |
| $\lambda A$                             | Multiplicador de Lagrange para la corrección del Análisis Químico de la Entrada Principal "A".   | Adimensional |
| $\lambda Ei$<br>$i = 1, 2, \dots, m$    | Multiplicador de Lagrange para la corrección del Análisis Químico de la Entrada "i".   | Adimensional |
| $\lambda Z$                             | Multiplicador de Lagrange para la corrección del Análisis Químico de la Salida Principal "Z".  | Adimensional |
| $\lambda Sj$<br>$j = 1, 2, \dots, n$    | Multiplicador de Lagrange para la corrección del Análisis Químico de la Salida "j".  | Adimensional |

Para el Análisis Estadístico. Capítulo 6.

| <b>Símbolo</b> | <b>Significado</b>  | <b>Dimensiones</b>                       |
|----------------|---|--|
| $X_p$          | Tamaño Promedio del Intervalo de Tamaños.   | Longitud                                 |
| $X$            | Tamaño Mínimo del Intervalo de Tamaños.   | Longitud                                 |
| $f_i(X_p)$     | Fracción En Peso referido al tamaño $X_p$<br>Fracción de una muestra con tamaño igual a $X_p$ .<br>Probabilidad de que una partícula de una muestra determinada tenga un tamaño igual a $X_p$ .     | Adimensional                             |
| $f(X_p)$       | Función Densidad de Probabilidad.   | $\frac{1}{\text{Longitud}}$ <sup>3</sup> |
| $F(X)$         | Fracción Acumulada Pasante referido al tamaño $X$ :<br>Fracción de una muestra con tamaño menor a $X$ .<br>Probabilidad de que una partícula de una muestra determinada sea de tamaño menor a $X$ . | Adimensional                             |
| $\mu$          | Tamaño Medio  | Longitud                                 |
| $\sigma$       | Desviación Estándar   | Longitud                                 |
| $\sigma^2$     | Varianza  | Longitud <sup>2</sup>                    |
| $CV$           | Coefficiente de Variación   | Adimensional                             |
| $\alpha$       | Factor de Forma de las Funciones de Distribución.   | Adimensional                             |
| $\beta$        | Factor de Forma de las Funciones de Distribución.<br>(Empleado en Funciones de tres parámetros como la de Harris o la Distribución Beta).   | Adimensional                             |
| $X_0$          | Parámetro de Tamaño de las Funciones de Distribución.   | Longitud                                 |
| $\Gamma_{(a)}$ | Función Gamma de $a$  |  |
| $B_{(m,n)}$    | Función Beta de $m$ y $n$   |  |
| $P_{(x,a)}$    | Función Gamma Incompleta de $a$ referido a $x$ .  |  |
| $I_{(x,m,n)}$  | Función Beta Incompleta de $m$ y $n$ referido a $x$ .   |  |

Para el Cálculo de la Eficiencia del Clasificador Stokes y Funciones de las Curvas de Partición. Capítulos 7 y 8.

| <b>Símbolo</b>                | <b>Significado</b>                                       | <b>Dimensiones</b>                  |
|-------------------------------|--|-------------------------------------|
| $R_i$<br>$i = 1, 2, \dots, 5$ | Flujo del Rebose u Overflow de la Cámara (Spigot)<br>“i” | $\frac{\text{Masa}}{\text{Tiempo}}$ |

<sup>3</sup> La dimensión de la función de densidad de probabilidad es la inversa de la dimensión de  $X_p$ , que para nuestro caso en particular es referido a Longitud.

|                                       |  |                                     |
|---------------------------------------|--|-------------------------------------|
| $fRi^i$<br>$i = 1, 2, \dots, 5$       | Fracción en peso del Análisis Granulométrico del Rebose u Overflow de la Cámara (Spigot) "i" correspondiente al intervalo de tamaño "u". | Adimensional                        |
| $\gamma_i$<br>$i = 1, 2, \dots, 5$    | Relación de Flujos del Rebose de la Cámara "i" con Respecto a la Entrada Principal "A".<br>$\gamma_i = \frac{R_i}{A}$                    | Adimensional                        |
| $\gamma_{ic}$<br>$i = 1, 2, \dots, 5$ | Relación de Flujos Corregidos del Rebose de la Cámara "i" con Respecto a la Entrada Principal "A".<br>$\gamma_{ic} = \frac{R_{ic}}{A_c}$ | Adimensional                        |
| $ED(X_p)$                             | Probabilidad de una partícula proveniente del alimento de tamaño $X_p$ de reportarse en la Descarga ó Underflow.                         | Adimensional                        |
| $ER(X_p)$                             | Probabilidad de una partícula proveniente del alimento de tamaño $X_p$ de reportarse en el Rebose ú Overflow.                            | Adimensional                        |
| $d_{50}$                              | Tamaño de partícula que a la cual:<br>$ED(d_{50}) = ER(d_{50}) = 50\%$   | Longitud                            |
| $ED_c(X_p)$                           | Factor $ED(X_p)$ corregido a la cual el Cortocircuito es Cero.<br>$ED_c(X_p) \approx 0 \quad X_p \rightarrow 0$                          | Adimensional                        |
| $ER_c(X_p)$                           | Factor $ER(X_p)$ corregido a la cual el Cortocircuito es Cero.<br>$ER_c(X_p) \approx 1 \quad X_p \rightarrow 0$                          | Adimensional                        |
| $d_{50c}$                             | ( $d_{50}$ corregido) Tamaño de partícula que a la cual:<br>$ED_c(d_{50c}) = ER_c(d_{50c}) = 50\%$                                       | Longitud                            |
| Cortocircuito                         | Se presenta este fenómeno cuando partículas finas que deberían de reportarse al Rebose se reportan en la Descarga.                       |                                     |
| $\bar{E}(0, X_n)$                     | Valor de $ED(X_p)$ donde $X_p$ es el menor tamaño promedio empleado mayor que cero.  | Adimensional                        |
| $FD(X_n)$                             | Fracción Acumulada Pasante en la Descarga (Underflow) correspondiente al Tamaño $X_n$  | Adimensional                        |
| $FR(X_n)$                             | Fracción Acumulada Pasante en el Rebose (Overflow) correspondiente al Tamaño $X_n$   | Adimensional                        |
| $FA(X_n)$                             | Fracción Acumulada Pasante en la Alimentación correspondiente al Tamaño $X_n$  | Adimensional                        |
| $D$                                   | Flujo de la Descarga (Underflow) de la Cámara.   | $\frac{\text{Masa}}{\text{Tiempo}}$ |



|           |  |                       |
|-----------|--|-----------------------|
| $R$       | Flujo del Rebose (Overflow) de la Cámara.  | $\frac{Masa}{Tiempo}$ |
| $A$       | Flujo de la Entrada a la Cámara  | $\frac{Masa}{Tiempo}$ |
| $a$       | Factor de Forma para las Funciones de las Curvas de Partición.   | Adimensional          |
| $X_r$     | Tamaño Medio reducido:<br>$X_r = \frac{X_p}{d50c}$   | Adimensional          |
| $I$       | Imperfección.- Usado para denotar la eficiencia de la separación.<br>$I = \frac{X_{r75} - X_{r25}}{2}$   | Adimensional          |
| $X_{r25}$ | Tamaño Medio Reducido cuando:<br>$ED_c(X_{r25}) = 25\%$  | Adimensional          |
| $X_{r75}$ | Tamaño Medio Reducido cuando:<br>$ED_c(X_{r75}) = 75\%$  | Adimensional          |
| Pendiente | La Pendiente de la Curva de Partición se considera a la Pendiente comprendida entre los valores de $(X_{25}, 25\%)$ y $(X_{75}, 75\%)$<br>$\text{Pendiente} = \frac{0.75 - 0.25}{X_{r75} - X_{r25}} = \frac{1}{4 * I}$ | Adimensional          |

# CAPÍTULO 1 INTRODUCCIÓN

## ***1.1 OBJETIVOS***

Para explicar el contenido de la presente tesis previamente se expondrán los objetivos principales.

- Elaborar un método para determinar la eficiencia del clasificador Stokes
- Elaborar un método general para la corrección de Análisis Granulométricos y Análisis Químicos (Mallas valoradas) en un nodo.
- Ajustar funciones de distribución (para Análisis Granulométrico y Estadísticas) a las muestras y determinar qué tipo de curvas los representan mejor.
- Elaborar el comportamiento de las funciones de distribución variando parámetros estadísticos.
- Implementar el cálculo automático mediante la programación en Matlab.

## ***1.2 MÉTODO PARA DETERMINAR LA EFICIENCIA DEL CLASIFICADOR STOKES.***

Este método se basó en el método propuesto por Quiroz [1] para un hidrociclón. El hidroc clasificador Stoke (una sedimentación obstaculizada por un flujo de agua en contracorriente a presión constante) difiere en funcionamiento de un hidrociclón (uso de fuerzas centrífugas principalmente), pero matemáticamente es muy similar, es decir, se presentan los tamaños de corte ( $d_{50}$ ,  $d_{50c}$ ), curvas de partición alimento, descargas y reboses en cada cámara. Por lo tanto, matemáticamente se puede tratar cada cámara del clasificador Stokes como un hidrociclón; para esto es necesario asumir cada cámara (o el clasificador en si) como una “caja negra”, en la cual sólo se conocen las entradas y salidas en el sistema, es decir, sin saber (o ignorando adrede) lo que ocurre dentro de dicha ‘caja negra’.

El método para determinar la eficiencia del clasificador Stokes puede tomarse tan simple como lo siguiente:

- Corregir los análisis granulométricos.
- Hallar los tamaños de corte ( $d_{50}$ ,  $d_{50c}$ ).
- Determinar la eficiencia de cada cámara análogamente como se haría para un hidrociclón
- Multiplicar dichas eficiencias (esto debido a que las cámaras están en serie).

Por lo expuesto, el método sería análogo para determinar la eficiencia de varios hidrociclones conectados en serie.

### ***1.3 CONTENIDO DE LA PRESENTE TESIS***

En el Capítulo 1 se explica brevemente los principales objetivos de esta tesis, así como el método para hallar la eficiencia del clasificador Stokes y el contenido de cada capítulo.

En el Capítulo 2 se muestra el desarrollo de la corrección de Análisis Granulométricos en un nodo en forma general por el Método de Multiplicadores de Lagrange; se debe de recalcar que para fines prácticos no es necesario entender toda la demostración, si no simplemente revisar los conceptos básicos sobre la realización de un balance de masa y aplicar el “Resumen del Método” como si fuera una receta. Al final de este capítulo se presentan algunas propiedades encontradas en esta corrección en particular.

En el Capítulo 3 se aplica paso a paso dicho Resumen elaborado en el Capítulo 2, de la cual se presentan casi todas las tablas de cálculos para su mejor comprensión.

En el Capítulo 4 se muestra el desarrollo de la corrección de los Análisis Químicos de los Análisis Granulométricos (mallas valoradas). Como se podrá ver en dicho capítulo, es necesario haber corregido previamente los Análisis Granulométricos, y es recomendable que se revise conceptos sobre Álgebra Lineal (en especial a Grossman [2]) por el uso extenso que se hace de las ecuaciones matriciales, ya que sin uso de estas, la corrección y el desarrollo de este método se habría vuelto difícil de comprender. Se presenta así mismo un “Resumen del

Método” y ciertas propiedades de forma análoga al mostrado para la corrección de Análisis Granulométricos (Capítulo 2).

Se debe de hacer hincapié, en que el método puede tomar mucho tiempo y ser tedioso si se trabaja con una hoja de cálculo, pero con ayuda de un paquete como MATLAB esto puede resumirse a unas líneas de un programa, dando resultados incluso más precisos que una hoja de calculo.

En el Capítulo 5 se aplica paso a paso la corrección de Análisis Químico por el método descrito en el Capítulo 4, en la cual se presentan las tablas para su mejor comprensión. Al igual que en Capítulo 3 todos los cálculos de este capítulo se realizó en una hoja de cálculo (Microsoft Excel 2000).

Para el Capítulo 6 se requiere una lectura previa sobre probabilidad, funciones de distribución, funciones de densidad. En este capítulo se da el tratamiento estadístico, en cierta forma muy simple, que es el de hallar los parámetros de Tamaño Medio, Varianza, Desviación Estándar y Coeficiente de Variación. Se exponen también funciones de Distribución, algunas utilizadas comúnmente en el campo de procesamiento de minerales y otras son netamente distribuciones probabilísticas. Se muestra también los datos de ajuste de estas curvas y ciertos comportamientos de las funciones de distribución al variar los parámetros estadísticos mencionados.

En el Capítulo 7 se presenta el método para hallar la eficiencia del Clasificador Stokes, los cálculos también se presentan en tablas. En este capítulo también se incluye el cálculo del parámetro  $d_{50}$  y  $d_{50c}$  por diferentes métodos, por ajuste de curvas (funciones de Plitt, Lynch, distribución Log-Normal y Logística en  $\ln(x)$ ) e interpolaciones.

En el Capítulo 8 se presentan ciertas características de las funciones de las curvas de partición empleadas en el Capítulo 7, como una relación encontrada del factor de forma de dichas funciones con la pendiente e imperfección de las curvas de partición.

En el Capítulo 9 se expone que todos los pasos referentes a los cálculos de la presente tesis se pueden realizar en un programa. Aquí se tuvo la preferencia por MATLAB ya que es un software basado en operaciones de matrices pero de un campo de aplicación amplio, empleándose también en campos de Ingeniería Electrónica, Civil, Industrial, etc. Aparte de la facilidad en la programación (correcciones de los análisis granulométricos y químicos, ajuste de curvas, interpolaciones, generación de gráficos, etc.) tiene una característica importante, que es el de poder compilar todos los resultados en una página de formato "html" lo cual en la industria metalúrgica permitiría acelerar el reporte de resultados.

Respecto a la programación, se recomienda que previamente se haya calculado todos los pasos en otro software (de preferencia una hoja de cálculo) con el fin de detectar errores en el desarrollo del programa.

## **CAPÍTULO 2**

# **CORRECCIÓN DE ANÁLISIS GRANULOMÉTRICOS EN SISTEMAS DE “M+1” ENTRADAS Y “N+1” SALIDAS POR MULTIPLICADORES DE LAGRANGE**

### **2.1 INTRODUCCIÓN**

En el procesamiento de minerales se efectúan muestreos con diversos fines (determinar parámetros de la operación, eficiencia de equipos, detección y análisis de errores en los procesos, etc.). Existen equipos (como el Hidroclasificador Stokes) que pueden tomarse como un nodo en el cual puede haber diferentes alimentaciones y diferentes salidas; en si, esos equipos representan sistemas

Un sistema puede definirse como:

Terminología científica:

“Conjunto de partes que forman un todo unificado.”

Ingeniería:

“Combinación de componentes, elementos, subsistemas y procedimientos operativos, que trabajan juntos para lograr un determinado objetivo.”<sup>4</sup>

---

<sup>4</sup> Christopher Morris. “Diccionario Enciclopédico de Ciencia y Tecnología” Tomo IV. Primera Edición, Prentice Hall Hispanoamericana, S. A. pag 2398.

En nuestro caso, el clasificador Stokes es un sistema que bajo una alimentación en forma de pulpa y un régimen de sedimentación con un flujo de agua en contracorriente a presión constante permite obtener productos con diferentes granulometrías.

Al obtener los Análisis Granulométricos en un nodo determinado, el problema con que uno se encuentra inicialmente es:

“Los Análisis Granulométricos del sistema tienen que ser matemáticamente consistentes.”

¿Que significa esto?

Simplemente que todo lo que entra tiene que ser igual a lo que sale:

Exponiendo un caso simple:

En un proceso  $X$  se sabe que  $A_R = B_R + C_R$

O que:  $3 = 1 + 2$  (asumiendo esto como “real”).

Pero debido a errores de muestreo, análisis, o cualquier operación en la cual se manipule las muestras, nos puede dar valores como:

$$3.1 = 0.9 + 2.3$$

Lo cual no es correcto o “Matemáticamente Inconsistente”.

Es decir tenemos un error de:



$$A - (B + C) = \Delta M$$

$$3.1 - (0.9 + 2.3) = 0.1$$

Ahora el objetivo es hacer que  $\Delta M$  sea cero, con lo cual sería

‘Matemáticamente consistente’. Se establecen valores corregidos como:

$$Ac - [Bc + Cc] = 0$$

ó

$$(A - \Delta A) - [(B - \Delta B) + (C - \Delta C)] = 0$$

Donde:

$A, B, C$  : son los valores muestreados

$Ac, Bc, Cc$  : son los valores corregidos

$\Delta A, \Delta B, \Delta C$  : son las correcciones.

Se puede cumplir dicho objetivo de varias formas. Una de las formas más simples (pero con una mayor distorsión con respecto a los datos originales) es que las correcciones sean iguales:  $\Delta A = \Delta B = \Delta C$

$$(A - \Delta A) - [(B - \Delta B) + (C - \Delta C)] = 0$$

$$A - (B + C) = \Delta A - (\Delta B + \Delta C) = \Delta M$$

Con la cual se obtiene que:

$$\Delta A = \Delta B = \Delta C = \Delta M = 0.1$$

Por lo tanto:

$$Ac = 3.1 - 0.1 = 3.0$$

$$Bc = 0.9 - 0.1 = 0.8$$

$$Cc = 2.3 - 0.1 = 2.2$$

Obteniéndose:

$$Ac - [Bc + Cc] = 3.0 - [0.8 + 2.2] = 0$$

Nótese que esto se aleja de lo “real”

$$3.0 - [1.0 + 2.0] = 0$$

Con esto se debe de tener en cuenta que las correcciones no darán los datos exactos que realmente ocurren en el proceso  $X$  pero serán matemáticamente consistentes y aproximados a los valores reales.

Más aún, de todos los métodos de corrección que podrían elaborarse, se debe de escoger el que menos se desvíe de los datos muestreados (es decir, las correcciones deben de ser de valores mínimos posibles). Es por esta razón que se escogió el método de multiplicadores de Lagrange (ver Lynch [5], Taha [6]). Este método es simplemente un optimizador la cual es usado para minimizar una función objetivo con ecuaciones restrictivas.

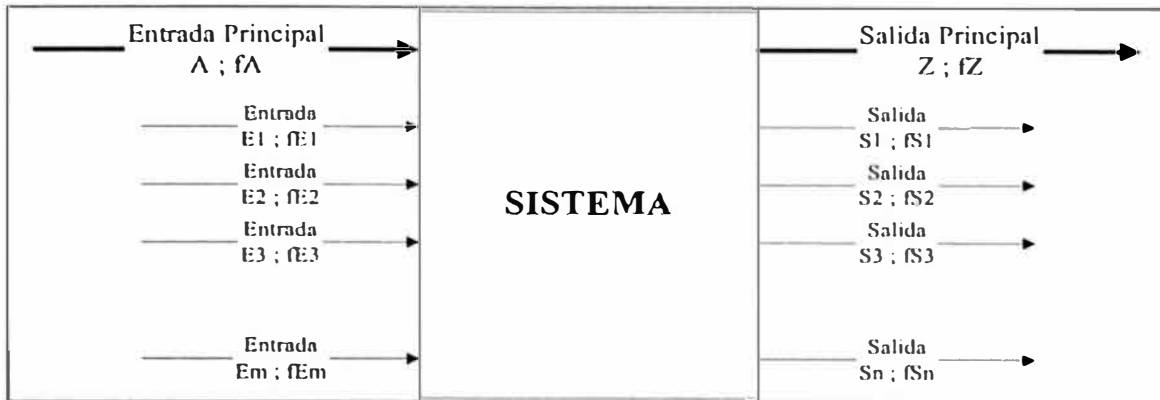
## **2.2 BALANCE DE MASA:**

Se tiene el siguiente sistema:<sup>5</sup>

---

<sup>5</sup> Las fracciones por mallas se han denotado por superíndices que se expresan como números romanos en minúsculas (No son exponentes).

Gráfico 2. 1 Esquema del sistema a corregir.



Para este método se considera que existe una Entrada Principal, una Salida Principal, “m” entradas secundarias y “n” salidas secundarias. Todas estas entradas y salidas están aplicadas a un nodo (sistema) y se considera que en dicho nodo no existen procesos de reducción de tamaños.

Cada una de estas entradas y salidas mencionadas tienen una granulometría determinada que se puede representar por la siguiente tabla:

Tabla 2. 1 Análisis Granulométricos en forma simbólica a corregir.

|                           |                      | ENTRADA           |              |              |     |              | SALIDA            |              |              |     |              |
|---------------------------|----------------------|-------------------|--------------|--------------|-----|--------------|-------------------|--------------|--------------|-----|--------------|
|                           | Flujo<br>(Ej: t/h)   | Ac<br>(Principal) | E1c          | E2c          | ... | Emc          | Zc<br>(Principal) | S1c          | S2c          | ... | Snc          |
|                           | Intervalo<br>Tamaños |                   |              |              |     |              |                   |              |              |     |              |
| Ej: Fracciones<br>en Peso | i                    | $fAc^i$           | $fE1c^i$     | $fE2c^i$     | ... | $fEmc^i$     | $fZc^i$           | $fS1c^i$     | $fS2c^i$     | ... | $fSnc^i$     |
|                           | ii                   | $fAc^{ii}$        | $fE1c^{ii}$  | $fE2c^{ii}$  | ... | $fEmc^{ii}$  | $fZc^{ii}$        | $fS1c^{ii}$  | $fS2c^{ii}$  | ... | $fSnc^{ii}$  |
|                           | iii                  | $fAc^{iii}$       | $fE1c^{iii}$ | $fE2c^{iii}$ | ... | $fEmc^{iii}$ | $fZc^{iii}$       | $fS1c^{iii}$ | $fS2c^{iii}$ | ... | $fSnc^{iii}$ |
|                           | ...                  | ...               | ...          | ...          | ... | ...          | ...               | ...          | ...          | ... | ...          |
|                           | k-1                  | $fAc^{k-1}$       | $fE1c^{k-1}$ | $fE2c^{k-1}$ | ... | $fEmc^{k-1}$ | $fZc^{k-1}$       | $fS1c^{k-1}$ | $fS2c^{k-1}$ | ... | $fSnc^{k-1}$ |
|                           | k                    | $fAc^k$           | $fE1c^k$     | $fE2c^k$     | ... | $fEmc^k$     | $fZc^k$           | $fS1c^k$     | $fS2c^k$     | ... | $fSnc^k$     |

k: Intervalo de tamaños más fino (equivale también al número de intervalos de tamaño).

### 2.3 ECUACIONES DE BALANCE DE MASA:

Se presentan las ecuaciones ideales (error=0) y/o corregidas.

Caudales corregidos (Flujos):

#### Ecuación 2. 1

$$A_c + E_{1c} + E_{2c} + \dots + E_{mc} = S_{1c} + S_{2c} + \dots + S_{nc} + Z_c$$

Mallas corregidas

#### Ecuación 2. 2

$$f_{A_c} \cdot A_c + f_{E_{1c}} \cdot E_{1c} + f_{E_{2c}} \cdot E_{2c} + \dots + f_{E_{mc}} \cdot E_{mc} = f_{S_{1c}} \cdot S_{1c} + f_{S_{2c}} \cdot S_{2c} + \dots + f_{S_{nc}} \cdot S_{nc} + f_{Z_c} \cdot Z_c$$

Se tiene:

$$\frac{E_{1c}}{A_c} = \alpha_{1c}; \frac{E_{2c}}{A_c} = \alpha_{2c}; \frac{E_{mc}}{A_c} = \alpha_{mc}$$

$$\frac{S_{1c}}{A_c} = \beta_{1c}; \frac{S_{2c}}{A_c} = \beta_{2c}; \frac{S_{nc}}{A_c} = \beta_{nc}; \frac{Z_c}{A_c} = \beta_{Zc}$$

Con lo cual se tiene en las ecuaciones de balance de masa:

#### Ecuación 2. 3

$$1 + \alpha_{1c} + \alpha_{2c} + \dots + \alpha_{mc} = \beta_{1c} + \beta_{2c} + \dots + \beta_{nc} + \beta_{Zc}$$

#### Ecuación 2. 4

$$f_{A_c} + f_{E_{1c}} \cdot \alpha_{1c} + f_{E_{2c}} \cdot \alpha_{2c} + \dots + f_{E_{mc}} \cdot \alpha_{mc} = f_{S_{1c}} \cdot \beta_{1c} + f_{S_{2c}} \cdot \beta_{2c} + \dots + f_{S_{nc}} \cdot \beta_{nc} + f_{Z_c} \cdot \beta_{Zc}$$

Para los datos reales se obtendrán los siguientes errores:

El error por los caudales ( $\alpha$  y  $\beta$ ) que se tiene en el análisis granulométrico por cada malla se toma como:

$$\Delta Q^I, \Delta Q^{II}, \Delta Q^{III}, \Delta Q^{IV}, \dots$$

Siendo:

**Ecuación 2. 5**

$$\Delta Q = fA + fE1 * \alpha 1 + fE2 * \alpha 2 + \dots + fEm * \alpha m - (fS1 * \beta 1 + fS2 * \beta 2 + \dots + fSn * \beta n + fZ * \beta Z)$$

El objetivo de esta corrección es: “Hallar los caudales óptimos con los cuales  $\Delta Q$  sea mínimo<sup>6</sup>.”

Para simplificar los cálculos usamos la siguiente relación (análoga a la Ecuación 2.3)

$$\beta Z = 1 + \alpha 1 + \alpha 2 + \dots + \alpha m - (\beta 1 + \beta 2 + \dots + \beta n)$$

Reemplazándolo en la Ecuación 2.5, obtenemos:

$$\Delta Q = fA + fE1 * \alpha 1 + fE2 * \alpha 2 + \dots + fEm * \alpha m - (fS1 * \beta 1 + fS2 * \beta 2 + \dots + fSn * \beta n + fZ * (1 + \alpha 1 + \alpha 2 + \dots + \alpha m - (\beta 1 + \beta 2 + \dots + \beta n)))$$

Simplificando, tenemos:

$$\Delta Q = (fA - fZ) + (fE1 - fZ) * \alpha 1 + (fE2 - fZ) * \alpha 2 + \dots + (fEm - fZ) * \alpha m - ((fS1 - fZ) * \beta 1 + (fS2 - fZ) * \beta 2 + \dots + (fSn - fZ) * \beta n)$$

Se tiene:

**Ecuación 2. 6**

$$\Delta Q = (fA - fZ) + \sum_{i=1}^{i=m} [(fEi - fZ) * \alpha i] - \sum_{j=1}^{j=n} [(fSj - fZ) * \beta j]$$

Para corregir los análisis granulométricos con una variación mínima, tenemos que tomar derivadas parciales de la sumatoria de los cuadrados de los errores ( $\Delta Q$ ) (la sumatoria es debido a cada malla) con respecto a las variables de caudales ( $\alpha$  y  $\beta$ ) e igualarlas a cero.

Es decir:

---

<sup>6</sup> Las relaciones de caudales ( $\alpha$ ,  $\beta$ ) son desconocidas.

$$\sum [\Delta Q^2] = \Delta Q^{i^2} + \Delta Q^{ii^2} + \Delta Q^{iii^2} + \Delta Q^{iv^2} + \dots$$

$$\sum [\Delta Q^2] = \sum \left[ \left[ (fA - fZ) + \sum_{i=1}^{i=m} [(fEi - fZ) * \alpha_i] - \sum_{j=1}^{j=n} [(fSj - fZ) * \beta_j] \right]^2 \right]$$

$$\frac{\partial}{\partial \alpha_i} (\sum [\Delta Q^2]) = 0$$

$$i = [1, 2, 3, \dots, m]$$

$$\frac{\partial}{\partial \beta_j} (\sum [\Delta Q^2]) = 0$$

$$j = [1, 2, 3, \dots, n]$$

Con lo cual tendremos “m” ecuaciones con respecto a  $\alpha$  y “n” ecuaciones con respecto a  $\beta$ , para hallar los caudales corregidos:  $\alpha 1c, \alpha 2c, \dots, \alpha mc, \beta 1c, \beta 2c, \dots, \beta nc$

Por ejemplo, para  $\alpha 1$

$$\sum [\Delta Q^2] = \sum \left[ \left[ (fA - fZ) + [(fE1 - fZ) * \alpha_1] + \sum_{i=2}^{i=m} [(fEi - fZ) * \alpha_i] - \sum_{j=1}^{j=n} [(fSj - fZ) * \beta_j] \right]^2 \right]$$

Si:

$$A = [(fE1 - fZ)]$$

$$B = \left[ (fA - fZ) + \sum_{i=2}^{i=m} [(fEi - fZ) * \alpha_i] - \sum_{j=1}^{j=n} [(fSj - fZ) * \beta_j] \right]$$

Tenemos:

$$\sum [\Delta Q^2] = \sum [A * \alpha_1 + B]^2$$

$$\sum [\Delta Q^2] = [A^I * \alpha_1 + B^I]^2 + [A^{II} * \alpha_1 + B^{II}]^2 + [A^{III} * \alpha_1 + B^{III}]^2 + [A^{IV} * \alpha_1 + B^{IV}]^2 + \dots$$

Derivamos parcialmente respecto a  $\alpha 1$  e igualamos a cero (al hacer esto, se obtendrán los valores de  $\alpha c$  y  $\beta c$  que darán los errores  $\Delta Q$  mínimos).

$$\frac{\partial}{\partial \alpha_1} (\sum [\Delta Q^2]) = 2 * [A^I * \alpha 1c + B^I] * A^I + 2 * [A^{II} * \alpha 1c + B^{II}] * A^{II} + 2 * [A^{III} * \alpha 1c + B^{III}] * A^{III} + \dots = 0$$

$$\begin{aligned}\sum [2 * [A * \alpha 1c + B] * A] &= 0 \\ 2 * \sum [A^2 * \alpha 1c + A * B] &= 0 \\ \alpha 1c * \sum (A^2) + \sum (A * B) &= 0\end{aligned}$$

Entonces:

$$\alpha 1c * \sum [(fE1 - fZ)^2] + \sum \left[ (fE1 - fZ) * \left( (fA - fZ) + \sum_{i=2}^{i=m} [(fEi - fZ) * \alpha ic] - \sum_{j=1}^{j=n} [(fSj - fZ) * \beta jc] \right) \right] = 0$$

Desarrollándolo obtenemos:

$$\begin{aligned}\sum [(fE1 - fZ) * (fA - fZ)] + \\ \alpha 1c * \sum [(fE1 - fZ)^2] + \\ \alpha 2c * \sum [(fE1 - fZ) * (fE2 - fZ)] + \dots \\ \dots + \\ \alpha mc * \sum [(fE1 - fZ) * (fEm - fZ)] + \\ - \beta 1c * \sum [(fE1 - fZ) * (fS1 - fZ)] + \\ - \beta 2c * \sum [(fE1 - fZ) * (fS2 - fZ)] + \dots \\ \dots + \\ - \beta nc * \sum [(fE1 - fZ) * (fSn - fZ)] = 0\end{aligned}$$

Análogamente para  $\alpha 2c$

$$\begin{aligned}\sum [(fE2 - fZ) * (fA - fZ)] + \\ \alpha 1c * \sum [(fE2 - fZ) * (fE1 - fZ)] + \\ \alpha 2c * \sum [(fE2 - fZ)^2] + \dots \\ \dots + \\ \alpha mc * \sum [(fE2 - fZ) * (fEm - fZ)] + \\ - \beta 1c * \sum [(fE2 - fZ) * (fS1 - fZ)] + \\ - \beta 2c * \sum [(fE2 - fZ) * (fS2 - fZ)] + \dots \\ \dots + \\ - \beta nc * \sum [(fE2 - fZ) * (fSn - fZ)] = 0\end{aligned}$$

Para  $\beta_{nc}$

$$\begin{aligned}
 & \sum [(S_n - Z) * (A - Z)] + \\
 & \alpha_{1c} * \sum [(S_n - Z) * (E_1 - Z)] + \\
 & \alpha_{2c} * \sum [(S_n - Z) * (E_2 - Z)] + \dots \\
 & \dots + \\
 & \alpha_{mc} * \sum [(S_n - Z) * (E_m - Z)] + \\
 & - \beta_{1c} * \sum [(S_n - Z) * (S_1 - Z)] + \\
 & - \beta_{2c} * \sum [(S_n - Z) * (S_2 - Z)] + \dots \\
 & \dots + \\
 & - \beta_{nc} * \sum [(S_n - Z)^2] = 0
 \end{aligned}$$



De las relaciones anteriores se obtendrá la siguiente ecuación lineal:

**Ecuación 2. 7**

$A * X = B$  (Obsérvese que la matriz A es simétrica de orden  $(m+n, m+n)$ ).

$$A = \begin{bmatrix} \sum [(E1 - fZ)^2] & \sum [(E2 - fZ) * (E1 - fZ)] & \dots & \sum [(Em - fZ) * (E1 - fZ)] & \sum [(S1 - fZ) * (E1 - fZ)] & \sum [(S2 - fZ) * (E1 - fZ)] & \dots & \sum [(Sn - fZ) * (E1 - fZ)] \\ \sum [(E1 - fZ) * (E2 - fZ)] & \sum [(E2 - fZ)^2] & \dots & \sum [(Em - fZ) * (E2 - fZ)] & \sum [(S1 - fZ) * (E2 - fZ)] & \sum [(S2 - fZ) * (E2 - fZ)] & \dots & \sum [(Sn - fZ) * (E2 - fZ)] \\ \dots & \dots & \dots & \dots & \dots & \dots & \dots & \dots \\ \sum [(E1 - fZ) * (Em - fZ)] & \sum [(E2 - fZ) * (Em - fZ)] & \dots & \sum [(Em - fZ)^2] & \sum [(S1 - fZ) * (Em - fZ)] & \sum [(S2 - fZ) * (Em - fZ)] & \dots & \sum [(Sn - fZ) * (Em - fZ)] \\ \sum [(E1 - fZ) * (S1 - fZ)] & \sum [(E2 - fZ) * (S1 - fZ)] & \dots & \sum [(Em - fZ) * (S1 - fZ)] & \sum [(S1 - fZ)^2] & \sum [(S2 - fZ) * (S1 - fZ)] & \dots & \sum [(Sn - fZ) * (S1 - fZ)] \\ \sum [(E1 - fZ) * (S2 - fZ)] & \sum [(E2 - fZ) * (S2 - fZ)] & \dots & \sum [(Em - fZ) * (S2 - fZ)] & \sum [(S1 - fZ) * (S2 - fZ)] & \sum [(S2 - fZ)^2] & \dots & \sum [(Sn - fZ) * (S2 - fZ)] \\ \dots & \dots & \dots & \dots & \dots & \dots & \dots & \dots \\ \sum [(E1 - fZ) * (Sn - fZ)] & \sum [(E2 - fZ) * (Sn - fZ)] & \dots & \sum [(Em - fZ) * (Sn - fZ)] & \sum [(S1 - fZ) * (Sn - fZ)] & \sum [(S2 - fZ) * (Sn - fZ)] & \dots & \sum [(Sn - fZ)^2] \end{bmatrix}$$

$$X = \begin{bmatrix} -\alpha 1c \\ -\alpha 2c \\ \dots \\ -\alpha mc \\ \beta 1c \\ \beta 2c \\ \dots \\ \beta nc \end{bmatrix}$$

$$B = \begin{bmatrix} \sum [(E1 - fZ) * (fA - fZ)] \\ \sum [(E2 - fZ) * (fA - fZ)] \\ \dots \\ \sum [(Em - fZ) * (fA - fZ)] \\ \sum [(S1 - fZ) * (fA - fZ)] \\ \sum [(S2 - fZ) * (fA - fZ)] \\ \dots \\ \sum [(Sn - fZ) * (fA - fZ)] \end{bmatrix}$$

$(m+n, 1)$

$(m+n, 1)$

De este sistema de ecuaciones obtenemos los caudales corregidos:

$$\alpha_{1c}, \alpha_{2c}, \dots, \alpha_{mc}, \beta_{1c}, \beta_{2c}, \dots, \beta_{nc}$$

$\beta_{Zc}$  se halla por la ecuación 3:

$$\beta_{Zc} = 1 + \alpha_{1c} + \alpha_{2c} + \dots + \alpha_{mc} - (\beta_{1c} + \beta_{2c} + \dots + \beta_{nc})$$

El siguiente paso es hallar los errores para cada malla

$\Delta M^i, \Delta M^{ii}, \Delta M^{iii}, \Delta M^{iv}, \dots$  usando los caudales corregidos mediante la siguiente ecuación:

**Ecuación 2. 8**

$$\Delta M = fA + fE1 * \alpha_{1c} + fE2 * \alpha_{2c} + \dots + fEm * \alpha_{mc} \\ - (fS1 * \beta_{1c} + fS2 * \beta_{2c} + \dots + fSn * \beta_{nc} + fZ * \beta_{Zc})$$

Nótese que  $\Delta M$  es igual a:

$$\Delta M = \min(\Delta Q)$$

Sean:  $fAc, fE1c, fE2c, \dots, fEmc, fS1c, fS2c, \dots, fSnc, fZc$  los valores corregidos del análisis granulométrico; tendremos los errores.

$$\Delta fA = fA - fAc$$

$$\Delta fEi = fEi - fEic; i = \{1, 2, \dots, m\}$$

$$\Delta fSj = fSj - fSjc; j = \{1, 2, \dots, n\}$$

$$\Delta fZ = fZ - fZc$$

Si los reemplazamos en la Ecuación 2.8 obtenemos:

$$\Delta M = (fAc + \Delta fA) + (fE1c + \Delta fE1) * \alpha_{1c} + (fE2c + \Delta fE2) * \alpha_{2c} + \dots + (fEmc + \Delta fEm) * \alpha_{mc} \\ - ((fS1c + \Delta fS1) * \beta_{1c} + (fS2c + \Delta fS2) * \beta_{2c} + \dots + (fSnc + \Delta fSnc) * \beta_{nc} + (fZc + \Delta fZ) * \beta_{Zc})$$

Simplificando:

$$\begin{aligned} \Delta M = & [fAc + fE1c * \alpha 1c + fE2c * \alpha 2c + \dots + fEmc * \alpha mc \\ & - (fS1c * \beta 1c + fS2c * \beta 2c + \dots + fSn * \beta nc + fZc * \beta Zc)] \\ & + [\Delta fA + \Delta fE1 * \alpha 1c + \Delta fE2 * \alpha 2c + \dots + \Delta fEm * \alpha mc \\ & - (\Delta fS1 * \beta 1c + \Delta fS2 * \beta 2c + \dots + \Delta fSn * \beta nc + \Delta fZ * \beta Zc)] \end{aligned}$$

Pero la ecuación 2.4 se puede expresar de la siguiente manera:

$$\begin{aligned} 0 = & fAc + fE1c * \alpha 1c + fE2c * \alpha 2c + \dots + fEmc * \alpha mc \\ & - (fS1c * \beta 1c + fS2c * \beta 2c + \dots + fSn * \beta nc + fZc * \beta Zc) \end{aligned}$$

Por lo tanto el error que se comete por las mallas es:

#### **Ecuación 2. 9**

$$\begin{aligned} \Delta M = & \Delta fA + \Delta fE1 * \alpha 1c + \Delta fE2 * \alpha 2c + \dots + \Delta fEm * \alpha mc \\ & - (\Delta fS1 * \beta 1c + \Delta fS2 * \beta 2c + \dots + \Delta fSn * \beta nc + \Delta fZ * \beta Zc) \end{aligned}$$

## **2.4 MÉTODO LAGRANGIANO**

Se trata de optimizar funciones restringidas. Para nuestro caso es minimizar una función de error con restricciones de igualdad.

El procedimiento se desarrolla formalmente como sigue:

$$L(X, \lambda) = f(X) - \lambda * g(X)$$

$L(X, \lambda)$ : Función Lagrangiana

$\lambda$ : Multiplicadores de Lagrange

$f(X)$ : Función a Optimizar

$g(X)$ : Funciones Restrictivas

$$g(X) = 0$$

$$X = (x1, x2, \dots)$$

$$g = (g1, g2, \dots)'$$

Nota:  $f(X)$  y  $g(X)$  se suponen funciones dos veces diferenciables continuamente.

La idea de utilizar derivadas restringidas es encontrar una expresión de forma cerrada para las primeras derivadas parciales de  $f(X)$  en todos los puntos que satisfacen las restricciones  $g(X) = 0$ <sup>7</sup>

Las ecuaciones:

$$\frac{\partial L}{\partial \lambda} = 0 \qquad \frac{\partial L}{\partial X} = 0$$

Dan las condiciones necesarias para determinar los puntos estacionarios de  $f(X)$  sujetos a  $g(X) = 0$

Los puntos estacionarios se identifican como los puntos en los que estas derivadas parciales se hacen cero.

Volviendo a nuestro caso:

Determinamos una función la cual es la sumatoria de los cuadrados de los errores por mallas, la cual debe de ser mínima.

$$f(X) = S = \Delta fA^2 + \Delta fE1^2 + \Delta fE2^2 + \dots + \Delta fEm^2 + \Delta fS1^2 + \Delta fS2^2 + \dots + \Delta fSn^2 + \Delta fZ^2$$

Nota: Este error es para una malla

Se tiene solo una ecuación restrictiva (Ecuación 2.9)

$$g(X) = 0 = \Delta M - [\Delta fA + \Delta fE1 * \alpha1c + \Delta fE2 * \alpha2c + \dots + \Delta fEm * \alpha mc - (\Delta fS1 * \beta1c + \Delta fS2 * \beta2c + \dots + \Delta fSn * \beta nc + \Delta fZ * \beta Zc)]$$

$$X = (\Delta fA, \Delta fE1, \Delta fE2, \dots, \Delta fEm, \Delta fS1, \Delta fS2, \dots, \Delta fSn, \Delta fZ)$$

La función Lagrangiana será:

---

<sup>7</sup> "Investigación de Operaciones" Hamdy A. Taha, 6ta Edición, pag 753

$$L(X, \lambda) = \Delta fA^2 + \Delta fE1^2 + \Delta fE2^2 + \dots + \Delta fEm^2 + \Delta fS1^2 + \Delta fS2^2 + \dots + \Delta fSn^2 + \Delta fZ^2 \\ - \lambda * \{ \Delta M - [\Delta fA + \Delta fE1 * \alpha 1c + \Delta fE2 * \alpha 2c + \dots + \Delta fEm * \alpha mc \\ - (\Delta fS1 * \beta 1c + \Delta fS2 * \beta 2c + \dots + \Delta fSn * \beta nc + \Delta fZ * \beta Zc)] \}$$

Para hallar los puntos estacionarios:

**Ecuación 2. 10**

$$\frac{\partial L}{\partial \lambda} = 0 = \Delta M - [\Delta fA + \Delta fE1 * \alpha 1c + \Delta fE2 * \alpha 2c + \dots + \Delta fEm * \alpha mc \\ - (\Delta fS1 * \beta 1c + \Delta fS2 * \beta 2c + \dots + \Delta fSn * \beta nc + \Delta fZ * \beta Zc)]$$

$$\frac{\partial L}{\partial X} = 0$$

$$\frac{\partial L}{\partial \Delta fA} = 0 = \frac{\partial (\Delta fA^2 + \lambda * \Delta fA + \theta_A)}{\partial \Delta fA} = 2 * \Delta fA + \lambda$$

$$\Delta fA = -\frac{\lambda}{2}$$

$$\frac{\partial L}{\partial \Delta fE1} = 0 = \frac{\partial (\Delta fE1^2 + \lambda * \Delta fE1 * \alpha 1c + \theta_{E1})}{\partial \Delta fE1} = 2 * \Delta fE1 + \lambda * \alpha 1c$$

$$\Delta fE1 = -\frac{\lambda * \alpha 1c}{2}$$

$$\frac{\partial L}{\partial \Delta fE2} = 0 = \frac{\partial (\Delta fE2^2 + \lambda * \Delta fE2 * \alpha 2c + \theta_{E2})}{\partial \Delta fE2} = 2 * \Delta fE2 + \lambda * \alpha 2c$$

$$\Delta fE2 = -\frac{\lambda * \alpha 2c}{2}$$

$$\frac{\partial L}{\partial \Delta fEm} = 0 = \frac{\partial (\Delta fEm^2 + \lambda * \Delta fEm * \alpha mc + \theta_{Em})}{\partial \Delta fEm} = 2 * \Delta fEm + \lambda * \alpha mc$$

$$\Delta fEm = -\frac{\lambda * \alpha mc}{2}$$

$$\frac{\partial L}{\partial \Delta fS1} = 0 = \frac{\partial (\Delta fS1^2 - \lambda * \Delta fS1 * \beta 1c + \theta_{S1})}{\partial \Delta fS1} = 2 * \Delta fS1 - \lambda * \beta 1c$$

$$\Delta fS1 = +\frac{\lambda * \beta 1c}{2}$$

$$\frac{\partial L}{\partial \Delta fS2} = 0 = \frac{\partial (\Delta fS2^2 - \lambda * \Delta fS2 * \beta 2c + \theta_{S2})}{\partial \Delta fS2} = 2 * \Delta fS2 - \lambda * \beta 2c$$

$$\Delta fS2 = +\frac{\lambda * \beta 2c}{2}$$

$$\frac{\partial L}{\partial \Delta f S n} = 0 = \frac{\partial (\Delta f S n^2 - \lambda * \Delta f S n * \beta n c + \theta_{sn})}{\partial \Delta f S n} = 2 * \Delta f S n - \lambda * \beta n c$$

$$\Delta f S n = + \frac{\lambda * \beta n c}{2}$$

$$\frac{\partial L}{\partial \Delta f Z} = 0 = \frac{\partial (\Delta f Z^2 - \lambda * \Delta f Z * \beta Z c + \theta_z)}{\partial \Delta f Z} = 2 * \Delta f Z - \lambda * \beta Z c$$

$$\Delta f Z = + \frac{\lambda * \beta Z c}{2}$$

Nota:  $\theta$ : es un factor en la cual no está incluido la variable a derivar.

Sustituimos:  $\Delta f A, \Delta f E 1, \Delta f E 2, \dots, \Delta f E m, \Delta f S 1, \Delta f S 2, \dots, \Delta f S n, \Delta f Z$  en la

Ecuación 2.10

$$\frac{\partial L}{\partial \lambda} = 0 = \Delta M - \left[ -\frac{\lambda}{2} - \frac{\lambda * \alpha 1 c}{2} * \alpha 1 c - \frac{\lambda * \alpha 2 c}{2} * \alpha 2 c - \dots - \frac{\lambda * \alpha m c}{2} * \alpha m c \right. \\ \left. - \left( + \frac{\lambda * \beta 1 c}{2} * \beta 1 c + \frac{\lambda * \beta 2 c}{2} * \beta 2 c + \dots + \frac{\lambda * \beta n c}{2} * \beta n c + \frac{\lambda * \beta Z c}{2} * \beta Z c \right) \right]$$

$$\frac{\partial L}{\partial \lambda} = 0 = \Delta M + \frac{\lambda}{2} [1 + \alpha 1 c^2 + \alpha 2 c^2 + \dots + \alpha m c^2 + \beta 1 c^2 + \beta 2 c^2 + \dots + \beta n c^2 + \beta Z c^2]$$

Recuérdese que los caudales corregidos se hallaron por la Ecuación 2.7

(Ecuación Lineal).

$\Delta M$  se halló por la Ecuación 2.8

Por lo tanto, hallamos los Multiplicadores de Lagrange ( $\lambda$ ) para cada malla mediante la siguiente ecuación:

**Ecuación 2. 11**

$$\lambda = -2 * \frac{\Delta M}{[1 + \alpha 1 c^2 + \alpha 2 c^2 + \dots + \alpha m c^2 + \beta 1 c^2 + \beta 2 c^2 + \dots + \beta n c^2 + \beta Z c^2]}$$

Se hallan las correcciones (para cada malla):

$$\Delta fA = -\frac{\lambda}{2}$$

$$\Delta fE1 = -\frac{\lambda * \alpha 1c}{2}$$

$$\Delta fE2 = -\frac{\lambda * \alpha 2c}{2}$$

$$\Delta fEm = -\frac{\lambda * \alpha mc}{2}$$

$$\Delta fS1 = +\frac{\lambda * \beta 1c}{2}$$

$$\Delta fS2 = +\frac{\lambda * \beta 2c}{2}$$

$$\Delta fSn = +\frac{\lambda * \beta nc}{2}$$

$$\Delta fZ = +\frac{\lambda * \beta Zc}{2}$$

Se procede a corregir los Análisis Granulométricos.

$$fAc = fA - \Delta fA$$

$$fEic = fEi - \Delta fEi; i = \{1, 2, \dots, m\}$$

$$fSjc = fSj - \Delta fSj; j = \{1, 2, \dots, n\}$$

$$fZc = fZ - \Delta fZ$$

Se halla el error de la corrección.

$$S = \sum \Delta fA^2 + \sum \Delta fE1^2 + \sum \Delta fE2^2 + \dots + \sum \Delta fEm^2 + \sum \Delta fS1^2 + \sum \Delta fS2^2 + \dots + \sum \Delta fSn^2 + \sum \Delta fZ^2$$

## 2.5 RESUMEN DEL MÉTODO

1. Resolver la ecuación lineal  $A * X = B$  (Ecuación 2.7) para obtener los caudales corregidos:

$$\alpha 1c, \alpha 2c, \dots, \alpha mc, \beta 1c, \beta 2c, \dots, \beta nc$$

$\beta Zc$  se halla por la siguiente ecuación:

$$\beta Zc = 1 + \alpha 1c + \alpha 2c + \dots + \alpha mc - (\beta 1c + \beta 2c + \dots + \beta nc)$$

Recuérdese:

$\alpha$ : Caudales de Entrada al sistema

$\beta$ : Caudales de Salida del Sistema

$$\frac{E1c}{Ac} = \alpha 1c; \frac{E2c}{Ac} = \alpha 2c; \dots; \frac{Emc}{Ac} = \alpha mc$$

$$\frac{S1c}{Ac} = \beta1c; \frac{S2c}{Ac} = \beta2c; \dots; \frac{Snc}{Ac} = \betanc; \frac{Zc}{Ac} = \beta Zc$$

Para el caso más simple encontrado en la industria, Alimentación, Descarga y Rebose (Ej: Hidrociclón), la ecuación 2.7 queda reducida a la siguiente expresión:

$$\sum [(fS1 - fZ)^2] * \beta1c = \sum [(fS1 - fZ) * (fA - fZ)]$$

Donde:

fA: Análisis Granulométricos del Alimento.

fS1: Análisis Granulométricos de la Descarga.

fZ: Análisis Granulométrico del Rebose.

$\beta1c$ : S1/A; Relación del flujo de la Descarga (Producto Grueso) y el flujo del Alimento

$\beta Zc$ : Z/A; Relación del flujo del Rebose (Producto Fino) y el flujo del Alimento.

2. Hallar los errores para cada malla (Ecuación 2.8):

$$\Delta M = fA + fE1 * \alpha1c + fE2 * \alpha2c + \dots + fEm * \alpha mc \\ - (fS1 * \beta1c + fS2 * \beta2c + \dots + fSn * \beta nc + fZ * \beta Zc)$$

Para un Hidrociclón:  $\Delta M = fA - (fS1 * \beta1c + fZ * \beta Zc)$

3. Hallar los Multiplicadores de Lagrange para cada malla (Ecuación 2.11)

$$\lambda = -2 * \frac{\Delta M}{[1 + \alpha1c^2 + \alpha2c^2 + \dots + \alpha mc^2 + \beta1c^2 + \beta2c^2 + \dots + \beta nc^2 + \beta Zc^2]}$$

Para un Hidrociclón:  $\lambda = -2 * \frac{\Delta M}{[1 + \beta1c^2 + \beta Zc^2]}$



4. Hallar las correcciones:

$$\begin{aligned}\Delta fA &= -\frac{\lambda}{2} & \Delta fS1 &= +\frac{\lambda * \beta 1c}{2} \\ \Delta fE1 &= -\frac{\lambda * \alpha 1c}{2} & \Delta fS2 &= +\frac{\lambda * \beta 2c}{2} \\ \Delta fE2 &= -\frac{\lambda * \alpha 2c}{2} & \Delta fSn &= +\frac{\lambda * \beta nc}{2} \\ \Delta fEm &= -\frac{\lambda * \alpha mc}{2} & \Delta fZ &= +\frac{\lambda * \beta Zc}{2}\end{aligned}$$

5. Corregir los Análisis Granulométricos

$$\begin{aligned}fAc &= fA - \Delta fA \\ fEic &= fEi - \Delta fEi; i = \{1, 2, \dots, m\} \\ fSjc &= fSj - \Delta fSj; j = \{1, 2, \dots, n\} \\ fZc &= fZ - \Delta fZ\end{aligned}$$

6. Hallar el Error de la corrección (Opcional).

$$S = \sum \Delta fA^2 + \sum \Delta fE1^2 + \sum \Delta fE2^2 + \dots + \sum \Delta fEm^2 + \sum \Delta fS1^2 + \sum \Delta fS2^2 + \dots + \sum \Delta fSn^2 + \sum \Delta fZ^2$$

## 2.6 PROPIEDADES PARA LA CORRÉCCION DE ANÁLISIS GRANULOMÉTRICO POR MULTIPLICADORES DE LAGRANGE EN EL SISTEMA EMPLEADO

Se tiene:

**Propiedad #01:**

*La suma de las Fracciones en Peso del análisis granulométrico es 1 (100%)*

$$1 = f^I + f^{II} + f^{III} + f^{IV} + \dots + f^{k-1} + f^k$$

$$\boxed{\sum f = 1}$$

f: Fracción de un análisis granulométrico (alimento y/o producto)

k: Intervalo de tamaños más finos.

### Propiedad #02:

*La suma de los Errores  $\Delta M$  es cero:*

De la ecuación 2.8 (Para una malla):

$$\Delta M = fA + fE1 * \alpha 1c + fE2 * \alpha 2c + \dots + fEm * \alpha mc \\ - (fS1 * \beta 1c + fS2 * \beta 2c + \dots + fSn * \beta nc + fZ * \beta Zc)$$

Hacemos la sumatoria (Errores de todas las mallas):

$$\sum \Delta M = \sum fA + \alpha 1c * \sum fE1 + \alpha 2c * \sum fE2 + \dots + \alpha mc * \sum fEm \\ - (\beta 1c * \sum fS1 + \beta 2c * \sum fS2 + \dots + \beta nc * \sum fSn + \beta Zc * \sum fZ)$$

Se tiene de la propiedad #01:  $\sum f = 1$

$$\sum \Delta M = 1 + \alpha 1c * 1 + \alpha 2c * 1 + \dots + \alpha mc * 1 \\ - (\beta 1c * 1 + \beta 2c * 1 + \dots + \beta nc * 1 + \beta Z * 1)$$

Pero la Ecuación 2.3 es:  $1 + \alpha 1c + \alpha 2c + \dots + \alpha mc = \beta 1c + \beta 2c + \dots + \beta nc + \beta Zc$

Se obtiene:

$$\boxed{\sum \Delta M = 0}$$

### Propiedad #03:

*La suma de los Multiplicadores de Lagrange es cero:*

Se tiene la ecuación 2.11

$$\lambda = -2 * \frac{\Delta M}{[1 + \alpha 1c^2 + \alpha 2c^2 + \dots + \alpha mc^2 + \beta 1c^2 + \beta 2c^2 + \dots + \beta nc^2 + \beta Zc^2]}$$

Donde el denominador es constante:

Por lo tanto:

$$\sum \lambda = -2 * \left[ \frac{\sum \Delta M}{1 + \alpha 1c^2 + \alpha 2c^2 + \dots + \alpha mc^2 + \beta 1c^2 + \beta 2c^2 + \dots + \beta nc^2 + \beta Zc^2} \right]$$

De la propiedad #02:  $\sum \Delta M = 0$

Se obtiene:

$$\boxed{\sum \lambda = 0}$$

#### Propiedad #04:

*La sumatoria de las correcciones es cero*

Se tienen las correcciones:

$$\begin{array}{ll} \Delta fA = -\frac{\lambda}{2} & \Delta fS1 = +\frac{\lambda * \beta 1c}{2} \\ \Delta fE1 = -\frac{\lambda * \alpha 1c}{2} & \Delta fS2 = +\frac{\lambda * \beta 2c}{2} \\ \Delta fE2 = -\frac{\lambda * \alpha 2c}{2} & \Delta fSn = +\frac{\lambda * \beta nc}{2} \\ \dots & \dots \\ \Delta fEm = -\frac{\lambda * \alpha mc}{2} & \Delta fZ = +\frac{\lambda * \beta Zc}{2} \end{array}$$

Para la sumatoria de las correcciones:

$$\begin{array}{ll} \sum \Delta fA = -\frac{\sum \lambda}{2} & \sum \Delta fS1 = +\frac{\beta 1c * \sum \lambda}{2} \\ \sum \Delta fE1 = -\frac{\alpha 1c * \sum \lambda}{2} & \sum \Delta fS2 = +\frac{\beta 2c * \sum \lambda}{2} \\ \sum \Delta fE2 = -\frac{\alpha 2c * \sum \lambda}{2} & \sum \Delta fSn = +\frac{\beta nc * \sum \lambda}{2} \\ \dots & \dots \\ \sum \Delta fEm = -\frac{\alpha mc * \sum \lambda}{2} & \sum \Delta fZ = +\frac{\beta Zc * \sum \lambda}{2} \end{array}$$

De la Propiedad #03:  $\sum \lambda = 0$

Se tiene:

$$\begin{array}{l} \sum \Delta fA = 0 \\ \sum \Delta fE1 = 0 \\ \sum \Delta fE2 = 0 \\ \dots \\ \sum \Delta fEm = 0 \end{array}$$

$$\begin{array}{l} \sum \Delta fS1 = 0 \\ \sum \Delta fS2 = 0 \\ \sum \Delta fSn = 0 \\ \dots \\ \sum \Delta fZ = 0 \end{array}$$

**Propiedad #05:**

*La suma de las Fracciones en Peso de los análisis granulométrico*

*Corregidos es 1 (100%)*

De las correcciones

$$fAc = fA - \Delta fA$$

$$fEic = fEi - \Delta fEi; i = \{1, 2, \dots, m\}$$

$$fSjc = fSj - \Delta fSj; j = \{1, 2, \dots, n\}$$

$$fZc = fZ - \Delta fZ$$

Hacemos la sumatoria:

$$\sum fAc = \sum fA - \sum \Delta fA$$

$$\sum fEic = \sum fEi - \sum \Delta fEi; i = \{1, 2, \dots, m\}$$

$$\sum fSjc = \sum fSj - \sum \Delta fSj; j = \{1, 2, \dots, n\}$$

$$\sum fZc = \sum fZ - \sum \Delta fZ$$

De las propiedades 1 y 4:

$$\begin{array}{l} \sum fAc = 1 - 0 = 1 \\ \sum fEic = 1 - 0 = 1 \\ \sum fSjc = 1 - 0 = 1 \\ \sum fZc = 1 - 0 = 1 \end{array}$$

## **CAPÍTULO 3**

### **CORRECCIÓN DE ANÁLISIS GRANULOMÉTRICOS DEL CLASIFICADOR STOKES**

#### **3.1 INTRODUCCIÓN**

El hidroclasificador Stokes es un clasificador de asentamiento obstaculizado que se emplea para clasificar el material en fracciones de diferentes tamaños antes de alimentar a las mesas concentradoras.

El hidroclasificador tiene una celda de preparación, 06 cámaras o celdas de asentamiento las cuales aumentan gradualmente de área y un rebose.

La clasificación se realiza introduciendo las partículas de mineral contenido en una pulpa, contra un flujo de agua ascendente que proviene de un tanque de agua de cabeza constante.

Con el propósito de mantener la eficiencia en la separación es importante que la corriente de agua ascendente tenga flujos y presión constantes. Cada cámara está provista de válvulas y flujómetros electrónicos para asegurar este requerimiento.

La corriente de agua ascendente se distribuye uniformemente sobre el total del área de la cámara de asentamiento mediante una placa perforada (Teeter Plate).

El trabajo de la máquina se monitorea y controla continuamente mediante un sistema de control de densidad electrónica y automática.

La alimentación idealmente con 50% de sólidos por peso, se alimenta por gravedad a la celda de preparación del hidroclasificador en la cual se adiciona agua de acuerdo al requerimiento del material. Las partículas pasan a la primera celda de asentamiento en la cual se ponen en contacto con la corriente ascendente de agua.

Las partículas más gruesas y pesadas se asientan en la celda y se dirigen al punto de descarga (Spigot); las partículas menos gruesas y más livianas permanecen en suspensión y originan una columna de clasificación creada por las partículas gruesas y pesadas que evitan que las partículas finas y livianas penetren en esta cama o columna.

El flujo necesario de agua ascendente es dependiente de dos factores:

1. Área de asentamiento de la celda
2. El tamaño de la partícula que se desea obtener ( $d_{50}$ )

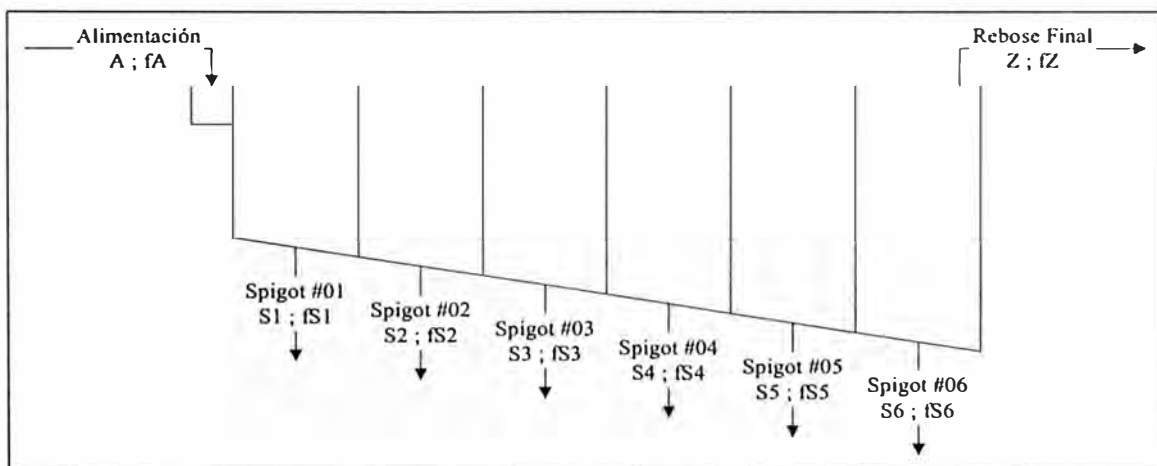
A medida que el material se transporta a lo largo de la máquina y con las partículas gruesas/pesadas que se van retirando progresivamente por los spigots, la distribución de los tamaños de alimentación a cada cámara subsiguiente es más fina.

En razón de que la velocidad de asentamiento obstaculizado de las partículas disminuye a medida que estas son más finas, es necesario aumentar progresivamente el área de asentamiento.

El sistema de control monitorea la cabeza hidrostática en cada cámara de asentamiento y compara la presión actual de cada celda con una presión referencial (Set Point); si la presión en la celda es mayor al punto referencial se descargan las partículas gruesas y pesadas hasta que la presión en la cámara iguale a la presión de referencia.

### 3.2 ESQUEMA DEL CLASIFICADOR STOKES

Gráfico 3. 1 Esquema de la Alimentación y Descargas del Clasificador Stokes



En el clasificador, el rebose de la primera cámara es el alimento de la segunda cámara y así sucesivamente hasta tener un rebose final que es el material más fino.

### 3.3 MÉTODO DE LA CORRECCIÓN

**Tabla 3. 1 Representación simbólica de los Análisis Granulométricos a Corregir del Clasificador Stokes.**

|                               | ENTRADA       | SALIDAS     |             |             |             |             |             |               |
|-------------------------------|---------------|-------------|-------------|-------------|-------------|-------------|-------------|---------------|
|                               | Alimentación  | Spigot #01  | Spigot #02  | Spigot #03  | Spigot #04  | Spigot #05  | Spigot #06  | Rebose        |
| Flujo (Ej: t/h)               | A (Principal) | S1          | S2          | S3          | S4          | S5          | S6          | Z (Principal) |
| Fracciones en tamaño (mallas) | $fA^i$        | $fS1^i$     | $fS2^i$     | $fS3^i$     | $fS4^i$     | $fS5^i$     | $fS6^i$     | $fZ^i$        |
|                               | $fA^{ii}$     | $fS1^{ii}$  | $fS2^{ii}$  | $fS3^{ii}$  | $fS4^{ii}$  | $fS5^{ii}$  | $fS6^{ii}$  | $fZ^{ii}$     |
|                               | $fA^{iii}$    | $fS1^{iii}$ | $fS2^{iii}$ | $fS3^{iii}$ | $fS4^{iii}$ | $fS5^{iii}$ | $fS6^{iii}$ | $fZ^{iii}$    |
|                               | ...           | ...         | ...         | ...         | ...         | ...         | ...         | ...           |
|                               | $fA^{k-1}$    | $fS1^{k-1}$ | $fS2^{k-1}$ | $fS3^{k-1}$ | $fS4^{k-1}$ | $fS5^{k-1}$ | $fS6^{k-1}$ | $fZ^{k-1}$    |
|                               | $fA^k$        | $fS1^k$     | $fS2^k$     | $fS3^k$     | $fS4^k$     | $fS5^k$     | $fS6^k$     | $fZ^k$        |

Según el método presentado en el Capítulo 1 tenemos una entrada y siete salidas, por lo tanto:  $m=0$  &  $n=6$

Es decir, sólo existe la entrada principal, por lo tanto los términos  $\alpha$  estarán ausentes en esta corrección.

Existe una salida principal que es el Rebose Final del clasificador y seis salidas (descargas por los Spigots). Por lo tanto se tienen los factores (Relaciones de los Caudales):  $\beta_1, \beta_2, \beta_3, \beta_4, \beta_5, \beta_6, \beta_Z$ .



### 3.4 ANALISIS GRANULOMÉTRICO.

Tabla 3. 2 Analisis Granulométricos muestreados - Porcentajes en Peso.<sup>8</sup>

|                      |                      | Alimento | Spligot #01 | Spligot #02 | Spligot #03 | Spligot #04 | Spligot #05 | Spligot #06 | Rebose |
|----------------------|----------------------|----------|-------------|-------------|-------------|-------------|-------------|-------------|--------|
| Intervalo de Tamaños | Tamaño Promedio (μm) | fA       | fS1         | fS2         | fS3         | fS4         | fS5         | fS6         | fZ     |
| 1                    | 1091                 | 2.43     | 13.81       | 2.22        | 0.00        | 0.00        | 0.00        | 0.00        | 0.00   |
| 2                    | 714                  | 6.28     | 31.62       | 16.80       | 0.92        | 0.00        | 0.00        | 0.00        | 0.00   |
| 3                    | 517                  | 11.12    | 30.52       | 42.22       | 10.13       | 0.00        | 0.00        | 0.00        | 0.00   |
| 4                    | 365                  | 11.87    | 13.60       | 28.48       | 31.27       | 3.14        | 0.00        | 0.00        | 0.00   |
| 5                    | 252                  | 14.84    | 6.25        | 8.12        | 44.78       | 25.04       | 3.86        | 0.00        | 0.00   |
| 6                    | 178                  | 10.29    | 1.67        | 0.96        | 9.91        | 29.72       | 17.62       | 1.14        | 0.00   |
| 7                    | 126                  | 11.30    | 0.99        | 0.57        | 1.86        | 21.47       | 29.74       | 12.92       | 0.36   |
| 8                    | 89                   | 10.37    | 0.50        | 0.29        | 0.63        | 9.48        | 19.92       | 28.90       | 3.68   |
| 9                    | 63                   | 9.30     | 0.36        | 0.10        | 0.40        | 5.45        | 14.20       | 28.54       | 25.80  |
| 10                   | 49                   | 1.96     | 0.08        | 0.06        | 0.04        | 1.11        | 3.05        | 6.38        | 13.08  |
| 11                   | 41                   | 2.37     | 0.09        | 0.09        | 0.02        | 1.16        | 2.39        | 4.44        | 8.92   |
| 12                   | 19                   | 7.87     | 0.51        | 0.09        | 0.04        | 3.43        | 9.22        | 17.68       | 48.16  |

<sup>8</sup> Fecha de muestreo: 04 de Febrero de 1998 – Minsur S.A.

Se tiene la siguiente ecuación lineal (Obtenida de la ecuación 2.7):

$$A * X = B$$

$$A = \begin{bmatrix} \sum[(s_1 - \bar{x})^2] & \sum[(s_2 - \bar{x}) * (s_1 - \bar{x})] & \sum[(s_3 - \bar{x}) * (s_1 - \bar{x})] & \sum[(s_4 - \bar{x}) * (s_1 - \bar{x})] & \sum[(s_5 - \bar{x}) * (s_1 - \bar{x})] & \sum[(s_6 - \bar{x}) * (s_1 - \bar{x})] \\ \sum[(s_1 - \bar{x}) * (s_2 - \bar{x})] & \sum[(s_2 - \bar{x})^2] & \sum[(s_3 - \bar{x}) * (s_2 - \bar{x})] & \sum[(s_4 - \bar{x}) * (s_2 - \bar{x})] & \sum[(s_5 - \bar{x}) * (s_2 - \bar{x})] & \sum[(s_6 - \bar{x}) * (s_2 - \bar{x})] \\ \sum[(s_1 - \bar{x}) * (s_3 - \bar{x})] & \sum[(s_2 - \bar{x}) * (s_3 - \bar{x})] & \sum[(s_3 - \bar{x})^2] & \sum[(s_4 - \bar{x}) * (s_3 - \bar{x})] & \sum[(s_5 - \bar{x}) * (s_3 - \bar{x})] & \sum[(s_6 - \bar{x}) * (s_3 - \bar{x})] \\ \sum[(s_1 - \bar{x}) * (s_4 - \bar{x})] & \sum[(s_2 - \bar{x}) * (s_4 - \bar{x})] & \sum[(s_3 - \bar{x}) * (s_4 - \bar{x})] & \sum[(s_4 - \bar{x})^2] & \sum[(s_5 - \bar{x}) * (s_4 - \bar{x})] & \sum[(s_6 - \bar{x}) * (s_4 - \bar{x})] \\ \sum[(s_1 - \bar{x}) * (s_5 - \bar{x})] & \sum[(s_2 - \bar{x}) * (s_5 - \bar{x})] & \sum[(s_3 - \bar{x}) * (s_5 - \bar{x})] & \sum[(s_4 - \bar{x}) * (s_5 - \bar{x})] & \sum[(s_5 - \bar{x})^2] & \sum[(s_6 - \bar{x}) * (s_5 - \bar{x})] \\ \sum[(s_1 - \bar{x}) * (s_6 - \bar{x})] & \sum[(s_2 - \bar{x}) * (s_6 - \bar{x})] & \sum[(s_3 - \bar{x}) * (s_6 - \bar{x})] & \sum[(s_4 - \bar{x}) * (s_6 - \bar{x})] & \sum[(s_5 - \bar{x}) * (s_6 - \bar{x})] & \sum[(s_6 - \bar{x})^2] \end{bmatrix}$$

$$X = \begin{bmatrix} \beta_{1c} \\ \beta_{2c} \\ \beta_{3c} \\ \beta_{4c} \\ \beta_{5c} \\ \beta_{6c} \end{bmatrix} \quad B = \begin{bmatrix} \sum[(s_1 - \bar{x}) * (f_A - \bar{x})] \\ \sum[(s_2 - \bar{x}) * (f_A - \bar{x})] \\ \sum[(s_3 - \bar{x}) * (f_A - \bar{x})] \\ \sum[(s_4 - \bar{x}) * (f_A - \bar{x})] \\ \sum[(s_5 - \bar{x}) * (f_A - \bar{x})] \\ \sum[(s_6 - \bar{x}) * (f_A - \bar{x})] \end{bmatrix}$$

### 3.5 CORRECCIÓN DE LOS ANÁLISIS GRANULOMÉTRICOS

#### 3.5.1 Resolver la ecuación lineal $A \cdot X = B$ para obtener los caudales

corregidos:

$$\beta_{1c}, \beta_{2c}, \beta_{3c} \quad \beta_{4c}, \beta_{5c}, \beta_{6c}$$

Hallamos cada elemento de la matriz A y B:

Tabla 3. 3 Porcentajes en Peso de las muestras menos el Porcentaje en Peso de la Salida Principal (Rebose del Clasificador Stokes).

| <b>f-fZ</b>              |              |                |               |               |               |               |               |
|--------------------------|--------------|----------------|---------------|---------------|---------------|---------------|---------------|
| <b>I. T.<sup>9</sup></b> | <b>fA-fZ</b> | <b>fS1-fZc</b> | <b>fS2-fZ</b> | <b>fS3-fZ</b> | <b>fS4-fZ</b> | <b>fS5-fZ</b> | <b>fS6-fZ</b> |
| 1                        | 2.43         | 13.81          | 2.22          | 0             | 0             | 0             | 0             |
| 2                        | 6.28         | 31.62          | 16.80         | 0.92          | 0             | 0             | 0             |
| 3                        | 11.12        | 30.52          | 42.22         | 10.13         | 0             | 0             | 0             |
| 4                        | 11.87        | 13.60          | 28.48         | 31.27         | 3.14          | 0             | 0             |
| 5                        | 14.84        | 6.25           | 8.12          | 44.78         | 25.04         | 3.86          | 0             |
| 6                        | 10.29        | 1.67           | 0.96          | 9.91          | 29.72         | 17.62         | 1.14          |
| 7                        | 10.94        | 0.63           | 0.21          | 1.50          | 21.11         | 29.38         | 12.56         |
| 8                        | 6.69         | -3.18          | -3.39         | -3.05         | 5.80          | 16.24         | 25.22         |
| 9                        | -16.50       | -25.44         | -25.70        | -25.40        | -20.35        | -11.60        | 2.74          |
| 10                       | -11.12       | -13.00         | -13.02        | -13.04        | -11.97        | -10.03        | -6.70         |
| 11                       | -6.55        | -8.83          | -8.83         | -8.90         | -7.76         | -6.53         | -4.48         |
| 12                       | -40.29       | -47.65         | -48.07        | -48.12        | -44.73        | -38.94        | -30.48        |

Para la Matriz B

Sea “ $b_i$ ” cada elemento de la matriz Columna B

<sup>9</sup> I. T. : Siglas de “Intervalo de Tamaños”

Tabla 3. 4 Cálculo de los valores de la Matriz B

| <b>(fA-fZ)*(f-fZ)</b> |                              |                              |                              |                              |                              |                              |
|-----------------------|------------------------------|------------------------------|------------------------------|------------------------------|------------------------------|------------------------------|
| <b>I. T.</b>          | <b>(fS1-fZ)*<br/>(fA-fZ)</b> | <b>(fS2-fZ)*<br/>(fA-fZ)</b> | <b>(fS3-fZ)*<br/>(fA-fZ)</b> | <b>(fS4-fZ)*<br/>(fA-fZ)</b> | <b>(fS5-fZ)*<br/>(fA-fZ)</b> | <b>(fS6-fZ)*<br/>(fA-fZ)</b> |
| 1                     | 33.5583                      | 5.3946                       | 0                            | 0                            | 0                            | 0                            |
| 2                     | 198.5736                     | 105.504                      | 5.7776                       | 0                            | 0                            | 0                            |
| 3                     | 339.3824                     | 469.4864                     | 112.6456                     | 0                            | 0                            | 0                            |
| 4                     | 161.432                      | 338.0576                     | 371.1749                     | 37.2718                      | 0                            | 0                            |
| 5                     | 92.75                        | 120.5008                     | 664.5352                     | 371.5936                     | 57.2824                      | 0                            |
| 6                     | 17.1843                      | 9.8784                       | 101.9739                     | 305.8188                     | 181.3098                     | 11.7306                      |
| 7                     | 6.8922                       | 2.2974                       | 16.41                        | 230.9434                     | 321.4172                     | 137.4064                     |
| 8                     | -21.2742                     | -22.6791                     | -20.4045                     | 38.802                       | 108.6456                     | 168.7218                     |
| 9                     | 419.76                       | 424.05                       | 419.1                        | 335.775                      | 191.4                        | -45.21                       |
| 10                    | 144.56                       | 144.7824                     | 145.0048                     | 133.1064                     | 111.5336                     | 74.504                       |
| 11                    | 57.8365                      | 57.8365                      | 58.295                       | 50.828                       | 42.7715                      | 29.344                       |
| 12                    | 1919.8185                    | 1936.7403                    | 1938.7548                    | 1802.1717                    | 1568.8926                    | 1228.0392                    |
| <b>Σ</b>              | <b>3370.4736</b>             | <b>3591.8493</b>             | <b>3813.2673</b>             | <b>3306.3107</b>             | <b>2583.2527</b>             | <b>1604.536</b>              |
| <b>b<sub>i</sub></b>  | <b>b<sub>1</sub></b>         | <b>b<sub>2</sub></b>         | <b>b<sub>3</sub></b>         | <b>b<sub>4</sub></b>         | <b>b<sub>5</sub></b>         | <b>b<sub>6</sub></b>         |

Para la Matriz cuadrada A

Sea “a<sub>ij</sub>” cada elemento de la matriz A donde “i” es el subíndice que representa el número de fila y “j” el subíndice que representa el número de columna.

Tabla 3. 5 Cálculo de la Primera fila de la matriz A

| <b>(f1-fZ)*(f-fZ)</b>  |                        |                               |                               |                               |                               |                               |
|------------------------|------------------------|-------------------------------|-------------------------------|-------------------------------|-------------------------------|-------------------------------|
| <b>I. T.</b>           | <b>(fS1-fZ)^2</b>      | <b>(fS1-fZ)*<br/>(fS2-fZ)</b> | <b>(fS1-fZ)*<br/>(fS3-fZ)</b> | <b>(fS1-fZ)*<br/>(fS4-fZ)</b> | <b>(fS1-fZ)*<br/>(fS5-fZ)</b> | <b>(fS1-fZ)*<br/>(fS6-fZ)</b> |
| 1                      | 190.7161               | 30.6582                       | 0                             | 0                             | 0                             | 0                             |
| 2                      | 999.8244               | 531.216                       | 29.0904                       | 0                             | 0                             | 0                             |
| 3                      | 931.4704               | 1288.5544                     | 309.1676                      | 0                             | 0                             | 0                             |
| 4                      | 184.96                 | 387.328                       | 425.272                       | 42.704                        | 0                             | 0                             |
| 5                      | 39.0625                | 50.75                         | 279.875                       | 156.5                         | 24.125                        | 0                             |
| 6                      | 2.7889                 | 1.6032                        | 16.5497                       | 49.6324                       | 29.4254                       | 1.9038                        |
| 7                      | 0.3969                 | 0.1323                        | 0.945                         | 13.2993                       | 18.5094                       | 7.9128                        |
| 8                      | 10.1124                | 10.7802                       | 9.699                         | -18.444                       | -51.6432                      | -80.1996                      |
| 9                      | 647.1936               | 653.808                       | 646.176                       | 517.704                       | 295.104                       | -69.7056                      |
| 10                     | 169                    | 169.26                        | 169.52                        | 155.61                        | 130.39                        | 87.1                          |
| 11                     | 77.9689                | 77.9689                       | 78.587                        | 68.5208                       | 57.6599                       | 39.5584                       |
| 12                     | 2270.5225              | 2290.5355                     | 2292.918                      | 2131.3845                     | 1855.491                      | 1452.372                      |
| <b>Σ</b>               | <b>5524.0166</b>       | <b>5492.5947</b>              | <b>4257.7997</b>              | <b>3116.911</b>               | <b>2359.0615</b>              | <b>1438.9418</b>              |
| <b>a<sub>1,j</sub></b> | <b>a<sub>1,1</sub></b> | <b>a<sub>1,2</sub></b>        | <b>a<sub>1,3</sub></b>        | <b>a<sub>1,4</sub></b>        | <b>a<sub>1,5</sub></b>        | <b>a<sub>1,6</sub></b>        |

Tabla 3. 6 Cálculo de la Segunda fila de la matriz A

| <b><math>(f_2 - f_Z) * (f - f_Z)</math></b> |   |                                      |   |   |   |   |
|---|---|--------------------------------------|---|---|---|---|
| <b>I. T.</b>                                | <b><math>(f_{S2} - f_Z) * (f_{S1} - f_Z)</math></b> | <b><math>(f_{S2} - f_Z)^2</math></b> | <b><math>(f_{S2} - f_Z) * (f_{S3} - f_Z)</math></b> | <b><math>(f_{S2} - f_Z) * (f_{S4} - f_Z)</math></b> | <b><math>(f_{S2} - f_Z) * (f_{S5} - f_Z)</math></b> | <b><math>(f_{S2} - f_Z) * (f_{S6} - f_Z)</math></b> |
| 1   | 30.6582   | 4.9284                               | 0   | 0   | 0   | 0   |
| 2   | 531.216   | 282.24                               | 15.456  | 0   | 0   | 0   |
| 3   | 1288.5544   | 1782.5284                            | 427.6886  | 0   | 0   | 0   |
| 4   | 387.328   | 811.1104                             | 890.5696  | 89.4272   | 0   | 0   |
| 5   | 50.75   | 65.9344                              | 363.6136  | 203.3248  | 31.3432   | 0   |
| 6   | 1.6032  | 0.9216                               | 9.5136  | 28.5312   | 16.9152   | 1.0944  |
| 7   | 0.1323  | 0.0441                               | 0.315   | 4.4331  | 6.1698  | 2.6376  |
| 8   | 10.7802   | 11.4921                              | 10.3395   | -19.662   | -55.0536  | -85.4958  |
| 9   | 653.808   | 660.49                               | 652.78  | 522.995   | 298.12  | -70.418   |
| 10  | 169.26  | 169.5204                             | 169.7808  | 155.8494  | 130.5906  | 87.234  |
| 11  | 77.9689   | 77.9689                              | 78.587  | 68.5208   | 57.6599   | 39.5584   |
| 12  | 2290.5355   | 2310.7249                            | 2313.1284   | 2150.1711   | 1871.8458   | 1465.1736   |
| <b><math>\Sigma</math></b>                  | <b>5492.5947</b>                                    | <b>6177.9036</b>                     | <b>4931.7721</b>                                    | <b>3203.5906</b>                                    | <b>2357.5909</b>                                    | <b>1439.7842</b>                                    |
| <b><math>a_{2,i}</math></b>                 | <b><math>a_{2,1}</math></b>                         | <b><math>a_{2,2}</math></b>          | <b><math>a_{2,3}</math></b>                         | <b><math>a_{2,4}</math></b>                         | <b><math>a_{2,5}</math></b>                         | <b><math>a_{2,6}</math></b>                         |

Tabla 3. 7 Cálculo de la Tercera fila de la matriz A

| <b><math>(f_3 - f_Z) * (f - f_Z)</math></b> |   |   |                                      |   |   |   |
|---|---|---|--------------------------------------|---|---|---|
| <b>I. T.</b>                                | <b><math>(f_{S3} - f_Z) * (f_{S1} - f_Z)</math></b> | <b><math>(f_{S3} - f_Z) * (f_{S2} - f_Z)</math></b> | <b><math>(f_{S3} - f_Z)^2</math></b> | <b><math>(f_{S3} - f_Z) * (f_{S4} - f_Z)</math></b> | <b><math>(f_{S3} - f_Z) * (f_{S5} - f_Z)</math></b> | <b><math>(f_{S3} - f_Z) * (f_{S6} - f_Z)</math></b> |
| 1   | 0   | 0   | 0                                    | 0   | 0   | 0   |
| 2   | 29.0904   | 15.456  | 0.8464                               | 0   | 0   | 0   |
| 3   | 309.1676  | 427.6886  | 102.6169                             | 0   | 0   | 0   |
| 4   | 425.272   | 890.5696  | 977.8129                             | 98.1878   | 0   | 0   |
| 5   | 279.875   | 363.6136  | 2005.2484                            | 1121.2912   | 172.8508  | 0   |
| 6   | 16.5497   | 9.5136  | 98.2081                              | 294.5252  | 174.6142  | 11.2974   |
| 7   | 0.945   | 0.315   | 2.25                                 | 31.665  | 44.07   | 18.84   |
| 8   | 9.699   | 10.3395   | 9.3025                               | -17.69  | -49.532   | -76.921   |
| 9   | 646.176   | 652.78  | 645.16                               | 516.89  | 294.64  | -69.596   |
| 10  | 169.52  | 169.7808  | 170.0416                             | 156.0888  | 130.7912  | 87.368  |
| 11  | 78.587  | 78.587  | 79.21                                | 69.064  | 58.117  | 39.872  |
| 12  | 2292.918  | 2313.1284   | 2315.5344                            | 2152.4076   | 1873.7928   | 1466.6976   |
| <b><math>\Sigma</math></b>                  | <b>4257.7997</b>                                    | <b>4931.7721</b>                                    | <b>6406.2312</b>                     | <b>4422.4296</b>                                    | <b>2699.344</b>                                     | <b>1477.558</b>                                     |
| <b><math>a_{3,i}</math></b>                 | <b><math>a_{3,1}</math></b>                         | <b><math>a_{3,2}</math></b>                         | <b><math>a_{3,3}</math></b>          | <b><math>a_{3,4}</math></b>                         | <b><math>a_{3,5}</math></b>                         | <b><math>a_{3,6}</math></b>                         |

Tabla 3. 8 Cálculo de la Cuarta fila de la matriz A

| <b><math>(f_4 - f_Z) * (f - f_Z)</math></b> |   |   |   |                                      |   |   |
|---|---|---|---|--------------------------------------|---|---|
| <b>I. T.</b>                                | <b><math>(f_{S4} - f_Z) * (f_{S1} - f_Z)</math></b> | <b><math>(f_{S4} - f_Z) * (f_{S2} - f_Z)</math></b> | <b><math>(f_{S4} - f_Z) * (f_{S3} - f_Z)</math></b> | <b><math>(f_{S4} - f_Z)^2</math></b> | <b><math>(f_{S4} - f_Z) * (f_{S5} - f_Z)</math></b> | <b><math>(f_{S4} - f_Z) * (f_{S6} - f_Z)</math></b> |
| 1   | 0   | 0   | 0   | 0                                    | 0   | 0   |
| 2   | 0   | 0   | 0   | 0                                    | 0   | 0   |
| 3   | 0   | 0   | 0   | 0                                    | 0   | 0   |
| 4   | 42.704  | 89.4272   | 98.1878   | 9.8596                               | 0   | 0   |
| 5   | 156.5   | 203.3248  | 1121.2912   | 627.0016                             | 96.6544   | 0   |
| 6   | 49.6324   | 28.5312   | 294.5252  | 883.2784                             | 523.6664  | 33.8808   |
| 7   | 13.2993   | 4.4331  | 31.665  | 445.6321                             | 620.2118  | 265.1416  |
| 8   | -18.444   | -19.662   | -17.69  | 33.64                                | 94.192  | 146.276   |
| 9   | 517.704   | 522.995   | 516.89  | 414.1225                             | 236.06  | -55.759   |
| 10  | 155.61  | 155.8494  | 156.0888  | 143.2809                             | 120.0591  | 80.199  |
| 11  | 68.5208   | 68.5208   | 69.064  | 60.2176                              | 50.6728   | 34.7648   |
| 12  | 2131.3845   | 2150.1711   | 2152.4076   | 2000.7729                            | 1741.7862   | 1363.3704   |
| <b><math>\Sigma</math></b>                  | <b>3116.911</b>                                     | <b>3203.5906</b>                                    | <b>4422.4296</b>                                    | <b>4617.8056</b>                     | <b>3483.3027</b>                                    | <b>1867.8736</b>                                    |
| <b><math>a_{4,j}</math></b>                 | <b><math>a_{4,1}</math></b>                         | <b><math>a_{4,2}</math></b>                         | <b><math>a_{4,3}</math></b>                         | <b><math>a_{4,4}</math></b>          | <b><math>a_{4,5}</math></b>                         | <b><math>a_{4,6}</math></b>                         |

Tabla 3. 9 Cálculo de la Quinta fila de la matriz A

| <b><math>(f_5 - f_Z) * (f - f_Z)</math></b> |   |   |   |   |                                      |   |
|---|---|---|---|---|--------------------------------------|---|
| <b>I. T.</b>                                | <b><math>(f_{S5} - f_Z) * (f_{S1} - f_Z)</math></b> | <b><math>(f_{S5} - f_Z) * (f_{S2} - f_Z)</math></b> | <b><math>(f_{S5} - f_Z) * (f_{S3} - f_Z)</math></b> | <b><math>(f_{S5} - f_Z) * (f_{S4} - f_Z)</math></b> | <b><math>(f_{S5} - f_Z)^2</math></b> | <b><math>(f_{S5} - f_Z) * (f_{S6} - f_Z)</math></b> |
| 1   | 0   | 0   | 0   | 0   | 0                                    | 0   |
| 2   | 0   | 0   | 0   | 0   | 0                                    | 0   |
| 3   | 0   | 0   | 0   | 0   | 0                                    | 0   |
| 4   | 0   | 0   | 0   | 0   | 0                                    | 0   |
| 5   | 24.125  | 31.3432   | 172.8508  | 96.6544   | 14.8996                              | 0   |
| 6   | 29.4254   | 16.9152   | 174.6142  | 523.6664  | 310.4644                             | 20.0868   |
| 7   | 18.5094   | 6.1698  | 44.07   | 620.2118  | 863.1844                             | 369.0128  |
| 8   | -51.6432  | -55.0536  | -49.532   | 94.192  | 263.7376                             | 409.5728  |
| 9   | 295.104   | 298.12  | 294.64  | 236.06  | 134.56                               | -31.784   |
| 10  | 130.39  | 130.5906  | 130.7912  | 120.0591  | 100.6009                             | 67.201  |
| 11  | 57.6599   | 57.6599   | 58.117  | 50.6728   | 42.6409                              | 29.2544   |
| 12  | 1855.491  | 1871.8458   | 1873.7928   | 1741.7862   | 1516.3236                            | 1186.8912   |
| <b><math>\Sigma</math></b>                  | <b>2359.0615</b>                                    | <b>2357.5909</b>                                    | <b>2699.344</b>                                     | <b>3483.3027</b>                                    | <b>3246.4114</b>                     | <b>2050.235</b>                                     |
| <b><math>a_{5,j}</math></b>                 | <b><math>a_{5,1}</math></b>                         | <b><math>a_{5,2}</math></b>                         | <b><math>a_{5,3}</math></b>                         | <b><math>a_{5,4}</math></b>                         | <b><math>a_{5,5}</math></b>          | <b><math>a_{5,6}</math></b>                         |

Tabla 3. 10 Cálculo de la Sexta fila de la matriz A

| <b>(f6-fZ)*(f-fZ)</b>  |                               |                               |                               |                               |                               |                        |
|------------------------|-------------------------------|-------------------------------|-------------------------------|-------------------------------|-------------------------------|------------------------|
| <b>I. T.</b>           | <b>(fS6-fZ)*<br/>(fS1-fZ)</b> | <b>(fS6-fZ)*<br/>(fS2-fZ)</b> | <b>(fS6-fZ)*<br/>(fS3-fZ)</b> | <b>(fS6-fZ)*<br/>(fS4-fZ)</b> | <b>(fS6-fZ)*<br/>(fS5-fZ)</b> | <b>(fS6-fZ)^2</b>      |
| 1                      | 0                             | 0                             | 0                             | 0                             | 0                             | 0                      |
| 2                      | 0                             | 0                             | 0                             | 0                             | 0                             | 0                      |
| 3                      | 0                             | 0                             | 0                             | 0                             | 0                             | 0                      |
| 4                      | 0                             | 0                             | 0                             | 0                             | 0                             | 0                      |
| 5                      | 0                             | 0                             | 0                             | 0                             | 0                             | 0                      |
| 6                      | 1.9038                        | 1.0944                        | 11.2974                       | 33.8808                       | 20.0868                       | 1.2996                 |
| 7                      | 7.9128                        | 2.6376                        | 18.84                         | 265.1416                      | 369.0128                      | 157.7536               |
| 8                      | -80.1996                      | -85.4958                      | -76.921                       | 146.276                       | 409.5728                      | 636.0484               |
| 9                      | -69.7056                      | -70.418                       | -69.596                       | -55.759                       | -31.784                       | 7.5076                 |
| 10                     | 87.1                          | 87.234                        | 87.368                        | 80.199                        | 67.201                        | 44.89                  |
| 11                     | 39.5584                       | 39.5584                       | 39.872                        | 34.7648                       | 29.2544                       | 20.0704                |
| 12                     | 1452.372                      | 1465.1736                     | 1466.6976                     | 1363.3704                     | 1186.8912                     | 929.0304               |
| <b>Σ</b>               | <b>1438.9418</b>              | <b>1439.7842</b>              | <b>1477.558</b>               | <b>1867.8736</b>              | <b>2050.235</b>               | <b>1796.6</b>          |
| <b>a<sub>6,j</sub></b> | <b>a<sub>6,1</sub></b>        | <b>a<sub>6,2</sub></b>        | <b>a<sub>6,3</sub></b>        | <b>a<sub>6,4</sub></b>        | <b>a<sub>6,5</sub></b>        | <b>a<sub>6,6</sub></b> |

La ecuación lineal será:

Tabla 3. 11 Matriz A

| <b>Matriz A (6,6)</b> |               |               |               |               |               |               |
|-----------------------|---------------|---------------|---------------|---------------|---------------|---------------|
|                       | <b>fS1-fZ</b> | <b>fS2-fZ</b> | <b>fS3-fZ</b> | <b>fS4-fZ</b> | <b>fS5-fZ</b> | <b>fS6-fZ</b> |
| <b>fS1-fZ</b>         | 5524.0166     | 5492.5947     | 4257.7997     | 3116.911      | 2359.0615     | 1438.9418     |
| <b>fS2-fZ</b>         | 5492.5947     | 6177.9036     | 4931.7721     | 3203.5906     | 2357.5909     | 1439.7842     |
| <b>fS3-fZ</b>         | 4257.7997     | 4931.7721     | 6406.2312     | 4422.4296     | 2699.344      | 1477.558      |
| <b>fS4-fZ</b>         | 3116.911      | 3203.5906     | 4422.4296     | 4617.8056     | 3483.3027     | 1867.8736     |
| <b>fS5-fZ</b>         | 2359.0615     | 2357.5909     | 2699.344      | 3483.3027     | 3246.4114     | 2050.235      |
| <b>fS6-fZ</b>         | 1438.9418     | 1439.7842     | 1477.558      | 1867.8736     | 2050.235      | 1796.6        |

Tabla 3. 12 Inversa de A

| <b>Matriz Inversa de A: INV(A) (6,6)</b> |               |               |               |               |               |               |
|--|---------------|---------------|---------------|---------------|---------------|---------------|
|  | <b>fS1-fZ</b> | <b>fS2-fZ</b> | <b>fS3-fZ</b> | <b>fS4-fZ</b> | <b>fS5-fZ</b> | <b>fS6-fZ</b> |
| <b>fS1-fZ</b>                            | 0.00199447    | -0.00206921   | 0.00091912    | -0.00157141   | 0.00136911    | -0.00062373   |
| <b>fS2-fZ</b>                            | -0.00206921   | 0.00274994    | -0.00176868   | 0.002742      | -0.00264225   | 0.00107258    |
| <b>fS3-fZ</b>                            | 0.00091912    | -0.00176868   | 0.00236257    | -0.00397046   | 0.00394609    | -0.00163698   |
| <b>fS4-fZ</b>                            | -0.00157141   | 0.002742      | -0.00397046   | 0.00843215    | -0.00905203   | 0.00388983    |
| <b>fS5-fZ</b>                            | 0.00136911    | -0.00264225   | 0.00394609    | -0.00905203   | 0.01118757    | -0.00558025   |
| <b>fS6-fZ</b>                            | -0.00062373   | 0.00107258    | -0.00163698   | 0.00388983    | -0.00558025   | 0.0038668     |

Tabla 3. 13 Matriz B

| <b>B (6,1)</b> |           |
|----------------|-----------|
|                | fA-fZ     |
| fS1-fZ         | 3370.4736 |
| fS2-fZ         | 3591.8493 |
| fS3-fZ         | 3813.2673 |
| fS4-fZ         | 3306.3107 |
| fS5-fZ         | 2583.2527 |
| fS6-fZ         | 1604.5360 |

La matriz X será:

Tabla 3. 14 Matriz X obtenida de AX=B

| <b>X (6,1)</b> |            |
|----------------|------------|
| (Salidas)      |            |
| $\beta_1$      | 0.13531075 |
| $\beta_2$      | 0.12001136 |
| $\beta_3$      | 0.19379033 |
| $\beta_4$      | 0.14903508 |
| $\beta_5$      | 0.18927903 |
| $\beta_6$      | 0.15822086 |

Nota:  $\beta_Zc$  se halla por la siguiente ecuación:

$$\beta_Zc = 1 - (\beta_1c + \beta_2c + \beta_3c + \beta_4c + \beta_5c + \beta_6c)$$

|           |            |
|-----------|------------|
| $\beta_Z$ | 0.05435258 |
|-----------|------------|

### 3.5.2 Hallar los errores para cada malla:

$$\Delta M = fA - (fS1 * \beta_1c + fS2 * \beta_2c + fS3 * \beta_3c + fS4 * \beta_4c + fS5 * \beta_5c + fS6 * \beta_6c + fZ * \beta_Zc)$$



Tabla 3. 15 Cálculo de los errores

|       |             | Alimento | Spigot #01 | Spigot #02 | Spigot #03 | Spigot #04 | Spigot #05 | Spigot #06 | Rebose |             |
|-------|-------------|----------|------------|------------|------------|------------|------------|------------|--------|-------------|
| I. T. | Malla       | fA       | fS1        | fS2        | fS3        | fS4        | fS5        | fS6        | fZ     | $\Delta M$  |
| 1     | -m14 +m20   | 2.43     | 13.81      | 2.22       | 0.00       | 0.00       | 0.00       | 0.00       | 0.00   | 0.29493327  |
| 2     | -m20 +m30   | 6.28     | 31.62      | 16.80      | 0.92       | 0.00       | 0.00       | 0.00       | 0.00   | -0.19300404 |
| 3     | -m30 +m40   | 11.12    | 30.52      | 42.22      | 10.13      | 0.00       | 0.00       | 0.00       | 0.00   | -0.03966    |
| 4     | -m40 +m50   | 11.87    | 13.60      | 28.48      | 31.27      | 3.14       | 0.00       | 0.00       | 0.00   | 0.0840564   |
| 5     | -m50 +m70   | 14.84    | 6.25       | 8.12       | 44.78      | 25.04      | 3.86       | 0.00       | 0.00   | -0.1205709  |
| 6     | -m70 +m100  | 10.29    | 1.67       | 0.96       | 9.91       | 29.72      | 17.62      | 1.14       | 0.00   | 0.08356702  |
| 7     | -m100 +m140 | 11.30    | 0.99       | 0.57       | 1.86       | 21.47      | 29.74      | 12.92      | 0.36   | -0.15553616 |
| 8     | -m140 +m200 | 10.37    | 0.50       | 0.29       | 0.63       | 9.48       | 19.92      | 28.90      | 3.68   | 0.1895622   |
| 9     | -m200 +m270 | 9.30     | 0.36       | 0.10       | 0.40       | 5.45       | 14.20      | 28.54      | 25.80  | -0.25615252 |
| 10    | -m270 +m325 | 1.96     | 0.08       | 0.06       | 0.04       | 1.11       | 3.05       | 6.38       | 13.08  | -0.528888   |
| 11    | -m325 +m400 | 2.37     | 0.09       | 0.09       | 0.02       | 1.16       | 2.39       | 4.44       | 8.92   | 0.53056198  |
| 12    | -m400       | 7.87     | 0.51       | 0.09       | 0.04       | 3.43       | 9.22       | 17.68      | 48.16  | 0.11113074  |

### 3.5.3 Hallar los Multiplicadores de Lagrange para cada malla.

$$\lambda = -2 * \frac{\Delta M}{[1 + \beta_1 c^2 + \beta_2 c^2 + \beta_3 c^2 + \beta_4 c^2 + \beta_5 c^2 + \beta_6 c^2 + \beta_Z c^2]}$$

Donde:

$$1 + \beta_1 c^2 + \beta_2 c^2 + \beta_3 c^2 + \beta_4 c^2 + \beta_5 c^2 + \beta_6 c^2 + \beta_Z c^2 = 1.156292469$$

Tabla 3. 16 Cálculo de los Multiplicadores de Lagrange

| I. T. | Malla       | $\Delta M$  | $\lambda$<br>MULTIPLICADORES<br>DE LAGRANGE |
|-------|-------------|-------------|---|
| 1     | -m14 +m20   | 0.29493327  | -0.510136105                                |
| 2     | -m20 +m30   | -0.19300404 | 0.333832557                                 |
| 3     | -m30 +m40   | -0.03966    | 0.068598553                                 |
| 4     | -m40 +m50   | 0.0840564   | -0.145389517                                |
| 5     | -m50 +m70   | -0.1205709  | 0.208547414                                 |
| 6     | -m70 +m100  | 0.08356702  | -0.144543047                                |
| 7     | -m100 +m140 | -0.15553616 | 0.269025641                                 |
| 8     | -m140 +m200 | 0.1895622   | -0.327879337                                |
| 9     | -m200 +m270 | -0.25615252 | 0.443058357                                 |
| 10    | -m270 +m325 | -0.528888   | 0.914799689                                 |
| 11    | -m325 +m400 | 0.53056198  | -0.917695117                                |
| 12    | -m400       | 0.11113074  | -0.192219088                                |

### 3.5.4 Hallar las correcciones:

$$\begin{aligned}\Delta fA &= -\frac{\lambda}{2} & \Delta fS4 &= +\frac{\lambda * \beta 4c}{2} \\ \Delta fS1 &= +\frac{\lambda * \beta 1c}{2} & \Delta fS5 &= +\frac{\lambda * \beta 5c}{2} \\ \Delta fS2 &= +\frac{\lambda * \beta 2c}{2} & \Delta fS6 &= +\frac{\lambda * \beta 6c}{2} \\ \Delta fS3 &= +\frac{\lambda * \beta 3c}{2} & \Delta fZ &= +\frac{\lambda * \beta Zc}{2}\end{aligned}$$

Tabla 3. 17 Cálculo de las Correcciones

| I. T. | CORRECCIONES |              |              |              |              |              |              |             |
|-------|--------------|--------------|--------------|--------------|--------------|--------------|--------------|-------------|
|       | $\Delta fA$  | $\Delta fS1$ | $\Delta fS2$ | $\Delta fS3$ | $\Delta fS4$ | $\Delta fS5$ | $\Delta fS6$ | $\Delta fZ$ |
| 1     | 0.255068     | -0.034513    | -0.030611    | -0.049429    | -0.038014    | -0.048279    | -0.040357    | -0.013863   |
| 2     | -0.166916    | 0.022585     | 0.020031     | 0.032346     | 0.024876     | 0.031593     | 0.026409     | 0.009072    |
| 3     | -0.034299    | 0.004641     | 0.004116     | 0.006646     | 0.005111     | 0.006492     | 0.005426     | 0.001864    |
| 4     | 0.072694     | -0.009836    | -0.008724    | -0.014087    | -0.010834    | -0.013759    | -0.011501    | -0.003951   |
| 5     | -0.104273    | 0.014109     | 0.012514     | 0.020207     | 0.015540     | 0.019736     | 0.016498     | 0.005667    |
| 6     | 0.072271     | -0.009779    | -0.008673    | -0.014005    | -0.010770    | -0.013679    | -0.011434    | -0.003928   |
| 7     | -0.134512    | 0.018201     | 0.016143     | 0.026067     | 0.020047     | 0.025460     | 0.021282     | 0.007311    |
| 8     | 0.163939     | -0.022182    | -0.019674    | -0.031769    | -0.024432    | -0.031030    | -0.025938    | -0.008910   |
| 9     | -0.221529    | 0.029975     | 0.026586     | 0.042930     | 0.033015     | 0.041930     | 0.035050     | 0.012040    |
| 10    | -0.457399    | 0.061891     | 0.054893     | 0.088639     | 0.068168     | 0.086576     | 0.072370     | 0.024860    |
| 11    | 0.458847     | -0.062087    | -0.055066    | -0.088920    | -0.068384    | -0.086850    | -0.072599    | -0.024939   |
| 12    | 0.096109     | -0.013004    | -0.011534    | -0.018625    | -0.014323    | -0.018191    | -0.015206    | -0.005223   |

### 3.5.5 Corregir los Análisis Granulométricos

$$fAc = fA - \Delta fA$$

$$fS1c = fS1 - \Delta fS1$$

$$fS2c = fS2 - \Delta fS2$$

$$fS3c = fS3 - \Delta fS3$$

$$fS4c = fS4 - \Delta fS4$$

$$fS5c = fS5 - \Delta fS5$$

$$fS6c = fS6 - \Delta fS6$$

$$fZc = fZ - \Delta fZ$$

**3.5.6 Análisis Granulométricos Corregidos**

**Tabla 3. 18 Análisis Granulométricos Corregidos – Porcentajes en Peso**

|       |             | Alimento | Spigot #01 | Spigot #02 | Spigot #03 | Spigot #04 | Spigot #05 | Spigot #06 | Rebose |
|-------|-------------|----------|------------|------------|------------|------------|------------|------------|--------|
| I. T. | Malla       | fAc      | fS1c       | fS2c       | fS3c       | fS4c       | fS5c       | fS6c       | fZc    |
| 1     | -m14 +m20   | 2.17     | 13.84      | 2.25       | 0.05       | 0.04       | 0.05       | 0.04       | 0.01   |
| 2     | -m20 +m30   | 6.45     | 31.60      | 16.78      | 0.89       | -0.02      | -0.03      | -0.03      | -0.01  |
| 3     | -m30 +m40   | 11.15    | 30.52      | 42.22      | 10.12      | -0.01      | -0.01      | -0.01      | 0.00   |
| 4     | -m40 +m50   | 11.80    | 13.61      | 28.49      | 31.28      | 3.15       | 0.01       | 0.01       | 0.00   |
| 5     | -m50 +m70   | 14.94    | 6.24       | 8.11       | 44.76      | 25.02      | 3.84       | -0.02      | -0.01  |
| 6     | -m70 +m100  | 10.22    | 1.68       | 0.97       | 9.92       | 29.73      | 17.63      | 1.15       | 0.00   |
| 7     | -m100 +m140 | 11.43    | 0.97       | 0.55       | 1.83       | 21.45      | 29.71      | 12.90      | 0.35   |
| 8     | -m140 +m200 | 10.21    | 0.52       | 0.31       | 0.66       | 9.50       | 19.95      | 28.93      | 3.69   |
| 9     | -m200 +m270 | 9.52     | 0.33       | 0.07       | 0.36       | 5.42       | 14.16      | 28.50      | 25.79  |
| 10    | -m270 +m325 | 2.42     | 0.02       | 0.01       | -0.05      | 1.04       | 2.96       | 6.31       | 13.06  |
| 11    | -m325 +m400 | 1.91     | 0.15       | 0.15       | 0.11       | 1.23       | 2.48       | 4.51       | 8.94   |
| 12    | -m400       | 7.77     | 0.52       | 0.10       | 0.06       | 3.44       | 9.24       | 17.70      | 48.17  |

**3.5.7 Hallar el Error de la corrección:**

$$S = \sum \Delta/A^2 + \sum \Delta/S1^2 + \sum \Delta/S2^2 + \sum \Delta/S3^2 + \sum \Delta/S4^2 + \sum \Delta/S5^2 + \sum \Delta/S6^2 + \sum \Delta/Z^2$$

**Tabla 3. 19 Calculo del Error de la Correccion:**

|       | ERROR      | <b>0.738310</b> |            |            |            |            |            |            |  |
|-------|------------|-----------------|------------|------------|------------|------------|------------|------------|--|
| I. T. | fAc        | fS1c            | fS2c       | fS3c       | fS4c       | fS5c       | fS6c       | fZc        |  |
| 1     | 0.06505971 | 0.00119118      | 0.00093704 | 0.0024433  | 0.00144507 | 0.00233087 | 0.00162869 | 0.0001922  |  |
| 2     | 0.02786104 | 0.00051011      | 0.00040128 | 0.00104631 | 0.00061883 | 0.00099817 | 0.00069747 | 8.2307E-05 |  |
| 3     | 0.00117644 | 2.1539E-05      | 1.6944E-05 | 4.4181E-05 | 2.613E-05  | 4.2148E-05 | 2.9451E-05 | 3.4754E-06 |  |
| 4     | 0.00528453 | 9.6754E-05      | 7.6112E-05 | 0.00019846 | 0.00011738 | 0.00018933 | 0.00013229 | 1.5612E-05 |  |
| 5     | 0.01087301 | 0.00019907      | 0.0001566  | 0.00040833 | 0.00024151 | 0.00038954 | 0.00027219 | 3.2121E-05 |  |
| 6     | 0.00522317 | 9.5631E-05      | 7.5228E-05 | 0.00019615 | 0.00011601 | 0.00018713 | 0.00013076 | 1.543E-05  |  |
| 7     | 0.0180937  | 0.00033128      | 0.0002606  | 0.0006795  | 0.00040189 | 0.00064823 | 0.00045295 | 5.3452E-05 |  |
| 8     | 0.02687621 | 0.00049208      | 0.00038709 | 0.00100933 | 0.00059696 | 0.00096288 | 0.00067281 | 7.9398E-05 |  |
| 9     | 0.04907518 | 0.00089852      | 0.00070682 | 0.001843   | 0.00109003 | 0.00175819 | 0.00122854 | 0.00014498 |  |
| 10    | 0.20921462 | 0.00383051      | 0.00301326 | 0.00785699 | 0.00464696 | 0.00749544 | 0.00523745 | 0.00061806 |  |
| 11    | 0.21054108 | 0.0038548       | 0.00303237 | 0.00790681 | 0.00467642 | 0.00754296 | 0.00527065 | 0.00062198 |  |
| 12    | 0.00923704 | 0.00016912      | 0.00013304 | 0.00034689 | 0.00020517 | 0.00033093 | 0.00023124 | 2.7288E-05 |  |

### 3.6 *CORRECCIÓN DE LOS ANÁLISIS GRANULOMÉTRICOS DE PORCENTAJES ACUMULADOS*

Este mismo proceso se realizó para los Porcentajes Acumulados de los Análisis Granulométricos.

Tanto los Porcentajes Acumulados Retenidos como los Pasantes, dan los mismos resultados (Análisis corregidos, Errores, Multiplicadores de Lagrange,...).

Esto es debido a que los elementos de las matrices A y B en la posición (i,j) de la ecuación 2.7 son iguales:

Sea:

$F_i$ : es un elemento de los Porcentajes Acumulados Pasantes:

$G_i$ : es el mismo elemento pero de los Porcentajes Acumulados Retenidos:

$$G_i = 100\% - F_i$$

$$\sum [(GS_a - GZ) * (GS_b - GZ)]$$

$$\sum [((100 - FS_a) - (100 - FZ)) * ((100 - FS_b) - (100 - FZ))]$$

$$\sum [(-1) * (FS_a - FZ) * (-1) * (FS_b - FZ)]$$

Entonces:

**Ecuación 3. 1**

$$\sum [(GS_a - GZ) * (GS_b - GZ)] = \sum [(FS_a - FZ) * (FS_b - FZ)]$$

Se presentan los resultados para los Análisis Granulométricos corregidos por Porcentaje Acumulado Pasante.

**Tabla 3. 20 Analisis Granulométricos Corregidos por Porcentajes Acumulados Pasantes**

|      |             | Alimento | Spigot #01 | Spigot #02 | Spigot #03 | Spigot #04 | Spigot #05 | Spigot #06 | Rebose |
|------|-------------|----------|------------|------------|------------|------------|------------|------------|--------|
| I.T. | Malla       | fAc      | fS1c       | fS2c       | fS3c       | fS4c       | fS5c       | fS6c       | fZc    |
| 1    | -m14 +m20   | 97.74    | 86.16      | 97.76      | 99.96      | 99.98      | 99.96      | 99.98      | 99.99  |
| 2    | -m20 +m30   | 91.22    | 54.58      | 80.99      | 99.09      | 100.01     | 100.02     | 100.01     | 100.00 |
| 3    | -m30 +m40   | 80.16    | 24.05      | 38.76      | 88.95      | 100.00     | 100.00     | 100.00     | 100.00 |
| 4    | -m40 +m50   | 68.34    | 10.44      | 10.28      | 57.67      | 96.85      | 99.99      | 99.99      | 100.00 |
| 5    | -m50 +m70   | 53.41    | 4.21       | 2.17       | 12.91      | 71.83      | 96.15      | 100.01     | 100.00 |
| 6    | -m70 +m100  | 43.24    | 2.52       | 1.19       | 2.98       | 42.09      | 78.50      | 98.85      | 100.00 |
| 7    | -m100 +m140 | 31.72    | 1.56       | 0.65       | 1.16       | 20.65      | 48.81      | 85.96      | 99.65  |
| 8    | -m140 +m200 | 21.72    | 1.01       | 0.32       | 0.46       | 11.12      | 28.81      | 57.01      | 95.95  |
| 9    | -m200 +m270 | 12.31    | 0.66       | 0.23       | 0.08       | 5.69       | 14.64      | 28.49      | 70.15  |
| 10   | -m270 +m325 | 9.87     | 0.65       | 0.22       | 0.14       | 4.64       | 11.69      | 22.17      | 57.10  |
| 11   | -m325 +m400 | 7.94     | 0.50       | 0.08       | 0.03       | 3.42       | 9.21       | 17.67      | 48.16  |
| 12   | -m400       | 0.00     | 0.00       | 0.00       | 0.00       | 0.00       | 0.00       | 0.00       | 0.00   |

El error obtenido es de: 0.31482174

## **CAPÍTULO 4**

### **CORRECCIÓN DE ANÁLISIS QUÍMICO EN EL SISTEMA POR MULTIPLICADORES DE LAGRANGE**

#### ***4.1 INTRODUCCIÓN***

Un procedimiento empleado en el procesamiento de minerales es el denominado “Mallas Valoradas” que consiste en obtener las leyes (Análisis Químico) de las fracciones de los Análisis Granulométricos, esto con el fin de determinar la distribución de un elemento  $X$  según la granulometría de una muestra.

Al igual que los análisis granulométricos, se presentan ciertos “errores” que provocan una inconsistencia matemática respecto a los análisis químicos. Aquí el problema se complica. Recordemos que en la corrección de análisis granulométrico, la inconsistencia matemática es por intervalos de tamaños, manteniéndose que para una muestra la suma de las fracciones es igual a uno (100%) (Revisar propiedad #05 del Capítulo 2); es decir, con el formato de las tablas empleadas (una columna representa el análisis granulométrico de una muestra), la inconsistencia matemática es referido a un intervalo de tamaños o de una dimensión., en las tablas se presenta dicha inconsistencia en forma “horizontal”.

En el caso de los Análisis Químicos, se presenta inconsistencia matemática respecto a las leyes analizadas por intervalos de tamaño (en forma horizontal) y

también una inconsistencia matemática referido a cada muestra; es decir, en una muestra (ya sea entrada o salida del sistema) se debe de cumplir que la ley de la muestra calculada por las fracciones del análisis granulométrico sea igual a la ley de la muestra analizada en forma de compósito. Es decir se presenta también una inconsistencia “vertical” dando por resultado un problema “bidimensional” (corregir tanto horizontalmente como verticalmente). El método de corrección empleado, al igual que el Capítulo 2 es por medio de los Multiplicadores de Lagrange.

Aunque si bien es posible formular un algoritmo que corrija simultáneamente las fracciones granulométricas con sus respectivas leyes, esto se podría complicar demasiado. Por lo tanto, las correcciones efectuadas se realizan en serie, es decir, para corregir los Análisis Químicos se debe de corregir previamente los análisis granulométricos.

A diferencia del Capítulo 2 en la que las correcciones pueden realizarse en forma simple, casi directa, en este capítulo se tuvo que recurrir a conceptos de Álgebra Lineal, desarrollo y operación de las ecuaciones en forma matricial que de otro modo la comprensión de este método habría alcanzado un nivel de dificultad mayor.

Aún con ésta complicación de ecuaciones matriciales, se muestra el resumen como una receta, que siguiéndose paso a paso no debería de acarrear mayores dificultades.

Al final de este capítulo y análogamente al desarrollado en el Capítulo 2 se presentan dos propiedades de esta corrección.

**4.2 BALANCE DE MASA:**

De la Tabla 2.1 los Análisis granulométricos pueden representarse de la siguiente manera:

**Tabla 4. 1 Esquema simbólico de los Análisis Granulométricos.**

|                    |                   | ENTRADA            |                     |                     |     |                     | SALIDA             |                     |                     |     |                     |
|--------------------|-------------------|--------------------|---------------------|---------------------|-----|---------------------|--------------------|---------------------|---------------------|-----|---------------------|
|                    | Flujo (Ej: t/h)   | Ac (Principal)     | E1c                 | E2c                 | ... | Emc                 | Zc (Principal)     | S1c                 | S2c                 | ... | Snc                 |
|                    | Intervalo Tamaños |                    |                     |                     |     |                     |                    |                     |                     |     |                     |
| Fracciones en Peso | i                 | fAc <sup>i</sup>   | fE1c <sup>i</sup>   | fE2c <sup>i</sup>   | ... | fEmc <sup>i</sup>   | fZc <sup>i</sup>   | fS1c <sup>i</sup>   | fS2c <sup>i</sup>   | ... | fSnc <sup>i</sup>   |
|                    | ii                | fAc <sup>ii</sup>  | fE1c <sup>ii</sup>  | fE2c <sup>ii</sup>  | ... | fEmc <sup>ii</sup>  | fZc <sup>ii</sup>  | fS1c <sup>ii</sup>  | fS2c <sup>ii</sup>  | ... | fSnc <sup>ii</sup>  |
|                    | iii               | fAc <sup>iii</sup> | fE1c <sup>iii</sup> | fE2c <sup>iii</sup> | ... | fEmc <sup>iii</sup> | fZc <sup>iii</sup> | fS1c <sup>iii</sup> | fS2c <sup>iii</sup> | ... | fSnc <sup>iii</sup> |
|                    | ...               | ...                | ...                 | ...                 | ... | ...                 | ...                | ...                 | ...                 | ... | ...                 |
|                    | k-1               | fAc <sup>k-1</sup> | fE1c <sup>k-1</sup> | fE2c <sup>k-1</sup> | ... | fEmc <sup>k-1</sup> | fZc <sup>k-1</sup> | fS1c <sup>k-1</sup> | fS2c <sup>k-1</sup> | ... | fSnc <sup>k-1</sup> |
|                    | k                 | fAc <sup>k</sup>   | fE1c <sup>k</sup>   | fE2c <sup>k</sup>   | ... | fEmc <sup>k</sup>   | fZc <sup>k</sup>   | fS1c <sup>k</sup>   | fS2c <sup>k</sup>   | ... | fSnc <sup>k</sup>   |

Análogamente las leyes de un elemento X para los Flujos y fracciones de los análisis Granulométricos se pueden representarse como sigue:

**Tabla 4. 2 Esquema simbólico de los Análisis Químicos.**

|                      |   | ENTRADA            |                     |                     |     |                     | SALIDA             |                     |                     |     |                     |
|----------------------|---|--------------------|---------------------|---------------------|-----|---------------------|--------------------|---------------------|---------------------|-----|---------------------|
| Intervalo de Tamaños | Ley Flujos                                | LA                 | LE1                 | LE2                 | ... | LEm                 | LZ                 | LS1                 | LS2                 | ... | LSn                 |
| i                    | Ley para cada fracción (mallas valoradas) | LfA <sup>i</sup>   | LfE1 <sup>i</sup>   | LfE2 <sup>i</sup>   | ... | LfEm <sup>i</sup>   | LfZ <sup>i</sup>   | LfS1 <sup>i</sup>   | LfS2 <sup>i</sup>   | ... | LfSn <sup>i</sup>   |
| ii                   |   | LfA <sup>ii</sup>  | LfE1 <sup>ii</sup>  | LfE2 <sup>ii</sup>  | ... | LfEm <sup>ii</sup>  | LfZ <sup>ii</sup>  | LfS1 <sup>ii</sup>  | LfS2 <sup>ii</sup>  | ... | LfSn <sup>ii</sup>  |
| iii                  |   | LfA <sup>iii</sup> | LfE1 <sup>iii</sup> | LfE2 <sup>iii</sup> | ... | LfEm <sup>iii</sup> | LfZ <sup>iii</sup> | LfS1 <sup>iii</sup> | LfS2 <sup>iii</sup> | ... | LfSn <sup>iii</sup> |
| ...                  |   | ...                | ...                 | ...                 | ... | ...                 | ...                | ...                 | ...                 | ... | ...                 |
| k-1                  |   | LfA <sup>k-1</sup> | LfE1 <sup>k-1</sup> | LfE2 <sup>k-1</sup> | ... | LfEm <sup>k-1</sup> | LfZ <sup>k-1</sup> | LfS1 <sup>k-1</sup> | LfS2 <sup>k-1</sup> | ... | LfSn <sup>k-1</sup> |
| k                    |   | LfA <sup>k</sup>   | LfE1 <sup>k</sup>   | LfE2 <sup>k</sup>   | ... | LfEm <sup>k</sup>   | LfZ <sup>k</sup>   | LfS1 <sup>k</sup>   | LfS2 <sup>k</sup>   | ... | LfSn <sup>k</sup>   |



### 4.3 ECUACIONES DE BALANCE POR UN ELEMENTO X:

Por fracciones de cada Entrada y/o Salida:

#### Ecuación 4. 1

$$Lc = Lfc^1 * fc^1 + Lfc^2 * fc^2 + Lfc^3 * fc^3 + \dots + Lfc^{k-1} * fc^{k-1} + Lfc^k * fc^k$$

$$\sum (Lfc * fc) = Lc$$

Donde:

$fc^i$ : Fracción de un Alimento y/o Producto corregida correspondiente a un intervalo de tamaños "i".

$Lc$ : Ley corregida del elemento X en el Flujo.

$Lfc^i$ : Ley corregida del elemento X en una fracción del Análisis Granulométrico correspondiente a un intervalo de tamaños "i".

$k$ : Intevalo de Tamaños más fino.

Caudales (Flujos):

#### Ecuación 4. 2

$$LAc * Ac + LE1c * E1c + LE2c * E2c + \dots + LEmc * Emc$$

$$= LS1c * S1c + LS2c * S2c + \dots + LSnc * Snc + LZc * Zc$$

Dividiendo a cada término por Ac obtenemos:

#### Ecuación 4. 3

$$LAc + LE1c * \alpha 1c + LE2c * \alpha 2c + \dots + LEmc * \alpha mc$$

$$= LS1c * \beta 1c + LS2c * \beta 2c + \dots + LSnc * \beta nc + LZc * \beta Zc$$

Mallas:

#### Ecuación 4. 4

$$LfAc * fAc * Ac + LfE1c * fE1c * E1c + LfE2c * fE2c * E2c + \dots + LfEmc * fEmc * Emc$$

$$= LfS1c * fS1c * S1c + LfS2c * fS2c * S2c + \dots + LfSnc * fSnc * Snc + LfZc * fZc * Zc$$

Con lo cual se tiene en las ecuaciones de balance de masa por un elemento X:

**Ecuación 4. 5**

$$LfAc * fAc + LfE1c * fE1c * \alpha1c + LfE2c * fE2c * \alpha2c + \dots + LfEmc * fEmc * \alpha mc$$

$$= LfS1c * fS1c * \beta1c + LfS2c * fS2c * \beta2c + \dots + LfSnc * fSnc * \beta nc + LfZc * fZc * \beta Zc$$

Tendremos los siguientes errores debido a los análisis químicos:

Definimos:

$$\Delta LA = LA - LAc$$

$$\Delta LfA = LfA - LfAc$$

$$\Delta LEi = LEi - LEic; i = \{1, 2, \dots, m\}$$

$$\Delta LfEi = LfEi - LfEic; i = \{1, 2, \dots, m\}$$

$$\Delta LSj = LSj - LSjc; j = \{1, 2, \dots, n\}$$

$$\Delta LfSj = LfSj - LfSjc; j = \{1, 2, \dots, n\}$$

$$\Delta LZ = LZ - LZc$$

$$\Delta LfZ = LfZ - LfZc$$

Si hacemos la sumatoria de la ecuación 4.5 para todos los intervalos de tamaño obtendremos:

**Ecuación 4. 6**

$$\sum (LfAc * fAc) + \alpha1c * \sum (LfE1c * fE1c) + \alpha2c * \sum (LfE2c * fE2c) + \dots + \alpha mc * \sum (LfEmc * fEmc)$$

$$= \beta1c * \sum (LfS1c * fS1c) + \beta2c * \sum (LfS2c * fS2c) + \dots + \beta nc * \sum (LfSnc * fSnc) + \beta Zc * \sum (LfZc * fZc)$$

Si reemplazamos la ecuación 4.1 en la ecuación 4.6

$$LAc + \alpha1c * LE1c + \alpha2c * LE2c + \dots + \alpha mc * LEmc$$

$$= \beta1c * LS1c + \beta2c * LS2c + \dots + \beta nc * LSnc + \beta Zc * LZc$$

La cual es Idéntica a la ecuación 4.3; por lo tanto, dicha ecuación 4.3 no deberá ser incluida en todo el proceso de corrección debido a las siguientes razones:

- Este error será corregido inherentemente al corregir las ecuaciones 4.1 y 4.5
- Si se incluye la ecuación 4.3, se obtendrá un sistema de ecuaciones LINEALMENTE DEPENDIENTE, provocando así, una matriz SINGULAR (Determinante CERO) por ende dicho sistema NO tendría solución o existirían infinitas soluciones.

Definimos los errores:

**Por Malla:**

**Ecuación 4. 7**

$$\Delta Mq = LfA * fAc + LfE1 * fE1c * \alpha 1c + LfE2 * fE2c * \alpha 2c + \dots + LfEm * fEmc * \alpha mc \\ - (LfS1 * fS1c * \beta 1c + LfS2 * fS2c * \beta 2c + \dots + LfSn * fSnc * \beta nc + LfZ * fZc * \beta Zc)$$

Tendremos:

$$\Delta Mq = (\Delta LfA + LfAc) * fAc + (\Delta LfE1 + LfE1c) * fE1c * \alpha 1c + (\Delta LfE2 + LfE2c) * fE2c * \alpha 2c \\ + \dots + (\Delta LfEm + LfEmc) * fEmc * \alpha mc - [(\Delta LfS1 + LfS1c) * fS1c * \beta 1c + (\Delta LfS2 + LfS2c) * fS2c * \beta 2c + \dots \\ + (\Delta LfSn + LfSnc) * fSnc * \beta nc + (\Delta LfZ + LfZc) * fZc * \beta Zc]$$

Simplificando tendremos:

$$\Delta Mq = \Delta LfA * fAc + \Delta LfE1 * fE1c * \alpha 1c + \Delta LfE2 * fE2c * \alpha 2c + \dots + \Delta LfEm * fEmc * \alpha mc \\ - (\Delta LfS1 * fS1c * \beta 1c + \Delta LfS2 * fS2c * \beta 2c + \dots + \Delta LfSn * fSnc * \beta nc + \Delta LfZ * fZc * \beta Zc) \\ + LfAc * fAc + LfE1c * fE1c * \alpha 1c + LfE2c * fE2c * \alpha 2c + \dots + LfEmc * fEmc * \alpha mc \\ - (LfS1c * fS1c * \beta 1c + LfS2c * fS2c * \beta 2c + \dots + LfSnc * fSnc * \beta nc + LfZc * fZc * \beta Zc)$$

Pero se define por ser las leyes corregidas:

$$0 = LfAc * fAc + LfE1c * fE1c * \alpha 1c + LfE2c * fE2c * \alpha 2c + \dots + LfEmc * fEmc * \alpha mc \\ - (LfS1c * fS1c * \beta 1c + LfS2c * fS2c * \beta 2c + \dots + LfSnc * fSnc * \beta nc + LfZc * fZc * \beta Zc)$$

Obtendremos entonces:

**Ecuación 4. 8**

$$\Delta Mq = \Delta LfA * fAc + \Delta LfE1 * fE1c * \alpha 1c + \Delta LfE2 * fE2c * \alpha 2c + \dots + \Delta LfEm * fEmc * \alpha mc \\ - (\Delta LfS1 * fS1c * \beta 1c + \Delta LfS2 * fS2c * \beta 2c + \dots + \Delta LfSn * fSnc * \beta nc + \Delta LfZ * fZc * \beta Zc)$$

**Por Alimentos y Producto:**

**Ecuación 4. 9**

$$\Delta MqES = L - (Lf^I * fc^I + Lf^{II} * fc^{II} + Lf^{III} * fc^{III} + \dots + Lf^{k-1} * fc^{k-1} + Lf^k * fc^k) \\ \Delta MqES = L - \sum^k (Lf * fc)$$

Por todos los Alimentos y Productos se tienen: m+n+2 ecuaciones de error.

Por ejemplo para el Alimento:

$$\Delta M_{qA} = LA - \sum_1^k (L_{fA} * f_{Ac})$$

Tendremos:

$$\Delta M_{qA} = (\Delta LA + LAc) - \sum_1^k ((\Delta L_{fA} + L_{fAc}) * f_{Ac})$$

Simplificando tendremos:

$$\Delta M_{qA} = \Delta LA - \sum_1^k (\Delta L_{fA} * f_{Ac}) + LAc - \sum_1^k (L_{fAc} * f_{Ac})$$

Pero se define por ser las leyes corregidas:

$$0 = LAc - \sum_1^k (L_{fAc} * f_{Ac})$$

Obtendremos entonces:

**Ecuación 4. 10**

$$\Delta M_{qA} = \Delta LA - \sum_1^k (\Delta L_{fA} * f_{Ac})$$

#### 4.4 MÉTODO LAGRANGIANO

Por el Método Lagrangiano tendremos:

Función a Optimizar:

$$\begin{aligned} f(X) = S = & \Delta LA^2 + \Delta LE1^2 + \Delta LE2^2 + \dots + \Delta LEm^2 + \Delta LS1^2 + \Delta LS2^2 + \dots + \Delta LSn^2 + \Delta LZ^2 \\ & + \sum_1^k \Delta L_{fA}^2 + \sum_1^k \Delta L_{fE1}^2 + \sum_1^k \Delta L_{fE2}^2 + \dots + \sum_1^k \Delta L_{fEm}^2 \\ & + \sum_1^k \Delta L_{fS1}^2 + \sum_1^k \Delta L_{fS2}^2 + \dots + \sum_1^k \Delta L_{fSn}^2 + \sum_1^k \Delta L_{fZ}^2 \end{aligned}$$

Donde las sumatorias representan la suma de los errores para cada malla debido a las leyes.

Se tiene las siguientes ecuaciones restrictivas (Ecuaciones 4.8, 4.9)

$$\begin{aligned} gq(X) = 0 = \Delta Mq - [\Delta LfA * fAc + \Delta LfE1 * fE1c * \alpha1c + \Delta LfE2 * fE2c * \alpha2c + \dots \\ + \Delta LfEm * fEmc * \alpha mc - (\Delta LfS1 * fS1c * \beta1c + \Delta LfS2 * fS2c * \beta2c + \dots \\ + \Delta LfSn * fSnc * \beta nc + \Delta LfZ * fZc * \beta Zc)] \end{aligned}$$

$$\begin{aligned} gA(X) = 0 = \Delta MqA - [\Delta LA - \sum (\Delta LfA * fAc)] \\ gE1(X) = 0 = \Delta MqE1 - [\Delta LE1 - \sum (\Delta LfE1 * fE1c)] \\ gE2(X) = 0 = \Delta MqE2 - [\Delta LE2 - \sum (\Delta LfE2 * fE2c)] \end{aligned}$$

...

$$\begin{aligned} gEm(X) = 0 = \Delta MqEm - [\Delta LEm - \sum (\Delta LfEm * fEmc)] \\ gS1(X) = 0 = \Delta MqS1 - [\Delta LS1 - \sum (\Delta LfS1 * fS1c)] \\ gS2(X) = 0 = \Delta MqS2 - [\Delta LS2 - \sum (\Delta LfS2 * fS2c)] \end{aligned}$$

...

$$\begin{aligned} gSn(X) = 0 = \Delta MqSn - [\Delta LSn - \sum (\Delta LfSn * fSnc)] \\ gZ(X) = 0 = \Delta MqZ - [\Delta LZ - \sum (\Delta LfZ * fZc)] \end{aligned}$$

La función Lagrangiana será:

$$\begin{aligned} L(X, \lambda) = f(X) - \lambda q * gq(X) \\ - \lambda A * gA(X) - \lambda E1 * gE1(X) - \lambda E2 * gE2(X) - \dots - \lambda Em * gEm(X) \\ - \lambda S1 * gS1(X) - \lambda S2 * gS2(X) - \dots - \lambda Sn * gSn(X) - \lambda Z * gZ(X) \end{aligned}$$

$$X = \left( \begin{array}{l} \Delta LA, \Delta LE1, \Delta LE2, \dots, \Delta LEm, \Delta LS1, \Delta LS2, \dots, \Delta LSn, \Delta LZ, \\ \Delta LfA, \Delta LfE1, \Delta LfE2, \dots, \Delta LfEm, \Delta LfS1, \Delta LfS2, \dots, \Delta LfSn, \Delta LfZ \end{array} \right)$$

**Ecuación 4. 11**

$$\begin{aligned}
L(X, \lambda) &= \Delta LA^2 + \Delta LE1^2 + \Delta LE2^2 + \dots + \Delta LEm^2 + \Delta LS1^2 + \Delta LS2^2 + \dots + \Delta LSn^2 + \Delta LZ^2 \\
&+ \sum_1^k \Delta LfA^2 + \sum_1^k \Delta LfE1^2 + \sum_1^k \Delta LfE2^2 + \dots + \sum_1^k \Delta LfEm^2 \\
&+ \sum_1^k \Delta LfS1^2 + \sum_1^k \Delta LfS2^2 + \dots + \sum_1^k \Delta LfSn^2 + \sum_1^k \Delta LfZ^2 \\
&- \lambda q * \{ \Delta Mq - [\Delta LfA * fAc + \Delta LfE1 * fE1c * \alpha1c + \Delta LfE2 * fE2c * \alpha2c + \dots + \Delta LfEm * fEmc * \alpha mc \\
&- (\Delta LfS1 * fS1c * \beta1c + \Delta LfS2 * fS2c * \beta2c + \dots + \Delta LfSn * fSnc * \beta nc + \Delta LfZ * fZc * \beta Zc)] \} \\
&- \lambda A * \left[ \Delta MqA - \left( \Delta LA - \sum_1^k (\Delta LfA * fAc) \right) \right] \\
&- \lambda E1 * \left[ \Delta MqE1 - \left( \Delta LE1 - \sum_1^k (\Delta LfE1 * fE1c) \right) \right] \\
&- \lambda E2 * \left[ \Delta MqE2 - \left( \Delta LE2 - \sum_1^k (\Delta LfE2 * fE2c) \right) \right] \\
&- \dots \\
&- \lambda Em * \left[ \Delta MqEm - \left( \Delta LEm - \sum_1^k (\Delta LfEm * fEmc) \right) \right] \\
&- \lambda S1 * \left[ \Delta MqS1 - \left( \Delta LS1 - \sum_1^k (\Delta LfS1 * fS1c) \right) \right] \\
&- \lambda S2 * \left[ \Delta MqS2 - \left( \Delta LS2 - \sum_1^k (\Delta LfS2 * fS2c) \right) \right] \\
&- \dots \\
&- \lambda Sn * \left[ \Delta MqSn - \left( \Delta LSn - \sum_1^k (\Delta LfSn * fSnc) \right) \right] \\
&- \lambda Z * \left[ \Delta MqZ - \left( \Delta LZ - \sum_1^k (\Delta LfZ * fZc) \right) \right]
\end{aligned}$$

$$\frac{\partial L}{\partial \lambda} = 0$$

$$\frac{\partial L}{\partial X} = 0$$

$$\begin{aligned}
\frac{\partial L}{\partial \lambda q} = 0 &= \Delta Mq - [\Delta LfA * fAc + \Delta LfE1 * fE1c * \alpha1c + \Delta LfE2 * fE2c * \alpha2c + \dots \\
&+ \Delta LfEm * fEmc * \alpha mc - (\Delta LfS1 * fS1c * \beta1c + \Delta LfS2 * fS2c * \beta2c + \dots \\
&+ \Delta LfSn * fSnc * \beta nc + \Delta LfZ * fZc * \beta Zc)]
\end{aligned}$$

$$\frac{\partial L}{\partial \lambda A} = 0 = \Delta MqA - \left[ \Delta LA - \sum_1^k (\Delta LfA * fAc) \right]$$

$$\frac{\partial L}{\partial \lambda E1} = 0 = \Delta MqE1 - \left[ \Delta LE1 - \sum_1^k (\Delta LfE1 * fE1c) \right]$$

$$\frac{\partial L}{\partial \lambda E2} = 0 = \Delta MqE2 - \left[ \Delta LE2 - \sum_1^k (\Delta LfE2 * fE2c) \right]$$

$$\frac{\partial L}{\partial \lambda Em} = 0 = \Delta MqEm - \left[ \Delta LEm - \sum_1^k (\Delta LfEm * fEmc) \right]$$

$$\frac{\partial L}{\partial \lambda S1} = 0 = \Delta MqS1 - \left[ \Delta LS1 - \sum_1^k (\Delta LfS1 * fS1c) \right]$$

$$\frac{\partial L}{\partial \lambda S2} = 0 = \Delta MqS2 - \left[ \Delta LS2 - \sum_1^k (\Delta LfS2 * fS2c) \right]$$

$$\frac{\partial L}{\partial \lambda Sn} = 0 = \Delta MqSn - \left[ \Delta LSn - \sum_1^k (\Delta LfSn * fSnc) \right]$$

$$\frac{\partial L}{\partial \lambda Z} = 0 = \Delta MqZ - \left[ \Delta LZ - \sum_1^k (\Delta LfZ * fZc) \right]$$

$$\frac{\partial L}{\partial \Delta LA} = 0 = \frac{\partial (\Delta LA^2 - \lambda A * (-\Delta LA) + \theta_{LA})}{\partial \Delta LA} = 2 * \Delta LA + \lambda A$$

$$\Delta LA = -\frac{\lambda A}{2}$$

$$\frac{\partial L}{\partial \Delta LE1} = 0 = \frac{\partial (\Delta LE1^2 - \lambda E1 * (-\Delta LE1) + \theta_{LE1})}{\partial \Delta LE1} = 2 * \Delta LE1 + \lambda E1$$

$$\Delta LE1 = -\frac{\lambda E1}{2}$$

$$\frac{\partial L}{\partial \Delta LE2} = 0 = \frac{\partial (\Delta LE2^2 - \lambda E2 * (-\Delta LE2) + \theta_{LE2})}{\partial \Delta LE2} = 2 * \Delta LE2 + \lambda E2$$

$$\Delta LE2 = -\frac{\lambda E2}{2}$$

$$\frac{\partial L}{\partial \Delta LEm} = 0 = \frac{\partial (\Delta LEm^2 - \lambda Em * (-\Delta LEm) + \theta_{LEm})}{\partial \Delta LEm} = 2 * \Delta LEm + \lambda Em$$

$$\Delta LEm = -\frac{\lambda Em}{2}$$

$$\frac{\partial L}{\partial \Delta LS1} = 0 = \frac{\partial (\Delta LS1^2 - \lambda S1 * (-\Delta LS1) + \theta_{LS1})}{\partial \Delta LS1} = 2 * \Delta LS1 + \lambda S1$$

$$\Delta LS1 = -\frac{\lambda S1}{2}$$

$$\frac{\partial L}{\partial \Delta LS2} = 0 = \frac{\partial (\Delta LS2^2 - \lambda S2 * (-\Delta LS2) + \theta_{LS2})}{\partial \Delta LS2} = 2 * \Delta LS2 + \lambda S2$$

$$\Delta LS2 = -\frac{\lambda S2}{2}$$

$$\frac{\partial L}{\partial \Delta LSn} = 0 = \frac{\partial (\Delta LSn^2 - \lambda Sn * (-\Delta LSn) + \theta_{LSn})}{\partial \Delta LSn} = 2 * \Delta LSn + \lambda Sn$$

$$\Delta LSn = -\frac{\lambda Sn}{2}$$

$$\frac{\partial L}{\partial \Delta LZ} = 0 = \frac{\partial (\Delta LZ^2 - \lambda Z * (-\Delta LZ) + \theta_{LZ})}{\partial \Delta LZ} = 2 * \Delta LZ + \lambda Z$$

$$\Delta LZ = -\frac{\lambda Z}{2}$$

$$\frac{\partial L}{\partial \Delta L f A} = 0 = \frac{\partial (\Delta L f A^2 - \lambda q * (-\Delta L f A * f A c) - \lambda A * (+\Delta L f A * f A c) + \theta_{L f A})}{\partial \Delta L f A}$$

$$\frac{\partial L}{\partial \Delta L f A} = 0 = 2 * \Delta L f A + \lambda q * f A c - \lambda A * f A c$$

$$\Delta L f A = \frac{f A c}{2} * (-\lambda q + \lambda A)$$

$$\frac{\partial L}{\partial \Delta L f E 1} = 0 = \frac{\partial (\Delta L f E 1^2 - \lambda q * (-\Delta L f E 1 * f E 1 c * \alpha 1 c) - \lambda E 1 * (+\Delta L f E 1 * f E 1 c) + \theta_{L f E 1})}{\partial \Delta L f E 1}$$

$$\frac{\partial L}{\partial \Delta L f E 1} = 0 = 2 * \Delta L f E 1 + \lambda q * f E 1 c * \alpha 1 c - \lambda E 1 * f E 1 c$$

$$\Delta L f E 1 = \frac{f E 1 c}{2} * (-\lambda q * \alpha 1 c + \lambda E 1)$$

$$\frac{\partial L}{\partial \Delta L f E 2} = 0 = \frac{\partial (\Delta L f E 2^2 - \lambda q * (-\Delta L f E 2 * f E 2 c * \alpha 2 c) - \lambda E 2 * (+\Delta L f E 2 * f E 2 c) + \theta_{L f E 2})}{\partial \Delta L f E 2}$$

$$\frac{\partial L}{\partial \Delta L f E 2} = 0 = 2 * \Delta L f E 2 + \lambda q * f E 2 c * \alpha 2 c - \lambda E 2 * f E 2 c$$

$$\Delta L f E 2 = \frac{f E 2 c}{2} * (-\lambda q * \alpha 2 c + \lambda E 2)$$

$$\frac{\partial L}{\partial \Delta L f E m} = 0 = \frac{\partial (\Delta L f E m^2 - \lambda q * (-\Delta L f E m * f E m c * \alpha m c) - \lambda E m * (+\Delta L f E m * f E m c) + \theta_{L f E m})}{\partial \Delta L f E m}$$

$$\frac{\partial L}{\partial \Delta L f E m} = 0 = 2 * \Delta L f E m + \lambda q * f E m c * \alpha m c - \lambda E m * f E m c$$

$$\Delta L f E m = \frac{f E m c}{2} * (-\lambda q * \alpha m c + \lambda E m)$$

$$\frac{\partial L}{\partial \Delta L f S 1} = 0 = \frac{\partial (\Delta L f S 1^2 - \lambda q * (+\Delta L f S 1 * f S 1 c * \beta 1 c) - \lambda S 1 * (+\Delta L f S 1 * f S 1 c) + \theta_{L f S 1})}{\partial \Delta L f S 1}$$

$$\frac{\partial L}{\partial \Delta L f S 1} = 0 = 2 * \Delta L f S 1 - \lambda q * f S 1 c * \beta 1 c - \lambda S 1 * f S 1 c$$

$$\Delta L f S 1 = \frac{f S 1 c}{2} * (+\lambda q * \beta 1 c + \lambda S 1)$$



$$\frac{\partial L}{\partial \Delta L f S 2} = 0 = \frac{\partial (\Delta L f S 2^2 - \lambda q * (+ \Delta L f S 2 * f S 2 c * \beta 2 c) - \lambda S 2 * (+ \Delta L f S 2 * f S 2 c) + \theta_{L f S 2})}{\partial \Delta L f S 2}$$

$$\frac{\partial L}{\partial \Delta L f S 2} = 0 = 2 * \Delta L f S 2 - \lambda q * f S 2 c * \beta 2 c - \lambda S 2 * f S 2 c$$

$$\Delta L f S 2 = \frac{f S 2 c}{2} * (+ \lambda q * \beta 2 c + \lambda S 2)$$

$$\frac{\partial L}{\partial \Delta L f S n} = 0 = \frac{\partial (\Delta L f S n^2 - \lambda q * (+ \Delta L f S n * f S n c * \beta n c) - \lambda S n * (+ \Delta L f S n * f S n c) + \theta_{L f S n})}{\partial \Delta L f S n}$$

$$\frac{\partial L}{\partial \Delta L f S n} = 0 = 2 * \Delta L f S n - \lambda q * f S n c * \beta n c - \lambda S n * f S n c$$

$$\Delta L f S n = \frac{f S n c}{2} * (+ \lambda q * \beta n c + \lambda S n)$$

$$\frac{\partial L}{\partial \Delta L f Z} = 0 = \frac{\partial (\Delta L f Z^2 - \lambda q * (+ \Delta L f Z * f Z c * \beta Z c) - \lambda Z * (+ \Delta L f Z * f Z c) + \theta_{L f Z})}{\partial \Delta L f Z}$$

$$\frac{\partial L}{\partial \Delta L f Z} = 0 = 2 * \Delta L f Z - \lambda q * f Z c * \beta Z c - \lambda Z * f Z c$$

$$\Delta L f Z = \frac{f Z c}{2} * (+ \lambda q * \beta Z c + \lambda Z)$$

Se obtienen las siguientes ecuaciones:

**Eq # q**

$$\Delta M q = \Delta L f A * f A c + \Delta L f E 1 * f E 1 c * \alpha 1 c + \Delta L f E 2 * f E 2 c * \alpha 2 c + \dots + \Delta L f E m * f E m c * \alpha m c - (\Delta L f S 1 * f S 1 c * \beta 1 c + \Delta L f S 2 * f S 2 c * \beta 2 c + \dots + \Delta L f S n * f S n c * \beta n c + \Delta L f Z * f Z c * \beta Z c)$$

**Eq # A**

$$\Delta M q A = \Delta L A - \sum_1^k (\Delta L f A * f A c)$$

**Eq # E1**

$$\Delta M q E 1 = \Delta L E 1 - \sum_1^k (\Delta L f E 1 * f E 1 c)$$

**Eq # E2**

$$\Delta MqE2 = \Delta LE2 - \sum_1^k (\Delta LfE2 * fE2c)$$

**Eq # Em**

$$\Delta MqEm = \Delta LEm - \sum_1^k (\Delta LfEm * fEmc)$$

**Eq # S1**

$$\Delta MqS1 = \Delta LS1 - \sum_1^k (\Delta LfS1 * fS1c)$$

**Eq # S2**

$$\Delta MqS2 = \Delta LS2 - \sum_1^k (\Delta LfS2 * fS2c)$$

**Eq # Sn**

$$\Delta MqSn = \Delta LSn - \sum_1^k (\Delta LfSn * fSnc)$$

**Eq # Z**

$$\Delta MqZ = \Delta LZ - \sum_1^k (\Delta LfZ * fZc)$$

**Grupo Ecuaciones # 4. 1**

$$\begin{array}{ll} \Delta LA = -\frac{\lambda A}{2} & \Delta LS1 = -\frac{\lambda S1}{2} \\ \Delta LE1 = -\frac{\lambda E1}{2} & \Delta LS2 = -\frac{\lambda S2}{2} \\ \Delta LE2 = -\frac{\lambda E2}{2} & \Delta LSn = -\frac{\lambda Sn}{2} \\ \Delta LEm = -\frac{\lambda Em}{2} & \Delta LZ = -\frac{\lambda Z}{2} \end{array}$$

**Grupo Ecuaciones # 4. 2**

$$\Delta LfA = \frac{fAc}{2} * (-\lambda q + \lambda A)$$

$$\Delta LfE1 = \frac{fE1c}{2} * (-\lambda q * \alpha 1c + \lambda E1)$$

$$\Delta LfE2 = \frac{fE2c}{2} * (-\lambda q * \alpha 2c + \lambda E2)$$

$$\Delta LfEm = \frac{fEmc}{2} * (-\lambda q * \alpha mc + \lambda Em)$$

$$\Delta LfS1 = \frac{fS1c}{2} * (+\lambda q * \beta 1c + \lambda S1)$$

$$\Delta LfS2 = \frac{fS2c}{2} * (+\lambda q * \beta 2c + \lambda S2)$$

$$\Delta LfSn = \frac{fSnc}{2} * (+\lambda q * \beta nc + \lambda Sn)$$

$$\Delta LfZ = \frac{fZc}{2} * (+\lambda q * \beta Zc + \lambda Z)$$

Reemplazamos el Grupo Ecuaciones # 4.2 en Eq #q

$$\begin{aligned} \Delta Mq &= \frac{fAc^2}{2} * (-\lambda q + \lambda A) + \frac{fE1c^2}{2} * (-\lambda q * \alpha 1c + \lambda E1) * \alpha 1c \\ &+ \frac{fE2c^2}{2} * (-\lambda q * \alpha 2c + \lambda E2) * \alpha 2c + \dots + \frac{fEmc^2}{2} * (-\lambda q * \alpha mc + \lambda Em) * \alpha mc \\ &- \left( \frac{fS1c^2}{2} * (+\lambda q * \beta 1c + \lambda S1) * \beta 1c + \frac{fS2c^2}{2} * (+\lambda q * \beta 2c + \lambda S2) * \beta 2c + \dots \right. \\ &\left. + \frac{fSnc^2}{2} * (+\lambda q * \beta nc + \lambda Sn) * \beta nc + \frac{fZc^2}{2} * (+\lambda q * \beta Zc + \lambda Z) * \beta Zc \right) \end{aligned}$$

Factorizando  $\lambda q$  obtendremos:

**Ecuación 4. 12**

$$\begin{aligned} 2 * \Delta Mq &= -\lambda q * (fAc^2 + fE1c^2 * \alpha 1c^2 + fE2c^2 * \alpha 2c^2 + \dots + fEmc^2 * \alpha mc^2 \\ &+ fS1c^2 * \beta 1c^2 + fS2c^2 * \beta 2c^2 + \dots + fSnc^2 * \beta nc^2 + fZc^2 * \beta Zc^2) \\ &+ \lambda A * fAc^2 + \lambda E1 * fE1c^2 * \alpha 1c + \lambda E2 * fE2c^2 * \alpha 2c + \dots + \lambda Em * fEmc^2 * \alpha mc \\ &- (\lambda S1 * fS1c^2 * \beta 1c + \lambda S2 * fS2c^2 * \beta 2c + \dots + \lambda Sn * fSnc^2 * \beta nc + \lambda Z * fZc^2 * \beta Zc) \end{aligned}$$

Definimos a:

**Ecuación 4. 13**

$$\begin{aligned} \Phi_0 &= fAc^2 + fE1c^2 * \alpha 1c^2 + fE2c^2 * \alpha 2c^2 + \dots + fEmc^2 * \alpha mc^2 \\ &+ fS1c^2 * \beta 1c^2 + fS2c^2 * \beta 2c^2 + \dots + fSnc^2 * \beta nc^2 + fZc^2 * \beta Zc^2 \end{aligned}$$

Reemplazando la Ecuación 4.13 en la Ecuación 4.12 se obtiene:

**Ecuación 4. 14**

$$2 * \Delta Mq = -\lambda q * \Phi_0 + \lambda A * fAc^2 + \lambda E1 * fE1c^2 * \alpha 1c + \lambda E2 * fE2c^2 * \alpha 2c + \dots$$

$$+ \lambda Em * fEmc^2 * \alpha mc - (\lambda S1 * fS1c^2 * \beta 1c + \lambda S2 * fS2c^2 * \beta 2c + \dots$$

$$+ \lambda Sn * fSnc^2 * \beta nc + \lambda Z * fZc^2 * \beta Zc)$$

Reemplazamos el Grupo Ecuaciones # 4.1 y # 4.2 en Eq #A

$$\Delta MqA = -\frac{\lambda A}{2} - \sum_1^k \left( \frac{fAc^2}{2} * (-\lambda q + \lambda A) \right)$$

Simplificando tendremos:

**Ecuación 4. 15**

$$2 * \Delta MqA = \sum_1^k (\lambda q * fAc^2) - \lambda A * \left( 1 + \sum_1^k (fAc^2) \right)$$

$$\lambda A = \frac{\sum_1^k (\lambda q * fAc^2) - 2 * \Delta MqA}{1 + \sum_1^k (fAc^2)}$$

Análogamente para Eq#E1, Eq#E2, Eq#Em, Eq#S1, Eq#S2, Eq#Sn, Eq#Z

**Ecuación 4. 16**

$$2 * \Delta MqE1 = \alpha 1c * \sum_1^k (\lambda q * fE1c^2) - \lambda E1 * \left( 1 + \sum_1^k (fE1c^2) \right)$$

$$\lambda E1 = \frac{\alpha 1c * \sum_1^k (\lambda q * fE1c^2) - 2 * \Delta MqE1}{1 + \sum_1^k (fE1c^2)}$$

**Ecuación 4. 17**

$$2 * \Delta MqE2 = \alpha 2c * \sum_1^k (\lambda q * fE2c^2) - \lambda E2 * \left( 1 + \sum_1^k (fE2c^2) \right)$$

$$\lambda E2 = \frac{\alpha 2c * \sum_1^k (\lambda q * fE2c^2) - 2 * \Delta MqE2}{1 + \sum_1^k (fE2c^2)}$$

**Ecuación 4. 18**

$$2 * \Delta MqEm = \alpha mc * \sum_1^k (\lambda q * fEmc^2) - \lambda Em * \left( 1 + \sum_1^k (fEmc^2) \right)$$

$$\lambda Em = \frac{\alpha mc * \sum_1^k (\lambda q * fEmc^2) - 2 * \Delta MqEm}{1 + \sum_1^k (fEmc^2)}$$

**Ecuación 4. 19**

$$2 * \Delta MqS1 = -\beta 1c * \sum_1^k (\lambda q * fS1c^2) - \lambda S1 * \left( 1 + \sum_1^k (fS1c^2) \right)$$

$$\lambda S1 = \frac{-\beta 1c * \sum_1^k (\lambda q * fS1c^2) - 2 * \Delta MqS1}{1 + \sum_1^k (fS1c^2)}$$

**Ecuación 4. 20**

$$2 * \Delta MqS2 = -\beta 2c * \sum_1^k (\lambda q * fS2c^2) - \lambda S2 * \left( 1 + \sum_1^k (fS2c^2) \right)$$

$$\lambda S2 = \frac{-\beta 2c * \sum_1^k (\lambda q * fS2c^2) - 2 * \Delta MqS2}{1 + \sum_1^k (fS2c^2)}$$

**Ecuación 4. 21**

$$2 * \Delta MqSn = -\beta nc * \sum_1^k (\lambda q * fSnc^2) - \lambda Sn * \left( 1 + \sum_1^k (fSnc^2) \right)$$

$$\lambda Sn = \frac{-\beta nc * \sum_1^k (\lambda q * fSnc^2) - 2 * \Delta MqSn}{1 + \sum_1^k (fSnc^2)}$$

**Ecuación 4. 22**

$$2 * \Delta MqZ = -\beta Zc * \sum_1^k (\lambda q * fZc^2) - \lambda Z * \left( 1 + \sum_1^k (fZc^2) \right)$$

$$\lambda Z = \frac{-\beta Zc * \sum_1^k (\lambda q * fZc^2) - 2 * \Delta MqZ}{1 + \sum_1^k (fZc^2)}$$

Si reemplazamos los valores de  $\lambda A, \lambda E1, \lambda E2, \lambda Em, \lambda S1, \lambda S2, \lambda Sn, \lambda Z$  en la ecuación 4.14

**Ecuación 4. 23**

$$2 * \Delta Mq = -\lambda q * \Phi_0 + \frac{\sum_1^k (\lambda q * fAc^2) - 2 * \Delta MqA}{1 + \sum_1^k (fAc^2)} * fAc^2 + \frac{\alpha 1c * \sum_1^k (\lambda q * fE1c^2) - 2 * \Delta MqE1}{1 + \sum_1^k (fE1c^2)} * fE1c^2 * \alpha 1c$$

$$+ \frac{\alpha 2c * \sum_1^k (\lambda q * fE2c^2) - 2 * \Delta MqE2}{1 + \sum_1^k (fE2c^2)} * fE2c^2 * \alpha 2c + \dots + \frac{\alpha mc * \sum_1^k (\lambda q * fEmc^2) - 2 * \Delta MqEm}{1 + \sum_1^k (fEmc^2)} * fEmc^2 * \alpha mc$$

$$- \left( \frac{-\beta 1c * \sum_1^k (\lambda q * fS1c^2) - 2 * \Delta MqS1}{1 + \sum_1^k (fS1c^2)} * fS1c^2 * \beta 1c + \frac{-\beta 2c * \sum_1^k (\lambda q * fS2c^2) - 2 * \Delta MqS2}{1 + \sum_1^k (fS2c^2)} * fS2c^2 * \beta 2c + \dots \right.$$

$$\left. + \frac{-\beta nc * \sum_1^k (\lambda q * fSnc^2) - 2 * \Delta MqSn}{1 + \sum_1^k (fSnc^2)} * fSnc^2 * \beta nc + \frac{-\beta Zc * \sum_1^k (\lambda q * fZc^2) - 2 * \Delta MqZ}{1 + \sum_1^k (fZc^2)} * fZc^2 * \beta Zc \right)$$

Reordenando la ecuación 4.23

**Ecuación 4. 24**

$$\begin{aligned}
& 2 * \Delta Mq + \frac{2 * \Delta MqA * fAc^2}{1 + \sum_1^k (fAc^2)} + \frac{2 * \Delta MqE1 * fE1c^2 * \alpha 1c}{1 + \sum_1^k (fE1c^2)} + \frac{2 * \Delta MqE2 * fE2c^2 * \alpha 2c}{1 + \sum_1^k (fE2c^2)} + \\
& + \frac{2 * \Delta MqEm * fEmc^2 * \alpha mc}{1 + \sum_1^k (fEmc^2)} - \frac{2 * \Delta MqS1 * fS1c^2 * \beta 1c}{1 + \sum_1^k (fS1c^2)} - \frac{2 * \Delta MqS2 * fS2c^2 * \beta 2c}{1 + \sum_1^k (fS2c^2)} - \dots \\
& - \frac{2 * \Delta MqSn * fSnc^2 * \beta nc}{1 + \sum_1^k (fSnc^2)} - \frac{2 * \Delta MqZ * fZc^2 * \beta Zc}{1 + \sum_1^k (fZc^2)} = \\
& = -\lambda q * \Phi_0 + \frac{fAc^2 * \sum_1^k (\lambda q * fAc^2)}{1 + \sum_1^k (fAc^2)} + \frac{\alpha 1c^2 * fE1c^2 * \sum_1^k (\lambda q * fE1c^2)}{1 + \sum_1^k (fE1c^2)} + \\
& + \frac{\alpha 2c^2 * fE2c^2 * \sum_1^k (\lambda q * fE2c^2)}{1 + \sum_1^k (fE2c^2)} + \dots + \frac{\alpha mc^2 * fEmc^2 * \sum_1^k (\lambda q * fEmc^2)}{1 + \sum_1^k (fEmc^2)} + \\
& + \frac{\beta 1c^2 * fS1c^2 * \sum_1^k (\lambda q * fS1c^2)}{1 + \sum_1^k (fS1c^2)} + \frac{\beta 2c^2 * fS2c^2 * \sum_1^k (\lambda q * fS2c^2)}{1 + \sum_1^k (fS2c^2)} + \dots \\
& + \frac{\beta nc^2 * fSnc^2 * \sum_1^k (\lambda q * fSnc^2)}{1 + \sum_1^k (fSnc^2)} + \frac{\beta Zc^2 * fZc^2 * \sum_1^k (\lambda q * fZc^2)}{1 + \sum_1^k (fZc^2)}
\end{aligned}$$

La Ecuación 4.24 es referida sólo a un Intervalo de Tamaños.

Definimos para una malla “i” (Términos a la izquierda de la Igualdad):

**Ecuación 4. 25**

$$\begin{aligned}
R' = 2 * \left( \right. & \Delta Mq' + \frac{\Delta MqA * fAc^{i2}}{1 + \sum_1^k (fAc^2)} + \frac{\Delta MqE1 * fE1c^{i2} * \alpha 1c}{1 + \sum_1^k (fE1c^2)} + \frac{\Delta MqE2 * fE2c^{i2} * \alpha 2c}{1 + \sum_1^k (fE2c^2)} + \\
& + \frac{\Delta MqEm * fEmc^{i2} * \alpha mc}{1 + \sum_1^k (fEmc^2)} - \frac{\Delta MqS1 * fS1c^{i2} * \beta 1c}{1 + \sum_1^k (fS1c^2)} - \frac{\Delta MqS2 * fS2c^{i2} * \beta 2c}{1 + \sum_1^k (fS2c^2)} - \dots \\
& \left. - \frac{\Delta MqSn * fSnc^{i2} * \beta nc}{1 + \sum_1^k (fSnc^2)} - \frac{\Delta MqZ * fZc^{i2} * \beta Zc}{1 + \sum_1^k (fZc^2)} \right)
\end{aligned}$$

Definimos para una malla “i” (Términos a la derecha de la Igualdad):

**Ecuación 4. 26**

$$\begin{aligned}
 P^i = & -\lambda q * \Phi_0 + \frac{fAc^2 * \sum_1^k (\lambda q * fAc^2)}{1 + \sum_1^k (fAc^2)} + \frac{\alpha 1c^2 * fE1c^2 * \sum_1^k (\lambda q * fE1c^2)}{1 + \sum_1^k (fE1c^2)} + \\
 & + \frac{\alpha 2c^2 * fE2c^2 * \sum_1^k (\lambda q * fE2c^2)}{1 + \sum_1^k (fE2c^2)} + \dots + \frac{\alpha mc^2 * fEmc^2 * \sum_1^k (\lambda q * fEmc^2)}{1 + \sum_1^k (fEmc^2)} + \\
 & + \frac{\beta 1c^2 * fS1c^2 * \sum_1^k (\lambda q * fS1c^2)}{1 + \sum_1^k (fS1c^2)} + \frac{\beta 2c^2 * fS2c^2 * \sum_1^k (\lambda q * fS2c^2)}{1 + \sum_1^k (fS2c^2)} + \dots \\
 & + \frac{\beta nc^2 * fSnc^2 * \sum_1^k (\lambda q * fSnc^2)}{1 + \sum_1^k (fSnc^2)} + \frac{\beta Zc^2 * fZc^2 * \sum_1^k (\lambda q * fZc^2)}{1 + \sum_1^k (fZc^2)}
 \end{aligned}$$

Sea:

$$HAc^i = \frac{fAc^{i2}}{1 + \sum_1^k (fAc^2)} \qquad HS1c^i = \frac{fS1c^{i2}}{1 + \sum_1^k (fS1c^2)}$$

$$HE1c^i = \frac{fE1c^{i2}}{1 + \sum_1^k (fE1c^2)} \qquad HS2c^i = \frac{fS2c^{i2}}{1 + \sum_1^k (fS2c^2)}$$

$$HE2c^i = \frac{fE2c^{i2}}{1 + \sum_1^k (fE2c^2)} \qquad HSnc^i = \frac{fSnc^{i2}}{1 + \sum_1^k (fSnc^2)}$$

$$HEmc^i = \frac{fEmc^{i2}}{1 + \sum_1^k (fEmc^2)} \qquad HZc^i = \frac{fZc^{i2}}{1 + \sum_1^k (fZc^2)}$$

Si reemplazamos los factores  $Hc^i$  en las ecuaciones 4.25 y 4.26 obtendremos respectivamente:



**Ecuación 4. 27**

$$R^i = 2 * (\Delta Mq^i + \Delta MqA * HAC^i + \Delta MqE1 * \alpha 1c * HE1c^i + \Delta MqE2 * \alpha 2c * HE2c^i + \Delta MqEm * HEmc^i * \alpha mc - \Delta MqS1 * HS1c^i * \beta 1c - \Delta MqS2 * HS2c^i * \beta 2c - \dots - \Delta MqSn * HSnc^i * \beta nc - \Delta MqZ * HZc^i * \beta Zc)$$

**Ecuación 4. 28**

$$P^i = -\lambda q * \Phi_0 + HAC^i * \sum_1^k (\lambda q * fAc^2) + HE1c^i * \alpha 1c^2 * \sum_1^k (\lambda q * fE1c^2) + HE2c^i * \alpha 2c^2 * \sum_1^k (\lambda q * fE2c^2) + \dots + HEmc^i * \alpha mc^2 * \sum_1^k (\lambda q * fEmc^2) + HS1c^i * \beta 1c^2 * \sum_1^k (\lambda q * fS1c^2) + HS2c^i * \beta 2c^2 * \sum_1^k (\lambda q * fS2c^2) + \dots + HSnc^i * \beta nc^2 * \sum_1^k (\lambda q * fSnc^2) + HS1c^i * \beta Zc^2 * \sum_1^k (\lambda q * fZc^2)$$

Definimos las siguientes Matrices:

$$\tilde{H}^i = [HAC^i \quad HE1c^i \quad HE2c^i \quad \dots \quad HEmc^i \quad HS1c^i \quad HS2c^i \quad \dots \quad HSnc^i \quad HZc^i]$$

$\tilde{H}^i$ : Vector fila (1,m+n+2)

$$\Delta \tilde{M}qES = \begin{bmatrix} \Delta MqA \\ \Delta MqE1 \\ \Delta MqE2 \\ \dots \\ \Delta MqEm \\ \Delta MqS1 \\ \Delta MqS2 \\ \Delta MqSn \\ \dots \\ \Delta MqZ \end{bmatrix}$$

$\Delta \tilde{M}qES$ : Matriz Columna (m+n+2,1) (Errores de las Entradas y Salidas de los caudales por Análisis Químico).

$$\tilde{Q}_u = \begin{bmatrix} 1 \\ \alpha 1c \\ \alpha 2c \\ \dots \\ \alpha nc \\ -\beta 1c \\ -\beta 2c \\ \dots \\ -\beta nc \\ -\beta Zc \end{bmatrix}$$

$\tilde{Q}_u$  : Matriz Columna (m+n+2,1) (Relaciones de los caudales).

Definamos la función "Diag" tal que:

$$\text{Diag}(\tilde{A}) = \text{diag} \begin{pmatrix} a1 \\ a2 \\ \dots \\ an \end{pmatrix} = \begin{pmatrix} a1 & 0 & 0 & 0 \\ 0 & a2 & 0 & 0 \\ 0 & 0 & \dots & 0 \\ 0 & 0 & 0 & an \end{pmatrix}$$

$$\tilde{\lambda}_q = \begin{bmatrix} \lambda q^1 \\ \lambda q^2 \\ \dots \\ \lambda q^k \end{bmatrix}$$

$\tilde{\lambda}_q$  : Matriz Columna (k,1) (Multiplicadores de Lagrange por mallas para corrección de Análisis Químico).

$$\tilde{F}_2 = \begin{bmatrix} fAc^{i^2} & fE1c^{i^2} & fE2c^{i^2} & \dots & fEmc^{i^2} & fS1c^{i^2} & fS2c^{i^2} & \dots & fSnc^{i^2} & fZc^{i^2} \\ fAc^{n^2} & fE1c^{n^2} & fE2c^{n^2} & \dots & fEmc^{n^2} & fS1c^{n^2} & fS2c^{n^2} & \dots & fSnc^{n^2} & fZc^{n^2} \\ \dots & \dots & \dots & \dots & \dots & \dots & \dots & \dots & \dots & \dots \\ fAc^{k^2} & fE1c^{k^2} & fE2c^{k^2} & \dots & fEmc^{k^2} & fS1c^{k^2} & fS2c^{k^2} & \dots & fSnc^{k^2} & fZc^{k^2} \end{bmatrix}$$

$\tilde{F}_2$  : Matriz (k,m+n+2) (Fracciones en peso elevados al cuadrado).

Las ecuaciones 4.27 y 4.28 pueden redefinirse como:

**Ecuación 4. 29**

$$R^i = 2 * (\Delta Mq^i + \tilde{H}^i * \text{Diag}(\tilde{Q}u) * \Delta \tilde{M}qES)$$

**Ecuación 4. 30**

$$P^i = -\lambda q^i * \Phi_0^i + \tilde{H} * [\text{Diag}(\tilde{Q}u)]^2 * F2^i * \lambda q$$

Definamos para todos los intervalos de tamaño:

$$\tilde{R} = \begin{pmatrix} R^i \\ R^{ii} \\ \dots \\ R^k \end{pmatrix} \quad \tilde{P} = \begin{pmatrix} P^i \\ P^{ii} \\ \dots \\ P^k \end{pmatrix}$$

$\tilde{R}$ : Matriz Columna (k,1).

$\tilde{P}$ : Matriz Columna (k,1).

$$\tilde{H} = \begin{bmatrix} \tilde{H}^i \\ \tilde{H}^{ii} \\ \dots \\ \tilde{H}^k \end{bmatrix} = \begin{bmatrix} HA c^i & HE1c^i & HE2c^i & \dots & HEmc^i & HS1c^i & HS2c^i & \dots & HSnc^i & HZc^i \\ HA c^{ii} & HE1c^{ii} & HE2c^{ii} & \dots & HEmc^{ii} & HS1c^{ii} & HS2c^{ii} & \dots & HSnc^{ii} & HZc^{ii} \\ \dots & \dots & \dots & \dots & \dots & \dots & \dots & \dots & \dots & \dots \\ HA c^k & HE1c^k & HE2c^k & \dots & HEmc^k & HS1c^k & HS2c^k & \dots & HSnc^k & HZc^k \end{bmatrix}$$

$\tilde{H}$ : Matriz (k,m+n+2).

$$\Delta \tilde{M}q = \begin{bmatrix} \Delta Mq^i \\ \Delta Mq^{ii} \\ \dots \\ \Delta Mq^k \end{bmatrix} \quad \tilde{\Phi}_0 = \begin{bmatrix} \Phi_0^i \\ \Phi_0^{ii} \\ \dots \\ \Phi_0^k \end{bmatrix}$$

$\Delta \tilde{M}q$ : Matriz Columna (k,1).

$\tilde{\Phi}_0$ : Matriz Columna (k,1).

Entonces las Ecuaciones 4.29 y 4.30 redefinidas para todos los intervalos de tamaño serán:

**Ecuación 4. 31**

$$\tilde{R} = 2 * (\Delta \tilde{M}q + \tilde{H} * \text{Diag}(\tilde{Q}u) * \Delta \tilde{M}qES)$$

**Ecuación 4. 32**

$$\mathcal{P} = -\text{Diag}(\Phi_0) * \lambda_q + \Pi * [\text{Diag}(\mathcal{Q}u)]^2 * F'2' * \lambda_q$$

**Ecuación 4. 33**

$$\mathcal{P} = [\Pi * [\text{Diag}(\mathcal{Q}u)]^2 * F'2' - \text{Diag}(\Phi_0)] * \lambda_q$$

La Ecuación 4.31 y 4.33 quedan representadas matricialmente por:

**Ecuación 4. 34**

$$\begin{pmatrix} R^i \\ R^ii \\ \dots \\ R^k \end{pmatrix} = 2 * \begin{pmatrix} \Delta Mq^i \\ \Delta Mq^{ii} \\ \dots \\ \Delta Mq^k \end{pmatrix} + \begin{bmatrix} HAC^i & HE1c^i & HE2c^i & \dots & HEmc^i & HS1c^i & HS2c^i & \dots & HSnc^i & HZc^i \\ HAC^{ii} & HE1c^{ii} & HE2c^{ii} & \dots & HEmc^{ii} & HS1c^{ii} & HS2c^{ii} & \dots & HSnc^{ii} & HZc^{ii} \\ \dots & \dots & \dots & \dots & \dots & \dots & \dots & \dots & \dots & \dots \\ HAC^k & HE1c^k & HE2c^k & \dots & HEmc^k & HS1c^k & HS2c^k & \dots & HSnc^k & HZc^k \end{bmatrix} * \begin{bmatrix} 1 & 0 & 0 & 0 & 0 & 0 & 0 & 0 & 0 & 0 \\ 0 & \alpha 1c & 0 & 0 & 0 & 0 & 0 & 0 & 0 & 0 \\ 0 & 0 & \alpha 2c & 0 & 0 & 0 & 0 & 0 & 0 & 0 \\ 0 & 0 & 0 & \dots & 0 & 0 & 0 & 0 & 0 & 0 \\ 0 & 0 & 0 & 0 & \alpha mc & 0 & 0 & 0 & 0 & 0 \\ 0 & 0 & 0 & 0 & 0 & -\beta 1c & 0 & 0 & 0 & 0 \\ 0 & 0 & 0 & 0 & 0 & 0 & -\beta 2c & 0 & 0 & 0 \\ 0 & 0 & 0 & 0 & 0 & 0 & 0 & \dots & 0 & 0 \\ 0 & 0 & 0 & 0 & 0 & 0 & 0 & 0 & -\beta nc & 0 \\ 0 & 0 & 0 & 0 & 0 & 0 & 0 & 0 & 0 & -\beta Zc \end{bmatrix} \cdot \begin{bmatrix} \Delta MqA \\ \Delta MqE1 \\ \Delta MqE2 \\ \dots \\ \Delta MqEm \\ \Delta MqS1 \\ \Delta MqS2 \\ \Delta MqSn \\ \dots \\ \Delta MqZ \end{bmatrix}$$

**Ecuación 4. 35**

$$\begin{pmatrix} P^i \\ P^{ii} \\ \dots \\ P^k \end{pmatrix} = \begin{bmatrix} HAC^i & HE1c^i & HE2c^i & \dots & HEmc^i & HS1c^i & HS2c^i & \dots & HSnc^i & HZc^i \\ HAC^{ii} & HE1c^{ii} & HE2c^{ii} & \dots & HEmc^{ii} & HS1c^{ii} & HS2c^{ii} & \dots & HSnc^{ii} & HZc^{ii} \\ \dots & \dots & \dots & \dots & \dots & \dots & \dots & \dots & \dots & \dots \\ HAC^k & HE1c^k & HE2c^k & \dots & HEmc^k & HS1c^k & HS2c^k & \dots & HSnc^k & HZc^k \end{bmatrix} \cdot \begin{bmatrix} 1 & 0 & 0 & 0 & 0 & 0 & 0 & 0 & 0 & 0 \\ 0 & \alpha 1c^2 & 0 & 0 & 0 & 0 & 0 & 0 & 0 & 0 \\ 0 & 0 & \alpha 2c^2 & 0 & 0 & 0 & 0 & 0 & 0 & 0 \\ 0 & 0 & 0 & \dots & 0 & 0 & 0 & 0 & 0 & 0 \\ 0 & 0 & 0 & 0 & \alpha mc^2 & 0 & 0 & 0 & 0 & 0 \\ 0 & 0 & 0 & 0 & 0 & \beta 1c^2 & 0 & 0 & 0 & 0 \\ 0 & 0 & 0 & 0 & 0 & 0 & \beta 2c^2 & 0 & 0 & 0 \\ 0 & 0 & 0 & 0 & 0 & 0 & 0 & \dots & 0 & 0 \\ 0 & 0 & 0 & 0 & 0 & 0 & 0 & 0 & \beta nc^2 & 0 \\ 0 & 0 & 0 & 0 & 0 & 0 & 0 & 0 & 0 & \beta Zc^2 \end{bmatrix} \cdot \begin{bmatrix} fAc^{i^2} & fAc^{ii^2} & \dots & fAc^{k^2} \\ fE1c^{i^2} & fE1c^{ii^2} & \dots & fE1c^{k^2} \\ fE2c^{i^2} & fE2c^{ii^2} & \dots & fE2c^{k^2} \\ \dots & \dots & \dots & \dots \\ fEmc^{i^2} & fEmc^{ii^2} & \dots & fEmc^{k^2} \\ fS1c^{i^2} & fS1c^{ii^2} & \dots & fS1c^{k^2} \\ fS2c^{i^2} & fS2c^{ii^2} & \dots & fS2c^{k^2} \\ \dots & \dots & \dots & \dots \\ fSnc^{i^2} & fSnc^{ii^2} & \dots & fSnc^{k^2} \\ fZc^{i^2} & fZc^{ii^2} & \dots & fZc^{k^2} \end{bmatrix} \cdot \begin{bmatrix} \lambda q^i \\ \lambda q^{ii} \\ \dots \\ \lambda q^k \end{bmatrix}$$

$$- \begin{bmatrix} \Phi_o^i & 0 & 0 & 0 \\ 0 & \Phi_o^{ii} & 0 & 0 \\ 0 & 0 & \dots & 0 \\ 0 & 0 & 0 & \Phi_o^k \end{bmatrix} \cdot \begin{bmatrix} \lambda q^i \\ \lambda q^{ii} \\ \dots \\ \lambda q^k \end{bmatrix}$$

La Matriz  $\tilde{H}$  puede ser representada por:

$$\tilde{H} = \begin{bmatrix} \frac{fAc^{i^2}}{1 + \sum_1^k (fAc^2)} & \frac{fE1c^{i^2}}{1 + \sum_1^k (fE1c^2)} & \frac{fE2c^{i^2}}{1 + \sum_1^k (fE2c^2)} & \dots & \frac{fEmc^{i^2}}{1 + \sum_1^k (fEmc^2)} & \frac{fS1c^{i^2}}{1 + \sum_1^k (fS1c^2)} & \frac{fS2c^{i^2}}{1 + \sum_1^k (fS2c^2)} & \dots & \frac{fSnc^{i^2}}{1 + \sum_1^k (fSnc^2)} & \frac{fZc^{i^2}}{1 + \sum_1^k (fZc^2)} \\ \frac{fAc^{ii^2}}{1 + \sum_1^k (fAc^2)} & \frac{fE1c^{ii^2}}{1 + \sum_1^k (fE1c^2)} & \frac{fE2c^{ii^2}}{1 + \sum_1^k (fE2c^2)} & \dots & \frac{fEmc^{ii^2}}{1 + \sum_1^k (fEmc^2)} & \frac{fS1c^{ii^2}}{1 + \sum_1^k (fS1c^2)} & \frac{fS2c^{ii^2}}{1 + \sum_1^k (fS2c^2)} & \dots & \frac{fSnc^{ii^2}}{1 + \sum_1^k (fSnc^2)} & \frac{fZc^{ii^2}}{1 + \sum_1^k (fZc^2)} \\ \dots & \dots & \dots & \dots & \dots & \dots & \dots & \dots & \dots & \dots \\ \frac{fAc^{k^2}}{1 + \sum_1^k (fAc^2)} & \frac{fE1c^{k^2}}{1 + \sum_1^k (fE1c^2)} & \frac{fE2c^{k^2}}{1 + \sum_1^k (fE2c^2)} & \dots & \frac{fEmc^{k^2}}{1 + \sum_1^k (fEmc^2)} & \frac{fS1c^{k^2}}{1 + \sum_1^k (fS1c^2)} & \frac{fS2c^{k^2}}{1 + \sum_1^k (fS2c^2)} & \dots & \frac{fSnc^{k^2}}{1 + \sum_1^k (fSnc^2)} & \frac{fZc^{k^2}}{1 + \sum_1^k (fZc^2)} \end{bmatrix}$$

$\tilde{H}$  : Matriz (k,m+n+2).

$$\tilde{F}2 = \begin{bmatrix} \sum_1^k (fAc^2) \\ \sum_1^k (fE1c^2) \\ \sum_1^k (fE2c^2) \\ \dots \\ \sum_1^k (fEmc^2) \\ \sum_1^k (fS1c^2) \\ \sum_1^k (fS2c^2) \\ \dots \\ \sum_1^k (fSnc^2) \\ \sum_1^k (fZc^2) \end{bmatrix}$$

$\tilde{F}2$  : Matriz Columna (m+n+2,1).

Sea la Matriz Identidad  $I(n)$ , donde "nxn" es el tamaño.

Se sabe que:

$$A^{-1} = \begin{bmatrix} a1 & 0 & 0 & 0 \\ 0 & a2 & 0 & 0 \\ 0 & 0 & \dots & 0 \\ 0 & 0 & 0 & an \end{bmatrix}^{-1} = \begin{bmatrix} \frac{1}{a1} & 0 & 0 & 0 \\ 0 & \frac{1}{a2} & 0 & 0 \\ 0 & 0 & \dots & 0 \\ 0 & 0 & 0 & \frac{1}{an} \end{bmatrix} \quad \text{Nota: } \forall ai \neq 0$$

Entonces se puede establecer la siguiente relación:

**Ecuación 4. 36**

$$\hat{H} = \tilde{F}2 * [Diag(\tilde{F}2) + I(m + n + 2)]^{-1}$$

La matriz  $\tilde{\Phi}_0$  puede ser representada por: (los términos  $\Phi_0^i$  son determinados por la ecuación 4.13)

**Ecuación 4. 37**

$$\Phi_0 = \tilde{F}2 * \text{Diag}(Qu) * Qu$$

$\Phi_0$ : Matriz Columna (k,1).

Reemplazando la Ecuación 4.36 en la Ecuación 4.31 y las ecuaciones 4.36 y 4.37 en la ecuación 4.33 obtenemos:

**Ecuación 4. 38**

$$\tilde{R} = 2 * (\Delta\tilde{M}q + \tilde{F}2 * [\text{Diag}(\tilde{S}F2) + I(m+n+2)]^{-1} * \text{Diag}(\tilde{Q}u) * \Delta\tilde{M}qES)$$

**Ecuación 4. 39**

$$\tilde{P} = [\tilde{F}2 * [\text{Diag}(\tilde{S}F2) + I(m+n+2)]^{-1} * [\text{Diag}(\tilde{Q}u)]^2 * \tilde{F}2' - \text{Diag}(\tilde{F}2 * \text{Diag}(Qu) * Qu)] * \tilde{\lambda}q$$

Recordemos que  $R^i = P^i$ , por ende  $R = P$

Los Multiplicadores de Lagrange  $\lambda q$  lo podemos hallar por la siguiente relación:

**Ecuación 4. 40**

$$\tilde{\lambda}q = 2 * [\tilde{F}2 * [\text{Diag}(\tilde{S}F2) + I(m+n+2)]^{-1} * [\text{Diag}(\tilde{Q}u)]^2 * \tilde{F}2' - \text{Diag}(\tilde{F}2 * \text{Diag}(Qu) * Qu)]^{-1} * (\Delta\tilde{M}q + \tilde{F}2 * [\text{Diag}(\tilde{S}F2) + I(m+n+2)]^{-1} * \text{Diag}(\tilde{Q}u) * \Delta\tilde{M}qES)$$

O por simplicidad se podría usar las ecuaciones 4.31, 4.33, 4.36, 4.37

**Ecuación 4. 41**

$$\tilde{\lambda}q = 2 * [\tilde{H} * [\text{Diag}(\tilde{Q}u)]^2 * \tilde{F}2' - \text{Diag}(\Phi_0)]^{-1} * (\Delta\tilde{M}q + \tilde{H} * \text{Diag}(\tilde{Q}u) * \Delta\tilde{M}qES)$$

$$\tilde{H} = \tilde{F}2 * [\text{Diag}(\tilde{S}F2) + I(m+n+2)]^{-1}$$

$$\Phi_0 = \tilde{F}2 * \text{Diag}(Qu) * Qu$$



Obtendremos los Multiplicadores de Lagrange

$\lambda_A, \lambda_{E1}, \lambda_{E2}, \lambda_{Em}, \lambda_{S1}, \lambda_{S2}, \lambda_{Sn}, \lambda_Z$  por medio de las ecuaciones 4.15, 4.16, 4.17, 4.18, 4.19, 4.20, 4.21 4.22

$$\lambda_A = \frac{\sum_1^k (\lambda_q * fAc^2) - 2 * \Delta MqA}{1 + \sum_1^k (fAc^2)}$$

$$\lambda_{E1} = \frac{\alpha 1c * \sum_1^k (\lambda_q * fE1c^2) - 2 * \Delta MqE1}{1 + \sum_1^k (fE1c^2)}$$

$$\lambda_{E2} = \frac{\alpha 2c * \sum_1^k (\lambda_q * fE2c^2) - 2 * \Delta MqE2}{1 + \sum_1^k (fE2c^2)}$$

$$\lambda_{Em} = \frac{\alpha mc * \sum_1^k (\lambda_q * fEmc^2) - 2 * \Delta MqEm}{1 + \sum_1^k (fEmc^2)}$$

$$\lambda_{S1} = \frac{-\beta 1c * \sum_1^k (\lambda_q * fS1c^2) - 2 * \Delta MqS1}{1 + \sum_1^k (fS1c^2)}$$

$$\lambda_{S2} = \frac{-\beta 2c * \sum_1^k (\lambda_q * fS2c^2) - 2 * \Delta MqS2}{1 + \sum_1^k (fS2c^2)}$$

$$\lambda_{Sn} = \frac{-\beta nc * \sum_1^k (\lambda_q * fSnc^2) - 2 * \Delta MqSn}{1 + \sum_1^k (fSnc^2)}$$

$$\lambda_Z = \frac{-\beta Zc * \sum_1^k (\lambda_q * fZc^2) - 2 * \Delta MqZ}{1 + \sum_1^k (fZc^2)}$$

Para hacer un cálculo directo, lo expresaremos en forma matricial definiendo:

$$\tilde{\lambda}_{ES} = \begin{bmatrix} \lambda_A \\ \lambda_{E1} \\ \lambda_{E2} \\ \dots \\ \lambda_{Em} \\ \lambda_{S1} \\ \lambda_{S2} \\ \lambda_{Sn} \\ \dots \\ \lambda_Z \end{bmatrix}$$

$\tilde{\lambda}_{ES}$ : Matriz Columna (m+n+2,1) (Multiplicadores de Lagrange de los Entradas y Salidas de los caudales por Análisis Químico).

Estos Multiplicadores de Lagrange se obtendrán por la siguiente ecuación:

**Ecuación 4. 42**

$$\tilde{\lambda}ES = [Diag(\tilde{S}F2) + I(m + n + 2)]^{-1} * [Diag(\tilde{Q}u) * \tilde{F}2' * \tilde{\lambda}_q - 2 * \Delta\tilde{M}_qES]$$

La ecuación 4.41 se representa de por la siguiente expresión:

Ecuación 4. 43

$$\bar{\lambda}ES = \text{Diag} \left[ \begin{array}{c} \sum_1^k (fAc^2) \\ \sum_1^k (fE1c^2) \\ \sum_1^k (fE2c^2) \\ \dots \\ \sum_1^k (fEmc^2) \\ \sum_1^k (fS1c^2) \\ \sum_1^k (fS2c^2) \\ \dots \\ \sum_1^k (fSnc^2) \\ \sum_1^k (fZc^2) \end{array} \right] + \begin{bmatrix} 1 & 0 & 0 & 0 & 0 & 0 & 0 & 0 & 0 & 0 \\ 0 & 1 & 0 & 0 & 0 & 0 & 0 & 0 & 0 & 0 \\ 0 & 0 & 1 & 0 & 0 & 0 & 0 & 0 & 0 & 0 \\ \dots & \dots & \dots & \dots & \dots & \dots & \dots & \dots & \dots & \dots \\ 0 & 0 & 0 & \dots & 0 & 0 & 0 & 0 & 0 & 0 \\ 0 & 0 & 0 & 0 & 1 & 0 & 0 & 0 & 0 & 0 \\ 0 & 0 & 0 & 0 & 0 & 1 & 0 & 0 & 0 & 0 \\ 0 & 0 & 0 & 0 & 0 & 0 & 1 & 0 & 0 & 0 \\ 0 & 0 & 0 & 0 & 0 & 0 & 0 & \dots & 0 & 0 \\ 0 & 0 & 0 & 0 & 0 & 0 & 0 & 0 & 1 & 0 \\ \dots & \dots & \dots & \dots & \dots & \dots & \dots & \dots & \dots & \dots \\ 0 & 0 & 0 & 0 & 0 & 0 & 0 & 0 & 0 & 1 \end{bmatrix} \cdot \begin{bmatrix} 1 & 0 & 0 & 0 & 0 & 0 & 0 & 0 & 0 & 0 \\ 0 & \alpha 1c & 0 & 0 & 0 & 0 & 0 & 0 & 0 & 0 \\ 0 & 0 & \alpha 2c & 0 & 0 & 0 & 0 & 0 & 0 & 0 \\ \dots & \dots & \dots & \dots & \dots & \dots & \dots & \dots & \dots & \dots \\ 0 & 0 & 0 & 0 & \alpha mc & 0 & 0 & 0 & 0 & 0 \\ 0 & 0 & 0 & 0 & 0 & -\beta 1c & 0 & 0 & 0 & 0 \\ 0 & 0 & 0 & 0 & 0 & 0 & -\beta 2c & 0 & 0 & 0 \\ 0 & 0 & 0 & 0 & 0 & 0 & 0 & \dots & 0 & 0 \\ 0 & 0 & 0 & 0 & 0 & 0 & 0 & 0 & -\beta nc & 0 \\ 0 & 0 & 0 & 0 & 0 & 0 & 0 & 0 & 0 & -\beta Zc \end{bmatrix} \cdot \begin{bmatrix} fAc^{12} & fAc^{u2} & \dots & fAc^{k2} \\ fE1c^{12} & fE1c^{u2} & \dots & fE1c^{k2} \\ fE2c^{12} & fE2c^{u2} & \dots & fE2c^{k2} \\ \dots & \dots & \dots & \dots \\ fEmc^{12} & fEmc^{u2} & \dots & fEmc^{k2} \\ fS1c^{12} & fS1c^{u2} & \dots & fS1c^{k2} \\ fS2c^{12} & fS2c^{u2} & \dots & fS2c^{k2} \\ \dots & \dots & \dots & \dots \\ fSnc^{12} & fSnc^{u2} & \dots & fSnc^{k2} \\ fZc^{12} & fZc^{u2} & \dots & fZc^{k2} \end{bmatrix} \cdot \begin{bmatrix} \lambda q^1 \\ \lambda q^u \\ \dots \\ \lambda q^k \end{bmatrix} - 2 \cdot \begin{bmatrix} \Delta MqA \\ \Delta MqE1 \\ \Delta MqE2 \\ \dots \\ \Delta MqEm \\ \Delta MqS1 \\ \Delta MqS2 \\ \Delta MqSn \\ \dots \\ \Delta MqZ \end{bmatrix}$$

Hallados los Multiplicadores de Lagrange se procederá a calcular las correcciones según los Grupos de ecuaciones 4.1 y 4.2:

#### Grupo Ecuaciones # 4. 3

$$\begin{aligned}\Delta LA &= -\frac{\lambda A}{2} & \Delta LS1 &= -\frac{\lambda S1}{2} \\ \Delta LE1 &= -\frac{\lambda E1}{2} & \Delta LS2 &= -\frac{\lambda S2}{2} \\ \Delta LE2 &= -\frac{\lambda E2}{2} & \Delta LSn &= -\frac{\lambda Sn}{2} \\ \Delta LEm &= -\frac{\lambda Em}{2} & \Delta LZ &= -\frac{\lambda Z}{2}\end{aligned}$$

#### Grupo Ecuaciones # 4. 4

$$\begin{aligned}\Delta LfA &= \frac{fAc}{2} * (-\lambda q + \lambda A) & \Delta LfS1 &= \frac{fS1c}{2} * (+\lambda q * \beta 1c + \lambda S1) \\ \Delta LfE1 &= \frac{fE1c}{2} * (-\lambda q * \alpha 1c + \lambda E1) & \Delta LfS2 &= \frac{fS2c}{2} * (+\lambda q * \beta 2c + \lambda S2) \\ \Delta LfE2 &= \frac{fE2c}{2} * (-\lambda q * \alpha 2c + \lambda E2) & \Delta LfSn &= \frac{fSnc}{2} * (+\lambda q * \beta nc + \lambda Sn) \\ \Delta LfEm &= \frac{fEmc}{2} * (-\lambda q * \alpha mc + \lambda Em) & \Delta LfZ &= \frac{fZc}{2} * (+\lambda q * \beta Zc + \lambda Z)\end{aligned}$$

Finalmente se corregirán las leyes.

$$LAc = LA - \Delta LA$$

$$LEic = LEi - \Delta LEi; i = \{1, 2, \dots, m\}$$

$$LSjc = LSj - \Delta LSj; j = \{1, 2, \dots, n\}$$

$$LZc = LZ - \Delta LZ$$

$$LfAc = LfA - \Delta LfA$$

$$LfEic = LfEi - \Delta LfEi; i = \{1, 2, \dots, m\}$$

$$LfSjc = LfSj - \Delta LfSj; j = \{1, 2, \dots, n\}$$

$$LfZc = LfZ - \Delta LfZ$$

### 4.5 RESUMEN DEL MÉTODO

1. Corregir los Análisis Granulométricos (Ver Capítulo 2).
2. Hallar los errores: (Ecuaciones 4.7 y 4.9).

$$\Delta Mq = LfA * fAc + LfE1 * fE1c * \alpha 1c + LfE2 * fE2c * \alpha 2c + \dots + LfEm * fEmc * \alpha mc - (LfS1 * fS1c * \beta 1c + LfS2 * fS2c * \beta 2c + \dots + LfSn * fSnc * \beta nc + LfZ * fZc * \beta Zc)$$

$$\Delta MqES = L - (Lf^I * fc^I + Lf^{II} * fc^{II} + Lf^{III} * fc^{III} + \dots + Lf^{k-1} * fc^{k-1} + Lf^k * fc^k)$$

$$\Delta MqES = L - \sum_1^k (Lf * fc)$$

3. Hallar las Matrices:

$$\Delta \tilde{M}qES = \begin{bmatrix} \Delta MqA \\ \Delta MqE1 \\ \Delta MqE2 \\ \dots \\ \Delta MqEm \\ \Delta MqS1 \\ \Delta MqS2 \\ \Delta MqSn \\ \dots \\ \Delta MqZ \end{bmatrix} \quad \Delta \tilde{M}q = \begin{bmatrix} \Delta Mq^I \\ \Delta Mq^{II} \\ \dots \\ \Delta Mq^k \end{bmatrix} \quad \tilde{Q}u = \begin{bmatrix} 1 \\ \alpha 1c \\ \alpha 2c \\ \dots \\ \alpha mc \\ -\beta 1c \\ -\beta 2c \\ \dots \\ -\beta nc \\ -\beta Zc \end{bmatrix}$$

(k,1)  (m+n+2,1)

$$F2 = \begin{bmatrix} fAc^{i^2} & fE1c^{i^2} & fE2c^{i^2} & \dots & fEmc^{i^2} & fS1c^{i^2} & fS2c^{i^2} & \dots & fSnc^{i^2} & fZc^{i^2} \\ fAc^{ii^2} & fE1c^{ii^2} & fE2c^{ii^2} & \dots & fEmc^{ii^2} & fS1c^{ii^2} & fS2c^{ii^2} & \dots & fSnc^{ii^2} & fZc^{ii^2} \\ \dots & \dots & \dots & \dots & \dots & \dots & \dots & \dots & \dots & \dots \\ fAc^{k^2} & fE1c^{k^2} & fE2c^{k^2} & \dots & fEmc^{k^2} & fS1c^{k^2} & fS2c^{k^2} & \dots & fSnc^{k^2} & fZc^{k^2} \end{bmatrix}$$

(k, m+n+2)

$$\tilde{S}F2 = \begin{bmatrix} \sum_{\downarrow} (fAc^2) \\ \sum_{\downarrow} (fE1c^2) \\ \sum_{\downarrow} (fE2c^2) \\ \dots \\ \sum_{\downarrow} (fEmc^2) \\ \sum_{\downarrow} (fS1c^2) \\ \sum_{\downarrow} (fS2c^2) \\ \dots \\ \sum_{\downarrow} (fSnc^2) \\ \sum_{\downarrow} (fZc^2) \end{bmatrix}$$

$(m+n+2,1)$

4. Calcular las Matrices  $\tilde{H}$  y  $\tilde{\Phi}_0$

$$\tilde{H} = \tilde{F}2 * [Diag(\tilde{S}F2) + I(m+n+2)]^{-1}$$

$(k, m+n+2)$

$$\tilde{\Phi}_0 = \tilde{F}2 * Diag(Qu) * Qu$$

$(k,1)$

Recuérdese que se definió la función:  $Diag(A)$

$$Diag(\tilde{\lambda}) = diag \begin{pmatrix} a1 \\ a2 \\ \dots \\ an \end{pmatrix} = \begin{pmatrix} a1 & 0 & 0 & 0 \\ 0 & a2 & 0 & 0 \\ 0 & 0 & \dots & 0 \\ 0 & 0 & 0 & an \end{pmatrix}$$

Sea la Matriz Identidad  $I(n')$ , donde “ $(n', n')$ ” es el tamaño.

$$I(n') = \begin{bmatrix} 1 & 0 & 0 & 0 \\ 0 & 1 & 0 & 0 \\ 0 & 0 & \dots & 0 \\ 0 & 0 & 0 & 1 \end{bmatrix}$$

$(n', n')$

5. Hallar los Multiplicadores de Lagrange (para corrección de Análisis Químico) para cada Intervalo de Tamaño (Ecuación 4.41)

$$\tilde{\lambda}_q = 2 * [H * [Diag(\tilde{Q}u)]^2 * F'2' - Diag(\Phi_0)]^{-1} * (\Delta\tilde{M}q + H * Diag(\tilde{Q}u) * \Delta\tilde{M}qES)$$

$(k,1)$

6. Hallar los Multiplicadores de Lagrange por flujos de Entrada y Salida del Sistema. (Ecuación 4.42)

$$\tilde{\lambda}ES = [Diag(\tilde{S}F2) + I(m + n + 2)]^{-1} * [Diag(\tilde{Q}u) * F'2' * \tilde{\lambda}_q - 2 * \Delta\tilde{M}qES]$$

$(m + n + 2,1)$

7. Hallar las correcciones para cada Intervalo de Tamaño (Grupo de Ecuaciones 4.2).

$$\begin{aligned} \Delta LfA &= \frac{fAc}{2} * (-\lambda_q + \lambda A) \\ \Delta LfE1 &= \frac{fE1c}{2} * (-\lambda_q * \alpha_{1c} + \lambda E1) \\ \Delta LfE2 &= \frac{fE2c}{2} * (-\lambda_q * \alpha_{2c} + \lambda E2) \\ \Delta LfEm &= \frac{fEmc}{2} * (-\lambda_q * \alpha_{mc} + \lambda Em) \end{aligned}$$

$$\begin{aligned} \Delta LfS1 &= \frac{fS1c}{2} * (+\lambda_q * \beta_{1c} + \lambda S1) \\ \Delta LfS2 &= \frac{fS2c}{2} * (+\lambda_q * \beta_{2c} + \lambda S2) \\ \Delta LfSn &= \frac{fSnc}{2} * (+\lambda_q * \beta_{nc} + \lambda Sn) \\ \Delta LfZ &= \frac{fZc}{2} * (+\lambda_q * \beta_{Zc} + \lambda Z) \end{aligned}$$

8. Hallar las Correcciones para los flujos (Entradas y Salidas del Sistema) (Grupo de ecuaciones 4.1).

$$\Delta LA = -\frac{\lambda A}{2}$$

$$\Delta LE1 = -\frac{\lambda E1}{2}$$

$$\Delta LE2 = -\frac{\lambda E2}{2}$$

$$\Delta LEm = -\frac{\lambda Em}{2}$$

$$\Delta LS1 = -\frac{\lambda S1}{2}$$

$$\Delta LS2 = -\frac{\lambda S2}{2}$$

$$\Delta LSn = -\frac{\lambda Sn}{2}$$

$$\Delta LZ = -\frac{\lambda Z}{2}$$

9. Corregir las Leyes según:

$$LAc = LA - \Delta LA$$

$$LEic = LEi - \Delta LEi; i = \{1, 2, \dots, m\}$$

$$LSjc = LSj - \Delta LSj; j = \{1, 2, \dots, n\}$$

$$LZc = LZ - \Delta LZ$$

$$LfAc = LfA - \Delta LfA$$

$$LfEic = LfEi - \Delta LfEi; i = \{1, 2, \dots, m\}$$

$$LfSjc = LfSj - \Delta LfSj; j = \{1, 2, \dots, n\}$$

$$LfZc = LfZ - \Delta LfZ$$

10. Hallar el Error (Opcional).

$$f(X) = S = \Delta LA^2 + \Delta LE1^2 + \Delta LE2^2 + \dots + \Delta LEm^2 + \Delta LS1^2 + \Delta LS2^2 + \dots + \Delta LSn^2 + \Delta LZ^2$$

$$+ \sum_1^k \Delta LfA^2 + \sum_1^k \Delta LfE1^2 + \sum_1^k \Delta LfE2^2 + \dots + \sum_1^k \Delta LfEm^2$$

$$+ \sum_1^k \Delta LfS1^2 + \sum_1^k \Delta LfS2^2 + \dots + \sum_1^k \Delta LfSn^2 + \sum_1^k \Delta LfZ^2$$

#### 4.6 PROPIEDADES PARA LA CORRÉCCION DE ANÁLISIS QUÍMICO POR MULTIPLICADORES DE LAGRANGE EN EL SISTEMA EMPLEADO

**Propiedad #01:**

*La sumatoria de todas las correcciones es cero*

Se tiene las correcciones por intervalos de tamaños:



$$\Delta LfA = \frac{fAc}{2} * (-\lambda q + \lambda A)$$

$$\Delta LfE1 = \frac{fE1c}{2} * (-\lambda q * \alpha 1c + \lambda E1)$$

$$\Delta LfE2 = \frac{fE2c}{2} * (-\lambda q * \alpha 2c + \lambda E2)$$

$$\Delta LfEm = \frac{fEmc}{2} * (-\lambda q * \alpha mc + \lambda Em)$$

$$\Delta LfS1 = \frac{fS1c}{2} * (+\lambda q * \beta 1c + \lambda S1)$$

$$\Delta LfS2 = \frac{fS2c}{2} * (+\lambda q * \beta 2c + \lambda S2)$$

$$\Delta LfSn = \frac{fSnc}{2} * (+\lambda q * \beta nc + \lambda Sn)$$

$$\Delta LfZ = \frac{fZc}{2} * (+\lambda q * \beta Zc + \lambda Z)$$

Para la sumatoria de estas correcciones:

(Recuerde que:  $\sum fc = 1$ )

$$\sum (\Delta LfA) = -\frac{1}{2} * \sum (fAc * \lambda q) + \frac{\lambda A}{2} * \sum fAc = -\frac{1}{2} * \sum (fAc * \lambda q) + \frac{\lambda A}{2}$$

$$\sum (\Delta LfE1) = -\frac{\alpha 1c}{2} * \sum (fE1c * \lambda q) + \frac{\lambda E1}{2} * \sum fE1c = -\frac{\alpha 1c}{2} * \sum (fE1c * \lambda q) + \frac{\lambda E1}{2}$$

$$\sum (\Delta LfE2) = -\frac{\alpha 2c}{2} * \sum (fE2c * \lambda q) + \frac{\lambda E2}{2} * \sum fE2c = -\frac{\alpha 2c}{2} * \sum (fE2c * \lambda q) + \frac{\lambda E2}{2}$$

$$\sum (\Delta LfEm) = -\frac{\alpha mc}{2} * \sum (fEmc * \lambda q) + \frac{\lambda Em}{2} * \sum fEmc = -\frac{\alpha mc}{2} * \sum (fEmc * \lambda q) + \frac{\lambda Em}{2}$$

$$\sum (\Delta LfS1) = \frac{\beta 1c}{2} * \sum (fS1c * \lambda q) + \frac{\lambda S1}{2} * \sum fS1c = \frac{\beta 1c}{2} * \sum (fS1c * \lambda q) + \frac{\lambda S1}{2}$$

$$\sum (\Delta LfS2) = \frac{\beta 2c}{2} * \sum (fS2c * \lambda q) + \frac{\lambda S2}{2} * \sum fS2c = \frac{\beta 2c}{2} * \sum (fS2c * \lambda q) + \frac{\lambda S2}{2}$$

$$\sum (\Delta LfSn) = \frac{\beta nc}{2} * \sum (fSnc * \lambda q) + \frac{\lambda Sn}{2} * \sum fSnc = \frac{\beta nc}{2} * \sum (fSnc * \lambda q) + \frac{\lambda Sn}{2}$$

$$\sum (\Delta LfZ) = \frac{\beta Zc}{2} * \sum (fZc * \lambda q) + \frac{\lambda Z}{2} * \sum fZc = \frac{\beta Zc}{2} * \sum (fZc * \lambda q) + \frac{\lambda Z}{2}$$

La sumatoria de todas las correcciones por intervalo de tamaño será:

$$\begin{aligned} & \sum (\Delta LfA) + \sum (\Delta LfE1) + \sum (\Delta LfE2) + \sum (\Delta LfEm) + \sum (\Delta LfS1) + \sum (\Delta LfS2) + \sum (\Delta LfSn) + \sum (\Delta LfZ) = \\ & = -\frac{1}{2} * \sum (fAc * \lambda q) - \frac{\alpha 1c}{2} * \sum (fE1c * \lambda q) - \frac{\alpha 2c}{2} * \sum (fE2c * \lambda q) - \frac{\alpha mc}{2} * \sum (fEmc * \lambda q) \\ & + \frac{\beta 1c}{2} * \sum (fS1c * \lambda q) + \frac{\beta 2c}{2} * \sum (fS2c * \lambda q) + \frac{\beta nc}{2} * \sum (fSnc * \lambda q) + \frac{\beta Zc}{2} * \sum (fZc * \lambda q) \\ & + \frac{\lambda A}{2} + \frac{\lambda E1}{2} + \frac{\lambda E2}{2} + \frac{\lambda Em}{2} + \frac{\lambda S1}{2} + \frac{\lambda S2}{2} + \frac{\lambda Sn}{2} + \frac{\lambda Z}{2} \end{aligned}$$

Esto se puede expresar de la siguiente manera:

$$\begin{aligned} & \sum(\Delta L_f A) + \sum(\Delta L_f E1) + \sum(\Delta L_f E2) + \sum(\Delta L_f Em) + \sum(\Delta L_f S1) + \sum(\Delta L_f S2) + \sum(\Delta L_f Sn) + \sum(\Delta L_f Z) = \\ & = -\frac{1}{2} * \sum[\lambda q(fAc + \alpha 1c * fE1c + \alpha 2c * fE2c + \alpha mc * fEmc - (\beta 1c * fS1c + \beta 2c * fS2c + \beta nc * fSnc + \beta Zc * fZc))] \\ & + \frac{\lambda A}{2} + \frac{\lambda E1}{2} + \frac{\lambda E2}{2} + \frac{\lambda Em}{2} + \frac{\lambda S1}{2} + \frac{\lambda S2}{2} + \frac{\lambda Sn}{2} + \frac{\lambda Z}{2} \end{aligned}$$

Pero la ecuación 2.4 es:

### Ecuación 2. 12

$$fAc + fE1c * \alpha 1c + fE2c * \alpha 2c + \dots + fEmc * \alpha mc = fS1c * \beta 1c + fS2c * \beta 2c + \dots + fSnc * \beta nc + fZc * \beta Zc$$

Por lo tanto, dicha sumatoria queda reducida a:

$$\begin{aligned} & \sum(\Delta L_f A) + \sum(\Delta L_f E1) + \sum(\Delta L_f E2) + \dots + \sum(\Delta L_f Em) + \sum(\Delta L_f S1) + \sum(\Delta L_f S2) + \dots + \sum(\Delta L_f Sn) + \sum(\Delta L_f Z) = \\ & = -\frac{1}{2} * (\lambda A + \lambda E1 + \lambda E2 + \dots + \lambda Em + \lambda S1 + \lambda S2 + \dots + \lambda Sn + \lambda Z) \end{aligned}$$

Las correcciones por flujo son:

$$\begin{aligned} \Delta LA &= -\frac{\lambda A}{2} & \Delta LS1 &= -\frac{\lambda S1}{2} \\ \Delta LE1 &= -\frac{\lambda E1}{2} & \Delta LS2 &= -\frac{\lambda S2}{2} \\ \Delta LE2 &= -\frac{\lambda E2}{2} & \Delta LSn &= -\frac{\lambda Sn}{2} \\ \Delta LEm &= -\frac{\lambda Em}{2} & \Delta LZ &= -\frac{\lambda Z}{2} \end{aligned}$$

La suma de las correcciones por flujo es:

$$\begin{aligned} & \Delta LA + \Delta LE1 + \Delta LE2 + \Delta LEm + \Delta LS1 + \Delta LS2 + \Delta LSn + \Delta LZ \\ & = -\frac{1}{2} * (\lambda A + \lambda E1 + \lambda E2 + \dots + \lambda Em + \lambda S1 + \lambda S2 + \dots + \lambda Sn + \lambda Z) \end{aligned}$$

Observamos que la suma de las correcciones por flujo es el valor negativo de la sumatoria de todas las correcciones por intervalo de tamaño

Por lo tanto la suma de todas las correcciones será:

$$\begin{aligned} & \sum (\Delta LfA) + \sum (\Delta LfE1) + \sum (\Delta LfE2) + \dots + \sum (\Delta LfEm) + \\ & \sum (\Delta LfS1) + \sum (\Delta LfS2) + \dots + \sum (\Delta LfSn) + \sum (\Delta LfZ) + \\ & \Delta LA + \Delta LE1 + \Delta LE2 + \Delta LEm + \Delta LS1 + \Delta LS2 + \Delta LSn + \Delta LZ = 0 \end{aligned}$$

### Propiedad #02:

*La suma de las Leyes corregidas es igual a la suma de las leyes sin corregir.*

Se tiene que las leyes se corrigen según:

$$LAc = LA - \Delta LA$$

$$LEic = LEi - \Delta LEi; i = \{1, 2, \dots, m\}$$

$$LSjc = LSj - \Delta LSj; j = \{1, 2, \dots, n\}$$

$$LZc = LZ - \Delta LZ$$

$$LfAc = LfA - \Delta LfA$$

$$LfEic = LfEi - \Delta LfEi; i = \{1, 2, \dots, m\}$$

$$LfSjc = LfSj - \Delta LfSj; j = \{1, 2, \dots, n\}$$

$$LfZc = LfZ - \Delta LfZ$$

Por lo tanto, haciendo la sumatoria:

$$\begin{aligned} & LAc + LE1c + LE2c + \dots + LEmc + LS1c + LS2c + \dots + LSn + LZc + \\ & \sum LfAc + \sum LfE1c + \sum LfE2c + \dots + \sum LfEmc + \sum LfS1c + \sum LfS2c + \dots + \sum LfSnc + \sum LfZc \\ & = LA + LE1 + LE2 + \dots + LEm + LS1 + LS2 + \dots + LSn + LZ + \\ & \sum LfA + \sum LfE1 + \sum LfE2 + \dots + \sum LfEm + \sum LfS1 + \sum LfS2 + \dots + \sum LfSn + \sum LfZ \\ & - (\Delta LA + \Delta LE1 + \Delta LE2 + \dots + \Delta LEm + \Delta LS1 + \Delta LS2 + \dots + \Delta LSn + \Delta LZ \\ & \sum \Delta LfA + \sum \Delta LfE1 + \sum \Delta LfE2 + \dots + \sum \Delta LfEm + \sum \Delta LfS1 + \sum \Delta LfS2 + \dots + \sum \Delta LfSn + \sum \Delta LfZ) \end{aligned}$$

Pero por la propiedad anterior se tiene que la suma de todas las correcciones es cero, por lo tanto:

$$\begin{aligned} & LAc + LE1c + LE2c + \dots + LEmc + LS1c + LS2c + \dots + LSn + LZc + \\ & \sum LfAc + \sum LfE1c + \sum LfE2c + \dots + \sum LfEmc + \sum LfS1c + \sum LfS2c + \dots + \sum LfSnc + \sum LfZc \\ & = LA + LE1 + LE2 + \dots + LEm + LS1 + LS2 + \dots + LSn + LZ + \\ & \sum LfA + \sum LfE1 + \sum LfE2 + \dots + \sum LfEm + \sum LfS1 + \sum LfS2 + \dots + \sum LfSn + \sum LfZ \end{aligned}$$

$$\boxed{\sum (\text{Leyes Corregidas}) = \sum (\text{Leyes Sin Corregir})}$$

## **CAPÍTULO 5**

### **CORRECCIÓN DE ANÁLISIS QUÍMICO DEL CLASIFICADOR STOKES**

#### **5.1 INTRODUCCIÓN**

La corrección se efectuó por medio de una hoja de cálculo (Microsoft Excel 2000) por medio de la cual se presentan en forma de tablas las matrices utilizadas. En dichas tablas también se presenta el tamaño de la matriz donde se refiere como (*fila, columna*).

Se utilizarán los Análisis Granulométricos Corregidos previamente en el Capítulo 3.

Recuérdese que:

m=0           (Entradas auxiliares)

n=6           (Salidas auxiliares)

k=12          (Número de intervalo de tamaños.)

Llámesse entradas o salidas auxiliares a aquellas diferentes de la entrada o salida principal.

## 5.2 BALANCE DE MASA:

En el sistema empleado se tiene:

De la Tabla 2.1

**Tabla 5. 1 Esquema simbólico de los Análisis Granulométricos**

|                           |                          | ENTRADA           | SALIDA       |              |              |              |              |              |                   |
|---------------------------|--------------------------|-------------------|--------------|--------------|--------------|--------------|--------------|--------------|-------------------|
|                           |                          | Alimentación      | Spigot #01   | Spigot #02   | Spigot #03   | Spigot #04   | Spigot #05   | Spigot #06   | Rebose            |
|                           | <b>Flujo (Ej: t/h)</b>   | Ac<br>(Principal) | S1c          | S2c          | S3c          | S4c          | S5c          | S6c          | Zc<br>(Principal) |
|                           | <b>Intervalo Tamaños</b> |                   |              |              |              |              |              |              |                   |
| <b>Fracciones en Peso</b> | i                        | $fAc^i$           | $fS1c^i$     | $fS2c^i$     | $fS3c^i$     | $fS4c^i$     | $fS5c^i$     | $fS6c^i$     | $fZc^i$           |
|                           | ii                       | $fAc^{ii}$        | $fS1c^{ii}$  | $fS2c^{ii}$  | $fS3c^{ii}$  | $fS4c^{ii}$  | $fS5c^{ii}$  | $fS6c^{ii}$  | $fZc^{ii}$        |
|                           | iii                      | $fAc^{iii}$       | $fS1c^{iii}$ | $fS2c^{iii}$ | $fS3c^{iii}$ | $fS4c^{iii}$ | $fS5c^{iii}$ | $fS6c^{iii}$ | $fZc^{iii}$       |
|                           | ...                      | ...               | ...          | ...          | ...          | ...          | ...          | ...          | ...               |
|                           | k-1                      | $fAc^{k-1}$       | $fS1c^{k-1}$ | $fS2c^{k-1}$ | $fS3c^{k-1}$ | $fS4c^{k-1}$ | $fS5c^{k-1}$ | $fS6c^{k-1}$ | $fZc^{k-1}$       |
|                           | k                        | $fAc^k$           | $fS1c^k$     | $fS2c^k$     | $fS3c^k$     | $fS4c^k$     | $fS5c^k$     | $fS6c^k$     | $fZc^k$           |

Leyes de Estaño para los Flujos y fracciones de los análisis Granulométricos.

**Tabla 5. 2 Esquema simbólico de los Análisis Químicos**

|              |  | ENTRADA      | SALIDA       |              |              |              |              |              |             |
|--------------|--|--------------|--------------|--------------|--------------|--------------|--------------|--------------|-------------|
|              |  | Alimentación | Spigot #01   | Spigot #02   | Spigot #03   | Spigot #04   | Spigot #05   | Spigot #06   | Rebose      |
| <b>I. T.</b> | <b>Ley Flujos</b>                                | LA           | LS1          | LS2          | LS3          | LS4          | LS5          | LS6          | LZ          |
| i            | <b>Ley para cada fracción (Mallas Valoradas)</b> | $LfA^i$      | $LfS1^i$     | $LfS2^i$     | $LfS3^i$     | $LfS4^i$     | $LfS5^i$     | $LfS6^i$     | $LfZ^i$     |
| ii           |  | $LfA^{ii}$   | $LfS1^{ii}$  | $LfS2^{ii}$  | $LfS3^{ii}$  | $LfS4^{ii}$  | $LfS5^{ii}$  | $LfS6^{ii}$  | $LfZ^{ii}$  |
| iii          |  | $LfA^{iii}$  | $LfS1^{iii}$ | $LfS2^{iii}$ | $LfS3^{iii}$ | $LfS4^{iii}$ | $LfS5^{iii}$ | $LfS6^{iii}$ | $LfZ^{iii}$ |
| ...          |  | ...          | ...          | ...          | ...          | ...          | ...          | ...          | ...         |
| k-1          |  | $LfA^{k-1}$  | $LfS1^{k-1}$ | $LfS2^{k-1}$ | $LfS3^{k-1}$ | $LfS4^{k-1}$ | $LfS5^{k-1}$ | $LfS6^{k-1}$ | $LfZ^{k-1}$ |
| k            |  | $LfA^k$      | $LfS1^k$     | $LfS2^k$     | $LfS3^k$     | $LfS4^k$     | $LfS5^k$     | $LfS6^k$     | $LfZ^k$     |

Los Análisis Químicos Sin Corregir son:

**Tabla 5. 3 Análisis Químicos sin Corregir**

|              |                 | LEYES %Sn         |                   |                   |                   |                   |                   |               |            |
|--------------|-----------------|-------------------|-------------------|-------------------|-------------------|-------------------|-------------------|---------------|------------|
|              |                 | <i>LfA</i>        | <i>LfS1</i>       | <i>LfS2</i>       | <i>LfS3</i>       | <i>LfS4</i>       | <i>LfS5</i>       | <i>LfS6</i>   | <i>LfZ</i> |
| <i>I. T.</i> | <i>Alimento</i> | <i>Spigot #01</i> | <i>Spigot #02</i> | <i>Spigot #03</i> | <i>Spigot #04</i> | <i>Spigot #05</i> | <i>Spigot #06</i> | <i>Rebose</i> |            |
| 1            |                 | 2.07%             | 1.82%             | 0.79%             | 0.00%             | 0.00%             | 0.00%             | 0.00%         | 0.00%      |
| 2            |                 | 2.00%             | 1.93%             | 0.77%             | 0.47%             | 0.00%             | 0.00%             | 0.00%         | 0.00%      |
| 3            |                 | 1.96%             | 2.45%             | 1.20%             | 0.53%             | 0.00%             | 0.00%             | 0.00%         | 0.00%      |
| 4            |                 | 1.83%             | 3.66%             | 1.91%             | 0.62%             | 0.50%             | 0.00%             | 0.00%         | 0.00%      |
| 5            |                 | 1.83%             | 5.62%             | 6.20%             | 1.08%             | 0.83%             | 0.57%             | 0.00%         | 0.00%      |
| 6            |                 | 1.63%             | 6.36%             | 14.53%            | 2.69%             | 0.76%             | 0.44%             | 6.92%         | 0.00%      |
| 7            |                 | 2.04%             | 8.49%             | 33.97%            | 13.64%            | 1.53%             | 0.77%             | 0.63%         | 1.66%      |
| 8            |                 | 3.00%             | 13.19%            | 28.30%            | 29.81%            | 5.40%             | 2.02%             | 0.73%         | 0.42%      |
| 9            |                 | 3.98%             | 14.15%            | 12.26%            | 30.02%            | 13.68%            | 5.52%             | 2.60%         | 0.44%      |
| 10           |                 | 6.55%             | 7.07%             | 9.08%             | 13.48%            | 13.08%            | 8.60%             | 6.06%         | 1.00%      |
| 11           |                 | 8.22%             | 7.12%             | 8.40%             | 11.34%            | 15.72%            | 10.04%            | 8.26%         | 1.63%      |
| 12           |                 | 10.15%            | 11.06%            | 10.20%            | 2.09%             | 10.24%            | 9.96%             | 10.20%        | 6.29%      |
|              | <i>LA</i>       | <i>LS1</i>        | <i>LS2</i>        | <i>LS3</i>        | <i>LS4</i>        | <i>LS5</i>        | <i>LS6</i>        | <i>LZ</i>     |            |
|              |                 | 3.28%             | 3.97%             | 2.65%             | 2.16%             | 2.84%             | 3.37%             | 3.98%         | 3.54%      |

### 5.3 CORRECCIÓN DE LOS ANÁLISIS QUÍMICOS

#### 5.3.1 Corregir los Análisis Granulométricos

(Ver Capítulo 3 - Tabla 3.18).

|              |              | <i>Alimento</i> | <i>Spigot #01</i> | <i>Spigot #02</i> | <i>Spigot #03</i> | <i>Spigot #04</i> | <i>Spigot #05</i> | <i>Spigot #06</i> | <i>Rebose</i> |
|--------------|--------------|-----------------|-------------------|-------------------|-------------------|-------------------|-------------------|-------------------|---------------|
| <i>I. T.</i> | <i>Malla</i> | <i>fAc</i>      | <i>fS1c</i>       | <i>fS2c</i>       | <i>fS3c</i>       | <i>fS4c</i>       | <i>fS5c</i>       | <i>fS6c</i>       | <i>fZc</i>    |
| 1            | -m14 +m20    | 2.17            | 13.84             | 2.25              | 0.05              | 0.04              | 0.05              | 0.04              | 0.01          |
| 2            | -m20 +m30    | 6.45            | 31.60             | 16.78             | 0.89              | -0.02             | -0.03             | -0.03             | -0.01         |
| 3            | -m30 +m40    | 11.15           | 30.52             | 42.22             | 10.12             | -0.01             | -0.01             | -0.01             | 0.00          |
| 4            | -m40 +m50    | 11.80           | 13.61             | 28.49             | 31.28             | 3.15              | 0.01              | 0.01              | 0.00          |
| 5            | -m50 +m70    | 14.94           | 6.24              | 8.11              | 44.76             | 25.02             | 3.84              | -0.02             | -0.01         |
| 6            | -m70 +m100   | 10.22           | 1.68              | 0.97              | 9.92              | 29.73             | 17.63             | 1.15              | 0.00          |
| 7            | -m100 +m140  | 11.43           | 0.97              | 0.55              | 1.83              | 21.45             | 29.71             | 12.90             | 0.35          |
| 8            | -m140 +m200  | 10.21           | 0.52              | 0.31              | 0.66              | 9.50              | 19.95             | 28.93             | 3.69          |
| 9            | -m200 +m270  | 9.52            | 0.33              | 0.07              | 0.36              | 5.42              | 14.16             | 28.50             | 25.79         |
| 10           | -m270 +m325  | 2.42            | 0.02              | 0.01              | -0.05             | 1.04              | 2.96              | 6.31              | 13.06         |
| 11           | -m325 +m400  | 1.91            | 0.15              | 0.15              | 0.11              | 1.23              | 2.48              | 4.51              | 8.94          |
| 12           | -m400        | 7.77            | 0.52              | 0.10              | 0.06              | 3.44              | 9.24              | 17.70             | 48.17         |

### 5.3.2 Hallar los errores:

(Ecuaciones 4.7 y 4.9).

$$\Delta Mq = LfA * fAc - (LjS1 * fS1c * \beta 1c + LjS2 * fS2c * \beta 2c + \dots + LjS6 * fS6c * \beta 6c + LjZ * fZc * \beta Zc)$$

$$\Delta MqES = L - (Lf' * fc' + Lf'' * fc'' + Lf''' * fc''' + \dots + Lf^{n'} * fc^{n'} + Lf^{n''} * fc^{n''})$$

$$\Delta MqES = L - \sum (Lf * fc)$$

Tabla 5. 4 Cálculo de los Errores por Malla y por Entradas y Salidas

| LEYES %Sn    |                 |                   |                   |                   |                   |                   |                   |               |             |
|--------------|-----------------|-------------------|-------------------|-------------------|-------------------|-------------------|-------------------|---------------|-------------|
|              | <i>LfA</i>      | <i>LjS1</i>       | <i>LjS2</i>       | <i>LjS3</i>       | <i>LjS4</i>       | <i>LjS5</i>       | <i>LjS6</i>       | <i>LjZ</i>    |             |
| <i>I. T.</i> | <i>Alimento</i> | <i>Spigot #01</i> | <i>Spigot #02</i> | <i>Spigot #03</i> | <i>Spigot #04</i> | <i>Spigot #05</i> | <i>Spigot #06</i> | <i>Rebose</i> | $\Delta Mq$ |
| 1            | 2.07%           | 1.82%             | 0.79%             | 0.00%             | 0.00%             | 0.00%             | 0.00%             | 0.00%         | 0.0088%     |
| 2            | 2.00%           | 1.93%             | 0.77%             | 0.47%             | 0.00%             | 0.00%             | 0.00%             | 0.00%         | 0.0301%     |
| 3            | 1.96%           | 2.45%             | 1.20%             | 0.53%             | 0.00%             | 0.00%             | 0.00%             | 0.00%         | 0.0463%     |
| 4            | 1.83%           | 3.66%             | 1.91%             | 0.62%             | 0.50%             | 0.00%             | 0.00%             | 0.00%         | 0.0433%     |
| 5            | 1.83%           | 5.62%             | 6.20%             | 1.08%             | 0.83%             | 0.57%             | 0.00%             | 0.00%         | 0.0370%     |
| 6            | 1.63%           | 6.36%             | 14.53%            | 2.69%             | 0.76%             | 0.44%             | 6.92%             | 0.00%         | 0.0225%     |
| 7            | 2.04%           | 8.49%             | 33.97%            | 13.64%            | 1.53%             | 0.77%             | 0.63%             | 1.66%         | 0.0457%     |
| 8            | 3.00%           | 13.19%            | 28.30%            | 29.81%            | 5.40%             | 2.02%             | 0.73%             | 0.42%         | 0.0611%     |
| 9            | 3.98%           | 14.15%            | 12.26%            | 30.02%            | 13.68%            | 5.52%             | 2.60%             | 0.44%         | -0.0310%    |
| 10           | 6.55%           | 7.07%             | 9.08%             | 13.48%            | 13.08%            | 8.60%             | 6.06%             | 1.00%         | 0.0233%     |
| 11           | 8.22%           | 7.12%             | 8.40%             | 11.34%            | 15.72%            | 10.04%            | 8.26%             | 1.63%         | 0.0090%     |
| 12           | 10.15%          | 11.06%            | 10.20%            | 2.09%             | 10.24%            | 9.96%             | 10.20%            | 6.29%         | 0.1028%     |
|              | <i>LA</i>       | <i>LS1</i>        | <i>LS2</i>        | <i>LS3</i>        | <i>LS4</i>        | <i>LS5</i>        | <i>LS6</i>        | <i>LZ</i>     |             |
|              | 3.28%           | 3.97%             | 2.65%             | 2.16%             | 2.84%             | 3.37%             | 3.98%             | 3.54%         |             |
|              | $\Delta MqA$    | $\Delta MqS1$     | $\Delta MqS2$     | $\Delta MqS3$     | $\Delta MqS4$     | $\Delta MqS5$     | $\Delta MqS6$     | $\Delta MqZ$  |             |
|              | 0.2085%         | 1.1371%           | 0.5011%           | 0.5962%           | 0.1262%           | 0.4332%           | 0.3068%           | 0.1002%       |             |

### 5.3.3 Hallar las Matrices:

$$\Delta \tilde{M}qES = \begin{bmatrix} \Delta MqA \\ \Delta MqS1 \\ \Delta MqS2 \\ \Delta MqS3 \\ \Delta MqS4 \\ \Delta MqS5 \\ \Delta MqS6 \\ \Delta MqZ \end{bmatrix} \quad (8,1)$$

Tabla 5. 5 Cálculo de la matriz  $\Delta \tilde{M}qES$

| Flujo | $\Delta \tilde{M}qES$<br>(8,1) |
|-------|--------------------------------|
| A     | 0.002085                       |
| S1    | 0.011371                       |
| S2    | 0.005011                       |
| S3    | 0.005962                       |
| S4    | 0.001262                       |
| S5    | 0.004332                       |
| S6    | 0.003068                       |
| Z     | 0.001002                       |

$$\Delta \tilde{M}q = \begin{bmatrix} \Delta Mq' \\ \Delta Mq'' \\ \dots \\ \Delta Mq^{xii} \end{bmatrix} \quad (12,1)$$



**Tabla 5. 6 Cálculo de la Matriz  $\Delta\tilde{M}q$**

| I. T. | $\Delta\tilde{M}q$<br>(12,1) |
|-------|------------------------------|
| 1     | 0.000088                     |
| 2     | 0.000301                     |
| 3     | 0.000463                     |
| 4     | 0.000433                     |
| 5     | 0.000370                     |
| 6     | 0.000225                     |
| 7     | 0.000457                     |
| 8     | 0.000611                     |
| 9     | -0.000310                    |
| 10    | 0.000233                     |
| 11    | 0.000090                     |
| 12    | 0.001028                     |

$$\tilde{Q}u = \begin{bmatrix} 1 \\ -\beta_1c \\ -\beta_2c \\ -\beta_3c \\ -\beta_4c \\ -\beta_5c \\ -\beta_6c \\ -\beta_7c \end{bmatrix}$$

(8,1)

**Tabla 5. 7 Cálculo de la Matriz  $\tilde{Q}u$**

| Flujo | $\tilde{Q}u$<br>(8,1) |
|-------|-----------------------|
| A     | 1.000000              |
| S1    | -0.135311             |
| S2    | -0.120011             |
| S3    | -0.193790             |
| S4    | -0.149035             |
| S5    | -0.189279             |
| S6    | -0.158221             |
| Z     | -0.054353             |

$$\tilde{F}_2 = \begin{bmatrix} fAc^{i2} & fS1c^{i2} & fS2c^{i2} & fS3c^{i2} & fS4c^{i2} & fS5c^{i2} & fS6c^{i2} & fZc^{i2} \\ fAc^{ii2} & fS1c^{ii2} & fS2c^{ii2} & fS3c^{ii2} & fS4c^{ii2} & fS5c^{ii2} & fS6c^{ii2} & fZc^{ii2} \\ \dots & \dots & \dots & \dots & \dots & \dots & \dots & \dots \\ fAc^{xii2} & fS1c^{xii2} & fS2c^{xii2} & fS3c^{xii2} & fS4c^{xii2} & fS5c^{xii2} & fS6c^{xii2} & fZc^{xii2} \end{bmatrix}$$

(12,8)

**Tabla 5. 8 Cálculo de la Matriz  $\tilde{F}_2$**

|       | $\tilde{F}_2$<br>(12,8) |        |        |        |        |        |        |        |
|-------|-------------------------|--------|--------|--------|--------|--------|--------|--------|
| I. T. | A                       | S1     | S2     | S3     | S4     | S5     | S6     | Z      |
| 1     | 0.0005                  | 0.0192 | 0.0005 | 0.0000 | 0.0000 | 0.0000 | 0.0000 | 0.0000 |
| 2     | 0.0042                  | 0.0998 | 0.0282 | 0.0001 | 0.0000 | 0.0000 | 0.0000 | 0.0000 |
| 3     | 0.0124                  | 0.0931 | 0.1782 | 0.0102 | 0.0000 | 0.0000 | 0.0000 | 0.0000 |
| 4     | 0.0139                  | 0.0185 | 0.0812 | 0.0979 | 0.0010 | 0.0000 | 0.0000 | 0.0000 |
| 5     | 0.0223                  | 0.0039 | 0.0066 | 0.2003 | 0.0626 | 0.0015 | 0.0000 | 0.0000 |
| 6     | 0.0104                  | 0.0003 | 0.0001 | 0.0098 | 0.0884 | 0.0311 | 0.0001 | 0.0000 |
| 7     | 0.0131                  | 0.0001 | 0.0000 | 0.0003 | 0.0460 | 0.0883 | 0.0166 | 0.0000 |
| 8     | 0.0104                  | 0.0000 | 0.0000 | 0.0000 | 0.0090 | 0.0398 | 0.0837 | 0.0014 |
| 9     | 0.0091                  | 0.0000 | 0.0000 | 0.0000 | 0.0029 | 0.0200 | 0.0813 | 0.0665 |
| 10    | 0.0006                  | 0.0000 | 0.0000 | 0.0000 | 0.0001 | 0.0009 | 0.0040 | 0.0170 |
| 11    | 0.0004                  | 0.0000 | 0.0000 | 0.0000 | 0.0002 | 0.0006 | 0.0020 | 0.0080 |
| 12    | 0.0060                  | 0.0000 | 0.0000 | 0.0000 | 0.0012 | 0.0085 | 0.0313 | 0.2320 |

$$\tilde{S}F_2 = \begin{bmatrix} \sum_1^{12}(fAc^2) \\ \sum_1^{12}(fS1c^2) \\ \sum_1^{12}(fS2c^2) \\ \sum_1^{12}(fS3c^2) \\ \sum_1^{12}(fS4c^2) \\ \sum_1^{12}(fS5c^2) \\ \sum_1^{12}(fS6c^2) \\ \sum_1^{12}(fZc^2) \end{bmatrix}$$

(8,1)



**Tabla 5. 12 Cálculo de la Matriz  $Diag(\tilde{S}F2) + I(8)$** 

| $Diag(\tilde{S}F2) + I(8)$<br>(8,8) |          |          |          |          |          |          |          |
|-------------------------------------|----------|----------|----------|----------|----------|----------|----------|
| 1.103312                            | 0        | 0        | 0        | 0        | 0        | 0        | 0        |
| 0                                   | 1.234981 | 0        | 0        | 0        | 0        | 0        | 0        |
| 0                                   | 0        | 1.294753 | 0        | 0        | 0        | 0        | 0        |
| 0                                   | 0        | 0        | 1.318784 | 0        | 0        | 0        | 0        |
| 0                                   | 0        | 0        | 0        | 1.211431 | 0        | 0        | 0        |
| 0                                   | 0        | 0        | 0        | 0        | 1.190741 | 0        | 0        |
| 0                                   | 0        | 0        | 0        | 0        | 0        | 1.219022 | 0        |
| 0                                   | 0        | 0        | 0        | 0        | 0        | 0        | 1.324909 |

**Tabla 5. 13 Cálculo de la Matriz  $[Diag(\tilde{S}F2) + I(8)]^{-1}$** 

| $[Diag(\tilde{S}F2) + I(8)]^{-1}$<br>(8,8) |          |          |          |          |          |          |          |
|--|----------|----------|----------|----------|----------|----------|----------|
| 0.906362                                   | 0        | 0        | 0        | 0        | 0        | 0        | 0        |
| 0  | 0.809729 | 0        | 0        | 0        | 0        | 0        | 0        |
| 0  | 0        | 0.772348 | 0        | 0        | 0        | 0        | 0        |
| 0  | 0        | 0        | 0.758274 | 0        | 0        | 0        | 0        |
| 0  | 0        | 0        | 0        | 0.825470 | 0        | 0        | 0        |
| 0  | 0        | 0        | 0        | 0        | 0.839813 | 0        | 0        |
| 0  | 0        | 0        | 0        | 0        | 0        | 0.820330 | 0        |
| 0  | 0        | 0        | 0        | 0        | 0        | 0        | 0.754769 |

**Tabla 5. 14 Cálculo de la Matriz  $\tilde{H} = \tilde{F}2 * [Diag(\tilde{S}F2) + I(8)]^{-1}$** 

| $\tilde{H} = \tilde{F}2 * [Diag(\tilde{S}F2) + I(8)]^{-1}$<br>(12,8) |          |          |          |          |          |          |          |
|--|----------|----------|----------|----------|----------|----------|----------|
| 0.000429   | 0.015520 | 0.000391 | 0.000000 | 0.000000 | 0.000000 | 0.000000 | 0.000000 |
| 0.003767   | 0.080843 | 0.021747 | 0.000060 | 0.000000 | 0.000000 | 0.000000 | 0.000000 |
| 0.011277   | 0.075401 | 0.137646 | 0.007771 | 0.000000 | 0.000000 | 0.000000 | 0.000000 |
| 0.012614   | 0.014998 | 0.062684 | 0.074212 | 0.000820 | 0.000000 | 0.000000 | 0.000000 |
| 0.020242   | 0.003149 | 0.005077 | 0.151916 | 0.051693 | 0.001239 | 0.000000 | 0.000000 |
| 0.009463   | 0.000228 | 0.000072 | 0.007468 | 0.072965 | 0.026114 | 0.000109 | 0.000000 |
| 0.011851   | 0.000076 | 0.000024 | 0.000255 | 0.037980 | 0.074152 | 0.013648 | 0.000009 |
| 0.009441   | 0.000022 | 0.000007 | 0.000033 | 0.007457 | 0.033428 | 0.068638 | 0.001027 |
| 0.008217   | 0.000009 | 0.000000 | 0.000010 | 0.002422 | 0.016834 | 0.066654 | 0.050194 |
| 0.000530   | 0.000000 | 0.000000 | 0.000000 | 0.000090 | 0.000738 | 0.003264 | 0.012864 |
| 0.000331   | 0.000002 | 0.000002 | 0.000001 | 0.000125 | 0.000515 | 0.001670 | 0.006039 |
| 0.005477   | 0.000022 | 0.000001 | 0.000000 | 0.000979 | 0.007167 | 0.025686 | 0.175098 |

$$\bar{\Phi}_0 = \tilde{F}^2 * \text{Diag}(Qu) * Qu$$

(12,1)

**Tabla 5. 15** Cálculo de la Matriz Diagonal  $\text{Diag}(Qu)$

| $\text{Diag}(Qu)$<br>(8,8) |           |           |           |           |           |           |           |
|----------------------------|-----------|-----------|-----------|-----------|-----------|-----------|-----------|
| 1.000000                   | 0         | 0         | 0         | 0         | 0         | 0         | 0         |
| 0                          | -0.135311 | 0         | 0         | 0         | 0         | 0         | 0         |
| 0                          | 0         | -0.120011 | 0         | 0         | 0         | 0         | 0         |
| 0                          | 0         | 0         | -0.193790 | 0         | 0         | 0         | 0         |
| 0                          | 0         | 0         | 0         | -0.149035 | 0         | 0         | 0         |
| 0                          | 0         | 0         | 0         | 0         | -0.189279 | 0         | 0         |
| 0                          | 0         | 0         | 0         | 0         | 0         | -0.158221 | 0         |
| 0                          | 0         | 0         | 0         | 0         | 0         | 0         | -0.054353 |

**Tabla 5. 16** Cálculo de la Matriz  $\text{Diag}(Qu) * Qu$

| $\text{Diag}(Qu) * Qu$<br>(8,1) |
|---------------------------------|
| 1.000000                        |
| 0.018309                        |
| 0.014403                        |
| 0.037555                        |
| 0.022211                        |
| 0.035827                        |
| 0.025034                        |
| 0.002954                        |



**Tabla 5. 19 Cálculo de la Matriz  $\tilde{F}2'$  (Matriz Transpuesta de  $\tilde{F}2$ )**

| $\tilde{F}2'$<br>(8,12) |        |        |        |        |        |        |        |        |        |        |        |
|-------------------------|--------|--------|--------|--------|--------|--------|--------|--------|--------|--------|--------|
| 0.0005                  | 0.0042 | 0.0124 | 0.0139 | 0.0223 | 0.0104 | 0.0131 | 0.0104 | 0.0091 | 0.0006 | 0.0004 | 0.0060 |
| 0.0192                  | 0.0998 | 0.0931 | 0.0185 | 0.0039 | 0.0003 | 0.0001 | 0.0000 | 0.0000 | 0.0000 | 0.0000 | 0.0000 |
| 0.0005                  | 0.0282 | 0.1782 | 0.0812 | 0.0066 | 0.0001 | 0.0000 | 0.0000 | 0.0000 | 0.0000 | 0.0000 | 0.0000 |
| 0.0000                  | 0.0001 | 0.0102 | 0.0979 | 0.2003 | 0.0098 | 0.0003 | 0.0000 | 0.0000 | 0.0000 | 0.0000 | 0.0000 |
| 0.0000                  | 0.0000 | 0.0000 | 0.0010 | 0.0626 | 0.0884 | 0.0460 | 0.0090 | 0.0029 | 0.0001 | 0.0002 | 0.0012 |
| 0.0000                  | 0.0000 | 0.0000 | 0.0000 | 0.0015 | 0.0311 | 0.0883 | 0.0398 | 0.0200 | 0.0009 | 0.0006 | 0.0085 |
| 0.0000                  | 0.0000 | 0.0000 | 0.0000 | 0.0000 | 0.0001 | 0.0166 | 0.0837 | 0.0813 | 0.0040 | 0.0020 | 0.0313 |
| 0.0000                  | 0.0000 | 0.0000 | 0.0000 | 0.0000 | 0.0000 | 0.0000 | 0.0014 | 0.0665 | 0.0170 | 0.0080 | 0.2320 |

**Tabla 5. 20 Cálculo de la Matriz  $\tilde{H} * [Diag(\tilde{Q}u)]^2$**

| $\tilde{H} * [Diag(\tilde{Q}u)]^2$<br>(12,8) |          |          |          |          |          |          |          |
|--|----------|----------|----------|----------|----------|----------|----------|
| 0.000429                                     | 0.000284 | 0.000006 | 0.000000 | 0.000000 | 0.000000 | 0.000000 | 0.000000 |
| 0.003767                                     | 0.001480 | 0.000313 | 0.000002 | 0.000000 | 0.000000 | 0.000000 | 0.000000 |
| 0.011277                                     | 0.001381 | 0.001982 | 0.000292 | 0.000000 | 0.000000 | 0.000000 | 0.000000 |
| 0.012614                                     | 0.000275 | 0.000903 | 0.002787 | 0.000018 | 0.000000 | 0.000000 | 0.000000 |
| 0.020242                                     | 0.000058 | 0.000073 | 0.005705 | 0.001148 | 0.000044 | 0.000000 | 0.000000 |
| 0.009463                                     | 0.000004 | 0.000001 | 0.000280 | 0.001621 | 0.000936 | 0.000003 | 0.000000 |
| 0.011851                                     | 0.000001 | 0.000000 | 0.000010 | 0.000844 | 0.002657 | 0.000342 | 0.000000 |
| 0.009441                                     | 0.000000 | 0.000000 | 0.000001 | 0.000166 | 0.001198 | 0.001718 | 0.000003 |
| 0.008217                                     | 0.000000 | 0.000000 | 0.000000 | 0.000054 | 0.000603 | 0.001669 | 0.000148 |
| 0.000530                                     | 0.000000 | 0.000000 | 0.000000 | 0.000002 | 0.000026 | 0.000082 | 0.000038 |
| 0.000331                                     | 0.000000 | 0.000000 | 0.000000 | 0.000003 | 0.000018 | 0.000042 | 0.000018 |
| 0.005477                                     | 0.000000 | 0.000000 | 0.000000 | 0.000022 | 0.000257 | 0.000643 | 0.000517 |

**Tabla 5. 21 Cálculo de la Matriz  $\tilde{H} * [Diag(\tilde{Q}u)]^2 * \tilde{F}2'$**

| $\tilde{H} * [Diag(\tilde{Q}u)]^2 * \tilde{F}2'$<br>(12,12) |        |        |        |        |        |        |        |        |        |        |        |
|---|--------|--------|--------|--------|--------|--------|--------|--------|--------|--------|--------|
| 0.0000  | 0.0000 | 0.0000 | 0.0000 | 0.0000 | 0.0000 | 0.0000 | 0.0000 | 0.0000 | 0.0000 | 0.0000 | 0.0000 |
| 0.0000  | 0.0002 | 0.0002 | 0.0001 | 0.0001 | 0.0000 | 0.0000 | 0.0000 | 0.0000 | 0.0000 | 0.0000 | 0.0000 |
| 0.0000  | 0.0002 | 0.0006 | 0.0004 | 0.0003 | 0.0001 | 0.0001 | 0.0001 | 0.0001 | 0.0000 | 0.0000 | 0.0001 |
| 0.0000  | 0.0001 | 0.0004 | 0.0005 | 0.0008 | 0.0002 | 0.0002 | 0.0001 | 0.0001 | 0.0000 | 0.0000 | 0.0001 |
| 0.0000  | 0.0001 | 0.0003 | 0.0008 | 0.0017 | 0.0004 | 0.0003 | 0.0002 | 0.0002 | 0.0000 | 0.0000 | 0.0001 |
| 0.0000  | 0.0000 | 0.0001 | 0.0002 | 0.0004 | 0.0003 | 0.0003 | 0.0002 | 0.0001 | 0.0000 | 0.0000 | 0.0001 |
| 0.0000  | 0.0000 | 0.0001 | 0.0002 | 0.0003 | 0.0003 | 0.0004 | 0.0003 | 0.0002 | 0.0000 | 0.0000 | 0.0001 |
| 0.0000  | 0.0000 | 0.0001 | 0.0001 | 0.0002 | 0.0002 | 0.0003 | 0.0003 | 0.0002 | 0.0000 | 0.0000 | 0.0001 |
| 0.0000  | 0.0000 | 0.0001 | 0.0001 | 0.0002 | 0.0001 | 0.0002 | 0.0002 | 0.0002 | 0.0000 | 0.0000 | 0.0001 |
| 0.0000  | 0.0000 | 0.0000 | 0.0000 | 0.0000 | 0.0000 | 0.0000 | 0.0000 | 0.0000 | 0.0000 | 0.0000 | 0.0000 |
| 0.0000  | 0.0000 | 0.0000 | 0.0000 | 0.0000 | 0.0000 | 0.0000 | 0.0000 | 0.0000 | 0.0000 | 0.0000 | 0.0000 |
| 0.0000  | 0.0000 | 0.0001 | 0.0001 | 0.0001 | 0.0001 | 0.0001 | 0.0001 | 0.0001 | 0.0000 | 0.0000 | 0.0002 |

**Tabla 5. 22 Cálculo de la Matriz Diagonal  $Diag(\tilde{\Phi}_0)$**

| $Diag(\tilde{\Phi}_0)$<br>(12,12) |        |        |        |        |        |        |        |        |        |        |        |
|-----------------------------------|--------|--------|--------|--------|--------|--------|--------|--------|--------|--------|--------|
| 0.0008                            | 0      | 0      | 0      | 0      | 0      | 0      | 0      | 0      | 0      | 0      | 0      |
| 0                                 | 0.0064 | 0      | 0      | 0      | 0      | 0      | 0      | 0      | 0      | 0      | 0      |
| 0                                 | 0      | 0.0171 | 0      | 0      | 0      | 0      | 0      | 0      | 0      | 0      | 0      |
| 0                                 | 0      | 0      | 0.0191 | 0      | 0      | 0      | 0      | 0      | 0      | 0      | 0      |
| 0                                 | 0      | 0      | 0      | 0.0315 | 0      | 0      | 0      | 0      | 0      | 0      | 0      |
| 0                                 | 0      | 0      | 0      | 0      | 0.0139 | 0      | 0      | 0      | 0      | 0      | 0      |
| 0                                 | 0      | 0      | 0      | 0      | 0      | 0.0177 | 0      | 0      | 0      | 0      | 0      |
| 0                                 | 0      | 0      | 0      | 0      | 0      | 0      | 0.0141 | 0      | 0      | 0      | 0      |
| 0                                 | 0      | 0      | 0      | 0      | 0      | 0      | 0      | 0.0121 | 0      | 0      | 0      |
| 0                                 | 0      | 0      | 0      | 0      | 0      | 0      | 0      | 0      | 0.0008 | 0      | 0      |
| 0                                 | 0      | 0      | 0      | 0      | 0      | 0      | 0      | 0      | 0      | 0.0005 | 0      |
| 0                                 | 0      | 0      | 0      | 0      | 0      | 0      | 0      | 0      | 0      | 0      | 0.0078 |

**Tabla 5. 23 Cálculo de la Matriz  $\tilde{H} * [Diag(\tilde{Q}u)]^2 * \tilde{F}2' - Diag(\tilde{\Phi}_0)$**

| $\tilde{H} * [Diag(\tilde{Q}u)]^2 * \tilde{F}2' - Diag(\tilde{\Phi}_0)$<br>(12,12) |         |         |         |         |         |         |         |         |         |         |         |
|--|---------|---------|---------|---------|---------|---------|---------|---------|---------|---------|---------|
| -0.0008  | 0.0000  | 0.0000  | 0.0000  | 0.0000  | 0.0000  | 0.0000  | 0.0000  | 0.0000  | 0.0000  | 0.0000  | 0.0000  |
| 0.0000   | -0.0062 | 0.0002  | 0.0001  | 0.0001  | 0.0000  | 0.0000  | 0.0000  | 0.0000  | 0.0000  | 0.0000  | 0.0000  |
| 0.0000   | 0.0002  | -0.0165 | 0.0004  | 0.0003  | 0.0001  | 0.0001  | 0.0001  | 0.0001  | 0.0000  | 0.0000  | 0.0001  |
| 0.0000   | 0.0001  | 0.0004  | -0.0186 | 0.0008  | 0.0002  | 0.0002  | 0.0001  | 0.0001  | 0.0000  | 0.0000  | 0.0001  |
| 0.0000   | 0.0001  | 0.0003  | 0.0008  | -0.0298 | 0.0004  | 0.0003  | 0.0002  | 0.0002  | 0.0000  | 0.0000  | 0.0001  |
| 0.0000   | 0.0000  | 0.0001  | 0.0002  | 0.0004  | -0.0136 | 0.0003  | 0.0002  | 0.0001  | 0.0000  | 0.0000  | 0.0001  |
| 0.0000   | 0.0000  | 0.0001  | 0.0002  | 0.0003  | 0.0003  | -0.0173 | 0.0003  | 0.0002  | 0.0000  | 0.0000  | 0.0001  |
| 0.0000   | 0.0000  | 0.0001  | 0.0001  | 0.0002  | 0.0002  | 0.0003  | -0.0139 | 0.0002  | 0.0000  | 0.0000  | 0.0001  |
| 0.0000   | 0.0000  | 0.0001  | 0.0001  | 0.0002  | 0.0001  | 0.0002  | 0.0002  | -0.0118 | 0.0000  | 0.0000  | 0.0001  |
| 0.0000   | 0.0000  | 0.0000  | 0.0000  | 0.0000  | 0.0000  | 0.0000  | 0.0000  | 0.0000  | -0.0008 | 0.0000  | 0.0000  |
| 0.0000   | 0.0000  | 0.0000  | 0.0000  | 0.0000  | 0.0000  | 0.0000  | 0.0000  | 0.0000  | 0.0000  | -0.0005 | 0.0000  |
| 0.0000   | 0.0000  | 0.0001  | 0.0001  | 0.0001  | 0.0001  | 0.0001  | 0.0001  | 0.0001  | 0.0000  | 0.0000  | -0.0077 |



**Tabla 5. 24** Cálculo de la Matriz  $\left[ \hat{H} * [Diag(\hat{Q}_u)]^2 * \hat{F}'2' - Diag(\hat{\Phi}_0) \right]^{-1}$

| $\left[ \hat{H} * [Diag(\hat{Q}_u)]^2 * \hat{F}'2' - Diag(\hat{\Phi}_0) \right]^{-1}$<br>(12,12) |         |        |        |        |        |        |        |        |          |          |         |
|--|---------|--------|--------|--------|--------|--------|--------|--------|----------|----------|---------|
| -1211.55   | -6.04   | -2.55  | -0.89  | -0.53  | -0.49  | -0.48  | -0.48  | -0.48  | -0.49    | -0.50    | -0.50   |
| -6.04  | -160.92 | -2.41  | -1.01  | -0.58  | -0.55  | -0.53  | -0.53  | -0.54  | -0.55    | -0.56    | -0.55   |
| -2.55  | -2.41   | -60.81 | -1.29  | -0.74  | -0.61  | -0.58  | -0.58  | -0.59  | -0.60    | -0.62    | -0.61   |
| -0.89  | -1.01   | -1.29  | -53.90 | -1.58  | -0.72  | -0.60  | -0.59  | -0.60  | -0.61    | -0.62    | -0.61   |
| -0.53  | -0.58   | -0.74  | -1.58  | -33.64 | -0.97  | -0.69  | -0.61  | -0.60  | -0.60    | -0.62    | -0.61   |
| -0.49  | -0.55   | -0.61  | -0.72  | -0.97  | -73.49 | -1.26  | -0.87  | -0.76  | -0.72    | -0.77    | -0.72   |
| -0.48  | -0.53   | -0.58  | -0.60  | -0.69  | -1.26  | -58.03 | -1.18  | -1.01  | -0.90    | -0.93    | -0.88   |
| -0.48  | -0.53   | -0.58  | -0.59  | -0.61  | -0.87  | -1.18  | -72.28 | -1.59  | -1.37    | -1.30    | -1.23   |
| -0.48  | -0.54   | -0.59  | -0.60  | -0.60  | -0.76  | -1.01  | -1.59  | -84.50 | -1.70    | -1.55    | -1.63   |
| -0.49  | -0.55   | -0.60  | -0.61  | -0.60  | -0.72  | -0.90  | -1.37  | -1.70  | -1304.08 | -2.05    | -2.61   |
| -0.50  | -0.56   | -0.62  | -0.62  | -0.62  | -0.77  | -0.93  | -1.30  | -1.55  | -2.05    | -2150.89 | -2.23   |
| -0.50  | -0.55   | -0.61  | -0.61  | -0.61  | -0.72  | -0.88  | -1.23  | -1.63  | -2.61    | -2.23    | -130.48 |

**Tabla 5. 25** Cálculo de la Matriz  $\hat{H} * Diag(\hat{Q}_u)$

| $\hat{H} * Diag(\hat{Q}_u)$<br>(12,8) |           |           |           |           |           |           |           |
|---------------------------------------|-----------|-----------|-----------|-----------|-----------|-----------|-----------|
| 0.000429                              | -0.002100 | -0.000047 | 0.000000  | 0.000000  | 0.000000  | 0.000000  | 0.000000  |
| 0.003767                              | -0.010939 | -0.002610 | -0.000012 | 0.000000  | 0.000000  | 0.000000  | 0.000000  |
| 0.011277                              | -0.010203 | -0.016519 | -0.001506 | 0.000000  | 0.000000  | 0.000000  | 0.000000  |
| 0.012614                              | -0.002029 | -0.007523 | -0.014382 | -0.000122 | 0.000000  | 0.000000  | 0.000000  |
| 0.020242                              | -0.000426 | -0.000609 | -0.029440 | -0.007704 | -0.000234 | 0.000000  | 0.000000  |
| 0.009463                              | -0.000031 | -0.000009 | -0.001447 | -0.010874 | -0.004943 | -0.000017 | 0.000000  |
| 0.011851                              | -0.000010 | -0.000003 | -0.000049 | -0.005660 | -0.014035 | -0.002159 | -0.000001 |
| 0.009441                              | -0.000003 | -0.000001 | -0.000006 | -0.001111 | -0.006327 | -0.010860 | -0.000056 |
| 0.008217                              | -0.000001 | 0.000000  | -0.000002 | -0.000361 | -0.003186 | -0.010546 | -0.002728 |
| 0.000530                              | 0.000000  | 0.000000  | 0.000000  | -0.000013 | -0.000140 | -0.000516 | -0.000699 |
| 0.000331                              | 0.000000  | 0.000000  | 0.000000  | -0.000019 | -0.000098 | -0.000264 | -0.000328 |
| 0.005477                              | -0.000003 | 0.000000  | 0.000000  | -0.000146 | -0.001357 | -0.004064 | -0.009517 |

**Tabla 5. 26** Cálculo de la Matriz  $\tilde{H} * \text{Diag}(\tilde{Q}u) * \Delta\tilde{M}qES$

| $\tilde{H} * \text{Diag}(\tilde{Q}u) * \Delta\tilde{M}qES$<br>(12,1) |
|--|
| -0.000023  |
| -0.000130  |
| -0.000184  |
| -0.000120  |
| -0.000152  |
| -0.000024  |
| -0.000050  |
| -0.000043  |
| -0.000032  |
| -0.000002  |
| -0.000001  |
| -0.000017  |

**Tabla 5. 27** Cálculo de la Matriz  $\Delta\tilde{M}q + \tilde{H} * \text{Diag}(\tilde{Q}u) * \Delta\tilde{M}qES$

| $\Delta\tilde{M}q + \tilde{H} * \text{Diag}(\tilde{Q}u) * \Delta\tilde{M}qES$<br>(12,1) |
|---|
| 0.000065  |
| 0.000171  |
| 0.000278  |
| 0.000312  |
| 0.000218  |
| 0.000201  |
| 0.000406  |
| 0.000568  |
| -0.000342   |
| 0.000231  |
| 0.000089  |
| 0.001012  |



Tabla 5. 30 Cálculo de  $[Diag(\tilde{S}F2) + I(8)]^{-1}$

| $[Diag(\tilde{S}F2) + I(8)]^{-1}$<br>(8,8) |          |          |          |          |          |          |          |
|--|----------|----------|----------|----------|----------|----------|----------|
| 0.906362                                   | 0        | 0        | 0        | 0        | 0        | 0        | 0        |
| 0  | 0.809729 | 0        | 0        | 0        | 0        | 0        | 0        |
| 0  | 0        | 0.772348 | 0        | 0        | 0        | 0        | 0        |
| 0  | 0        | 0        | 0.758274 | 0        | 0        | 0        | 0        |
| 0  | 0        | 0        | 0        | 0.825470 | 0        | 0        | 0        |
| 0  | 0        | 0        | 0        | 0        | 0.839813 | 0        | 0        |
| 0  | 0        | 0        | 0        | 0        | 0        | 0.820330 | 0        |
| 0  | 0        | 0        | 0        | 0        | 0        | 0        | 0.754769 |

Tabla 5. 31 Cálculo de la Matriz  $Diag(\tilde{Q}u) * \tilde{F}2'$

| $Diag(\tilde{Q}u) * \tilde{F}2'$<br>(8,12) |         |         |         |         |         |         |         |         |         |         |         |
|--|---------|---------|---------|---------|---------|---------|---------|---------|---------|---------|---------|
| 0.0005                                     | 0.0042  | 0.0124  | 0.0139  | 0.0223  | 0.0104  | 0.0131  | 0.0104  | 0.0091  | 0.0006  | 0.0004  | 0.0060  |
| -0.0026                                    | -0.0135 | -0.0126 | -0.0025 | -0.0005 | 0.0000  | 0.0000  | 0.0000  | 0.0000  | 0.0000  | 0.0000  | 0.0000  |
| -0.0001                                    | -0.0034 | -0.0214 | -0.0097 | -0.0008 | 0.0000  | 0.0000  | 0.0000  | 0.0000  | 0.0000  | 0.0000  | 0.0000  |
| 0.0000                                     | 0.0000  | -0.0020 | -0.0190 | -0.0388 | -0.0019 | -0.0001 | 0.0000  | 0.0000  | 0.0000  | 0.0000  | 0.0000  |
| 0.0000                                     | 0.0000  | 0.0000  | -0.0001 | -0.0093 | -0.0132 | -0.0069 | -0.0013 | -0.0004 | 0.0000  | 0.0000  | -0.0002 |
| 0.0000                                     | 0.0000  | 0.0000  | 0.0000  | -0.0003 | -0.0059 | -0.0167 | -0.0075 | -0.0038 | -0.0002 | -0.0001 | -0.0016 |
| 0.0000                                     | 0.0000  | 0.0000  | 0.0000  | 0.0000  | 0.0000  | -0.0026 | -0.0132 | -0.0129 | -0.0006 | -0.0003 | -0.0050 |
| 0.0000                                     | 0.0000  | 0.0000  | 0.0000  | 0.0000  | 0.0000  | 0.0000  | -0.0001 | -0.0036 | -0.0009 | -0.0004 | -0.0126 |

Tabla 5. 32 Cálculo de la Matriz  $Diag(\tilde{Q}u) * \tilde{F}2' * \tilde{\lambda}q$

| $Diag(\tilde{Q}u) * \tilde{F}2' * \tilde{\lambda}q$<br>(8,1) |
|--|
| -0.005386  |
| 0.001838   |
| 0.001431   |
| 0.001616   |
| 0.001155   |
| 0.002123   |
| 0.002493   |
| 0.003945   |

**Tabla 5. 33** Cálculo de la Matriz  $Diag(\tilde{Q}u) * \tilde{F}2' * \tilde{\lambda}q - 2 * \Delta\tilde{M}qES$

| $Diag(\tilde{Q}u) * \tilde{F}2' * \tilde{\lambda}q - 2 * \Delta\tilde{M}qES$<br>(8,1) |
|---|
| -0.009557   |
| -0.020904   |
| -0.008591   |
| -0.010309   |
| -0.001369   |
| -0.006540   |
| -0.003643   |
| 0.001940  |

**Tabla 5. 34** Cálculo de los Multiplicadores de Lagrange para Entradas y Salidas  $\tilde{\lambda}ES$

| Flujo        | $\tilde{\lambda}ES = [Diag(\tilde{S}F2) + I(8)]^{-1} * [Diag(\tilde{Q}u) * \tilde{F}2' * \tilde{\lambda}q - 2 * \Delta\tilde{M}qES]$<br>(8,1) |
|--------------|---|
| $\lambda A$  | -0.008662   |
| $\lambda S1$ | -0.016927   |
| $\lambda S2$ | -0.006635   |
| $\lambda S3$ | -0.007817   |
| $\lambda S4$ | -0.001130   |
| $\lambda S5$ | -0.005493   |
| $\lambda S6$ | -0.002988   |
| $\lambda Z$  | 0.001465  |

### 5.3.7 Hallar las correcciones para cada Intervalo de Tamaño.

$$\Delta LfA = \frac{fAc}{2} * (-\lambda q + \lambda A)$$

$$\Delta LfS1 = \frac{fS1c}{2} * (+\lambda q * \beta 1c + \lambda S1)$$

$$\Delta LfS2 = \frac{fS2c}{2} * (+\lambda q * \beta 2c + \lambda S2)$$

$$\Delta LfS3 = \frac{fS3c}{2} * (+\lambda q * \beta 3c + \lambda S3)$$

$$\Delta LfS4 = \frac{fS4c}{2} * (+\lambda q * \beta 4c + \lambda S4)$$

$$\Delta LfS5 = \frac{fS5c}{2} * (+\lambda q * \beta 5c + \lambda S5)$$

$$\Delta LfS6 = \frac{fS6c}{2} * (+\lambda q * \beta 6c + \lambda S6)$$

$$\Delta LfZ = \frac{fZc}{2} * (+\lambda q * \beta Zc + \lambda Z)$$

Tabla 5. 35 Correcciones de los Análisis Químicos para Intervalos de Tamaño.

| I. T. | $\Delta LfA$ | $\Delta LfS1$ | $\Delta LfS2$ | $\Delta LfS3$ | $\Delta LfS4$ | $\Delta LfS5$ | $\Delta LfS6$ | $\Delta LfZ$ |
|-------|--------------|---------------|---------------|---------------|---------------|---------------|---------------|--------------|
|       | Alimento     | Spigot #01    | Spigot #02    | Spigot #03    | Spigot #04    | Spigot #05    | Spigot #06    | Rebose       |
| 1     | 0.17%        | -0.27%        | -0.03%        | 0.00%         | 0.00%         | 0.00%         | 0.00%         | 0.00%        |
| 2     | 0.17%        | -0.40%        | -0.12%        | -0.01%        | 0.00%         | 0.00%         | 0.00%         | 0.00%        |
| 3     | 0.17%        | -0.34%        | -0.24%        | -0.08%        | 0.00%         | 0.00%         | 0.00%         | 0.00%        |
| 4     | 0.17%        | -0.15%        | -0.16%        | -0.24%        | -0.01%        | 0.00%         | 0.00%         | 0.00%        |
| 5     | 0.08%        | -0.06%        | -0.04%        | -0.26%        | -0.05%        | -0.02%        | 0.00%         | 0.00%        |
| 6     | 0.13%        | -0.02%        | -0.01%        | -0.07%        | -0.09%        | -0.11%        | 0.00%         | 0.00%        |
| 7     | 0.25%        | -0.01%        | 0.00%         | -0.02%        | -0.10%        | -0.23%        | -0.07%        | 0.00%        |
| 8     | 0.40%        | -0.01%        | 0.00%         | -0.01%        | -0.07%        | -0.22%        | -0.24%        | -0.01%       |
| 9     | -0.28%       | 0.00%         | 0.00%         | 0.00%         | 0.02%         | 0.03%         | 0.07%         | 0.05%        |
| 10    | 0.73%        | 0.00%         | 0.00%         | 0.00%         | -0.05%        | -0.18%        | -0.31%        | -0.21%       |
| 11    | 0.37%        | -0.01%        | 0.00%         | 0.00%         | -0.04%        | -0.10%        | -0.15%        | -0.09%       |
| 12    | 1.01%        | -0.01%        | 0.00%         | 0.00%         | -0.07%        | -0.26%        | -0.40%        | -0.32%       |

### 5.3.8 Hallar las Correcciones para los flujos (Entradas y Salidas del Sistema).

$$\Delta LA = -\frac{\lambda A}{2}$$

$$\Delta LS1 = -\frac{\lambda S1}{2}$$

$$\Delta LS2 = -\frac{\lambda S2}{2}$$

$$\Delta LS3 = -\frac{\lambda S3}{2}$$

$$\Delta LS4 = -\frac{\lambda S4}{2}$$

$$\Delta LS5 = -\frac{\lambda S5}{2}$$

$$\Delta LS6 = -\frac{\lambda S6}{2}$$

$$\Delta LZ = -\frac{\lambda Z}{2}$$

Tabla 5. 36 Correcciones de los Análisis Químicos para las Entradas y Salidas.

| $\Delta LA$ | $\Delta LS1$ | $\Delta LS2$ | $\Delta LS3$ | $\Delta LS4$ | $\Delta LS5$ | $\Delta LS6$ | $\Delta LZ$ |
|-------------|--------------|--------------|--------------|--------------|--------------|--------------|-------------|
| Alimento    | Spigot #01   | Spigot #02   | Spigot #03   | Spigot #04   | Spigot #05   | Spigot #06   | Rebose      |
| 0.43%       | 0.85%        | 0.33%        | 0.39%        | 0.06%        | 0.27%        | 0.15%        | -0.07%      |

### 5.3.9 Corregir las Leyes

$$LAc = LA - \Delta LA$$

$$LSjc = LSj - \Delta LSj; j = \{1, 2, \dots, 6\}$$

$$LZc = LZ - \Delta LZ$$

$$LfAc = LfA - \Delta LfA$$

$$LfSjc = LfSj - \Delta LfSj; j = \{1, 2, \dots, 6\}$$

$$LfZc = LfZ - \Delta LfZ$$

Tabla 5. 37 Análisis Químico Corregidos.

| LEYES CORREGIDAS %Sn       |              |              |              |              |              |              |              |              |             |
|----------------------------|--------------|--------------|--------------|--------------|--------------|--------------|--------------|--------------|-------------|
|                            | LfAc         | LfS1c        | LfS2c        | LfS3c        | LfS4c        | LfS5c        | LfS6c        | LZc          |             |
| I. T.                      | Alimento     | Spigot #01   | Spigot #02   | Spigot #03   | Spigot #04   | Spigot #05   | Spigot #06   | Rebose       | $\Delta Mq$ |
| 1                          | 1.90%        | 2.09%        | 0.82%        | 0.00%        | 0.00%        | 0.00%        | 0.00%        | 0.00%        | 0.0000      |
| 2                          | 1.83%        | 2.33%        | 0.89%        | 0.48%        | 0.00%        | 0.00%        | 0.00%        | 0.00%        | 0.0000      |
| 3                          | 1.79%        | 2.79%        | 1.44%        | 0.61%        | 0.00%        | 0.00%        | 0.00%        | 0.00%        | 0.0000      |
| 4                          | 1.66%        | 3.81%        | 2.07%        | 0.86%        | 0.51%        | 0.00%        | 0.00%        | 0.00%        | 0.0000      |
| 5                          | 1.75%        | 5.68%        | 6.24%        | 1.34%        | 0.88%        | 0.59%        | 0.00%        | 0.00%        | 0.0000      |
| 6                          | 1.50%        | 6.38%        | 14.54%       | 2.76%        | 0.85%        | 0.55%        | 6.92%        | 0.00%        | 0.0000      |
| 7                          | 1.79%        | 8.50%        | 33.97%       | 13.66%       | 1.63%        | 1.00%        | 0.70%        | 1.66%        | 0.0000      |
| 8                          | 2.60%        | 13.20%       | 28.30%       | 29.82%       | 5.47%        | 2.24%        | 0.97%        | 0.43%        | 0.0000      |
| 9                          | 4.26%        | 14.15%       | 12.26%       | 30.02%       | 13.66%       | 5.49%        | 2.53%        | 0.39%        | 0.0000      |
| 10                         | 5.82%        | 7.07%        | 9.08%        | 13.48%       | 13.13%       | 8.78%        | 6.37%        | 1.21%        | 0.0000      |
| 11                         | 7.85%        | 7.13%        | 8.40%        | 11.34%       | 15.76%       | 10.14%       | 8.41%        | 1.72%        | 0.0000      |
| 12                         | 9.14%        | 11.07%       | 10.20%       | 2.09%        | 10.31%       | 10.22%       | 10.60%       | 6.60%        | 0.0000      |
| <b>Ley Flujo Calculada</b> | <b>2.85%</b> | <b>3.12%</b> | <b>2.32%</b> | <b>1.77%</b> | <b>2.78%</b> | <b>3.10%</b> | <b>3.83%</b> | <b>3.61%</b> |             |
| Flujo                      | 2.85%        | 3.12%        | 2.32%        | 1.77%        | 2.78%        | 3.10%        | 3.83%        | 3.61%        | 0.0000      |
| $\Delta MqES$              | 0.0000       | 0.0000       | 0.0000       | 0.0000       | 0.0000       | 0.0000       | 0.0000       | 0.0000       |             |

### 5.3.10 Hallar el Error

$$f(X) = S = \Delta LA^2 + \Delta LS1^2 + \Delta LS2^2 + \dots + \Delta LS6^2 + \Delta LZ^2$$

$$+ \sum_1^{12} \Delta LfA^2 + \sum_1^{12} \Delta LfS1^2 + \sum_1^{12} \Delta LfS2^2 + \dots + \sum_1^{12} \Delta LfS6^2 + \sum_1^{12} \Delta LfZ^2$$

Tabla 5. 38 Cálculo del error de la Corrección.

| <b>Error</b>    |                   | <b>0.000475</b>   |                   |                   |                   |                   |               |
|-----------------|-------------------|-------------------|-------------------|-------------------|-------------------|-------------------|---------------|
| $\Delta LfA$    | $\Delta LfS1$     | $\Delta LfS2$     | $\Delta LfS3$     | $\Delta LfS4$     | $\Delta LfS5$     | $\Delta LfS6$     | $\Delta LfZ$  |
| <b>Alimento</b> | <b>Spigot #01</b> | <b>Spigot #02</b> | <b>Spigot #03</b> | <b>Spigot #04</b> | <b>Spigot #05</b> | <b>Spigot #06</b> | <b>Rebose</b> |
| 0.000003        | 0.000007          | 0.000000          | 0.000000          | 0.000000          | 0.000000          | 0.000000          | 0.000000      |
| 0.000003        | 0.000016          | 0.000001          | 0.000000          | 0.000000          | 0.000000          | 0.000000          | 0.000000      |
| 0.000003        | 0.000011          | 0.000006          | 0.000001          | 0.000000          | 0.000000          | 0.000000          | 0.000000      |
| 0.000003        | 0.000002          | 0.000003          | 0.000006          | 0.000000          | 0.000000          | 0.000000          | 0.000000      |
| 0.000001        | 0.000000          | 0.000000          | 0.000007          | 0.000000          | 0.000000          | 0.000000          | 0.000000      |
| 0.000002        | 0.000000          | 0.000000          | 0.000001          | 0.000001          | 0.000001          | 0.000000          | 0.000000      |
| 0.000006        | 0.000000          | 0.000000          | 0.000000          | 0.000001          | 0.000005          | 0.000001          | 0.000000      |
| 0.000016        | 0.000000          | 0.000000          | 0.000000          | 0.000000          | 0.000005          | 0.000006          | 0.000000      |
| 0.000008        | 0.000000          | 0.000000          | 0.000000          | 0.000000          | 0.000000          | 0.000000          | 0.000000      |
| 0.000053        | 0.000000          | 0.000000          | 0.000000          | 0.000000          | 0.000003          | 0.000010          | 0.000004      |
| 0.000013        | 0.000000          | 0.000000          | 0.000000          | 0.000000          | 0.000001          | 0.000002          | 0.000001      |
| 0.000102        | 0.000000          | 0.000000          | 0.000000          | 0.000001          | 0.000007          | 0.000016          | 0.000010      |
| $\Delta LA$     | $\Delta LS1$      | $\Delta LS2$      | $\Delta LS3$      | $\Delta LS4$      | $\Delta LS5$      | $\Delta LS6$      | $\Delta LZ$   |
| 0.000019        | 0.000072          | 0.000011          | 0.000015          | 0.000000          | 0.000008          | 0.000002          | 0.000001      |



## CAPÍTULO 6 ANÁLISIS ESTADÍSTICO

### 6.1 *INTRODUCCIÓN*

Los datos usados para el análisis estadístico son los análisis granulométricos<sup>10</sup> de la alimentación, descargas y rebose del Clasificador Stokes:

- Fracciones en peso con respecto al tamaño promedio ( $X_p$ ).
- Fracciones acumuladas pasantes con respecto al tamaño ( $X$ ).

El tratamiento de los datos en este capítulo es el de hallar los parámetros estadísticos (Tamaño Medio, Varianza, Desviación Estándar y Coeficiente de Variación) por medio de las funciones estadísticas y por medio de funciones de Distribución. Los Análisis Granulométricos se ajustaron a las siguientes funciones y/o distribuciones:

- Función de Gates Gaudin Schuhmann.
- Función de Gaudin Meloy
- Función de Rosin Rammler
- Distribución Normal
- Distribución Normal Modificada
- Distribución Log-Normal

<sup>10</sup> Análisis Granulométricos Sin Corregir.

- Distribución Gamma
- Función de Broadbent Callcott
- Función de Harris
- Distribución Beta.

Todas estas funciones son regidas por dos parámetros ( $\alpha$  y  $X_0$ ) con excepción de la Función de Harris y la Distribución Beta las cuales contienen tres parámetros ( $\alpha$ ,  $\beta$  y  $X_0$ ). En las funciones de dos parámetros (exceptuando las distribuciones Normal y Normal Modificada) se tienen un parámetro denominado “Factor de Forma ( $\alpha$ )” que netamente da la inclinación de la curva independientemente de los tamaños de las partículas de la distribución, y un “Parámetro de tamaño ( $X_0$ )” relacionado directamente con el tamaño de las partículas. En el caso de las funciones de Harris y la Distribución Beta se tienen dos factores de forma ( $\alpha$  y  $\beta$ ) y un parámetro de tamaño ( $X_0$ ) Todas estas distribuciones con excepción de la Distribución Normal tienen como variable aleatoria a  $x \in \langle 0, \infty \rangle$  que físicamente significa el tamaño de partícula. Para nuestro caso no se tiene partículas que  $x \in \langle -\infty, 0 \rangle$  es decir partículas de tamaño negativo.

La distribución Normal y la Normal Modificada tienen la característica de que sus dos parámetros ( $\alpha$  y  $X_0$ ) son relacionados directamente con el tamaño de las partículas. Cabe resaltar que la distribución Normal se distribuye en el dominio de  $x \in \langle -\infty, \infty \rangle$  y como consecuencia existirá un valor diferente de cero para cuando  $x = 0$ . Es por esta razón se modificó esta Distribución Normal (de manera similar a

como se corrige una curva de partición como veremos en el Capítulo 7) con tal de que  $x \in \langle 0, \infty \rangle$  y que exista la coordenada  $(0,0)$  (es decir, que No existen partículas de tamaño menor a cero.

## 6.2 FÓRMULAS ESTADÍSTICAS:

Con las fracciones en peso y sus respectivos tamaños promedios<sup>11</sup> (de cada intervalo) se hallaron los parámetros estadísticos mencionados mediante las siguientes fórmulas:

Tamaño medio de la muestra.

### Ecuación 6. 1

$$\mu = \sum_{i=1}^n X_{pi} * f(X_{pi})$$

Varianza:

### Ecuación 6. 2

$$\sigma^2 = \sum_{i=1}^n (X_{pi} - \mu)^2 * f(X_{pi})$$

Desviación Estándar:

### Ecuación 6. 3

$$\sigma = \sqrt{\sigma^2}$$

---

<sup>11</sup> Para el cálculo de los Tamaños Promedios de los Intervalos de Tamaño se empleo el método descrito en el Apéndice T “Método para obtener los Tamaños Promedios de los intervalos de un Análisis Granulométrico”.

Coefficiente de Variación:

**Ecuación 6. 4**

$$CV = \frac{\sigma}{\mu}$$

### 6.3 *FUNCIONES DE DISTRIBUCIÓN*

Los parámetros estadísticos utilizando las funciones de distribución serán calculados por las siguientes ecuaciones:

Tamaño medio de la muestra (Primer Momento con respecto al Origen).

**Ecuación 6. 5**

$$\mu = \int_{R_x} x * f(x) dx$$

Varianza (Segundo Momento Central):

**Ecuación 6. 6**

$$\sigma^2 = \int_{R_x} (x - \mu)^2 * f(x) dx$$

La Desviación Estándar y el Coeficiente de Variación se hallarán con las ecuaciones 6.3 y 6.4 respectivamente.

Nota:  $R_x$ : Es el dominio de la función de distribución

Las funciones usadas y sus parámetros se resumen en las siguientes tablas:

Cuadro Resumen de las Funciones de Distribución:

**Tabla 6. 1 Función Gates Gaudin Schuhmann y Función Gaudin Meloy.**

| Nombre                          | FUNCIÓN GATES GAUDIN SCHUHMANN                                  | FUNCIÓN GAUDIN MELOY   |
|---------------------------------|---|--|
| Parámetros ajustables           | $X_0$ : Tamaño Máximo.<br>$\alpha$ : Factor de Forma.           | $X_0$ : Tamaño Máximo.<br>$\alpha$ : Factor de Forma.            |
| Función de Densidad: $f(x)$     | $\frac{\alpha}{X_0^\alpha} * x^{\alpha-1}$                      | $\frac{\alpha}{X_0} * \left(1 - \frac{x}{X_0}\right)^{\alpha-1}$ |
| Función de Distribución: $F(x)$ | $\left(\frac{x}{X_0}\right)^\alpha$                             | $1 - \left(1 - \frac{x}{X_0}\right)^\alpha$                      |
| Dominio:                        | $x \in \langle 0; X_0 ]$  | $x \in \langle 0; X_0 ]$   |
| Mediana: $X_{50}$               | $0.5^{\frac{1}{\alpha}} * X_0$                                  | $\left(1 - 0.5^{\frac{1}{\alpha}}\right) * X_0$                  |
| Punto de Inflexión: $X_i$       | $\exists$   | $\exists$  |
| Media: $\mu$                    | $\frac{\alpha}{\alpha+1} * X_0$                                 | $\frac{X_0}{\alpha+1}$   |
| Varianza: $\sigma^2$            | $X_0^2 * \left(\frac{\alpha}{(\alpha+1)^2 * (\alpha+2)}\right)$ | $X_0^2 * \left(\frac{\alpha}{(\alpha+1)^2 * (\alpha+2)}\right)$  |
| Coefficiente de Variación: $CV$ | $\frac{1}{\sqrt{\alpha * (\alpha+2)}}$                          | $\sqrt{\frac{\alpha}{\alpha+2}}$                                 |

Tabla 6. 2 Distribución Normal y Distribución Normal Modificada.

| Nombre                          | DISTRIBUCIÓN NORMAL   | DISTRIBUCIÓN NORMAL MODIFICADA  |
|---------------------------------|---|---|
| Parámetros ajustables           | $X_0$ : Parámetro de tamaño.<br>$\alpha$ : Parámetro de tamaño.           | $X_0$ : Parámetro de tamaño.<br>$\alpha$ : Parámetro de tamaño.   |
| Función de Densidad: $f(x)$     | $\frac{1}{\sqrt{2 * \pi * \alpha}} * e^{-\frac{(x-X_0)^2}{2 * \alpha^2}}$ | $\frac{1}{1-K} * \frac{1}{\sqrt{2 * \pi * \alpha}} * e^{-\frac{(x-X_0)^2}{2 * \alpha^2}}$                             |
| Función de Distribución: $F(x)$ | $\text{normcdf}(x, X_0, \alpha)$  | $\frac{\text{normcdf}(x, X_0, \alpha) - K}{1 - K}$  |
| Dominio:                        | $x \in \langle -\infty; \infty \rangle$                                   | $x \in \langle 0; \infty \rangle$   |
| Mediana: $X_{50}$               | $0.50 = \text{normcdf}(X_{50}, X_0, \alpha)$                              | $0.50 = \frac{\text{normcdf}(X_{50}, X_0, \alpha) - K}{1 - K}$  |
| Punto de Inflexión: $X_i$       | $X_0$   | $X_0$   |
| Media: $\mu$                    | $X_0$   | $\frac{\alpha * e^{-Q^2} + \sqrt{\frac{\pi}{2}} * X_0 * (1 + \text{erf}(Q))}{(1 - K) * \sqrt{2 * \pi}}$               |
| Varianza: $\sigma^2$            | $\alpha^2$  | $\frac{\alpha * \sqrt{\frac{2}{\pi}} * X_0 * e^{-Q^2} + (\alpha^2 + X_0^2) * (1 + \text{erf}(Q))}{2 * (1 - K)} \mu^2$ |
| Coeficiente de Variación: $CV$  | $\frac{\alpha}{X_0}$  | $\frac{\sigma}{\mu}$  |

**Ecuación 6.7**

$$F(x) = \int_{-\infty}^x \frac{1}{\sqrt{2 * \pi * \alpha}} * e^{-\frac{(x-X_0)^2}{2 * \alpha^2}} dx = \text{normcdf}(x, X_0, \alpha)$$

$$\text{erf}(x) = \frac{2}{\sqrt{\pi}} * \int_0^x e^{-t^2} dt$$

$$K = \int_{-\infty}^0 \frac{1}{\sqrt{2 * \pi * \alpha}} * e^{-\frac{(x-X_0)^2}{2 * \alpha^2}} dx$$

$$Q = \frac{X_0}{\sqrt{2 * \alpha}}$$

Tabla 6. 3 Distribución Log-Normal y Distribución Gamma

| Nombre                          | DISTRIBUCIÓN LOG-NORMAL  | DISTRIBUCIÓN GAMMA  |
|---------------------------------|--|---|
| Parámetros ajustables           | $X_0$ : Parámetro de tamaño.<br>$\alpha$ : Factor de Forma.  | $X_0$ : Parámetro de tamaño.<br>$\alpha$ : Factor de Forma.             |
| Función de Densidad: $f(x)$     | $\frac{1}{\sqrt{2 * \pi * \alpha * x}} * e^{-\frac{\left(\ln\left(\frac{x}{X_0}\right)\right)^2}{2 * \alpha^2}}$ | $\frac{x^{\alpha-1} * e^{-\frac{x}{X_0}}}{X_0^\alpha * \Gamma(\alpha)}$ |
| Función de Distribución: $F(x)$ | $\text{logncdf}(x, \ln(X_0), \alpha)$  | $P\left(\frac{x}{X_0}, \alpha\right)$                                   |
| Dominio:                        | $x \in \langle 0; \infty \rangle$  | $x \in \langle 0; \infty \rangle$                                       |
| Mediana: $X_{50}$               | $X_0$  | $0.50 = P\left(\frac{X_{50}}{X_0}, \alpha\right)$                       |
| Punto de Inflexión: $X_i$       | $X_0 * e^{-\alpha^2}$  | $(\alpha - 1) * X_0 \quad ; \alpha > 1$                                 |
| Media: $\mu$                    | $X_0 * e^{\frac{\alpha^2}{2}}$   | $X_0 * \alpha$  |
| Varianza: $\sigma^2$            | $X_0^2 * (e^{2 * \alpha^2} - e^{\alpha^2})$  | $\alpha * X_0^2$  |
| Coefficiente de Variación: $CV$ | $\sqrt{e^{\alpha^2} - 1}$  | $\frac{1}{\sqrt{\alpha}}$   |

Ecuación 6. 8

$$F(x) = \int_0^x \frac{1}{\sqrt{2 * \pi * \alpha * x}} * e^{-\frac{\left(\ln\left(\frac{x}{X_0}\right)\right)^2}{2 * \alpha^2}} dx = \text{logncdf}(x, \ln(X_0), \alpha)$$



Tabla 6. 4 Función Rosin Rammler y Función Broadbent Callcott.

| Nombre                          | FUNCIÓN ROSIN RAMMLER   | FUNCIÓN BROADBENT CALLCOTT   |
|---------------------------------|---|--|
| Parámetros ajustables           | $X_0$ : Parámetro de tamaño.<br>$\alpha$ : Factor de Forma.   | $X_0$ : Tamaño Máximo de la Distribución.<br>$\alpha$ : Factor de Forma.   |
| Función de Densidad: $f(x)$     | $\frac{\alpha}{X_0^\alpha} * x^{\alpha-1} * e^{-\left(\frac{x}{X_0}\right)^\alpha}$   | $\frac{1}{1-e^{-1}} * \frac{\alpha}{X_0^\alpha} * x^{\alpha-1} * e^{-\left(\frac{x}{X_0}\right)^\alpha}$   |
| Función de Distribución: $F(x)$ | $1 - e^{-\left(\frac{x}{X_0}\right)^\alpha}$  | $\frac{1 - e^{-\left(\frac{x}{X_0}\right)^\alpha}}{1 - e^{-1}}$  |
| Dominio:                        | $x \in (0; \infty)$   | $x \in (0; X_0]$   |
| Mediana: $X_{50}$               | $X_0 * (\ln(2))^{\frac{1}{\alpha}}$   | $X_0 * \left( \ln\left(\frac{2}{1+e^{-1}}\right) \right)^{\frac{1}{\alpha}}$   |
| Punto de Inflexión: $X_i$       | $X_0 * \left(\frac{\alpha-1}{\alpha}\right)^{\frac{1}{\alpha}} ; \alpha > 1$  | $X_0 * \left(\frac{\alpha-1}{\alpha}\right)^{\frac{1}{\alpha}} ; \alpha > 1$   |
| Media: $\mu$                    | $X_0 * \Gamma\left(\frac{\alpha+1}{\alpha}\right)$  | $\frac{X_0}{1-e^{-1}} * \Gamma\left(\frac{\alpha+1}{\alpha}\right) * P_{\left(1, \frac{\alpha+1}{\alpha}\right)}$  |
| Varianza: $\sigma^2$            | $X_0^2 * \left( \Gamma\left(\frac{\alpha+2}{\alpha}\right) - \Gamma^2\left(\frac{\alpha+1}{\alpha}\right) \right)$                                    | $X_0^2 * \left\{ \frac{\Gamma\left(\frac{\alpha+2}{\alpha}\right) * P_{\left(1, \frac{\alpha+2}{\alpha}\right)} - \Gamma^2\left(\frac{\alpha+1}{\alpha}\right) * P_{\left(1, \frac{\alpha+1}{\alpha}\right)}^2}{1 - e^{-1} - (1 - e^{-1})^2} \right\}$   |
| Coefficiente de Variación: $CV$ | $\frac{\sqrt{\Gamma\left(\frac{\alpha+2}{\alpha}\right) - \Gamma^2\left(\frac{\alpha+1}{\alpha}\right)}}{\Gamma\left(\frac{\alpha+1}{\alpha}\right)}$ | $\frac{\sqrt{(1 - e^{-1}) * \Gamma\left(\frac{\alpha+2}{\alpha}\right) * P_{\left(1, \frac{\alpha+2}{\alpha}\right)} - \Gamma^2\left(\frac{\alpha+1}{\alpha}\right) * P_{\left(1, \frac{\alpha+1}{\alpha}\right)}^2}}{\Gamma\left(\frac{\alpha+1}{\alpha}\right) * P_{\left(1, \frac{\alpha+1}{\alpha}\right)}} - 1$ |

Tabla 6. 5 Función de Harris

|                                 |   |
|---------------------------------|---|
| Nombre                          | FUNCIÓN DE HARRIS   |
| Parámetros ajustables           | $X_0$ : Tamaño Máximo.<br>$\alpha, \beta$ : Factores de Forma.  |
| Función de Densidad: $f(x)$     | $\frac{\alpha * \beta}{X_0} * \left(\frac{x}{X_0}\right)^{\beta-1} * \left(1 - \left(\frac{x}{X_0}\right)^\beta\right)^{\alpha-1}$  |
| Función de Distribución: $F(x)$ | $1 - \left(1 - \left(\frac{x}{X_0}\right)^\beta\right)^\alpha$  |
| Dominio:                        | $x \in (0; X_0]$  |
| Mediana: $X_{50}$               | $\left(1 - 0.5^{\frac{1}{\alpha}}\right)^{\frac{1}{\beta}} * X_0$   |
| Punto de Inflexión: $X_i$       | $\left(\frac{\beta-1}{\alpha * \beta-1}\right)^{\frac{1}{\beta}} * X_0 \quad \alpha * \beta > 1 \ \& \ \beta > 1 \quad \text{ó} \quad \alpha * \beta < 1 \ \& \ \beta < 1$  |
| Media: $\mu$                    | $X_0 * \alpha * B_{\left(\frac{\beta+1}{\beta}, \alpha\right)} = X_0 * \frac{\Gamma\left(\frac{\beta+1}{\beta}\right) * \Gamma(\alpha+1)}{\Gamma\left(\frac{\beta+1}{\beta} + \alpha\right)}$   |
| Varianza: $\sigma^2$            | $X_0^2 * \left[ \alpha * B_{\left(\frac{\beta+2}{\beta}, \alpha\right)} - \alpha^2 * B_{\left(\frac{\beta+1}{\beta}, \alpha\right)}^2 \right] = X_0^2 * \left[ \frac{\Gamma\left(\frac{\beta+2}{\beta}\right) * \Gamma(\alpha+1)}{\Gamma\left(\frac{\beta+2}{\beta} + \alpha\right)} - \frac{\Gamma^2\left(\frac{\beta+1}{\beta}\right) * \Gamma^2(\alpha+1)}{\Gamma^2\left(\frac{\beta+1}{\beta} + \alpha\right)} \right]$ |

Coeficiente de Variación:  $CV$

$$\sqrt{\frac{B\left(\frac{\beta+2}{\beta}, \alpha\right)}{\alpha * B^2\left(\frac{\beta+1}{\beta}, \alpha\right)} - 1} = \sqrt{\frac{\Gamma^2\left(\frac{\beta+1}{\beta} + \alpha\right) * \Gamma\left(\frac{\beta+2}{\beta}\right)}{\Gamma^2\left(\frac{\beta+1}{\beta}\right) * \Gamma(\alpha+1) * \Gamma\left(\frac{\beta+2}{\beta} + \alpha\right)} - 1}$$

Tabla 6. 6 Distribución Beta

|                                 |  |
|---------------------------------|--|
| Nombre                          | DISTRIBUCIÓN BETA  |
| Parámetros ajustables           | $X_0$ : Tamaño Máximo.<br>$\alpha, \beta$ : Factor de Forma.   |
| Función de Densidad: $f(x)$     | $\frac{1}{B_{(\alpha, \beta)}} * \frac{1}{X_0} * \left(\frac{x}{X_0}\right)^{\alpha-1} * \left(1 - \frac{x}{X_0}\right)^{\beta-1}$     |
| Función de Distribución: $F(x)$ | $betainc\left(\frac{x}{X_0}, \alpha, \beta\right)$   |
| Dominio:                        | $x \in \langle 0; X_0 \rangle$   |
| Mediana: $X_{50}$               | $0.50 = betainc\left(\frac{X_{50}}{X_0}, \alpha, \beta\right)$   |
| Punto de Inflexión: $X_i$       | $\frac{\alpha-1}{(\alpha+\beta-2)} * X_0 \quad \alpha > 1 \& \alpha + \beta > 2 \quad \text{ó} \quad \alpha < 1 \& \alpha + \beta < 2$ |
| Media: $\mu$                    | $\frac{\alpha}{\alpha + \beta} * X_0$  |
| Varianza: $\sigma^2$            | $X_0^2 * \left[ \frac{\alpha * \beta}{(\alpha + \beta + 1) * (\alpha + \beta)^2} \right]$  |
| Coefficiente de Variación: $CV$ | $\sqrt{\frac{\beta}{\alpha * (\alpha + \beta + 1)}}$   |

La función Error está definida por:

**Ecuación 6. 9**

$$\text{erf}(x) = \frac{2}{\sqrt{\pi}} * \int_0^x e^{-t^2} dt$$

La función Gamma está definida por:

**Ecuación 6. 10**

$$\Gamma(\rho) = \int_0^{\infty} z^{\rho-1} * e^{-z} * dz$$

$\Gamma(n) = (n-1)!$  Para “n” un número entero.

**Ecuación 6. 11**

$$\Gamma(\alpha+1) = \alpha * \Gamma(\alpha)$$

Se define a la función Gamma Incompleta como:

**Ecuación 6. 12**

$$P_{(x,a)} = \frac{1}{\Gamma(a)} * \int_0^x z^{a-1} * e^{-z} * dz$$

La función Beta está definida por:

**Ecuación 6. 13**

$$B_{(m,n)} = \int_0^1 w^{m-1} * (1-w)^{n-1} * dw = \frac{\Gamma(m) * \Gamma(n)}{\Gamma(m+n)}$$

Se define a la función Beta Incompleta como:

**Ecuación 6. 14**

$$I_{(x,z,w)} = \frac{1}{B_{(z,w)}} * \int_0^x t^{z-1} * (1-t)^{w-1} * dt$$

Nota: Por simplicidad se han utilizado los nombres de las funciones de MATLAB 6.5

$\text{normcdf}(x, X_0, \alpha)$  : Distribución Normal Acumulada

$\text{erf}(x)$  : Función Error

$\text{logncdf}(x, \ln(X_0), \alpha)$ : Distribución Log-Normal Acumulada

$\text{gamma}(a)$ : Función Gamma

$\text{gammainc}(x, a)$ : Función Gamma Incompleta.

$\text{beta}(x, z, w)$ : Función Beta.

$\text{betainc}(x, z, w)$ : Función Beta Incompleta

Obsérvese que, exceptuando las distribuciones Normal y Normal Modificada, en todas las funciones de distribución, el Coeficiente de Variación sólo depende de los factores de forma ( $\alpha$  y/o  $\beta$ ).

### 6.3.1 Variación de Parámetros de las funciones de Distribución según el Coeficiente de Variación:

A continuación se presentan, para un tamaño medio constante ( $1000\mu\text{m}$ ), los parámetros y sus respectivas gráficas de dichas distribuciones variando solamente el Coeficiente de Variación.

El rango del Coeficiente de Variación usado es de  $CV \in [10\%, 200\%]$

Nota:

Debido a la complejidad de las ecuaciones estos cálculos se hicieron en Matlab.

Para la Distribución Normal Modificada,  $CV \in [10\%, 100\%]$  esto debido a una imprecisión en los resultados a partir de 100%. (Nótese lo complejo de las ecuaciones en la tabla resumen de las distribuciones).

**Tabla 6. 7 Variación del Factor de forma “Alpha”.**

| Factor de forma: Alpha |                           |                 |                  |           |                      |           |          |                       |
|------------------------|---------------------------|-----------------|------------------|-----------|----------------------|-----------|----------|-----------------------|
| CV                     | Gates Gaudin<br>Schuhmann | Gaudin<br>Meloy | Rosin<br>Rammler | Normal    | Normal<br>Modificada | LogNormal | Gamma    | Broadbent<br>Callcott |
| 10%                    | 9.0499                    | 0.0202          | 12.1530          | 100.0000  | 100.0000             | 0.0998    | 100.0000 | 10.2150               |
| 20%                    | 4.0990                    | 0.0833          | 5.7974           | 200.0000  | 200.0000             | 0.1980    | 25.0000  | 4.7129                |
| 30%                    | 2.4801                    | 0.1978          | 3.7138           | 300.0000  | 300.8000             | 0.2936    | 11.1110  | 2.9081                |
| 40%                    | 1.6926                    | 0.3810          | 2.6956           | 400.0000  | 411.1700             | 0.3853    | 6.2500   | 2.0256                |
| 50%                    | 1.2361                    | 0.6667          | 2.1013           | 500.0000  | 548.9700             | 0.4724    | 4.0000   | 1.5103                |
| 60%                    | 0.9437                    | 1.1250          | 1.7171           | 600.0000  | 738.4500             | 0.5545    | 2.7778   | 1.1772                |
| 70%                    | 0.7438                    | 1.9216          | 1.4513           | 700.0000  | 1022.5000            | 0.6315    | 2.0408   | 0.9469                |
| 80%                    | 0.6008                    | 3.5556          | 1.2582           | 800.0000  | 1504.1000            | 0.7034    | 1.5625   | 0.7801                |
| 90%                    | 0.4949                    | 8.5263          | 1.1128           | 900.0000  | 2571.5000            | 0.7703    | 1.2346   | 0.6548                |
| 100%                   | 0.4142                    | Inf             | 1.0000           | 1000.0000 | 7331.3000            | 0.8326    | 1.0000   | 0.5579                |
| 110%                   | 0.3515                    | -11.5240        | 0.9103           | 1100.0000 | ---                  | 0.8905    | 0.8265   | 0.4814                |
| 120%                   | 0.3017                    | -6.5455         | 0.8376           | 1200.0000 | ---                  | 0.9445    | 0.6944   | 0.4198                |
| 130%                   | 0.2616                    | -4.8986         | 0.7776           | 1300.0000 | ---                  | 0.9948    | 0.5917   | 0.3694                |
| 140%                   | 0.2289                    | -4.0833         | 0.7274           | 1400.0000 | ---                  | 1.0417    | 0.5102   | 0.3276                |
| 150%                   | 0.2019                    | -3.6000         | 0.6848           | 1500.0000 | ---                  | 1.0857    | 0.4444   | 0.2925                |
| 160%                   | 0.1793                    | -3.2821         | 0.6482           | 1600.0000 | ---                  | 1.1268    | 0.3906   | 0.2628                |
| 170%                   | 0.1602                    | -3.0582         | 0.6165           | 1700.0000 | ---                  | 1.1655    | 0.3460   | 0.2373                |
| 180%                   | 0.1440                    | -2.8929         | 0.5888           | 1800.0000 | ---                  | 1.2019    | 0.3086   | 0.2154                |
| 190%                   | 0.1301                    | -2.7663         | 0.5644           | 1900.0000 | ---                  | 1.2362    | 0.2770   | 0.1964                |
| 200%                   | 0.1180                    | -2.6667         | 0.5427           | 2000.0000 | ---                  | 1.2686    | 0.2500   | 0.1797                |

**Tabla 6. 8 Variación del Parámetro de Tamaño “Xo”.**

| Parámetro de Tamaño: Xo |                           |                 |                  |           |                      |           |           |                       |
|-------------------------|---------------------------|-----------------|------------------|-----------|----------------------|-----------|-----------|-----------------------|
| CV                      | Gates Gaudin<br>Schuhmann | Gaudin<br>Meloy | Rosin<br>Rammler | Normal    | Normal<br>Modificada | LogNormal | Gamma     | Broadbent<br>Callcott |
| 10%                     | 1110.5000                 | 1020.2000       | 1043.0000        | 1000.0000 | 1000.0000            | 995.0400  | 10.0000   | 1125.0000             |
| 20%                     | 1244.0000                 | 1083.3000       | 1080.0000        | 1000.0000 | 1000.0000            | 980.5800  | 40.0000   | 1274.9000             |
| 30%                     | 1403.2000                 | 1197.8000       | 1107.9000        | 1000.0000 | 999.5200             | 957.8300  | 90.0000   | 1452.2000             |
| 40%                     | 1590.8000                 | 1381.0000       | 1124.6000        | 1000.0000 | 990.9400             | 928.4800  | 160.0000  | 1659.3000             |
| 50%                     | 1809.0000                 | 1666.7000       | 1129.1000        | 1000.0000 | 948.6400             | 894.4300  | 250.0000  | 1898.0000             |
| 60%                     | 2059.7000                 | 2125.0000       | 1121.5000        | 1000.0000 | 814.6900             | 857.4900  | 360.0000  | 2169.8000             |
| 70%                     | 2344.5000                 | 2921.6000       | 1103.0000        | 1000.0000 | 444.5200             | 819.2300  | 490.0000  | 2475.9000             |
| 80%                     | 2664.5000                 | 4555.6000       | 1075.3000        | 1000.0000 | -622.4200            | 780.8700  | 640.0000  | 2817.2000             |
| 90%                     | 3020.8000                 | 9526.3000       | 1040.3000        | 1000.0000 | -4802.7000           | 743.2900  | 810.0000  | 3194.4000             |
| 100%                    | 3414.2000                 | Inf             | 1000.0000        | 1000.0000 | -51748.0000          | 707.1100  | 1000.0000 | 3608.0000             |
| 110%                    | 3845.3000                 | -10524.0000     | 956.2700         | 1000.0000 | ---                  | 672.6700  | 1210.0000 | 4058.4000             |
| 120%                    | 4314.5000                 | -5545.5000      | 910.6300         | 1000.0000 | ---                  | 640.1800  | 1440.0000 | 4546.1000             |
| 130%                    | 4822.2000                 | -3898.6000      | 864.3100         | 1000.0000 | ---                  | 609.7100  | 1690.0000 | 5071.2000             |
| 140%                    | 5368.7000                 | -3083.3000      | 818.2700         | 1000.0000 | ---                  | 581.2400  | 1960.0000 | 5634.1000             |
| 150%                    | 5954.2000                 | -2600.0000      | 773.2300         | 1000.0000 | ---                  | 554.7000  | 2250.0000 | 6234.9000             |
| 160%                    | 6578.9000                 | -2282.1000      | 729.6800         | 1000.0000 | ---                  | 530.0000  | 2560.0000 | 6873.8000             |
| 170%                    | 7242.9000                 | -2058.2000      | 687.9500         | 1000.0000 | ---                  | 507.0200  | 2890.0000 | 7551.1000             |
| 180%                    | 7946.4000                 | -1892.9000      | 648.2500         | 1000.0000 | ---                  | 485.6400  | 3240.0000 | 8266.9000             |
| 190%                    | 8689.5000                 | -1766.3000      | 610.6700         | 1000.0000 | ---                  | 465.7500  | 3610.0000 | 9021.3000             |
| 200%                    | 9472.1000                 | -1666.7000      | 575.2500         | 1000.0000 | ---                  | 447.2100  | 4000.0000 | 9814.5000             |



**Tabla 6.9 Variación de la Mediana (X50).**

| Mediana: X50 |                    |                 |                  |           |                      |           |          |                       |
|--------------|--------------------|-----------------|------------------|-----------|----------------------|-----------|----------|-----------------------|
| CV           | Gates<br>Schuhmann | Gaudin<br>Meloy | Rosin<br>Rammler | Normal    | Normal<br>Modificada | LogNormal | Gamma    | Broadbent<br>Callcott |
| 10%          | 1028.6000          | 1020.2000       | 1012.1000        | 1000.0000 | 1000.0000            | 995.0400  | 996.6700 | 1023.3000             |
| 20%          | 1050.4000          | 1083.1000       | 1013.8000        | 1000.0000 | 1000.0000            | 980.5800  | 986.7000 | 1038.2000             |
| 30%          | 1061.1000          | 1161.8000       | 1003.8000        | 1000.0000 | 999.6900             | 957.8300  | 970.1700 | 1041.1000             |
| 40%          | 1056.2000          | 1157.1000       | 981.6000         | 1000.0000 | 995.0500             | 928.4800  | 947.2000 | 1029.0000             |
| 50%          | 1032.5000          | 1077.4000       | 948.3500         | 1000.0000 | 977.5400             | 894.4300  | 918.0200 | 999.9200              |
| 60%          | 988.1000           | 977.4400        | 905.9500         | 1000.0000 | 940.2000             | 857.4900  | 882.9000 | 953.5200              |
| 70%          | 923.2500           | 884.7300        | 856.8400         | 1000.0000 | 882.8800             | 819.2300  | 842.2600 | 890.8900              |
| 80%          | 840.5300           | 806.8900        | 803.5500         | 1000.0000 | 814.2400             | 780.8700  | 796.6200 | 814.6300              |
| 90%          | 744.3800           | 743.8000        | 748.3600         | 1000.0000 | 747.3800             | 743.2900  | 746.6500 | 728.4400              |
| 100%         | 640.5300           | NaN             | 693.1500         | 1000.0000 | 701.6300             | 707.1100  | 693.1500 | 636.6100              |
| 110%         | 535.0800           | 652.4200        | 639.3300         | 1000.0000 | ---                  | 672.6700  | 637.0200 | 543.5600              |
| 120%         | 433.6900           | 619.4700        | 587.9000         | 1000.0000 | ---                  | 640.1800  | 579.2600 | 453.3100              |
| 130%         | 340.9200           | 592.5800        | 539.4800         | 1000.0000 | ---                  | 609.7100  | 520.9200 | 369.1800              |
| 140%         | 259.8800           | 570.4400        | 494.3800         | 1000.0000 | ---                  | 581.2400  | 463.0600 | 293.5900              |
| 150%         | 192.0700           | 552.0500        | 452.7500         | 1000.0000 | ---                  | 554.7000  | 406.6900 | 227.9700              |
| 160%         | 137.6400           | 536.6300        | 414.5400         | 1000.0000 | ---                  | 530.0000  | 352.7400 | 172.8300              |
| 170%         | 95.6330            | 523.5900        | 379.6400         | 1000.0000 | ---                  | 507.0200  | 302.0100 | 127.9300              |
| 180%         | 64.4300            | 512.4900        | 347.8600         | 1000.0000 | ---                  | 485.6400  | 255.1500 | 92.4490               |
| 190%         | 42.0950            | 502.9600        | 318.9900         | 1000.0000 | ---                  | 465.7500  | 212.6100 | 65.2280               |
| 200%         | 26.6740            | 494.7300        | 292.7900         | 1000.0000 | ---                  | 447.2100  | 174.7000 | 44.9340               |

**Tabla 6. 10 Variación del Punto de Inflexión (Xi)**

| Punto de Inflexión: Xi |                           |                 |                  |           |                      |           |          |                       |
|------------------------|---------------------------|-----------------|------------------|-----------|----------------------|-----------|----------|-----------------------|
| CV                     | Gates Gaudin<br>Schuhmann | Gaudin<br>Meloy | Rosin<br>Rammler | Normal    | Normal<br>Modificada | LogNormal | Gamma    | Broadbent<br>Callcott |
| 10%                    | ---                       | ---             | 1035.7000        | 1000.0000 | 1000.0000            | 985.1900  | 990.0000 | 1113.7000             |
| 20%                    | ---                       | ---             | 1045.3000        | 1000.0000 | 1000.0000            | 942.8700  | 960.0000 | 1212.0000             |
| 30%                    | ---                       | ---             | 1018.1000        | 1000.0000 | 999.5200             | 878.7400  | 910.0000 | 1256.3000             |
| 40%                    | ---                       | ---             | 946.8800         | 1000.0000 | 990.9400             | 800.4100  | 840.0000 | 1185.7000             |
| 50%                    | ---                       | ---             | 830.2300         | 1000.0000 | 948.6400             | 715.5400  | 750.0000 | 925.2700              |
| 60%                    | ---                       | ---             | 674.4500         | 1000.0000 | 814.6900             | 630.5100  | 640.0000 | 434.2300              |
| 70%                    | ---                       | ---             | 493.1900         | 1000.0000 | 444.5200             | 549.8200  | 510.0000 | ---                   |
| 80%                    | ---                       | ---             | 305.4500         | 1000.0000 | ---                  | 476.1400  | 360.0000 | ---                   |
| 90%                    | ---                       | ---             | 133.0200         | 1000.0000 | ---                  | 410.6600  | 190.0000 | ---                   |
| 100%                   | ---                       | ---             | 0.0000           | 1000.0000 | ---                  | 353.5500  | ---      | ---                   |
| 110%                   | ---                       | ---             | ---              | 1000.0000 | ---                  | 304.3800  | ---      | ---                   |
| 120%                   | ---                       | ---             | ---              | 1000.0000 | ---                  | 262.3700  | ---      | ---                   |
| 130%                   | ---                       | ---             | ---              | 1000.0000 | ---                  | 226.6600  | ---      | ---                   |
| 140%                   | ---                       | ---             | ---              | 1000.0000 | ---                  | 196.3600  | ---      | ---                   |
| 150%                   | ---                       | ---             | ---              | 1000.0000 | ---                  | 170.6800  | ---      | ---                   |
| 160%                   | ---                       | ---             | ---              | 1000.0000 | ---                  | 148.8800  | ---      | ---                   |
| 170%                   | ---                       | ---             | ---              | 1000.0000 | ---                  | 130.3400  | ---      | ---                   |
| 180%                   | ---                       | ---             | ---              | 1000.0000 | ---                  | 114.5400  | ---      | ---                   |
| 190%                   | ---                       | ---             | ---              | 1000.0000 | ---                  | 101.0300  | ---      | ---                   |
| 200%                   | ---                       | ---             | ---              | 1000.0000 | ---                  | 89.4430   | ---      | ---                   |

De las tablas presentadas:

#### Parámetro Alpha

- Obsérvese que en la Función de Gaudin Meloy se presentan valores negativos a partir de 100%. Esto es explicado porque el CV puede ser mayor que uno si y solo si el factor Alpha es menor a -2.

#### Parámetro Xo

- Obsérvese que tanto para la Función de Gaudin Meloy como para la distribución Normal Modificada, el factor Xo puede ser negativo.
- En la Distribución Normal, Xo es igual a la media por lo tanto es constante.
- En todas las funciones en las cuales Xo representa el Tamaño Máximo de la distribución, el Xo aumenta al aumentar el Coeficiente de Variación.

#### Mediana X50

- Nótese que en todas las ecuaciones presentadas (exceptuando la Distribución Normal), la Mediana (X50) disminuye al aumentar el coeficiente de variación. Todas estas funciones tienen valores de X50 parecidas para  $CV < 100\%$ .

#### Punto de Inflexión.

- Las funciones de distribución (exceptuando la de Gates Gaudin Schuhmann y la de Gaudin Meloy) presentan un punto de Inflexión, básicamente cuando  $CV < 100\%$ . Las distribuciones Normal y Log-

Normal que siempre van a presentar un punto de Inflexión, incluso cuando  $CV > 100\%$ .

### 6.3.2 Gráficas de las Funciones de Distribución variando el Coeficiente de Variación a un Tamaño Medio igual a $1000\mu\text{m}$ constante.

Se grafican a continuación el Porcentaje Acumulado Pasante vs. Tamaño de Partículas:

Gráfico 6. 1  $CV = 10\%$

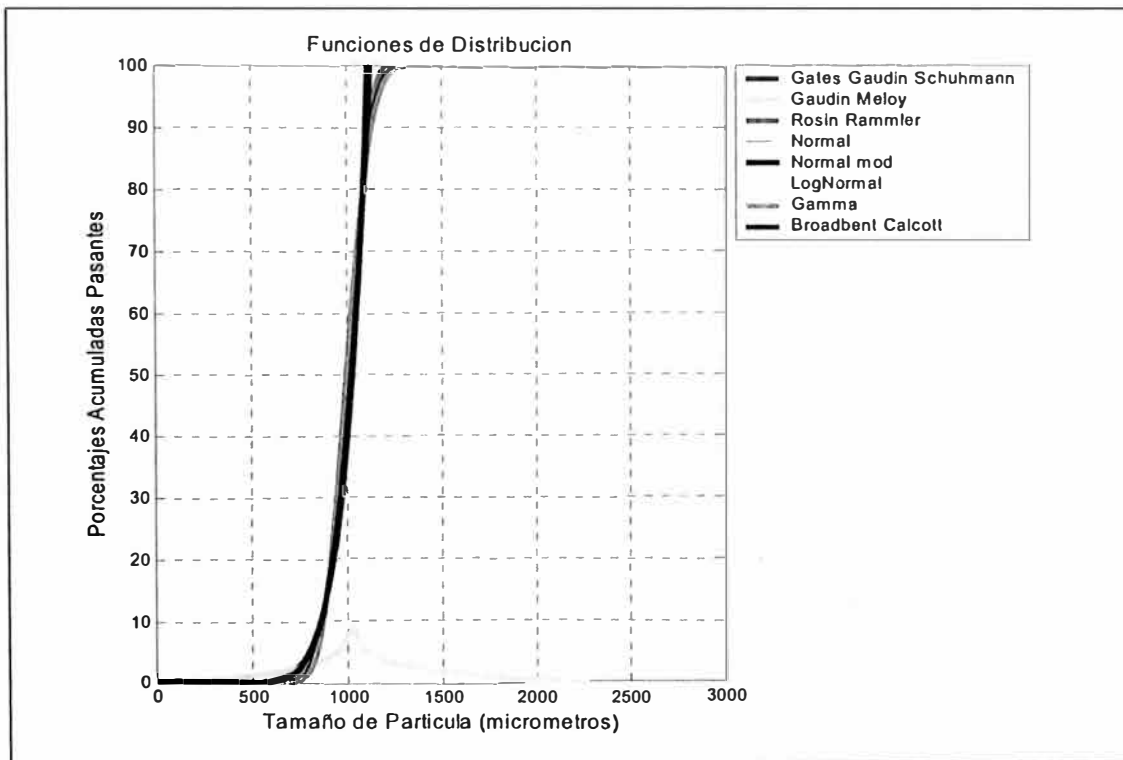


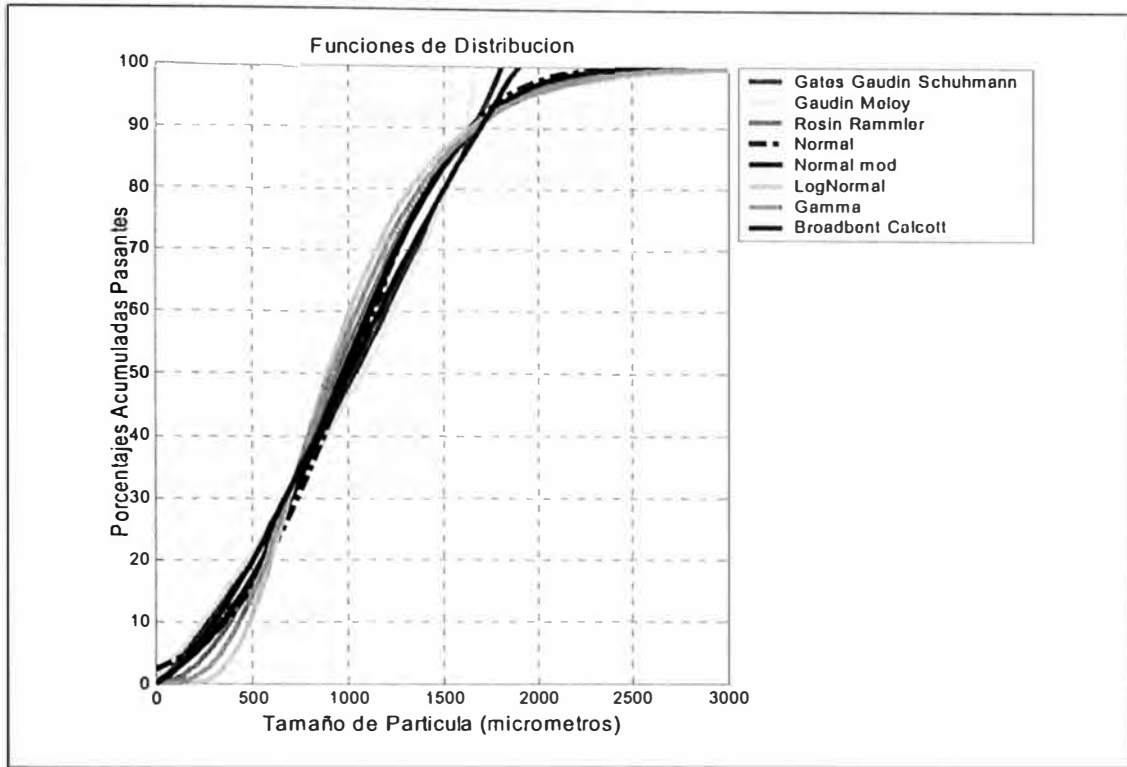
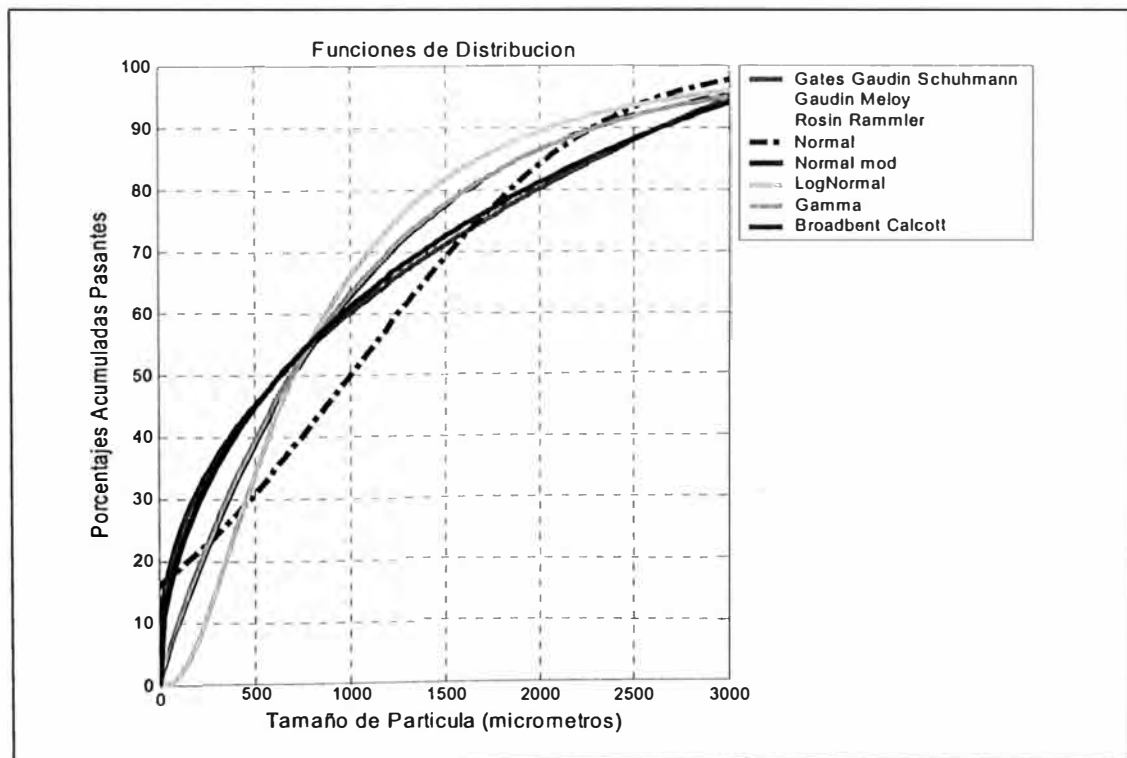
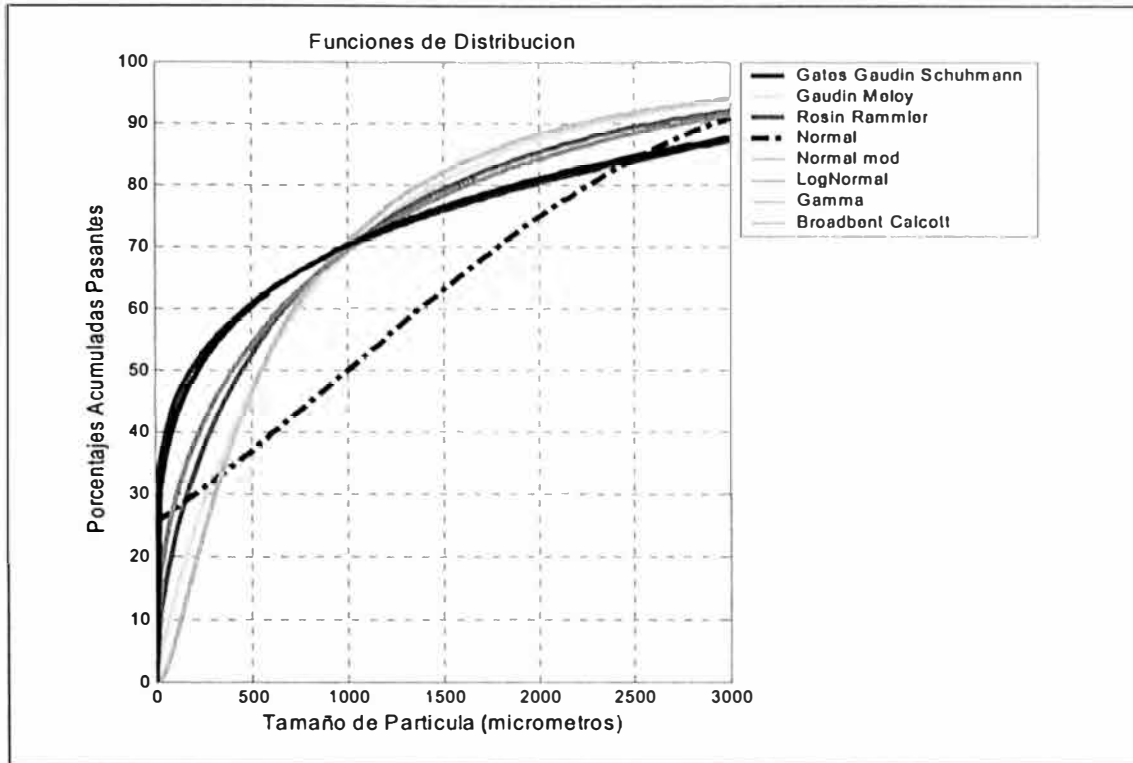
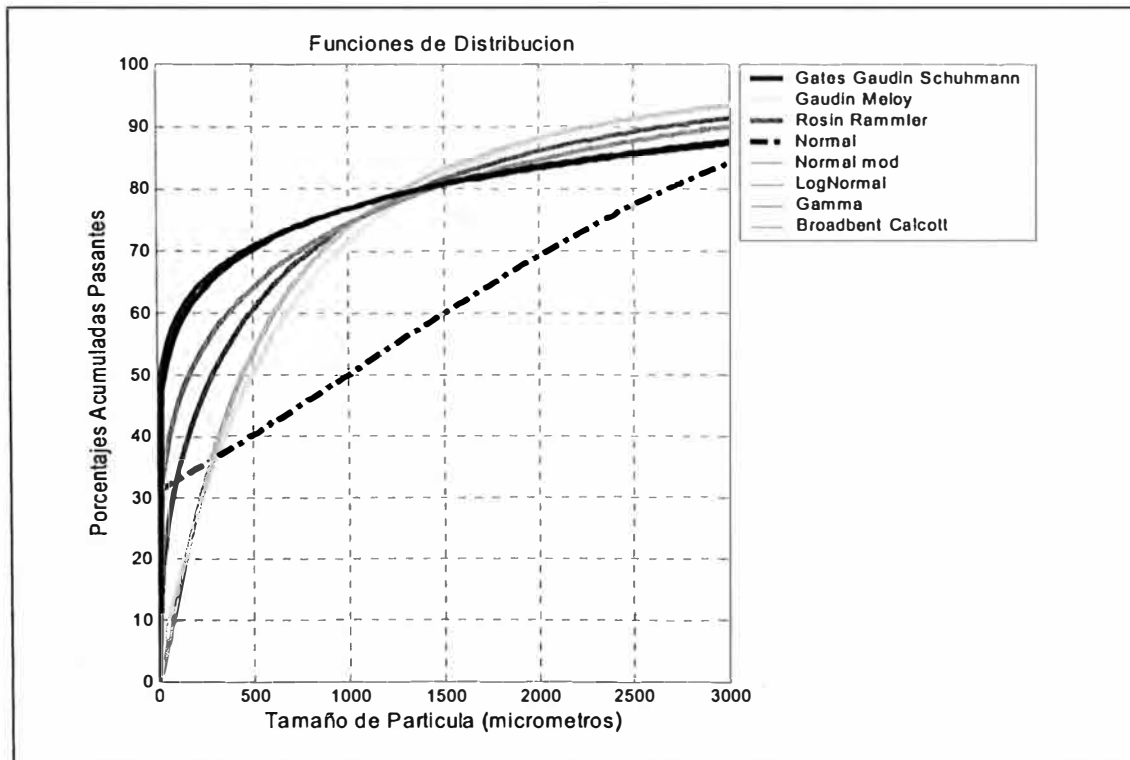
Gráfico 6.2  $CV = 50\%$ Gráfico 6.3  $CV = 100\%$ 

Gráfico 6.4  $CV = 150\%$ Gráfico 6.5  $CV = 200\%$ 

Se observa la disminución de la pendiente al aumentar el Coeficiente de Variación. Esto puede tomarse como si se tuviera diferentes muestras con un mismo tamaño promedio, una muestra con un Coeficiente de Variación mayor significa que la muestra está distribuida en un rango de mayor amplitud (referido al tamaño de partículas).









### 6.4.3 Ajuste a las Funciones de Distribución

El  $R^2$  esta definido como:  $SSE = \sum_{i=1}^n (y_i - \hat{y}_i)^2$  (Mínimo Cuadrado)     $SSR = \sum_{i=1}^n (\hat{y}_i - \bar{y})^2$      $SST = \sum_{i=1}^n (y_i - \bar{y})^2$

$y_i$ : Valores Dato.     $\hat{y}_i$ : Valor de la Función.     $\bar{y}$ : Media de los Valores Dato

Donde:  $SST = SSR + SSE$

Ecuación 6. 15

$$R^2 = \frac{SSR}{SST} = 1 - \frac{SSE}{SST}$$

Tabla 6. 14 Ajuste de curvas al Análisis Granulométrico del Alimento

| ALIMENTO     |             |          |          |          |          |            |           |          |          |          |          |  |
|--------------|-------------|----------|----------|----------|----------|------------|-----------|----------|----------|----------|----------|--|
| Parametro    | Estadística | GGS      | GM       | RR       | Normal   | Normal mod | LogNormal | Gamma    | BC       | Harris   | Beta     |  |
| $R^2$        | NaN         | 0.6469   | 0.9945   | 0.9946   | 0.9684   | 0.9962     | 0.9969    | 0.9980   | 0.9466   | 0.9956   | 0.9959   |  |
| Min Cuadrado | NaN         | 0.4827   | 0.0088   | 0.0060   | 0.0509   | 0.0061     | 0.0051    | 0.0033   | 0.0592   | 0.0060   | 0.0056   |  |
| Alpha        | NaN         | 0.7330   | 30.7272  | 1.1946   | 168.9229 | 516.7391   | 1.0294    | 1.2208   | 0.9614   | 4.9952   | 1.0774   |  |
| Beta         | NaN         | NaN      | NaN      | NaN      | NaN      | NaN        | NaN       | NaN      | NaN      | 1.0444   | 5.2915   |  |
| $X_0$        | NaN         | 725.09   | 8675.23  | 272.83   | 217.60   | -596.92    | 177.18    | 212.14   | 638.84   | 1404.13  | 1472.71  |  |
| Tamaño Medio | 269.74      | 306.68   | 273.43   | 256.94   | 217.60   | 256.10     | 300.98    | 258.98   | 260.52   | 249.19   | 249.13   |  |
| Varianza     | 68384.21    | 46951.36 | 70196.32 | 46643.55 | 28534.94 | 48564.68   | 170812.53 | 54938.81 | 32560.93 | 41168.99 | 41367.59 |  |
| Desv. Std.   | 261.50      | 216.68   | 264.95   | 215.97   | 168.92   | 220.37     | 413.29    | 234.39   | 180.45   | 202.90   | 203.39   |  |
| CV           | 96.95%      | 70.65%   | 96.90%   | 84.06%   | 77.63%   | 86.05%     | 137.32%   | 90.51%   | 69.26%   | 81.42%   | 81.64%   |  |

**Tabla 6. 15 Ajuste de curvas al Análisis Granulométrico del Spigot #01**

| <b>SPIGOT #01</b> |             |          |           |           |          |            |           |          |          |          |          |
|-------------------|-------------|----------|-----------|-----------|----------|------------|-----------|----------|----------|----------|----------|
| Parametro         | Estadística | GGS      | GM        | RR        | Normal   | Normal mod | LogNormal | Gamma    | BC       | Harris   | Beta     |
| r <sup>2</sup>    | NaN         | 0.8289   | 0.9246    | 0.9209    | 0.9991   | 0.9991     | 0.9958    | 0.9975   | 0.9166   | 0.9985   | 0.9984   |
| Min Cuadrado      | NaN         | 0.2445   | 0.1118    | 0.0630    | 0.0014   | 0.0014     | 0.0062    | 0.0037   | 0.0664   | 0.0021   | 0.0023   |
| Alpha             | NaN         | 1.6340   | 1.0575    | 1.8678    | 222.9593 | 226.7043   | 0.3978    | 6.4261   | 1.7770   | 7.2221   | 3.9261   |
| Beta              | NaN         | NaN      | NaN       | NaN       | NaN      | NaN        | NaN       | NaN      | NaN      | 2.7403   | 5.8370   |
| Xo                | NaN         | 1154.98  | 1315.14   | 826.62    | 587.95   | 586.17     | 569.73    | 94.33    | 1208.25  | 1408.73  | 1476.74  |
| Tamaño Medio      | 602.74      | 716.48   | 639.10    | 733.95    | 587.95   | 589.38     | 616.64    | 606.20   | 687.90   | 589.31   | 593.85   |
| Varianza          | 56406.29    | 86455.46 | 141364.61 | 166505.67 | 49710.87 | 49501.70   | 65199.90  | 57186.00 | 92600.37 | 47406.83 | 48713.28 |
| Desv. Std.        | 237.50      | 294.03   | 375.99    | 408.05    | 222.96   | 222.49     | 255.34    | 239.14   | 304.30   | 217.73   | 220.71   |
| CV                | 39.40%      | 41.04%   | 58.82%    | 55.60%    | 37.92%   | 37.75%     | 41.41%    | 39.45%   | 44.24%   | 36.95%   | 37.17%   |

**Tabla 6. 16 Ajuste de curvas al Análisis Granulométrico del Spigot #02**

| <b>SPIGOT #02</b> |             |          |           |          |          |            |           |          |          |          |          |
|-------------------|-------------|----------|-----------|----------|----------|------------|-----------|----------|----------|----------|----------|
| Parametro         | Estadística | GGS      | GM        | RR       | Normal   | Normal mod | LogNormal | Gamma    | BC       | Harris   | Beta     |
| r <sup>2</sup>    | NaN         | -0.0930  | 0.8910    | 0.9569   | 0.9997   | 0.9997     | 0.9981    | 0.9989   | 0.9233   | 0.9997   | 0.9993   |
| Min Cuadrado      | NaN         | 2.0235   | 0.2096    | 0.0552   | 0.0005   | 0.0006     | 0.0036    | 0.0021   | 0.0983   | 0.0006   | 0.0013   |
| Alpha             | NaN         | 2.1667   | 1.1845    | 2.6245   | 138.4255 | 138.4815   | 0.2982    | 11.4260  | 2.4398   | 40.5344  | 7.6475   |
| Beta              | NaN         | NaN      | NaN       | NaN      | NaN      | NaN        | NaN       | NaN      | NaN      | 3.9676   | 14.4681  |
| Xo                | NaN         | 948.36   | 1134.38   | 620.42   | 481.84   | 481.78     | 473.27    | 42.88    | 875.56   | 1352.12  | 1403.52  |
| Tamaño Medio      | 498.59      | 648.88   | 517.41    | 551.22   | 481.84   | 481.91     | 494.79    | 490.00   | 567.53   | 479.98   | 485.33   |
| Varianza          | 33847.12    | 46637.30 | 101091.30 | 50997.84 | 19161.61 | 19114.44   | 22770.05  | 21013.45 | 38464.00 | 18017.93 | 19278.12 |
| Desv. Std.        | 183.98      | 215.96   | 318.03    | 225.83   | 138.43   | 138.25     | 150.90    | 144.96   | 196.12   | 134.23   | 138.85   |
| CV                | 36.90%      | 33.28%   | 61.34%    | 40.97%   | 28.73%   | 28.69%     | 30.50%    | 29.58%   | 34.56%   | 27.97%   | 28.61%   |

**Tabla 6. 17 Ajuste de curvas al Análisis Granulométrico del Spigot #03**

| <b>SPIGOT #03</b> |             |          |          |          |         |            |           |         |         |         |           |
|-------------------|-------------|----------|----------|----------|---------|------------|-----------|---------|---------|---------|-----------|
| Parametro         | Estadística | GGS      | GM       | RR       | Normal  | Normal mod | LogNormal | Gamma   | BC      | Harris  | Beta      |
| r <sup>2</sup>    | NaN         | -2.4908  | 0.8979   | 0.9773   | 0.9954  | 0.9954     | 0.9986    | 0.9978  | 0.8454  | 0.9938  | -2.5654   |
| Min Cuadrado      | NaN         | 6.7112   | 0.2064   | 0.0325   | 0.0092  | 0.0092     | 0.0028    | 0.0045  | 0.2209  | 0.0120  | 6.8547    |
| Alpha             | NaN         | 2.8125   | 1.1028   | 3.5226   | 79.9135 | 80.0373    | 0.3059    | 11.0864 | 3.2387  | 52.2047 | 8.3730    |
| Beta              | NaN         | NaN      | NaN      | NaN      | NaN     | NaN        | NaN       | NaN     | NaN     | 4.2418  | 1157248.6 |
| Xo                | NaN         | 543.42   | 686.32   | 363.49   | 291.43  | 291.44     | 288.73    | 27.01   | 483.88  | 807.66  | 858.50    |
| Tamaño Medio      | 310.23      | 400.89   | 324.70   | 327.17   | 291.43  | 291.49     | 302.56    | 299.46  | 344.53  | 288.31  | 0.01      |
| Varianza          | 11494.26    | 11873.31 | 38198.06 | 10595.60 | 6386.17 | 6393.67    | 8979.04   | 8089.10 | 8952.21 | 5789.08 | 0.00      |
| Desv. Std.        | 107.21      | 108.96   | 195.46   | 102.93   | 79.91   | 79.96      | 94.76     | 89.94   | 94.62   | 76.09   | 0.00      |
| CV                | 34.56%      | 27.18%   | 60.01%   | 31.46%   | 27.42%  | 27.43%     | 31.32%    | 30.03%  | 27.46%  | 26.39%  | 34.56%    |

**Tabla 6. 18 Ajuste de curvas al Análisis Granulométrico del Spigot #04**

| <b>SPIGOT #04</b> |             |         |          |         |         |            |           |         |         |         |         |
|-------------------|-------------|---------|----------|---------|---------|------------|-----------|---------|---------|---------|---------|
| Parametro         | Estadística | GGS     | GM       | RR      | Normal  | Normal mod | LogNormal | Gamma   | BC      | Harris  | Beta    |
| r <sup>2</sup>    | NaN         | 0.6568  | 0.9389   | 0.9956  | 0.9996  | 0.9999     | 0.9911    | 0.9957  | 0.9912  | 0.9996  | 0.9989  |
| Min Cuadrado      | NaN         | 0.4401  | 0.0869   | 0.0038  | 0.0005  | 0.0002     | 0.0127    | 0.0061  | 0.0077  | 0.0005  | 0.0014  |
| Alpha             | NaN         | 1.5152  | 1.1937   | 2.1983  | 74.0767 | 77.2866    | 0.4857    | 4.3597  | 1.8939  | 5.0871  | 2.8213  |
| Beta              | NaN         | NaN     | NaN      | NaN     | NaN     | NaN        | NaN       | NaN     | NaN     | 2.2207  | 4.6448  |
| Xo                | NaN         | 323.57  | 388.19   | 188.53  | 166.85  | 164.68     | 157.65    | 39.77   | 292.36  | 419.15  | 448.10  |
| Tamaño Medio      | 171.87      | 194.92  | 176.79   | 166.96  | 166.85  | 167.92     | 177.38    | 173.37  | 171.23  | 167.98  | 169.33  |
| Varianza          | 6494.47     | 7133.84 | 11730.37 | 6427.01 | 5487.36 | 5429.43    | 8370.19   | 6894.00 | 5204.45 | 5246.97 | 5575.75 |
| Desv. Std.        | 80.59       | 84.46   | 108.32   | 80.17   | 74.08   | 73.68      | 91.49     | 83.03   | 72.14   | 72.44   | 74.67   |
| CV                | 46.89%      | 43.33%  | 61.23%   | 48.02%  | 44.40%  | 43.88%     | 51.58%    | 47.89%  | 42.13%  | 43.12%  | 44.10%  |

**Tabla 6. 19 Ajuste de curvas al Análisis Granulométrico del Spigot #05**

| <b>SPIGOT #05</b> |             |         |         |         |         |            |           |         |         |         |         |
|-------------------|-------------|---------|---------|---------|---------|------------|-----------|---------|---------|---------|---------|
| Parametro         | Estadística | GGS     | GM      | RR      | Normal  | Normal mod | LogNormal | Gamma   | BC      | Harris  | Beta    |
| r <sup>2</sup>    | NaN         | 0.7703  | 0.9540  | 0.9982  | 0.9991  | 0.9998     | 0.9910    | 0.9967  | 0.9811  | 0.9995  | 0.9991  |
| Min Cuadrado      | NaN         | 0.2356  | 0.0568  | 0.0013  | 0.0011  | 0.0003     | 0.0111    | 0.0041  | 0.0136  | 0.0006  | 0.0009  |
| Alpha             | NaN         | 1.2622  | 1.2911  | 2.0773  | 53.2697 | 56.9102    | 0.5630    | 3.5025  | 1.6888  | 4.6590  | 2.4253  |
| Beta              | NaN         | NaN     | NaN     | NaN     | NaN     | NaN        | NaN       | NaN     | NaN     | 1.9718  | 4.4383  |
| Xo                | NaN         | 225.83  | 262.75  | 123.57  | 107.52  | 104.54     | 99.61     | 32.25   | 201.33  | 289.71  | 310.94  |
| Tamaño Medio      | 112.36      | 126.00  | 114.63  | 109.46  | 107.52  | 108.89     | 116.72    | 112.94  | 111.97  | 109.01  | 109.87  |
| Varianza          | 3619.13     | 3855.99 | 5167.37 | 3057.71 | 2837.66 | 2765.67    | 5081.80   | 3641.69 | 2650.63 | 2656.64 | 2809.27 |
| Desv. Std.        | 60.16       | 62.10   | 71.89   | 55.30   | 53.27   | 52.59      | 71.29     | 60.35   | 51.48   | 51.54   | 53.00   |
| CV                | 53.54%      | 49.28%  | 62.70%  | 50.52%  | 49.55%  | 48.30%     | 61.07%    | 53.43%  | 45.98%  | 47.28%  | 48.24%  |

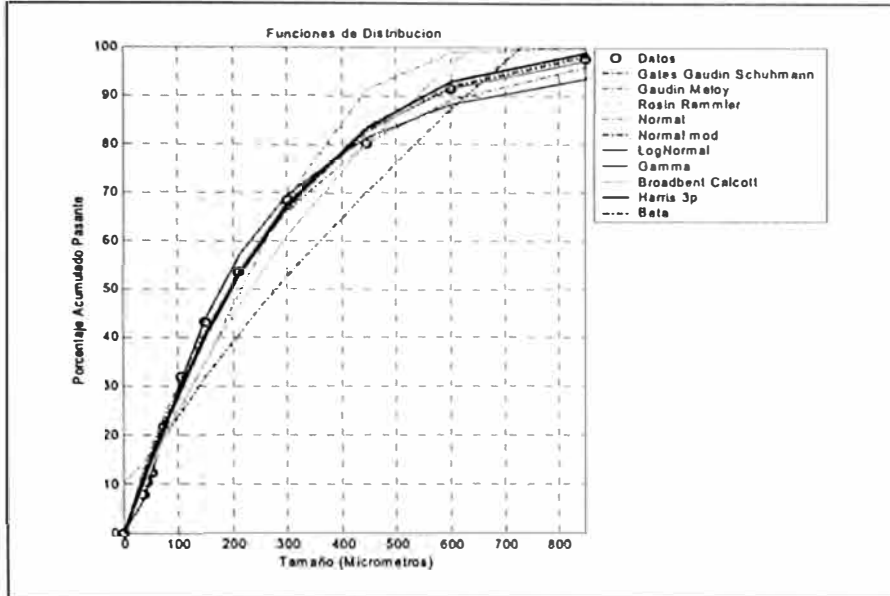
**Tabla 6. 20 Ajuste de curvas al Análisis Granulométrico del Spigot #06**

| <b>SPIGOT #06</b> |             |         |         |         |         |            |           |         |         |        |         |
|-------------------|-------------|---------|---------|---------|---------|------------|-----------|---------|---------|--------|---------|
| Parametro         | Estadística | GGS     | GM      | RR      | Normal  | Normal mod | LogNormal | Gamma   | BC      | Harris | Beta    |
| r <sup>2</sup>    | NaN         | 0.7430  | 0.9433  | 0.9979  | 0.9992  | 0.9994     | 0.9937    | 0.9971  | 0.9564  | 0.9988 | 0.9980  |
| Min Cuadrado      | NaN         | 0.2055  | 0.0624  | 0.0013  | 0.0008  | 0.0006     | 0.0069    | 0.0032  | 0.0262  | 0.0010 | 0.0016  |
| Alpha             | NaN         | 1.0988  | 1.4083  | 2.3506  | 32.6247 | 33.6923    | 0.4825    | 4.5201  | 1.6560  | 6.7101 | 3.2887  |
| Beta              | NaN         | NaN     | NaN     | NaN     | NaN     | NaN        | NaN       | NaN     | NaN     | 2.2509 | 8.0180  |
| Xo                | NaN         | 159.73  | 179.50  | 80.17   | 70.05   | 69.01      | 66.40     | 16.15   | 135.60  | 195.28 | 246.91  |
| Tamaño Medio      | 71.26       | 83.62   | 74.48   | 71.04   | 70.05   | 70.69      | 74.60     | 72.99   | 74.72   | 70.93  | 71.82   |
| Varianza          | 1221.78     | 2053.66 | 2300.20 | 1031.91 | 1064.37 | 1016.13    | 1458.98   | 1178.60 | 1215.83 | 955.53 | 1021.77 |
| Desv. Std.        | 34.95       | 45.32   | 47.97   | 32.12   | 32.62   | 31.88      | 38.20     | 34.33   | 34.87   | 30.91  | 31.97   |
| CV                | 49.05%      | 54.19%  | 64.38%  | 45.22%  | 46.58%  | 45.09%     | 51.20%    | 47.04%  | 46.67%  | 43.58% | 44.51%  |

Tabla 6. 21 Ajuste de curvas al Análisis Granulométrico del Rebose

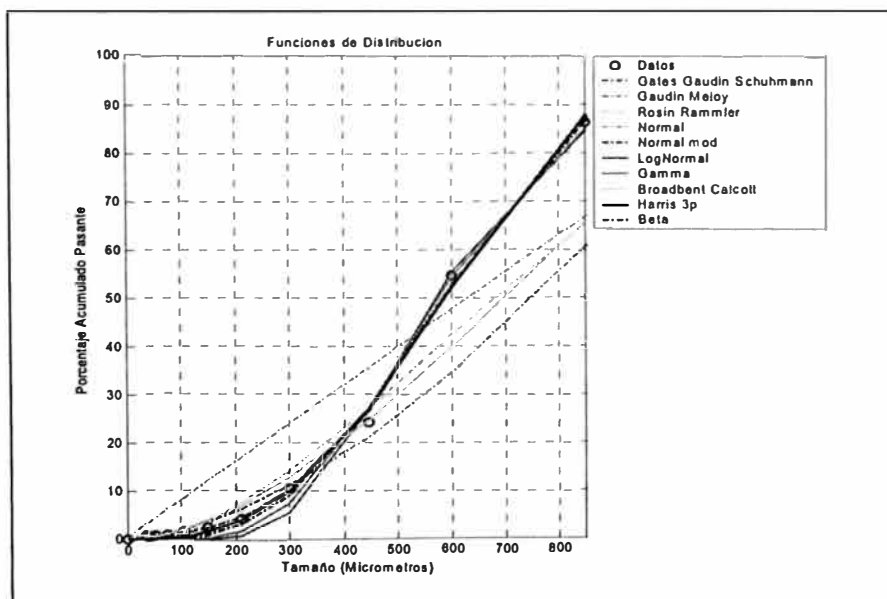
| <b>REBOSE</b>  |             |         |        |        |         |            |           |        |        |        |        |
|----------------|-------------|---------|--------|--------|---------|------------|-----------|--------|--------|--------|--------|
| Parametro      | Estadística | GGS     | GM     | RR     | Normal  | Normal mod | LogNormal | Gamma  | BC     | Harris | Beta   |
| r <sup>2</sup> | NaN         | 0.7711  | 0.9813 | 0.9906 | 0.9971  | 0.9983     | 0.9943    | 0.9961 | 0.9195 | 0.9951 | 0.9921 |
| Min Cuadrado   | NaN         | 0.0609  | 0.0148 | 0.0020 | 0.0023  | 0.0014     | 0.0046    | 0.0031 | 0.0170 | 0.0013 | 0.0021 |
| Alpha          | NaN         | 0.5451  | 2.0482 | 2.2050 | 21.3786 | 23.4376    | 0.4492    | 4.5003 | 1.0369 | 7.1280 | 3.1488 |
| Beta           | NaN         | NaN     | NaN    | NaN    | NaN     | NaN        | NaN       | NaN    | NaN    | 1.9985 | 9.8839 |
| Xo             | NaN         | 115.73  | 121.42 | 47.12  | 40.53   | 38.67      | 40.25     | 9.64   | 94.37  | 131.95 | 176.07 |
| Tamaño Medio   | 39.30       | 40.83   | 39.83  | 41.73  | 40.53   | 41.19      | 44.53     | 43.37  | 40.34  | 41.62  | 42.54  |
| Varianza       | 478.72      | 1201.60 | 804.55 | 399.31 | 457.05  | 445.44     | 443.31    | 418.00 | 702.02 | 407.07 | 404.79 |
| Desv. Std.     | 21.88       | 34.66   | 28.37  | 19.98  | 21.38   | 21.11      | 21.05     | 20.45  | 26.50  | 20.18  | 20.12  |
| CV             | 55.68%      | 84.90%  | 71.23% | 47.88% | 52.74%  | 51.24%     | 47.29%    | 47.14% | 65.68% | 48.48% | 47.30% |

Gráfico 6. 6 Ajuste de Curvas al Alimento



Se observa un mejor ajuste por las funciones Rosin Rammler, Normal Modificada, Gamma, Harris y Beta.

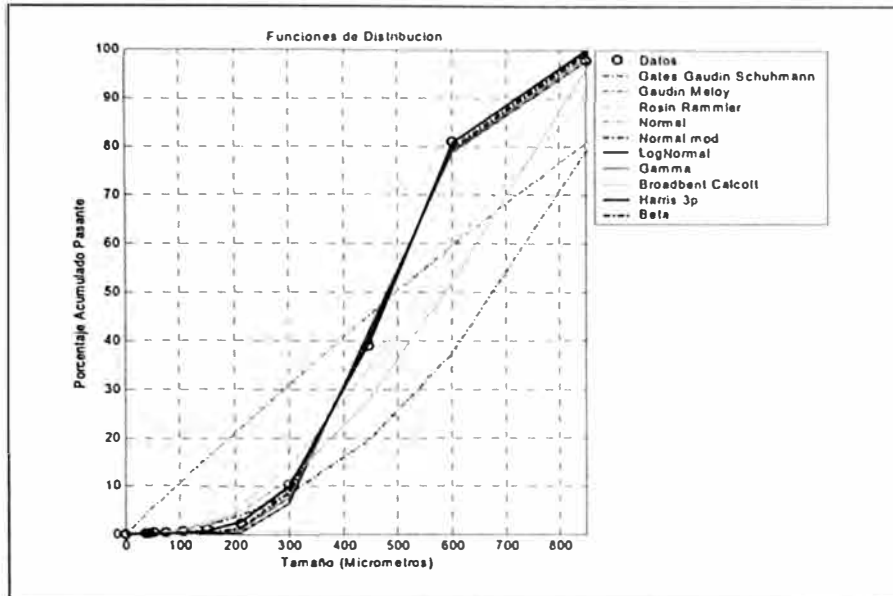
Gráfico 6. 7 Ajuste de Curvas al Spigot #01



Se observa mejor ajuste por las funciones Normal, Normal Modificada, LogNormal, Gamma, Harris y Beta.

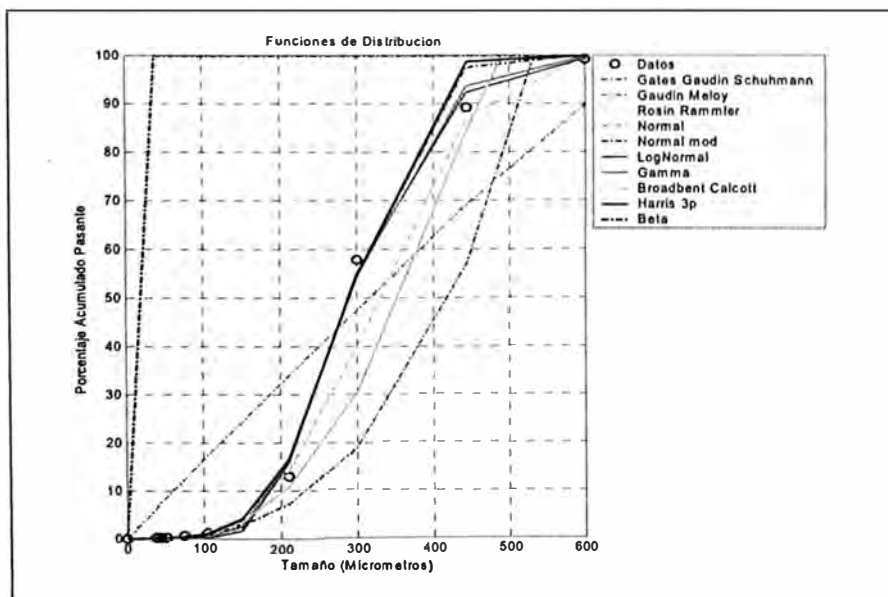


Gráfico 6. 8 Ajuste de Curvas al Spigot #02



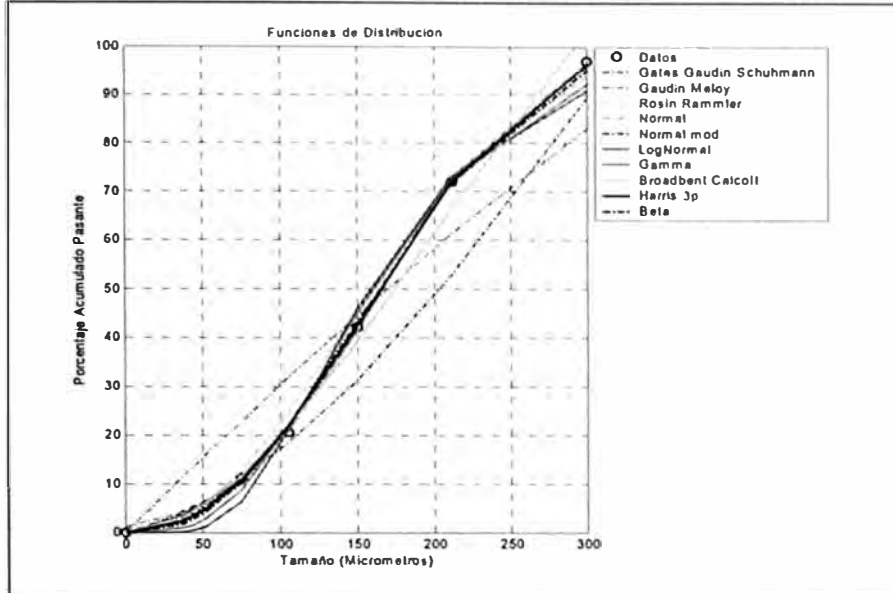
Se observa mejor ajuste por las funciones Normal, Normal Modificada, LogNormal, Gamma, Harris y Beta.

Gráfico 6. 9 Ajuste de Curvas al Spigot #03



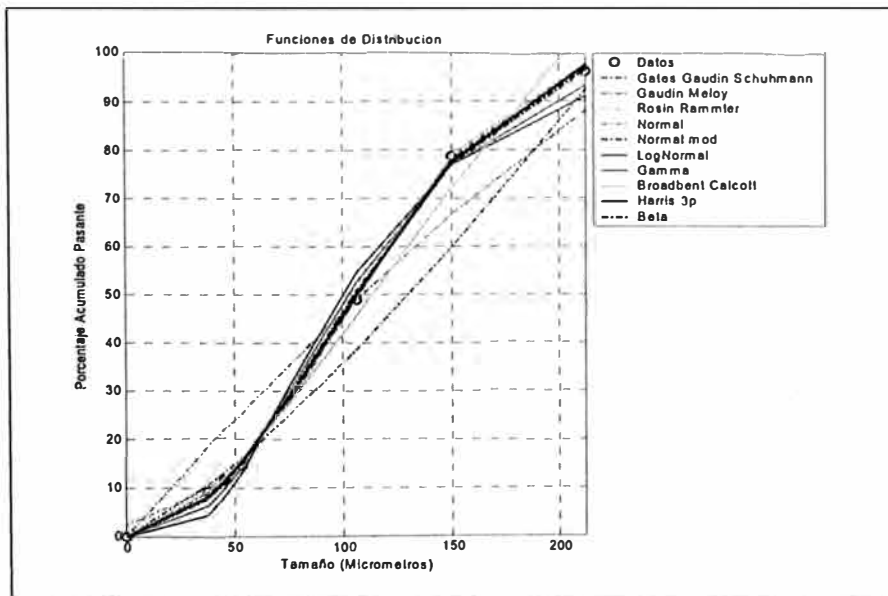
Se observa mejor ajuste por las funciones Normal, Normal Modificada, LogNormal, Gamma, Harris.

Gráfico 6. 10 Ajuste de Curvas al Spigot #04



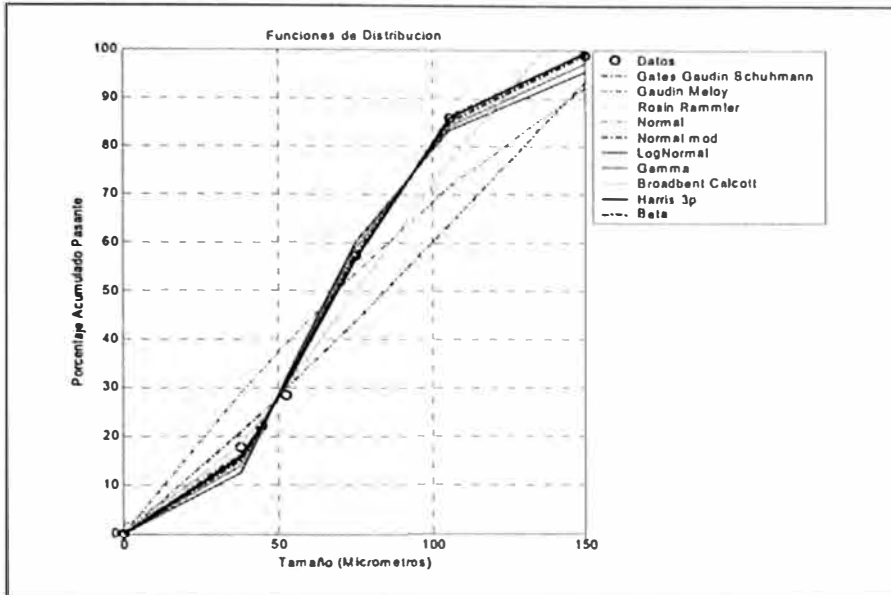
Se observa mejor ajuste por las funciones Normal, Normal Modificada, Harris, Beta.

Gráfico 6. 11 Ajuste de Curvas al Spigot #05



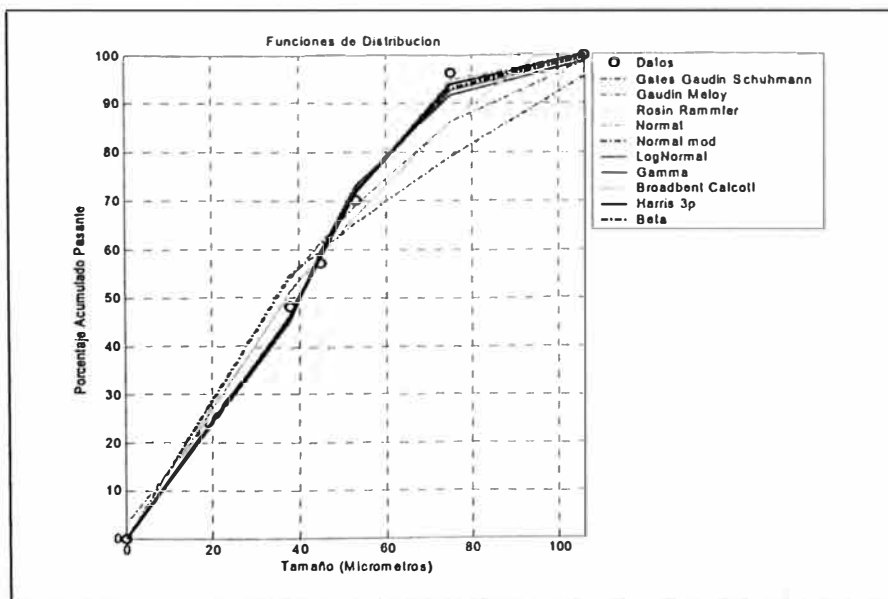
Se observa mejor ajuste por las funciones Rosin Rammler, Normal, Normal Modificada, Harris, Beta.

Gráfico 6. 12 Ajuste de Curvas al Spigot #06



Se observa mejor ajuste por las funciones Rosin Rammler, Normal, Normal Modificada, Harris, Beta.

Gráfico 6. 13 Ajuste de Curvas al Rebose



Se observa mejor ajuste por las funciones Rosin Rammler, Normal, Normal Modificada, LogNormal, Gamma, Harris, Beta.

### **6.4.3.1 Consideraciones para determinar que función de distribución puede representar una muestra.**

- Se establece que una muestra puede ser representada por más de una función de Distribución.
- En una forma general debe de tener un  $R^2$  mayor a 0.99 (Calculada por la ecuación 6.15).
- Si se desea interpolar un dato se debe de hacer una inspección de las gráficas, nótese que existen curvas que pueden tener un  $R^2$  mayor a 0.99 y desviarse de los rangos finos (y/o gruesos). (Ej: La función LogNormal en el Spigot %05 se desvía ligeramente en los rangos finos y gruesos pero mantiene un  $R^2=0.9910$ ).
- Se debe de verificar también que los parámetros estadísticos (básicamente el Tamaño Medio y el Coeficiente de Variación) obtenidos por las funciones de distribución sean los más cercanos a los hallados por las funciones estadísticas (Ecuaciones 6.1 al 6.4).

A continuación se presenta el orden (en forma descendente) que pueden representarse las muestras analizadas por las distintas funciones de distribución.

En Función del  $R^2$ .

**Tabla 6. 22 Orden de preferencia de las Funciones y/o Distribución según el  $R^2$ . (Orden Descendente)**

| Muestra    | Función y/o Distribución |            |            |        |           |           |           |           |     |      |
|------------|--------------------------|------------|------------|--------|-----------|-----------|-----------|-----------|-----|------|
| Alimento   | Gamma                    | LogNormal  | Normal mod | Beta   | Harris    | RR        | GM        | Normal    | BC  | GGs  |
| Spigot #01 | Normal mod               | Normal     | Harris     | Beta   | Gamma     | LogNormal | GM        | RR        | BC  | GGs  |
| Spigot #02 | Normal                   | Normal mod | Harris     | Beta   | Gamma     | LogNormal | RR        | BC        | GM  | GGs  |
| Spigot #03 | LogNormal                | Gamma      | Normal mod | Normal | Harris    | RR        | GM        | BC        | GGs | Beta |
| Spigot #04 | Normal mod               | Harris     | Normal     | Beta   | Gamma     | RR        | BC        | LogNormal | GM  | GGs  |
| Spigot #05 | Normal mod               | Harris     | Beta       | Normal | RR        | Gamma     | LogNormal | BC        | GM  | GGs  |
| Spigot #06 | Normal mod               | Normal     | Harris     | Beta   | RR        | Gamma     | LogNormal | BC        | GM  | GGs  |
| Rebose     | Normal mod               | Normal     | Gamma      | Harris | LogNormal | Beta      | RR        | GM        | BC  | GGs  |

Por similitud en los parámetros Estadísticos.

**Tabla 6. 23 Orden de preferencia de las Funciones y/o Distribución según la similitud de los Parámetros Estadísticos. (Orden Descendente)**

| Muestra    | Función y/o Distribución |           |            |            |            |        |           |           |           |           |
|------------|--------------------------|-----------|------------|------------|------------|--------|-----------|-----------|-----------|-----------|
| Alimento   | GM                       | Gamma     | Normal mod | RR         | BC         | Beta   | Harris    | GGs       | Normal    | LogNormal |
| Spigot #01 | Gamma                    | Beta      | Normal     | Normal mod | LogNormal  | Harris | GGs       | BC        | GM        | RR        |
| Spigot #02 | LogNormal                | Gamma     | Beta       | Normal     | Normal mod | BC     | Harris    | RR        | GM        | GGs       |
| Spigot #03 | Beta                     | LogNormal | Gamma      | RR         | Normal mod | Normal | Harris    | BC        | GM        | GGs       |
| Spigot #04 | Gamma                    | BC        | RR         | Beta       | Normal mod | Normal | Harris    | LogNormal | GM        | GGs       |
| Spigot #05 | Gamma                    | BC        | RR         | Beta       | Normal mod | Normal | GM        | Harris    | LogNormal | GGs       |
| Spigot #06 | RR                       | Harris    | Normal mod | Beta       | Normal     | Gamma  | LogNormal | BC        | GM        | GGs       |
| Rebose     | Normal                   | GM        | Normal mod | BC         | Harris     | RR     | Beta      | Gamma     | LogNormal | GGs       |

Para establecer la similitud en los parámetros estadísticos se utilizó la siguiente fórmula:

**Ecuación 6. 16**

$$\Delta e = \left( \frac{\mu_{estadístico} - \mu_{función}}{\mu_{estadístico}} \right)^2 * \left( \frac{CV_{estadístico} - CV_{función}}{CV_{estadístico}} \right)^2$$

Es decir un menor valor  $\Delta e$  tendrá una mejor aproximación a los parámetros estadísticos.

**Tabla 6. 24 Valores de  $\Delta e$**

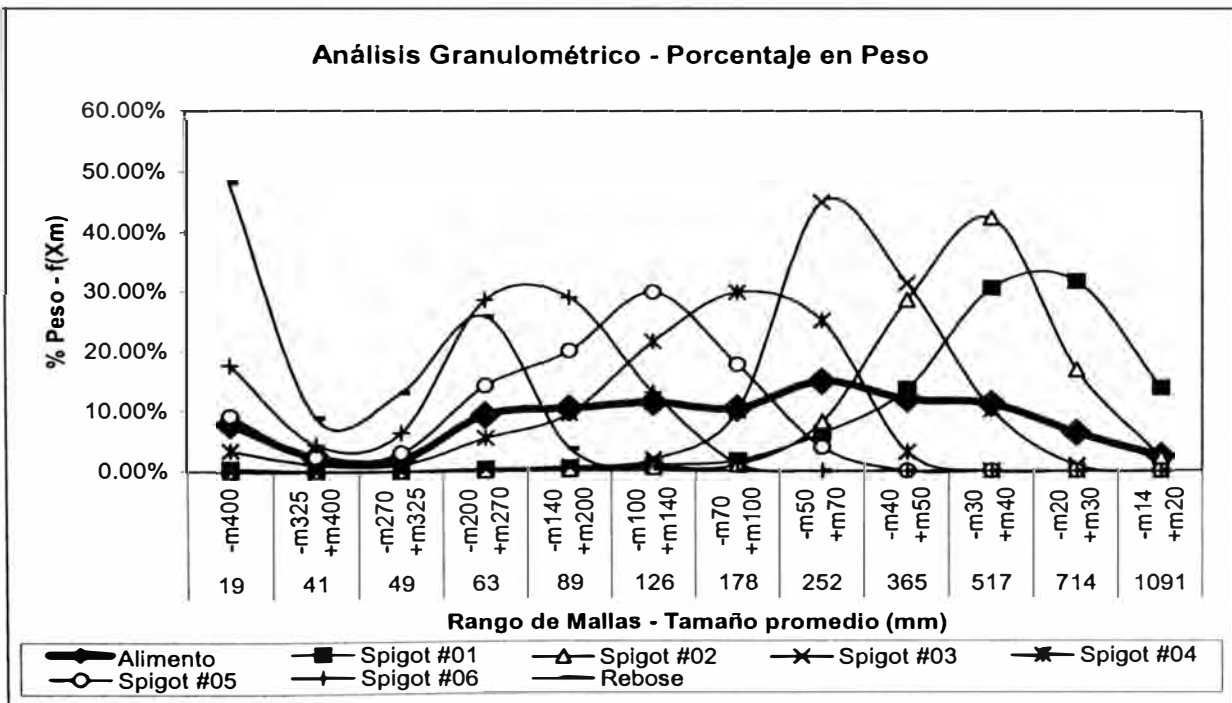
| $\Delta e$        | GGS     | GM      | RR      | Normal  | Normal mod | LogNormal | Gamma   | BC      | Harris  | Beta    |
|-------------------|---------|---------|---------|---------|------------|-----------|---------|---------|---------|---------|
| <i>Alimento</i>   | 0.03715 | 0.00001 | 0.00631 | 0.03851 | 0.00568    | 0.04823   | 0.00265 | 0.00975 | 0.01220 | 0.01206 |
| <i>Spigot #01</i> | 0.00783 | 0.02973 | 0.08946 | 0.00092 | 0.00093    | 0.00117   | 0.00001 | 0.01733 | 0.00139 | 0.00084 |
| <i>Spigot #02</i> | 0.02956 | 0.02500 | 0.01164 | 0.00744 | 0.00744    | 0.00132   | 0.00342 | 0.00878 | 0.00904 | 0.00597 |
| <i>Spigot #03</i> | 0.06239 | 0.03435 | 0.00489 | 0.01252 | 0.01246    | 0.00232   | 0.00454 | 0.02270 | 0.01670 | 0.00000 |
| <i>Spigot #04</i> | 0.01018 | 0.00875 | 0.00069 | 0.00155 | 0.00147    | 0.00321   | 0.00019 | 0.00038 | 0.00182 | 0.00088 |
| <i>Spigot #05</i> | 0.00967 | 0.00345 | 0.00146 | 0.00322 | 0.00302    | 0.00546   | 0.00001 | 0.00048 | 0.00348 | 0.00219 |
| <i>Spigot #06</i> | 0.01818 | 0.01413 | 0.00024 | 0.00086 | 0.00064    | 0.00205   | 0.00100 | 0.00237 | 0.00051 | 0.00073 |
| <i>Rebose</i>     | 0.02047 | 0.00378 | 0.00868 | 0.00166 | 0.00385    | 0.02007   | 0.01591 | 0.00478 | 0.00765 | 0.01243 |

Se observa de manera general, que las funciones que mejor ajustan (para estas muestras) son funciones estadísticas, recuérdese que la función Rosin Rammler también representa una distribución probabilística denominada Distribución Weibull.

Se debe tener en consideración que distribuciones como Gamma, Normal Modificada y LogNormal pueden dar un mejor ajuste (tanto por  $R^2$  como por similitud de parámetros estadísticos) que las funciones de Harris y Distribución Beta, siendo estos dos últimos más difíciles de ajustar debido a que contienen tres parámetros.

Análisis Granulométrico – Porcentaje en Peso

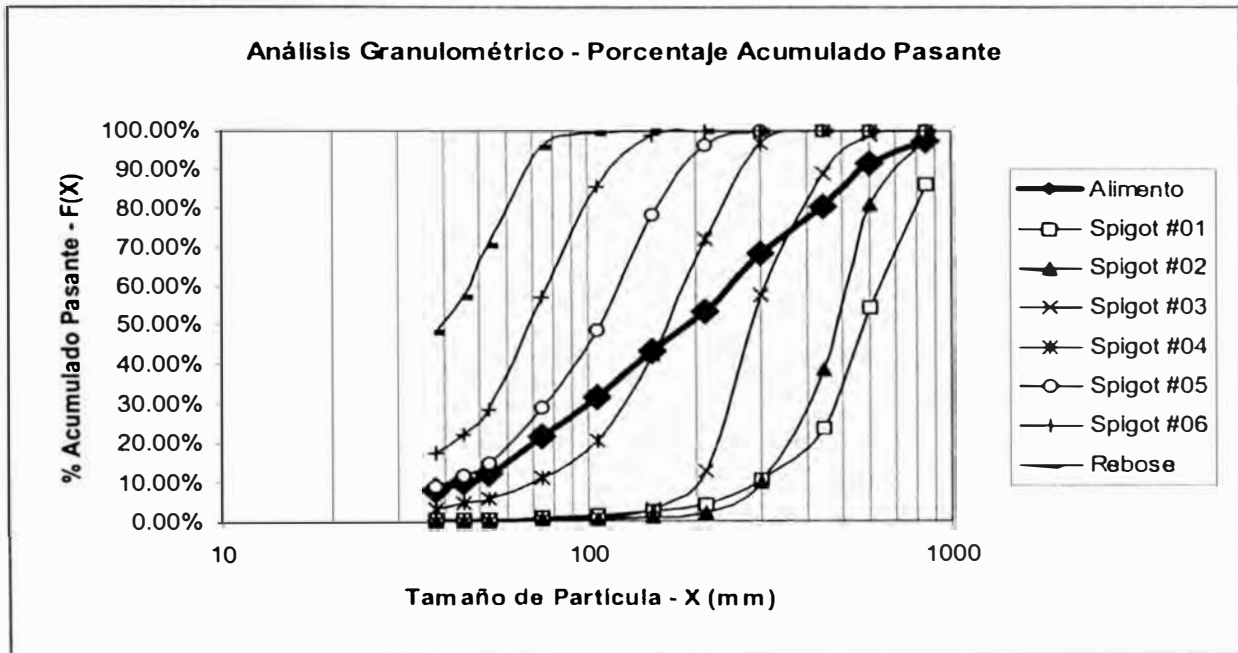
Gráfico 6. 14



- Obsérvese que la curva del Alimento, debido a su mayor Coeficiente de Variación, la campana es más ancha y de bajo pico con respecto a las descargas.

## Análisis Granulométrico – Porcentaje Acumulado Pasante

Gráfico 6. 15



- Obsérvese también la curva del Alimento, la menor pendiente de este debido a su mayor Coeficiente de Variación (prácticamente interseca a las curvas de descarga).



## CAPÍTULO 7

# CÁLCULO DE LA EFICIENCIA DEL CLASIFICADOR STOKES

### 7.1 INTRODUCCIÓN

Para hallar la eficiencia del Clasificador Stokes, tomaremos cada cámara como un clasificador en cada cual tenemos una alimentación, una descarga y un rebose. (Ej: un Hidrociclón).

El rebose de la primera cámara (Rebose #01) será el alimento a la segunda cámara y así sucesivamente hasta la sexta cámara.

La eficiencia del clasificador será el producto de las eficiencias de las cámaras tomadas individualmente. Aquí surge un problema, y es el que no se cuenta con los análisis granulométricos de los reboses de las cámaras (exceptuando el rebose final). Estos análisis granulométricos de los reboses ( $fR1, fR2, fR3, fR4, fR5$ ) se hallarán por balance de masa, para esto es **Necesario** haber corregido los análisis granulométricos de todo el sistema (alimentación, descargas y rebose final).

Una vez calculados todos estos análisis granulométricos, se procede a hallar las curvas de partición.

Recordemos la definición axiomática de Probabilidad [7], [8]:

“La probabilidad  $P(x)$  de un evento  $x$  es un número positivo asignado a este evento:

$$P(x) \geq 0$$

La probabilidad de un cierto evento (un evento que debe ocurrir) es la unidad.

$$P(z) = 1$$

Si  $A$  y  $B$  son mutuamente excluyentes, entonces:

$$P(A + B) = P(A) + P(B)”$$

La definición de evento esta dado como: “Un evento es la ocurrencia, ya sea de un resultado prescrito o de cualquier otro, entre varios posibles resultados de un experimento”. Para nuestro caso: los eventos serán los tamaños promedios de partícula.

Tomemos por ejemplo las partículas de tamaño promedio  $X_{pi}$  (un evento) cuya probabilidad de reportarse a la descarga (producto grueso) estará determinadas por la relación en peso de la cantidad de un material de tamaño  $X_{pi}$  que se descarga de una cámara con respecto a la cantidad de material (de igual tamaño  $X_{pi}$ ) que ingresa a dicha cámara (cantidad total de material de tamaño  $X_{pi}$ ).

Es decir, una curva de Partición, es simplemente una gráfica de probabilidades de reportarse al producto grueso. Como es de suponer (y así ocurre en la práctica) una partícula grueso (por ejemplo  $500 \mu\text{m}$ ) tendrá una mayor

probabilidad de reportarse al producto grueso que una partícula fina (por ejemplo 50  $\mu\text{m}$ ). Pero existen excepciones (como se mencionó en el Capítulo 1) como las curvas tipo “gancho” o “anzuelo” en la que una partícula fina tiene una mayor probabilidad de reportarse a la descarga que una partícula un poco más gruesa. Esto puede presentarse cuando partículas finas quedan adheridas a partículas gruesas, en pulpas de alta viscosidad, se puede presentar también en ciertos clasificadores neumáticos [3].

Posteriormente se utilizan algunos tipos de interpolación y de ajuste de curvas para determinar cuál es el método más preciso para hallar los tamaños de corte ( $d_{50}$ ,  $d_{50c}$ ) para cada cámara. El  $d_{50}$  es el tamaño de partículas que tienen igual probabilidad de reportarse a la Descarga o al Rebose, el cual en la curva de partición es representado por la coordenada ( $d_{50}, 50\%$ ). Es decir el mejor método para determinar el tamaño de corte será el que más se aproxime a la coordenada mencionada.

Sobre este tamaño  $d_{50}$  se regirá la determinación de la eficiencia de la cámara la cual estará dada como el producto de las eficiencias de los finos y la eficiencia de los gruesos

$$\text{Eficiencia de Finos: } n^F = \frac{\text{Peso de partículas Menores a } d_{50} \text{ en el Rebose}}{\text{Peso de partículas Menores a } d_{50} \text{ en el Alimento}}$$

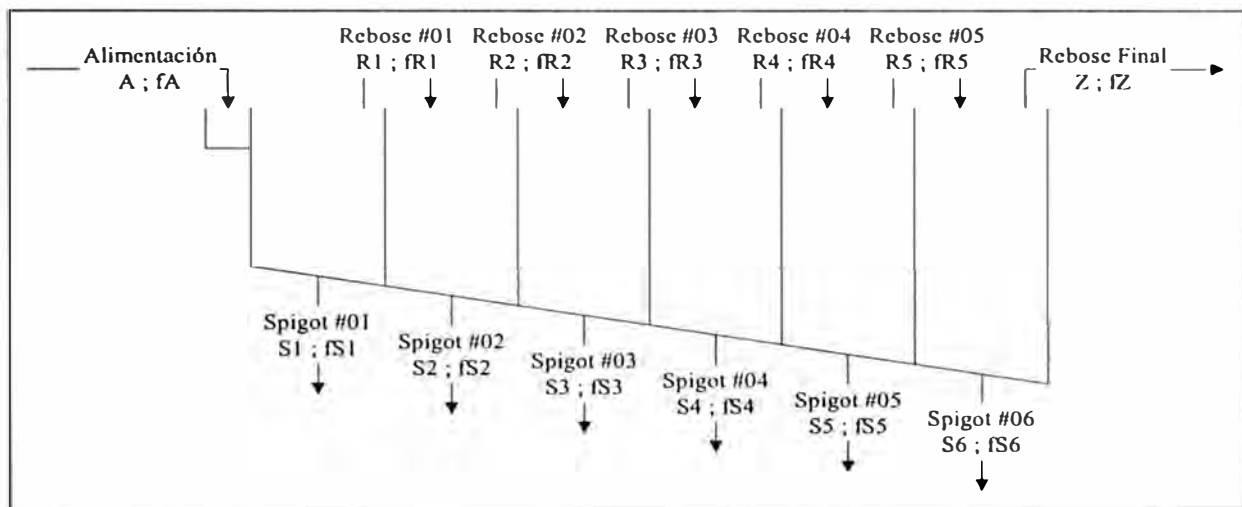
$$\text{Eficiencia de Gruesos: } n^G = \frac{\text{Peso de partículas Mayores a } d_{50} \text{ en la Descarga}}{\text{Peso de partículas Mayores a } d_{50} \text{ en el Alimento}}$$

$$\text{Eficiencia de la cámara: } n = n^F * n^G$$

## 7.2 CÁLCULO DE LOS ANÁLISIS GRANULOMÉTRICOS DE LOS REBOSES.

En la siguiente gráfica se muestra el esquema, en la cual las granulometrías de los Rebores 1 al 5 son desconocidos y que se calcularán por balance de masa usando los análisis granulométricos corregidos (ver el Capítulo 3).

Gráfica 7. 1



Se establecen las siguientes relaciones de caudales:

$$\frac{S1c}{Ac} = \beta1c; \frac{S2c}{Ac} = \beta2c; \frac{S3c}{Ac} = \beta3c; \frac{S4c}{Ac} = \beta4c; \frac{S5c}{Ac} = \beta5c; \frac{S6c}{Ac} = \beta6; \frac{Zc}{Ac} = \beta Zc$$

$$\frac{R1c}{Ac} = \gamma1c; \frac{R2c}{Ac} = \gamma2c; \frac{R3c}{Ac} = \gamma3c; \frac{R4c}{Ac} = \gamma4c; \frac{R5c}{Ac} = \gamma5c$$

Para la Primera Cámara:

$$Ac = S1c + R1c$$

$$1 = \frac{S1c}{Ac} + \frac{R1c}{Ac}$$

$$1 = \beta1c + \gamma1c$$

$$\gamma1c = 1 - \beta1c$$

$$fAc * Ac = fS1c * S1c + fR1c * R1c$$

$$fAc = fS1c * \beta1c + fR1c * \gamma1c$$

$$fR1c = \frac{fAc - fS1c * \beta1c}{\gamma1c}$$

Análogamente se obtienen las relaciones para las siguientes cámaras:

**Ecuación 7. 1**

$$\begin{aligned} \gamma_{1c} &= 1 - \beta_{1c} \\ \gamma_{2c} &= \gamma_{1c} - \beta_{2c} = 1 - \beta_{1c} - \beta_{2c} \\ \gamma_{3c} &= \gamma_{2c} - \beta_{3c} = 1 - \beta_{1c} - \beta_{2c} - \beta_{3c} \\ \gamma_{4c} &= \gamma_{3c} - \beta_{4c} = 1 - \beta_{1c} - \beta_{2c} - \beta_{3c} - \beta_{4c} \\ \gamma_{5c} &= \gamma_{4c} - \beta_{5c} = 1 - \beta_{1c} - \beta_{2c} - \beta_{3c} - \beta_{4c} - \beta_{5c} = \beta_{6c} + \beta_{Zc} \end{aligned}$$

**Ecuación 7. 2**

$$\begin{aligned} fR_{1c} &= \frac{fA_c - fS_{1c} * \beta_{1c}}{\gamma_{1c}} \\ fR_{2c} &= \frac{fR_{1c} * \gamma_{1c} - fS_{2c} * \beta_{2c}}{\gamma_{2c}} \\ fR_{3c} &= \frac{fR_{2c} * \gamma_{2c} - fS_{3c} * \beta_{3c}}{\gamma_{3c}} \\ fR_{4c} &= \frac{fR_{3c} * \gamma_{3c} - fS_{4c} * \beta_{4c}}{\gamma_{4c}} \\ fR_{5c} &= \frac{fR_{4c} * \gamma_{4c} - fS_{5c} * \beta_{5c}}{\gamma_{5c}} = \frac{fS_{6c} * \beta_{6c} + fZc * \beta_{Zc}}{\gamma_{5c}} \end{aligned}$$

$$\frac{S_{1c}}{A_c} = \beta_{1c}$$

$$\frac{S_{2c}}{R_{1c}} = \frac{S_{2c}/A_c}{R_{1c}/A_c} = \frac{\beta_{2c}}{\gamma_{1c}}$$

$$\frac{S_{3c}}{R_{2c}} = \frac{S_{3c}/A_c}{R_{2c}/A_c} = \frac{\beta_{3c}}{\gamma_{2c}}$$

$$\frac{S_{4c}}{R_{3c}} = \frac{S_{4c}/A_c}{R_{3c}/A_c} = \frac{\beta_{4c}}{\gamma_{3c}}$$

$$\frac{S_{5c}}{R_{4c}} = \frac{S_{5c}/A_c}{R_{4c}/A_c} = \frac{\beta_{5c}}{\gamma_{4c}}$$

$$\frac{S_{6c}}{R_{5c}} = \frac{S_{6c}/A_c}{R_{5c}/A_c} = \frac{\beta_{6c}}{\gamma_{5c}}$$

A continuación se presentan los Análisis Granulométricos calculados de los reboses de las Cámaras.

## 7.2.1 Análisis Granulométricos Calculados (Rebose de Cámaras).

Tabla 7. 1 Análisis Granulométricos (Incluido Reboses 1 al 5).

| Malla       | (μm) | Alimento | Alim #02   |            | Alim #03   |            | Alim #04   |            | Alim#05    |            | Alim #06   |            | Rebose |            |            |
|-------------|------|----------|------------|------------|------------|------------|------------|------------|------------|------------|------------|------------|--------|------------|------------|
|             |      |          | Spigot #01 | Rebose #01 | Spigot #02 | Rebose #02 | Spigot #03 | Rebose #03 | Spigot #04 | Rebose #04 | Spigot #05 | Rebose #05 |        | Spigot #06 | Rebose #06 |
|             |      | fAc      | fS1c       | fR1c       | fS2c       | fR2c       | fS3c       | fR3c       | fS4c       | fR4c       | fS5c       | fR5c       | fS6c   | fR6c=fZc   | FZc        |
| -m14 +m20   | 1091 | 2.17%    | 13.84%     | 0.35%      | 2.25%      | 0.04%      | 0.05%      | 0.04%      | 0.04%      | 0.04%      | 0.05%      | 0.03%      | 0.04%  | 0.01%      | 0.01%      |
| -m20 +m30   | 714  | 6.45%    | 31.60%     | 2.51%      | 16.78%     | 0.21%      | 0.89%      | -0.03%     | -0.02%     | -0.03%     | -0.03%     | -0.02%     | -0.03% | -0.01%     | -0.01%     |
| -m30 +m40   | 517  | 11.15%   | 30.52%     | 8.12%      | 42.22%     | 2.63%      | 10.12%     | -0.01%     | -0.01%     | -0.01%     | -0.01%     | 0.00%      | -0.01% | 0.00%      | 0.00%      |
| -m40 +m50   | 365  | 11.80%   | 13.61%     | 11.51%     | 28.49%     | 8.78%      | 31.28%     | 0.86%      | 3.15%      | 0.01%      | 0.01%      | 0.01%      | 0.01%  | 0.00%      | 0.00%      |
| -m50 +m70   | 252  | 14.94%   | 6.24%      | 16.31%     | 8.11%      | 17.63%     | 44.76%     | 8.08%      | 25.02%     | 1.80%      | 3.84%      | -0.01%     | -0.02% | -0.01%     | -0.01%     |
| -m70 +m100  | 178  | 10.22%   | 1.68%      | 11.55%     | 0.97%      | 13.26%     | 9.92%      | 14.43%     | 29.73%     | 8.76%      | 17.63%     | 0.86%      | 1.15%  | 0.00%      | 0.00%      |
| -m100 +m140 | 126  | 11.43%   | 0.97%      | 13.07%     | 0.55%      | 15.09%     | 1.83%      | 19.75%     | 21.45%     | 19.12%     | 29.71%     | 9.69%      | 12.90% | 0.35%      | 0.35%      |
| -m140 +m200 | 89   | 10.21%   | 0.52%      | 11.72%     | 0.31%      | 13.56%     | 0.66%      | 18.10%     | 9.50%      | 21.29%     | 19.95%     | 22.47%     | 28.93% | 3.69%      | 3.69%      |
| -m200 +m270 | 63   | 9.52%    | 0.33%      | 10.96%     | 0.07%      | 12.71%     | 0.36%      | 17.06%     | 5.42%      | 21.38%     | 14.16%     | 27.81%     | 28.50% | 25.79%     | 25.79%     |
| -m270 +m325 | 49   | 2.42%    | 0.02%      | 2.79%      | 0.01%      | 3.24%      | -0.05%     | 4.40%      | 1.04%      | 5.65%      | 2.96%      | 8.03%      | 6.31%  | 13.06%     | 13.06%     |
| -m325 +m400 | 41   | 1.91%    | 0.15%      | 2.19%      | 0.15%      | 2.52%      | 0.11%      | 3.36%      | 1.23%      | 4.15%      | 2.48%      | 5.65%      | 4.51%  | 8.94%      | 8.94%      |
| -m400       |      | 7.77%    | 0.52%      | 8.91%      | 0.10%      | 10.33%     | 0.06%      | 13.94%     | 3.44%      | 17.83%     | 9.24%      | 25.49%     | 17.70% | 48.17%     | 48.17%     |

Tabla 7. 2 Relación de Caudales

|      |            |      |            |
|------|------------|------|------------|
| β1c  | 0.13531075 | γ1 c | 0.86468925 |
| β2 c | 0.12001136 | γ2 c | 0.74467788 |
| β3 c | 0.19379033 | γ3 c | 0.55088756 |
| β4 c | 0.14903508 | γ4 c | 0.40185247 |
| β5 c | 0.18927903 | γ5 c | 0.21257344 |
| β6 c | 0.15822086 |      |            |
| βZ c | 0.05435258 |      |            |

### 7.3 DETERMINACIÓN DE LAS CURVAS DE PARTICIÓN

La curva de partición para la separación se dibuja trazando el coeficiente de partición, definido como el porcentaje de cada fracción de la alimentación que se presenta en el producto grueso, contra el tamaño medio geométrico sobre una escala logarítmica.

El tamaño de separación se obtiene con el 50% de probabilidad, es decir, el tamaño en el cual una partícula tiene igual oportunidad de reportarse al producto grueso o al fino (d50) [9].

$ED(X_p)$ : Son las eficiencias puntuales de las descargas para cada rango de mallas

#### Ecuación 7. 3

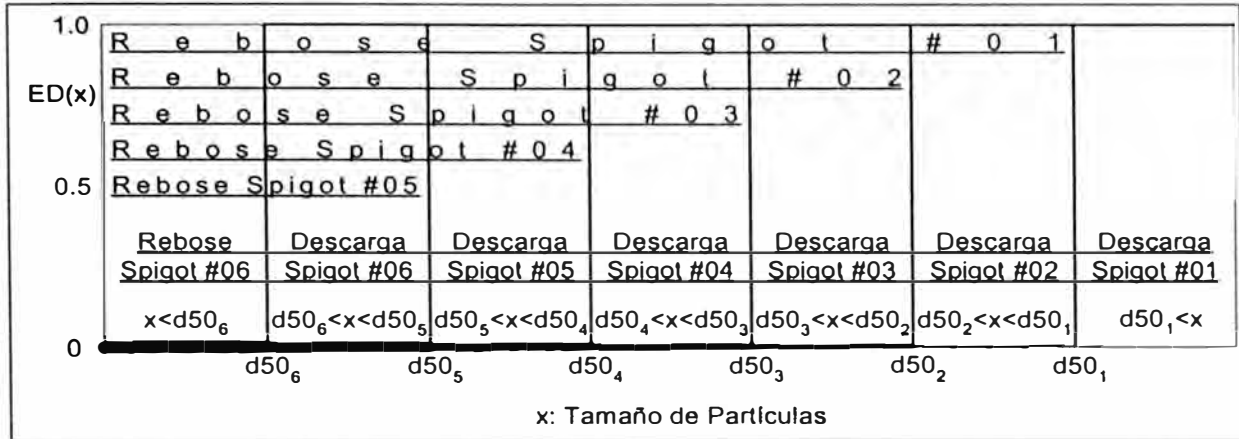
$$ED(X_p) = \frac{\text{Peso de material de tamaño } X_p \text{ en la Descarga}}{\text{Peso de material de tamaño } X_p \text{ en el Alimento}}$$

#### Ecuación 7. 4

$$\begin{aligned} ED(X_p)\#01 &= \frac{fS1c * S1c}{fAc * Ac} = \frac{fS1c}{fAc} * \beta1c \\ ED(X_p)\#02 &= \frac{fS2c * S2c}{fR1c * R1c} = \frac{fS2c}{fR1c} * \beta2c \\ ED(X_p)\#03 &= \frac{fS3c * S3c}{fR2c * R2c} = \frac{fS3c}{fR2c} * \beta3c \\ ED(X_p)\#04 &= \frac{fS4c * S4c}{fR3c * R3c} = \frac{fS4c}{fR3c} * \beta4c \\ ED(X_p)\#05 &= \frac{fS5c * S5c}{fR4c * R4c} = \frac{fS5c}{fR4c} * \beta5c \\ ED(X_p)\#06 &= \frac{fS6c * S6c}{fR5c * R5c} = \frac{fS6c}{fR5c} * \beta6c \end{aligned}$$

### 7.3.1 Curvas de Partición Ideales.

Gráfica 7. 2 Curvas de Partición Ideales para el Clasificador Stokes



Estas curvas de partición implican que sólo existen dos probabilidades: cero o uno. Lo que significa:

- En la descarga del Spigot #01, sólo existirán partículas mayores a  $d50_1$ .
- El rebose del Spigot #01 sólo existirán partículas menores a  $d50_1$ .
- En la descarga del Spigot #02, sólo existirán partículas menores que  $d50_1$  y mayores a  $d50_2$ .
- En el rebose del Spigot #02, sólo existirán partículas menores a  $d50_2$ .
- Y así sucesivamente. Por lo tanto en el Rebose del Spigot #06 sólo existirán partículas menores a  $d50_6$ .

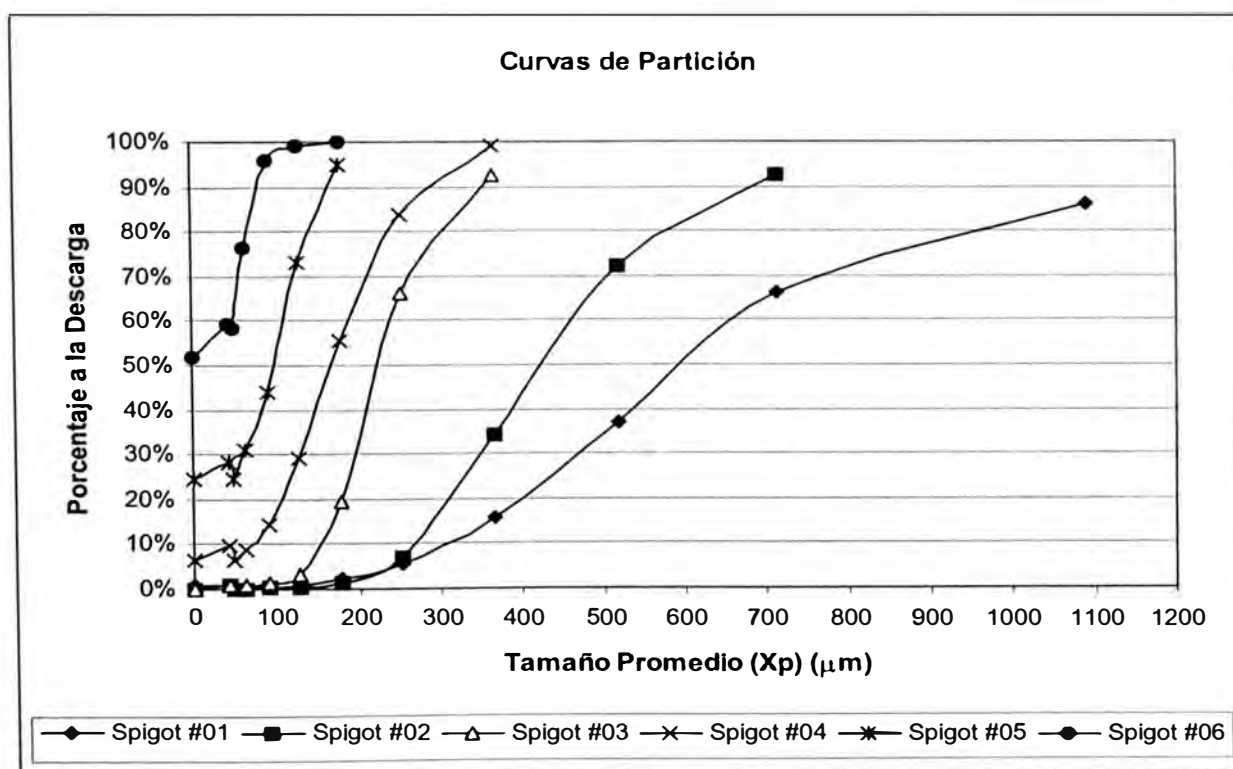


### 7.3.2 Curvas de Partición

Tabla 7.3 Curvas de Partición

| T. Prom ( $\mu\text{m}$ ) | ED( $X_p$ ) |            |            |            |            |            |
|---------------------------|-------------|------------|------------|------------|------------|------------|
|                           | Spigot #01  | Spigot #02 | Spigot #03 | Spigot #04 | Spigot #05 | Spigot #06 |
| 1090.8712                 | 86.1320%    | 89.5493%   | 30.3888%   | 25.8195%   | 56.1416%   | 89.4448%   |
| 714.1428                  | 66.3181%    | 92.7394%   | 109.1077%  | 25.8195%   | 56.1416%   | 89.4448%   |
| 516.7204                  | 37.0176%    | 72.1169%   | 100.1506%  | 25.8195%   | 56.1416%   | 89.4448%   |
| 365.3765                  | 15.6100%    | 34.3417%   | 92.7453%   | 99.0218%   | 56.1416%   | 89.4448%   |
| 252.1904                  | 5.6462%     | 6.9004%    | 66.0751%   | 83.7439%   | 100.4031%  | 89.4448%   |
| 178.3255                  | 2.2245%     | 1.1636%    | 19.4768%   | 55.7279%   | 94.8185%   | 99.8829%   |
| 126.0952                  | 1.1500%     | 0.5881%    | 3.1629%    | 29.3792%   | 73.1921%   | 99.0694%   |
| 89.1628                   | 0.6923%     | 0.3667%    | 1.2700%    | 14.2076%   | 44.1493%   | 95.8029%   |
| 63.0476                   | 0.4690%     | 0.0930%    | 0.7308%    | 8.5896%    | 31.1914%   | 76.2904%   |
| 48.8365                   | 0.1014%     | 0.0254%    | -0.3904%   | 6.4061%    | 24.7263%   | 58.4452%   |
| 41.3521                   | 1.0768%     | 0.9209%    | 1.1268%    | 9.8848%    | 28.0899%   | 59.4906%   |
| 0                         | 0.9103%     | 0.1582%    | 0.1477%    | 6.6843%    | 24.4004%   | 51.6783%   |

Gráfica 7.3



#### 7.4 CÁLCULO DEL PARÁMETRO D50

Para el cálculo de este parámetro se interpolaron los datos, con excepción de la curva del Spigot #06 en donde el cálculo fue por extrapolación.

Se usaron dos formas de interpolación:

- a) Interpolación Lineal.
- b) Interpolación de Lagrange (ver Apéndice I)

Para la interpolación Lineal, se tomaron los dos puntos más cercanos a 50% (uno >50% y el otro <50%).

Para la interpolación por Lagrange los puntos que se tomaron para el cálculo están sombreados, una razón para no usar más datos es una desviación en el resultado.

Los d50 calculados son:

**Tabla 7. 4** Calculo de los d50 por Interpolación Lineal e Interpolación de Lagrange.

| Interpolación   | <i>Spigot #01</i> | <i>Spigot #02</i> | <i>Spigot #03</i> | <i>Spigot #04</i> | <i>Spigot #05</i> | <i>Spigot #06</i> |
|-----------------|-------------------|-------------------|-------------------|-------------------|-------------------|-------------------|
| <i>Lineal</i>   | 604.19            | 428.11            | 226.71            | 166.97            | 96.60             | 42.11             |
| <i>Lagrange</i> | 583.96            | 411.85            | 223.42            | 166.86            | 98.70             | 45.33             |

Por convención, una porción de cada fracción del tamaño de alimentación que interesa se supone que entra en el hundido por corto-circuito en proporción directa a la fracción de agua de alimentación que aparece en el hundido.<sup>12</sup>

<sup>12</sup> “Diseño de Plantas de Proceso de Minerales”, Mular Bhappu, Segunda Edición, Editorial Rocas y Minerales 1985; Pag #339

## 7.5 CORRECCIÓN DE LAS CURVAS DE PARTICIÓN

La Curva de Partición se corrige mediante la siguiente ecuación:

**Ecuación 7. 5**

$$ED_c(X_p) = \frac{ED(X_p) - K}{1 - K}$$

$$K = \frac{D * FD(X_n)}{A * FA(X_n)}$$

Donde:

D: Descarga

A: Alimentación

F: Fracción Acumulada Pasante

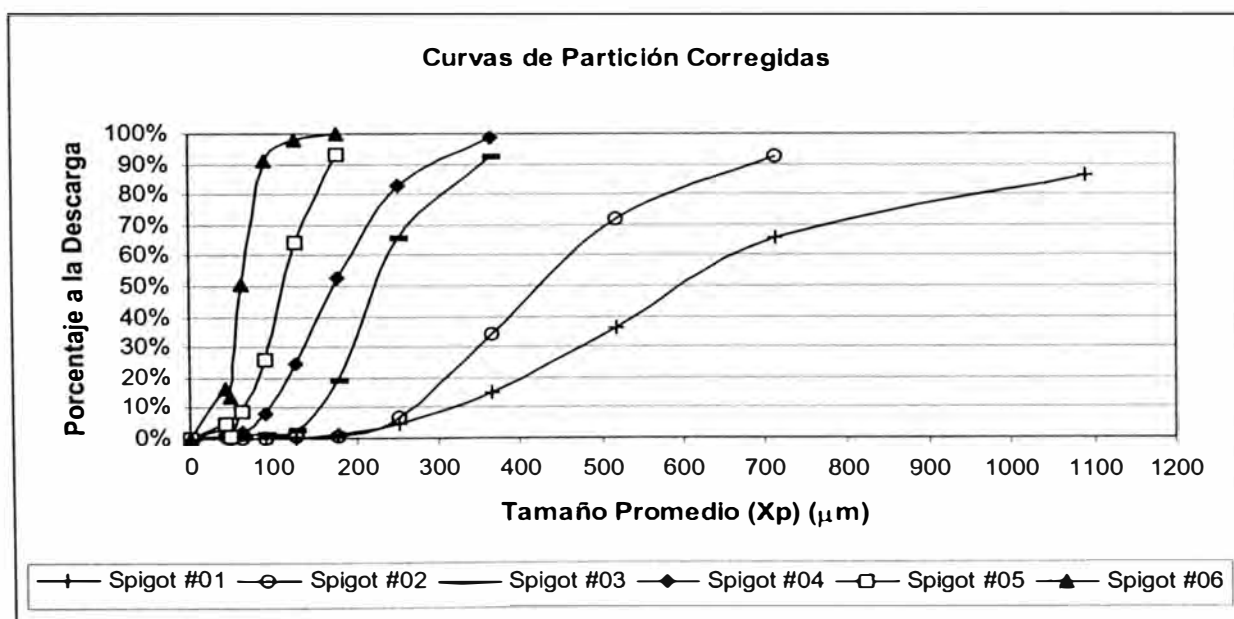
X<sub>n</sub>: Abertura de la malla más fina que se usó para el análisis granulométrico.

Para nuestros datos en particular, vemos que para los cuatro primeros Spigots en el tamaño de 48.8 μm son los menores valores (términos ED), por lo cual se utilizaran estos como el factor  $K$ . El principal motivo para que sea el menor valor es que como se mencionó anteriormente, estas curvas de partición son probabilidades (valores entre cero y uno), por lo tanto si estrictamente se escoge los valores de tamaño más fino habría intervalos cuyos valores ED<sub>c</sub> serian negativos.

Tabla 7. 5 Curvas de Partición Corregidas.

| T. Prom   | EDc(Xp)    |            |            |            |            |            |
|-----------|------------|------------|------------|------------|------------|------------|
|           | Spigot #01 | Spigot #02 | Spigot #03 | Spigot #04 | Spigot #05 | Spigot #06 |
| 1090.8712 | 86.1179%   | 89.5466%   | 30.6595%   | 20.7421%   | 41.9859%   | 78.1563%   |
| 714.1428  | 66.2839%   | 92.7376%   | 109.0723%  | 20.7421%   | 41.9859%   | 78.1563%   |
| 516.7204  | 36.9537%   | 72.1098%   | 100.1500%  | 20.7421%   | 41.9859%   | 78.1563%   |
| 365.3765  | 15.5244%   | 34.3250%   | 92.7735%   | 98.9548%   | 41.9859%   | 78.1563%   |
| 252.1904  | 5.5505%    | 6.8768%    | 66.2071%   | 82.6312%   | 100.5332%  | 78.1563%   |
| 178.3255  | 2.1253%    | 1.1385%    | 19.7900%   | 52.6976%   | 93.1461%   | 99.7578%   |
| 126.0952  | 1.0497%    | 0.5628%    | 3.5395%    | 24.5455%   | 64.5396%   | 98.0743%   |
| 89.1628   | 0.5915%    | 0.3414%    | 1.6539%    | 8.3354%    | 26.1230%   | 91.3143%   |
| 63.0476   | 0.3680%    | 0.0676%    | 1.1169%    | 2.3329%    | 8.9829%    | 50.9340%   |
| 48.8365   | 0.0000%    | 0.0000%    | 0.0000%    | 0.0000%    | 0.4310%    | 14.0040%   |
| 41.3521   | 0.9764%    | 0.8957%    | 1.5114%    | 3.7168%    | 4.8803%    | 16.1674%   |
| 0         | 0.8098%    | 0.1328%    | 0.5360%    | 0.2972%    | 0.0000%    | 0.0000%    |

Gráfica 7. 4



## 7.6 ECUACIONES DE LA CURVA DE PARTICIÓN

### CORREGIDA.

Las curvas de partición corregidas se ajustaron a cuatro funciones:

### 7.6.1 Plitt

#### Ecuación 7. 6

$$EDc(Xp) = 1 - \exp\left[\ln(0.50) * \left(\frac{Xp}{d50c}\right)^a\right]$$

Esta curva es análoga a la Distribución Weibull Acumulada por lo tanto similar a la función Rosin Rammler utilizada en el Capítulo 6.

### 7.6.2 Lynch

#### Ecuación 7. 7

$$EDc(Xp) = \frac{\exp\left(a * \frac{Xp}{d50c}\right) - 1}{\exp\left(a * \frac{Xp}{d50c}\right) + \exp(a) - 2}$$

### 7.6.3 Distribución LogNormal

#### Ecuación 7. 8

$$EDc(Xp) = \int_0^{Xp} \frac{1}{\sqrt{2 * \pi * \alpha * x}} * e^{-\frac{\left(\ln\left(\frac{x}{d50c}\right)\right)^2}{2 * \alpha^2}} dx = \text{logncdf}(Xp, \ln(d50c), \alpha)$$

Esta curva es similar a la ecuación 6.8.

### 7.6.4 Logística en ln(x).

#### Ecuación 7. 9

$$EDc(Xp) = \frac{1}{1 + \left(\frac{Xp}{d50c}\right)^{-a}}$$

### 7.6.4.1 Método para ajustar los parámetros a la curvas de Partición.

Para hallar los parámetros en la Curva de Plitt, esta puede obtenerse como una recta, sólo basta hacer uso de logaritmos que no se describirán en este trabajo. Para las ecuaciones de Lynch, LogNormal, Logística en  $\ln(X)$  e incluso en los ajustes de curvas del Capítulo 6 se utilizó el método de los mínimos cuadrados

#### Ecuación 7. 10

$$S = \sum_{i=1}^k \left( F(\text{Datos}) - \hat{F}(\text{Función}) \right)^2$$

Es decir (para el caso de las funciones de las curvas de partición),  $a$  y  $d50c$  son parámetros con la cual  $S$  toma un valor mínimo.

El punto mínimo puede hallarse con ayuda del Solver de Microsoft Excel 2000 o de algún software como Matlab, pero por el tipo de función, se debe de introducir previamente un vector inicial con valores aproximados. Para esto se procedió de la siguiente manera (usando Microsoft Excel 2000):

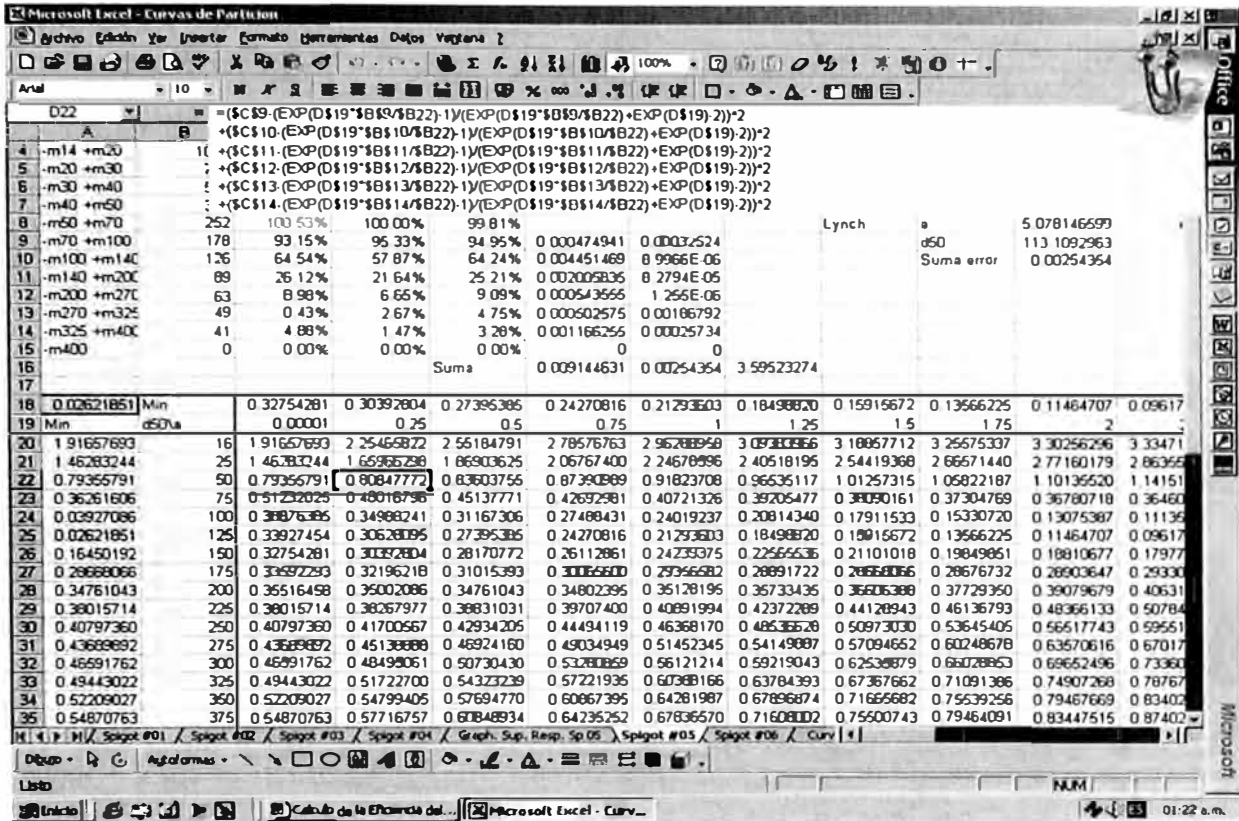
Se construye una tabla de  $S$  en función de los parámetros “ $a$ ” y “ $d50$ ” y se ubican los parámetros para el valor mínimo de  $S$  obtenido.

**Tabla 7. 6 Especificaciones para el ajuste de las curvas de partición**

| <i>Parámetro</i> | <i>Rango</i>                          | <i>Incrementos</i> |
|------------------|---------------------------------------|--------------------|
| “ <b>a</b> ”     | 1E-12 a 10                            | 0.25               |
| “ <b>d50</b> ”   | 1 hasta el tamaño máximo de partícula | 25 $\mu$ m         |

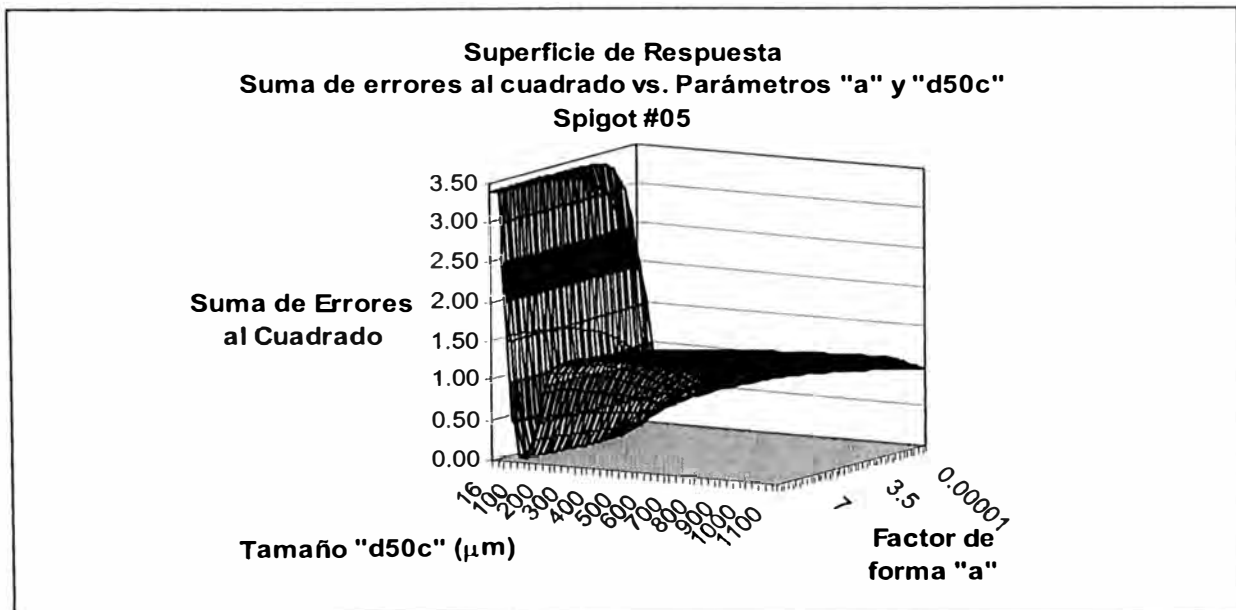
Como ejemplo se presenta la hoja para el Spigot #05 para el ajuste de la función de Lynch.

Gráfica 7. 5 Ejemplo de cálculo de los Parámetros “a” y “d50c” en Excel.



Como referencia se muestra el gráfico de la Superficie de Respuesta para la Curva de Partición del Spigot #05

Gráfica 7. 6 Superficie de Respuesta de los Mínimos Cuadrados vs. Parámetros “a” y “d50c”



### 7.6.5 Parámetros de las Funciones Ajustadas

Se obtuvieron los siguientes ajustes:

**Tabla 7. 7 Parámetros de ajuste de las Curvas de Partición para el Spigot #01**

| Spigot #01 |         |         |           |                 |
|------------|---------|---------|-----------|-----------------|
| Parametro  | Plitt   | Lynch   | LogNormal | Logistica en ln |
| r2         | 0.95016 | 0.98916 | 0.99782   | 0.99876         |
| a          | 2.0096  | 3.622   | 0.50644   | 3.3402          |
| d50c       | 729.9   | 619.95  | 599.6     | 599.29          |

**Tabla 7. 8 Parámetros de ajuste de las Curvas de Partición para el Spigot #02**

| Spigot #02 |         |         |           |                 |
|------------|---------|---------|-----------|-----------------|
| Parametro  | Plitt   | Lynch   | LogNormal | Logistica en ln |
| r2         | 0.90942 | 0.99528 | 0.99983   | 0.9997          |
| a          | 2.6874  | 5.0813  | 0.3526    | 4.7915          |
| d50c       | 528.27  | 433.35  | 421.47    | 421.43          |

**Tabla 7. 9 Parámetros de ajuste de las Curvas de Partición para el Spigot #03**

| Spigot #03 |         |         |           |                 |
|------------|---------|---------|-----------|-----------------|
| Parametro  | Plitt   | Lynch   | LogNormal | Logistica en ln |
| r2         | 0.93263 | 0.99667 | 0.99828   | 0.99909         |
| a          | 2.6947  | 6.2612  | 0.29358   | 5.7583          |
| d50c       | 262.79  | 229.2   | 225.67    | 225.73          |

**Tabla 7. 10 Parámetros de ajuste de las Curvas de Partición para el Spigot #04**

| Spigot #04 |         |         |           |                 |
|------------|---------|---------|-----------|-----------------|
| Parametro  | Plitt   | Lynch   | LogNormal | Logistica en ln |
| r2         | 0.99571 | 0.99746 | 0.99756   | 0.99677         |
| a          | 2.4973  | 4.024   | 0.43012   | 3.9223          |
| d50c       | 180.26  | 176.72  | 169.99    | 170.18          |

**Tabla 7. 11 Parámetros de ajuste de las Curvas de Partición para el Spigot #05**

| Spigot #05 |         |         |           |                 |
|------------|---------|---------|-----------|-----------------|
| Parametro  | Plitt   | Lynch   | LogNormal | Logistica en ln |
| r2         | 0.98695 | 0.99641 | 0.99534   | 0.99565         |
| a          | 3.6663  | 5.078   | 0.35496   | 4.7536          |
| d50c       | 118.7   | 113.11  | 110.02    | 110.17          |



**Tabla 7. 12 Parámetros de ajuste de las Curvas de Partición para el Spigot #06**

| Spigot #06     |         |         |           |                 |
|----------------|---------|---------|-----------|-----------------|
| Parametro      | Plitt   | Lynch   | LogNormal | Logística en ln |
| r <sup>2</sup> | 0.94426 | 0.99131 | 0.99022   | 0.98823         |
| a              | 2.7058  | 6.0509  | 0.28793   | 5.9327          |
| d50c           | 69.145  | 63.425  | 62.529    | 62.518          |

Se presenta el orden de las funciones según su  $r^2$  (en forma descendente).

**Tabla 7. 13 Orden de preferencia de las Curvas de Partición según el  $R^2$ . (Orden Descendente)**

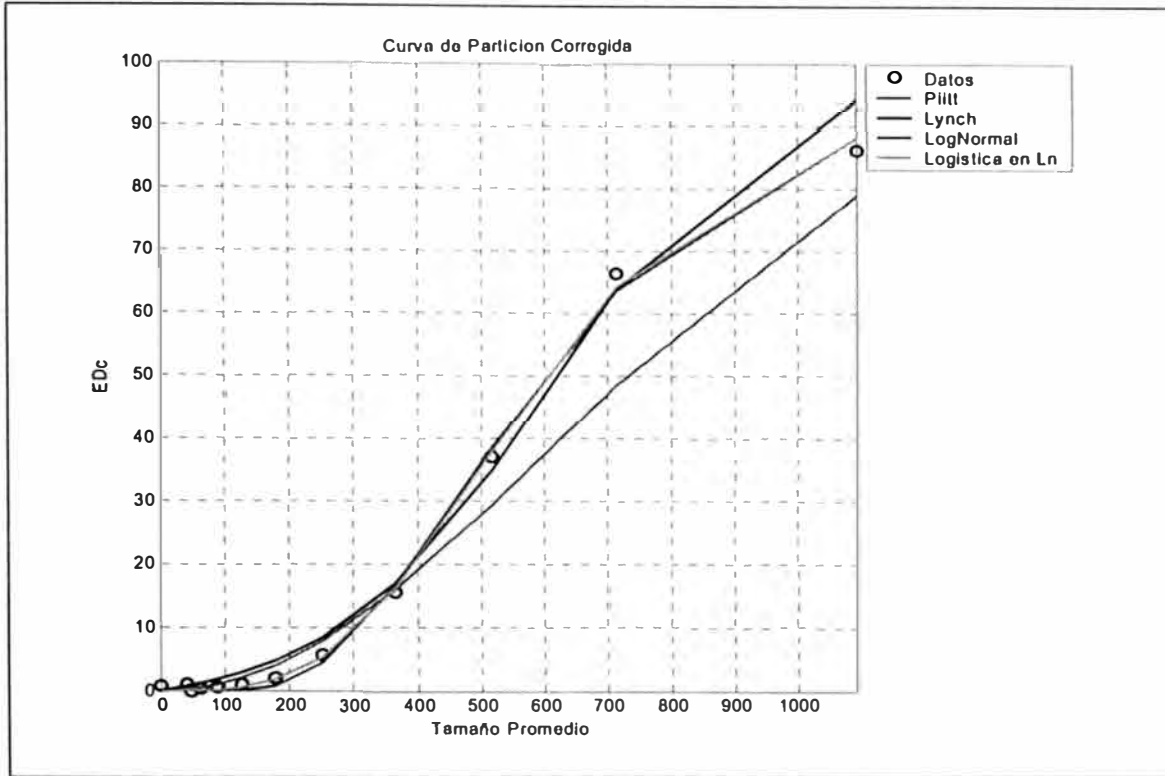
| Muestra    | Función         |                 |                 |       |
|------------|-----------------|-----------------|-----------------|-------|
| Spigot #01 | Logística en ln | LogNormal       | Lynch           | Plitt |
| Spigot #02 | LogNormal       | Logística en ln | Lynch           | Plitt |
| Spigot #03 | Logística en ln | LogNormal       | Lynch           | Plitt |
| Spigot #04 | LogNormal       | Lynch           | Logística en ln | Plitt |
| Spigot #05 | Lynch           | Logística en ln | LogNormal       | Plitt |
| Spigot #06 | Lynch           | LogNormal       | Logística en ln | Plitt |

- Se observa que para todas las curvas de partición usadas, la Función de Plitt es la que menos se ajusta a la curva de Partición.
- Se ve también que la curva de Lynch se ajusta mejor cuando las muestras son mas finas (Spigot #05 y #06).
- En casi todos los casos, las Curvas de Lynch, LogNormal y la Logística en ln presentan un  $r^2$  mayor a 0.99

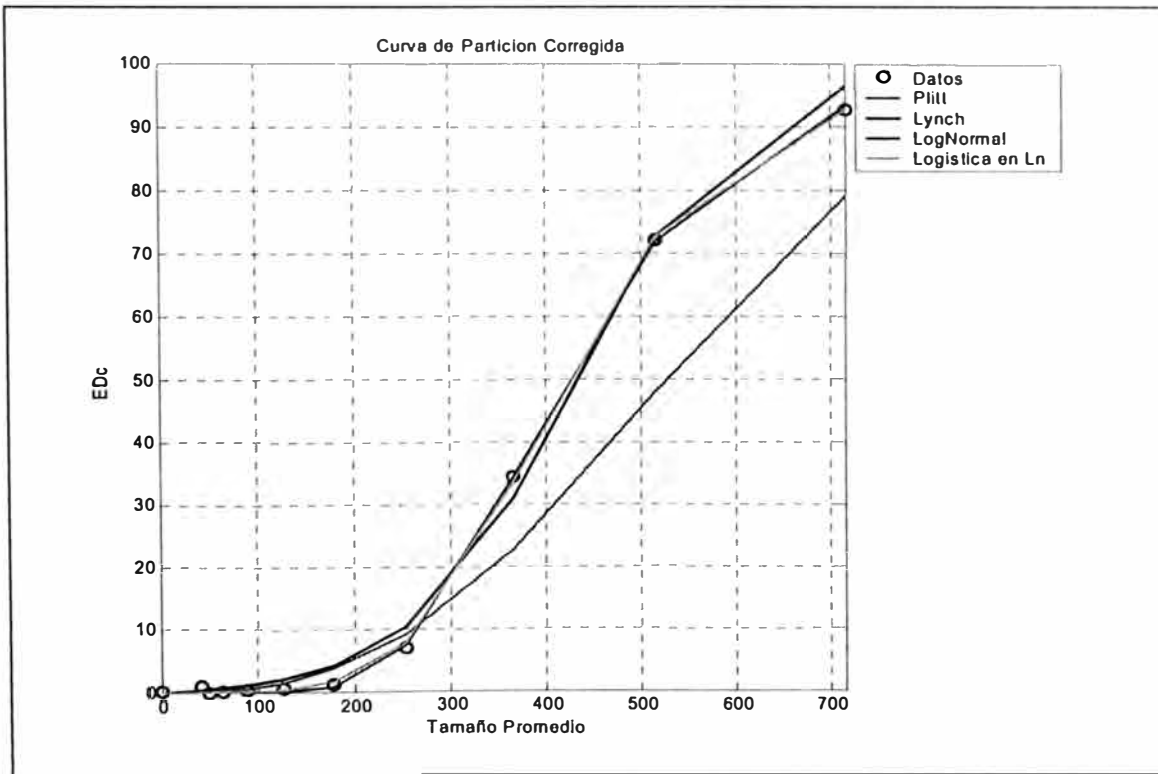
### 7.6.6 Gráficos de los Datos y Funciones Ajustadas

Se presenta los gráficos de las funciones con las curvas ajustadas.

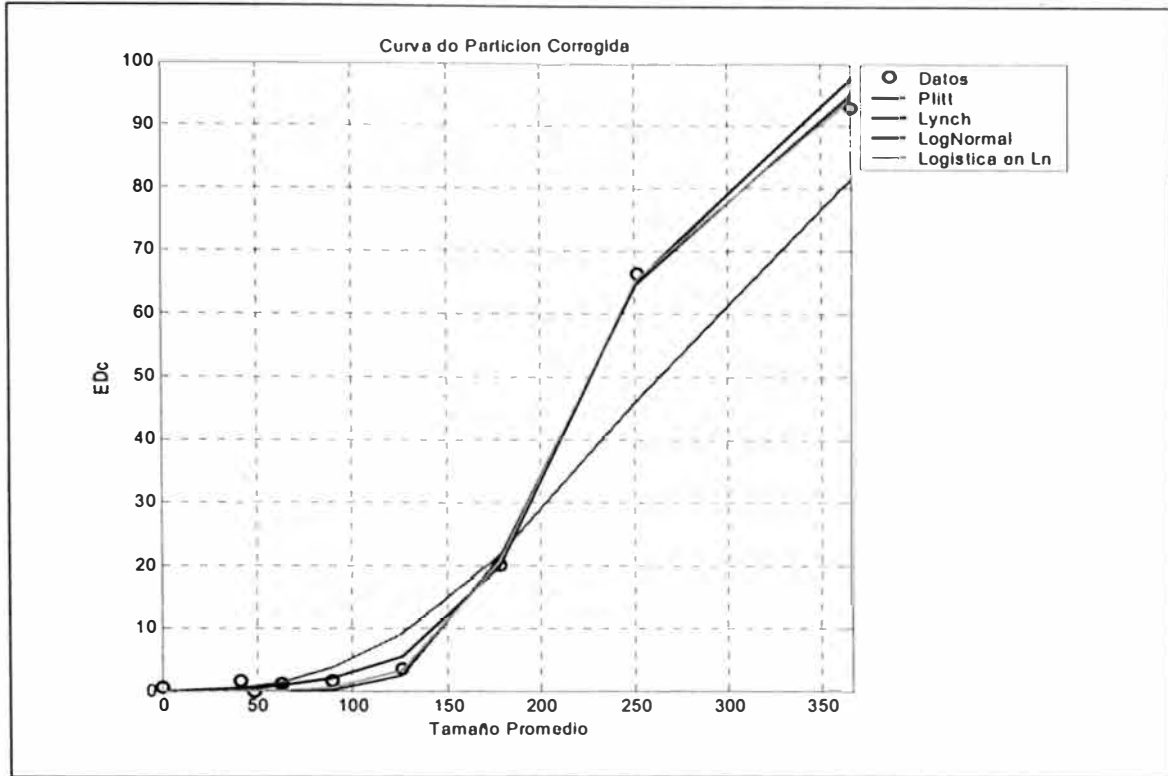
Gráfica 7. 7 Spigot #01



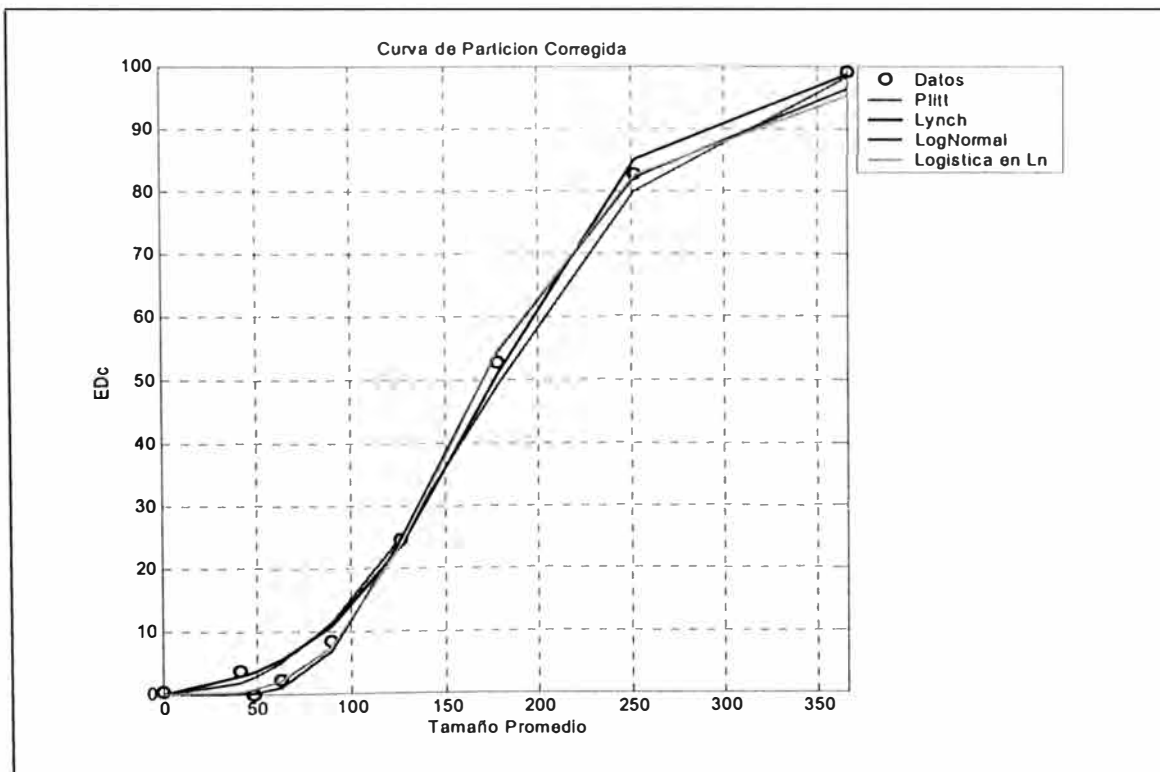
Gráfica 7. 8 Spigot #02



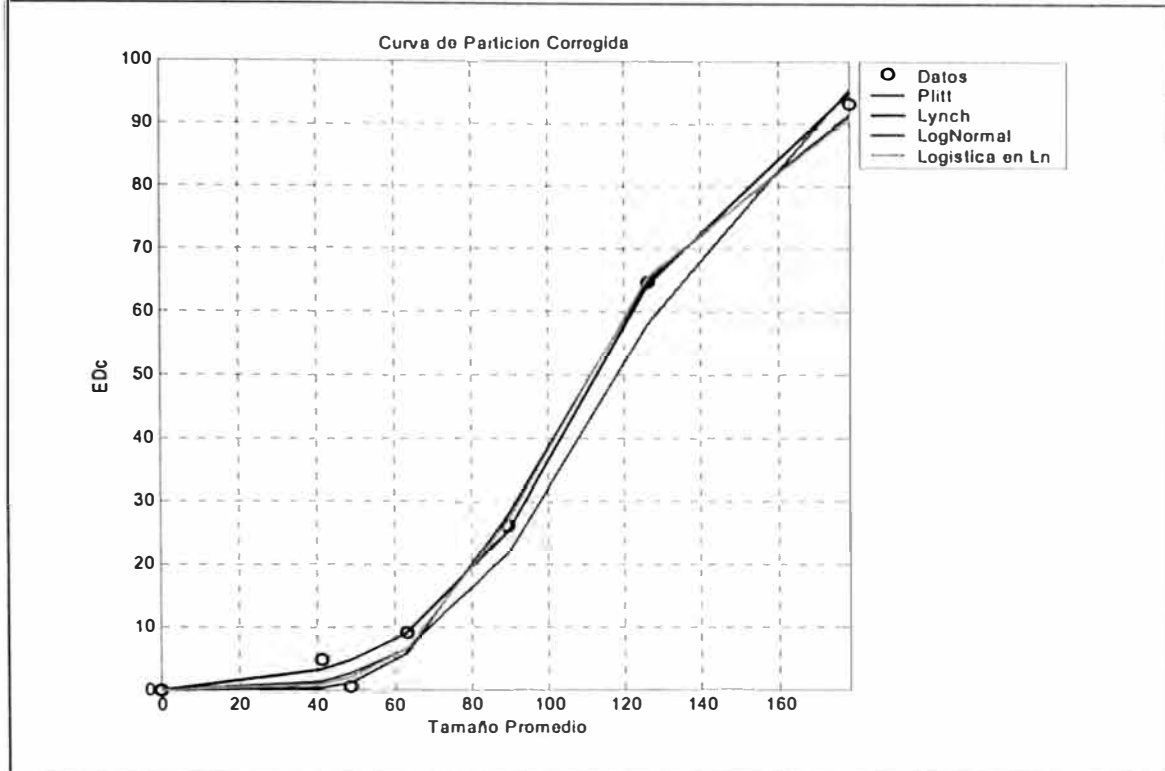
Gráfica 7.9 Spigot #03



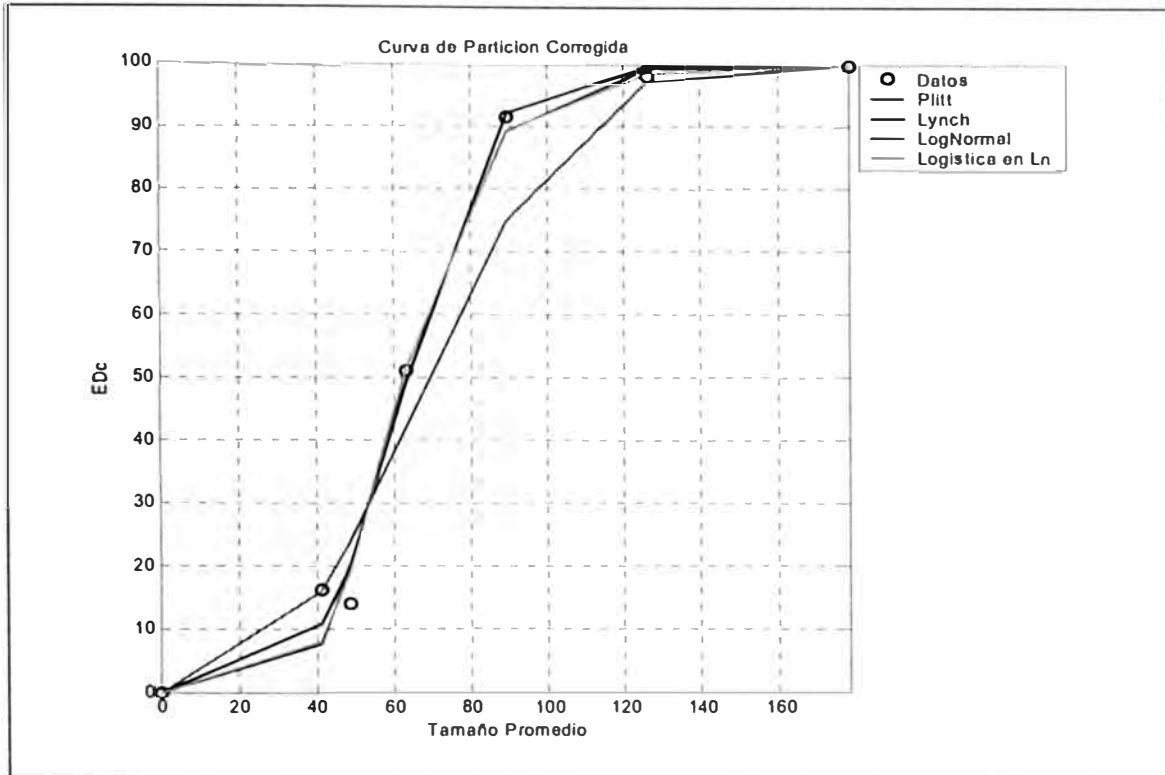
Gráfica 7.10 Spigot #04



Gráfica 7. 11 Spigot #05



Gráfica 7. 12 Spigot #06



- Se observa claramente la desviación de la curva de Plitt sobre dichas muestras, especialmente en las curvas de partición de los Spigots #01, #02, #03 y #06.
- Se observa en general un mejor ajuste de las curvas de LogNormal y Logística en ln, siendo estas muy similares.

### 7.6.7 Cálculo del parámetro $d_{50c}$ (Corregido).

Este parámetro  $d_{50c}$  es posible calcularlo de diversas formas, las que se presentan a continuación, son por los ajustes de curvas y los métodos de interpolación presentados (Lineal y Lagrange).

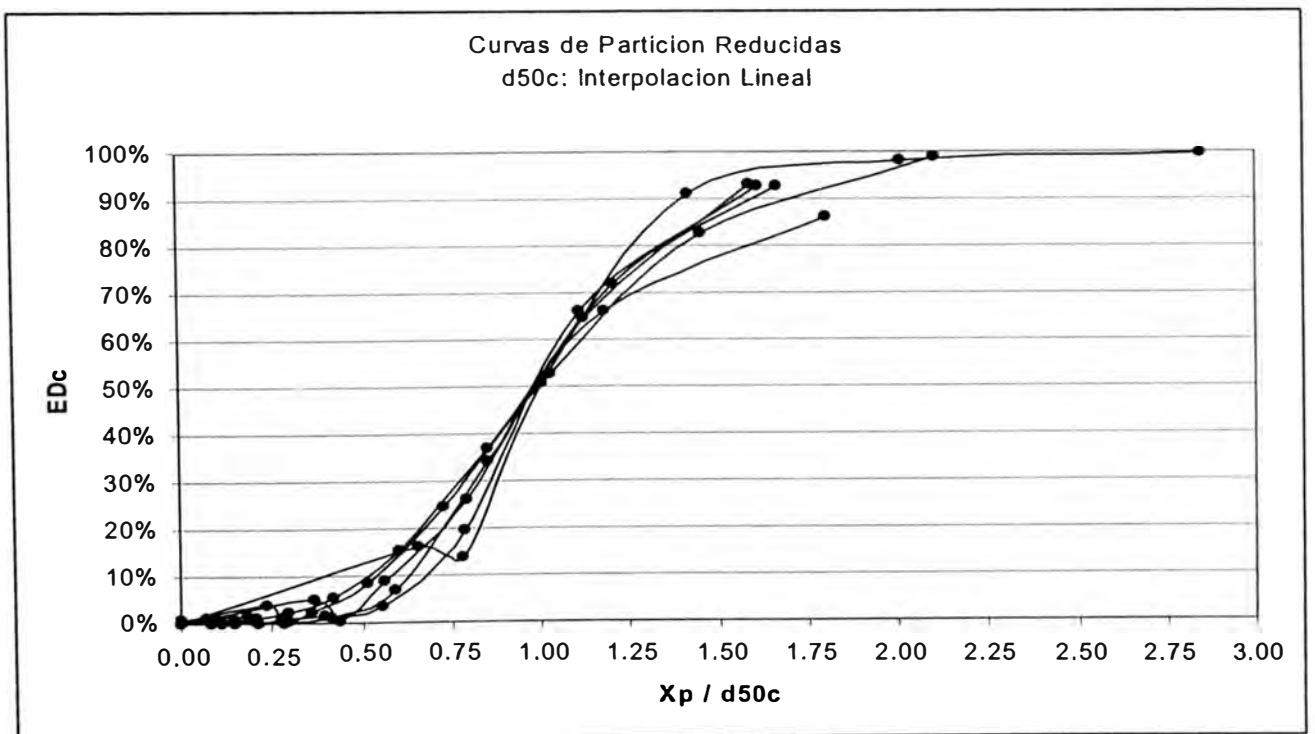
**Tabla 7. 14 d50c calculado por Interpolaciones y Ajuste de Curvas.**

| d50c            | Spigot #01 | Spigot #02 | Spigot #03 | Spigot #04 | Spigot #05 | Spigot #06 |
|-----------------|------------|------------|------------|------------|------------|------------|
| Lineal          | 604.54     | 428.16     | 226.40     | 173.32     | 112.12     | 62.69      |
| Lagrange        | 586.55     | 412.11     | 223.51     | 173.13     | 114.04     | 62.57      |
| Plitt           | 729.90     | 528.27     | 262.79     | 180.26     | 118.70     | 69.15      |
| Lynch           | 619.95     | 433.35     | 229.20     | 176.72     | 113.11     | 63.43      |
| LogNormal       | 599.60     | 421.47     | 225.67     | 169.99     | 110.02     | 62.53      |
| Logistica en ln | 599.29     | 421.43     | 225.73     | 170.18     | 110.17     | 62.52      |

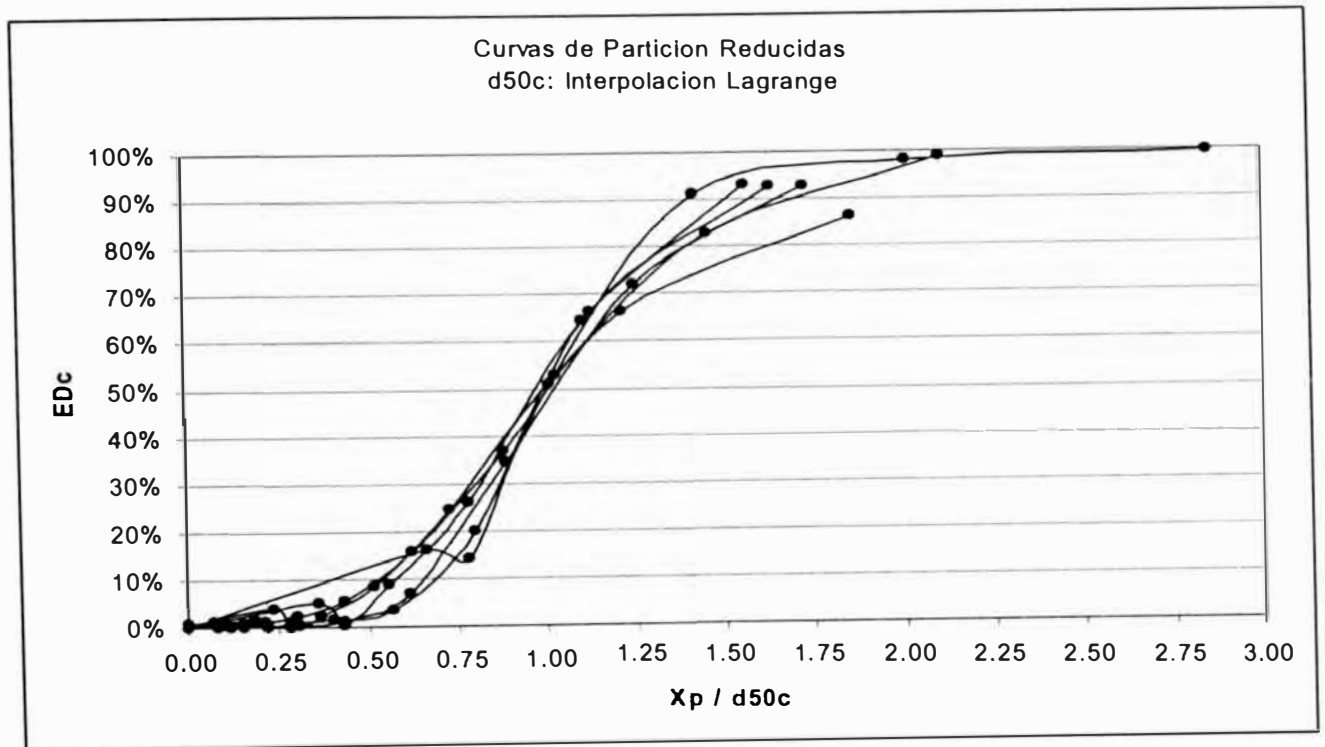
### 7.6.8 Curvas de Partición Reducidas

Si con estos parámetros de d50c dividimos a los tamaños promedios de la distribución obtendremos las gráficas de las Curvas de Partición Reducidas, las cuales se presentan a continuación:

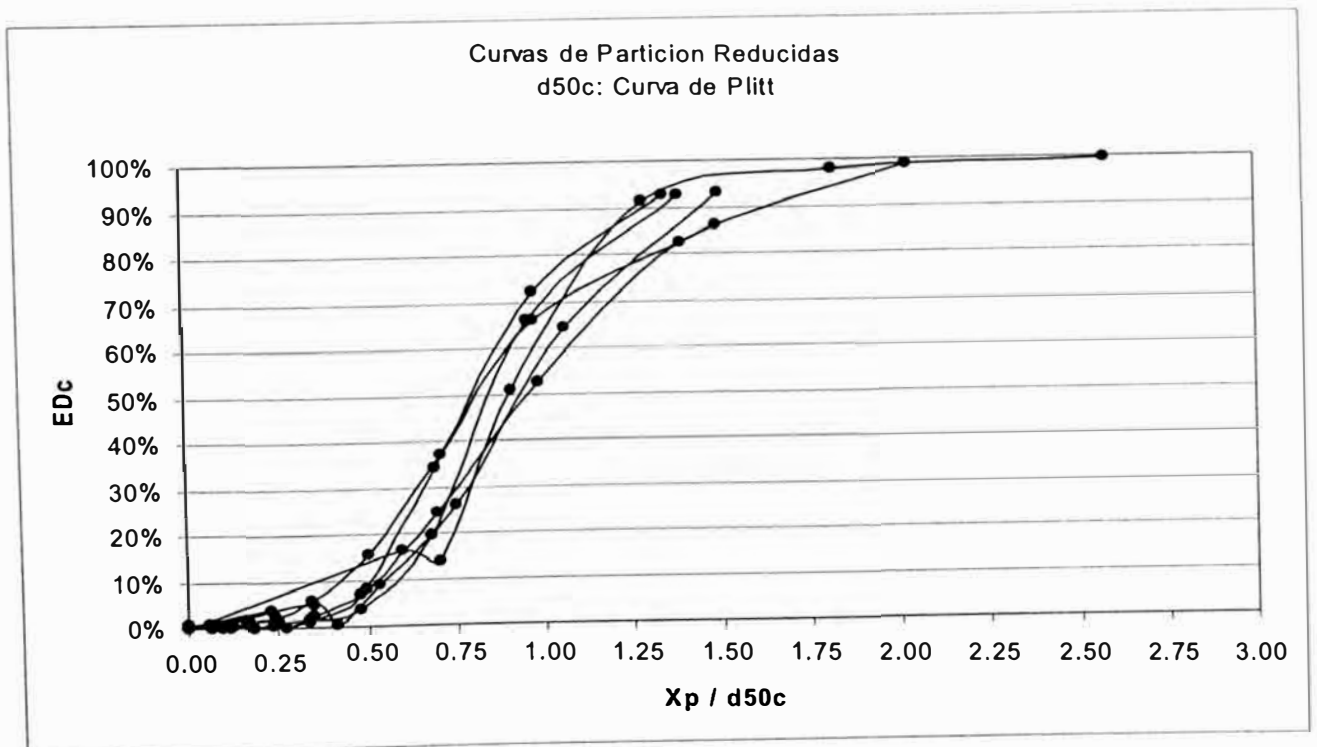
**Gráfica 7. 13 d50c Hallado por Interpolación Lineal**



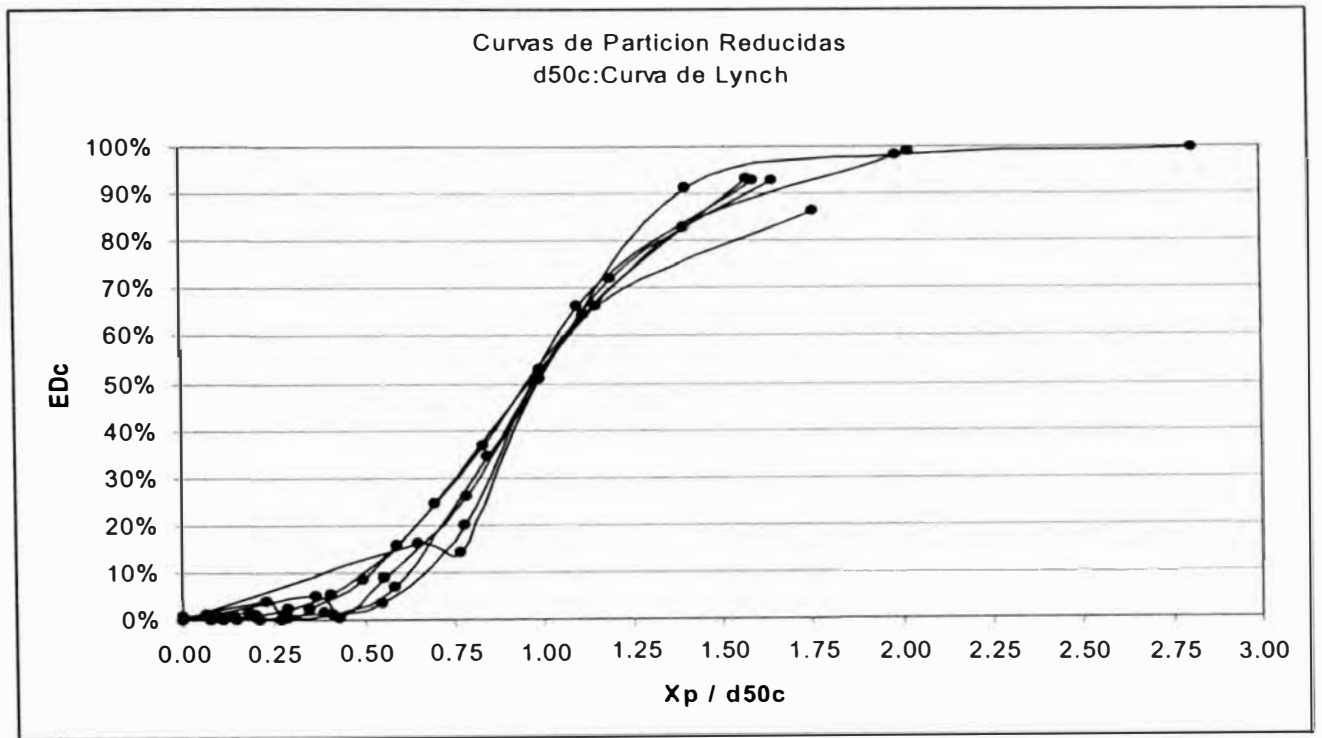
Gráfica 7. 14 d50c Hallado por Interpolación de Lagrange



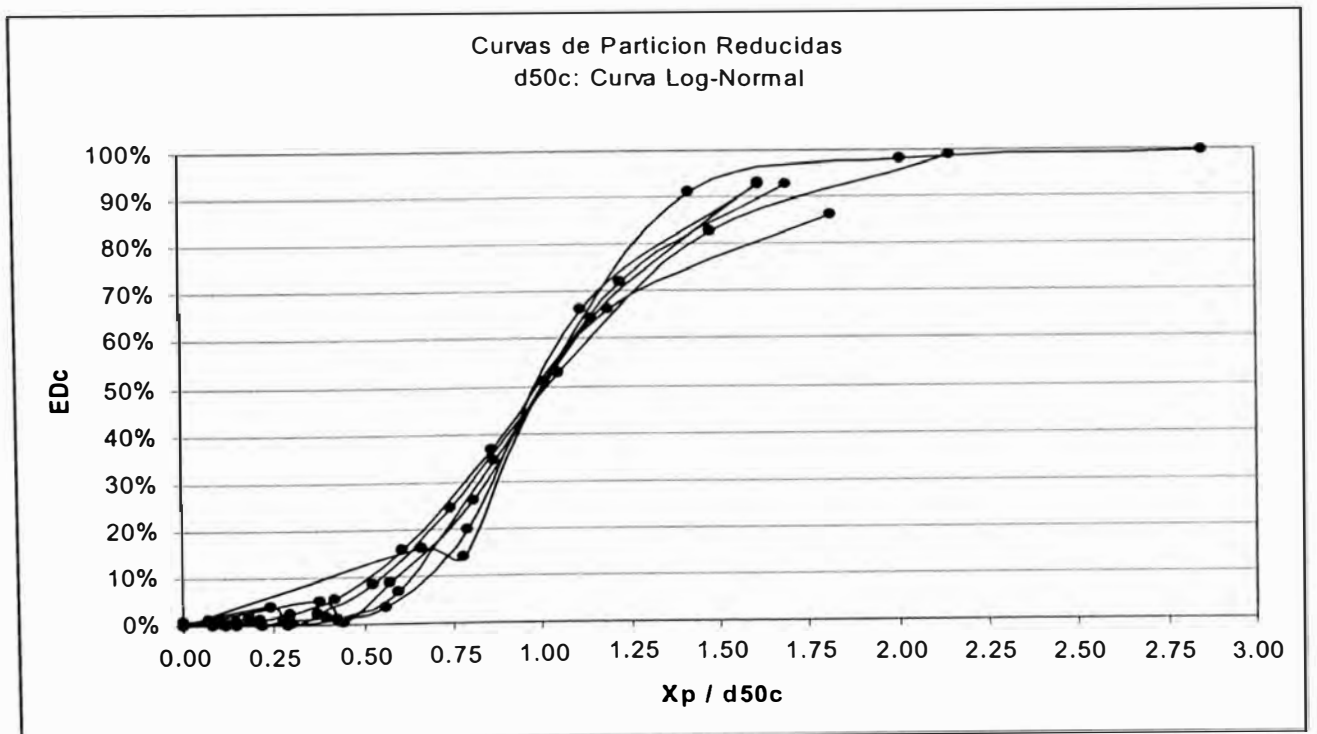
Gráfica 7. 15 d50c Hallado por Ajuste a la Curva de Plitt



Gráfica 7. 16 d50c Hallado por Ajuste a la Curva de Lynch

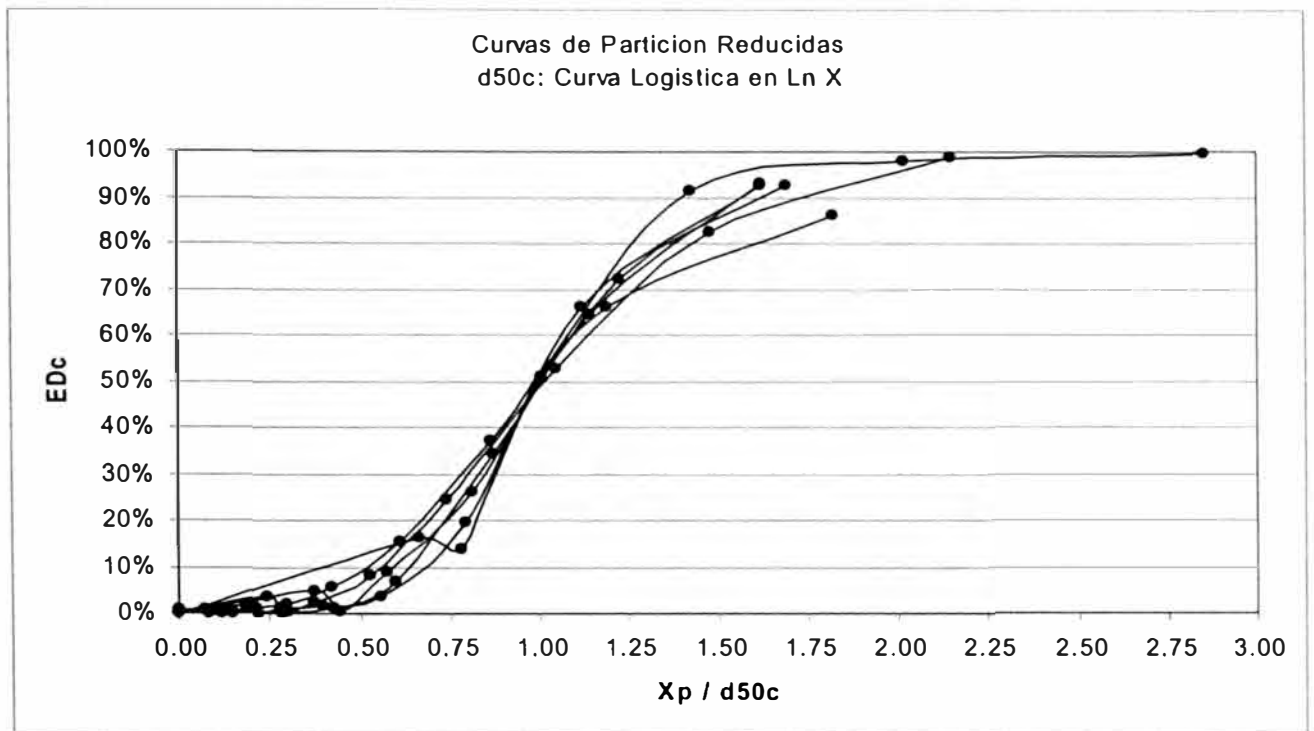


Gráfica 7. 17 d50c Hallado por Ajuste a la Distribución Log-Normal Acumulada





**Gráfica 7. 18 d50c Hallado por Ajuste a la Curva Logística en Ln(x)**



- Obsérvese de los gráficos 7.14 al 7.19, los tamaños d50c mejor obtenidos son por Interpolación Lineal y por ajuste a las curvas de Lynch, LogNormal y/o Logística en ln(X).

### 7.7 EFICIENCIA DE CLASIFICACIÓN.

El d50 es el parámetro más importante para describir el rendimiento del Hidrociclón, siendo equivalente a la abertura de una criba [3].

Para hallar la eficiencia total del clasificador, previamente se hallan las eficiencias para cada cámara (en forma individual).

### 7.7.1 Eficiencia de Finos:

#### Ecuación 7. 11

$$nF = \frac{\text{Peso de partículas Menores a } d50 \text{ en el Rebose}}{\text{Peso de partículas Menores a } d50 \text{ en el Alimento}}$$

#### Ecuación 7. 12

$$nF = \frac{FRc(d50) * Rc}{FAc(d50) * Ac}$$

### 7.7.2 Eficiencia de Gruesos:

#### Ecuación 7. 13

$$nG = \frac{\text{Peso de partículas Mayores a } d50 \text{ en la Descarga}}{\text{Peso de partículas Mayores a } d50 \text{ en el Alimento}}$$

#### Ecuación 7. 14

$$nG = \frac{GDc(d50) * Dc}{GAc(d50) * Ac} = \frac{(1 - FDc(d50)) * Dc}{(1 - FAc(d50)) * Ac}$$

Para nuestro caso:

*FINOS*

$$\text{Spigot \#01: } \frac{R1c}{Ac} = \gamma1c$$

$$\text{Spigot \#02: } \frac{R2c}{R1c} = \frac{R2c/Ac}{R1c/Ac} = \frac{\gamma2c}{\gamma1c}$$

$$\text{Spigot \#03: } \frac{R3c}{R2c} = \frac{R3c/Ac}{R2c/Ac} = \frac{\gamma3c}{\gamma2c}$$

$$\text{Spigot \#04: } \frac{R4c}{R3c} = \frac{R4c/Ac}{R3c/Ac} = \frac{\gamma4c}{\gamma3c}$$

*GRUESOS*

$$\text{Spigot \#01: } \frac{S1c}{Ac} = \beta1c$$

$$\text{Spigot \#02: } \frac{S2c}{R1c} = \frac{S2c/Ac}{R1c/Ac} = \frac{\beta2c}{\gamma1c}$$

$$\text{Spigot \#03: } \frac{S3c}{R2c} = \frac{S3c/Ac}{R2c/Ac} = \frac{\beta3c}{\gamma2c}$$

$$\text{Spigot \#04: } \frac{S4c}{R3c} = \frac{S4c/Ac}{R3c/Ac} = \frac{\beta4c}{\gamma3c}$$

$$\text{Spigot \#05: } \frac{R5c}{R4c} = \frac{R5c/Ac}{R4c/Ac} = \frac{\gamma5c}{\gamma4c} \quad \text{Spigot \#05: } \frac{S5c}{R4c} = \frac{S5c/Ac}{R4c/Ac} = \frac{\beta5c}{\gamma4c}$$

$$\text{Spigot \#06: } \frac{Zc}{R5c} = \frac{Zc/Ac}{R5c/Ac} = \frac{\beta Zc}{\gamma5c} \quad \text{Spigot \#06: } \frac{S6c}{R5c} = \frac{S6c/Ac}{R5c/Ac} = \frac{\beta6c}{\gamma5c}$$

### 7.7.3 Eficiencia de una Cámara (Spigot)

La eficiencia de una cámara será:

Ecuación 7. 15

$$n = nF * nG$$

Se presentan a continuación, las tablas con los cálculos de la eficiencia para cada Spigot.

Nota: los d50 y d50c usados son los calculados por interpolación lineal.

Tabla 7. 15 Spigot #01

| Spigot #01                    | Alimento      | Descarga | Rebose |            |               |               |               |
|-------------------------------|---------------|----------|--------|------------|---------------|---------------|---------------|
| Abertura<br>( $\mu\text{m}$ ) | fAc           | fS1c     | fR1    |            |               |               |               |
| 850                           | 97.83%        | 86.16%   | 99.65% |            |               |               |               |
| 600                           | 91.38%        | 54.56%   | 97.14% |            |               |               |               |
| 445                           | 80.22%        | 24.04%   | 89.02% |            |               |               |               |
| 300                           | 68.43%        | 10.43%   | 77.50% |            |               |               |               |
| 212                           | 53.48%        | 4.20%    | 61.19% |            |               |               |               |
| 150                           | 43.26%        | 2.52%    | 49.64% |            |               |               |               |
| 106                           | 31.83%        | 1.55%    | 36.57% |            |               |               |               |
| 75                            | 21.62%        | 1.02%    | 24.85% |            |               |               |               |
| 53                            | 12.10%        | 0.69%    | 13.89% | $\gamma1c$ | $\beta1c$     |               |               |
| 45                            | 9.69%         | 0.68%    | 11.09% | 0.8647     | 0.1353        |               |               |
| 38                            | 7.77%         | 0.52%    | 8.91%  | Ef Finos   | Ef Gruesos    | Ef Camara     |               |
| <b>d50</b>                    | <b>604.19</b> | 91.49%   | 55.09% | 97.18%     | <b>0.9185</b> | <b>0.7138</b> | <b>0.6556</b> |
| <b>d50c</b>                   | <b>604.54</b> | 91.50%   | 55.13% | 97.19%     | <b>0.9185</b> | <b>0.7139</b> | <b>0.6556</b> |

Tabla 7. 16 Spigot #02

| Spigot #02                    | Alimento      | Descarga      | Rebose        |                           |                          |               |               |
|-------------------------------|---------------|---------------|---------------|---------------------------|--------------------------|---------------|---------------|
| Abertura<br>( $\mu\text{m}$ ) | fR1           | fS2c          | fR2           |                           |                          |               |               |
| 850                           | 99.65%        | 97.75%        | 99.96%        |                           |                          |               |               |
| 600                           | 97.14%        | 80.97%        | 99.75%        |                           |                          |               |               |
| 445                           | 89.02%        | 38.75%        | 97.12%        |                           |                          |               |               |
| 300                           | 77.50%        | 10.26%        | 88.34%        |                           |                          |               |               |
| 212                           | 61.19%        | 2.16%         | 70.71%        |                           |                          |               |               |
| 150                           | 49.64%        | 1.19%         | 57.45%        |                           |                          |               |               |
| 106                           | 36.57%        | 0.63%         | 42.36%        |                           |                          |               |               |
| 75                            | 24.85%        | 0.33%         | 28.80%        |                           |                          |               |               |
| 53                            | 13.89%        | 0.25%         | 16.09%        | $\gamma_{2c/\gamma_{1c}}$ | $\beta_{2c/\gamma_{1c}}$ |               |               |
| 45                            | 11.09%        | 0.25%         | 12.84%        | 0.8612                    | 0.1388                   |               |               |
| 38                            | 8.91%         | 0.10%         | 10.33%        | Ef Finos                  | Ef Gruesos               | Ef Camara     |               |
| <b>d50</b>                    | <b>428.11</b> | <b>87.67%</b> | <b>35.44%</b> | <b>96.09%</b>             | <b>0.9439</b>            | <b>0.7270</b> | <b>0.6862</b> |
| <b>d50c</b>                   | <b>428.16</b> | <b>87.68%</b> | <b>35.45%</b> | <b>96.10%</b>             | <b>0.9439</b>            | <b>0.7271</b> | <b>0.6863</b> |

Tabla 7. 17 Spigot #03

| Spigot #03                    | Alimento      | Descarga      | Rebose        |                           |                          |               |               |
|-------------------------------|---------------|---------------|---------------|---------------------------|--------------------------|---------------|---------------|
| Abertura<br>( $\mu\text{m}$ ) | fR2           | fS3c          | fR3           |                           |                          |               |               |
| 600                           | 99.75%        | 99.06%        | 99.99%        |                           |                          |               |               |
| 445                           | 97.12%        | 88.94%        | 99.99%        |                           |                          |               |               |
| 300                           | 88.34%        | 57.66%        | 99.13%        |                           |                          |               |               |
| 212                           | 70.71%        | 12.90%        | 91.05%        |                           |                          |               |               |
| 150                           | 57.45%        | 2.97%         | 76.61%        |                           |                          |               |               |
| 106                           | 42.36%        | 1.14%         | 56.86%        |                           |                          |               |               |
| 75                            | 28.80%        | 0.48%         | 38.76%        |                           |                          |               |               |
| 53                            | 16.09%        | 0.12%         | 21.70%        | $\gamma_{3c/\gamma_{2c}}$ | $\beta_{3c/\gamma_{2c}}$ |               |               |
| 45                            | 12.84%        | 0.17%         | 17.30%        | 0.7398                    | 0.2602                   |               |               |
| 38                            | 10.33%        | 0.06%         | 13.94%        | Ef Finos                  | Ef Gruesos               | Ef Camara     |               |
| <b>d50</b>                    | <b>226.71</b> | <b>73.66%</b> | <b>20.38%</b> | <b>92.40%</b>             | <b>0.9280</b>            | <b>0.7865</b> | <b>0.7299</b> |
| <b>d50c</b>                   | <b>226.40</b> | <b>73.59%</b> | <b>20.22%</b> | <b>92.37%</b>             | <b>0.9285</b>            | <b>0.7862</b> | <b>0.7300</b> |

Tabla 7. 18 Spigot #04

| Spigot #04                    | Alimento      | Descarga      | Rebose        |                           |                          |               |               |
|-------------------------------|---------------|---------------|---------------|---------------------------|--------------------------|---------------|---------------|
| Abertura<br>( $\mu\text{m}$ ) | fR3           | fS4c          | fR4           |                           |                          |               |               |
| 300                           | 99.13%        | 96.84%        | 99.98%        |                           |                          |               |               |
| 212                           | 91.05%        | 71.82%        | 98.18%        |                           |                          |               |               |
| 150                           | 76.61%        | 42.09%        | 89.42%        |                           |                          |               |               |
| 106                           | 56.86%        | 20.64%        | 70.30%        |                           |                          |               |               |
| 75                            | 38.76%        | 11.13%        | 49.01%        |                           |                          |               |               |
| 53                            | 21.70%        | 5.71%         | 27.63%        | $\gamma_{4c}/\gamma_{3c}$ | $\beta_{4c}/\gamma_{3c}$ |               |               |
| 45                            | 17.30%        | 4.67%         | 21.99%        | 0.7295                    | 0.2705                   |               |               |
| 38                            | 13.94%        | 3.44%         | 17.83%        | Ef Finos                  | Ef Gruesos               | Ef Camara     |               |
| <b>d50</b>                    | <b>166.97</b> | <b>80.56%</b> | <b>50.22%</b> | <b>91.82%</b>             | <b>0.8313</b>            | <b>0.6929</b> | <b>0.5760</b> |
| <b>d50c</b>                   | <b>173.32</b> | <b>82.04%</b> | <b>53.27%</b> | <b>92.71%</b>             | <b>0.8243</b>            | <b>0.7040</b> | <b>0.5804</b> |

Tabla 7. 19 Spigot #05

| Spigot #05                    | Alimento      | Descarga      | Rebose        |                           |                          |               |               |
|-------------------------------|---------------|---------------|---------------|---------------------------|--------------------------|---------------|---------------|
| Abertura<br>( $\mu\text{m}$ ) | fR4           | fS5c          | fR5           |                           |                          |               |               |
| 212                           | 98.18%        | 96.14%        | 100.00%       |                           |                          |               |               |
| 150                           | 89.42%        | 78.50%        | 99.14%        |                           |                          |               |               |
| 106                           | 70.30%        | 48.79%        | 89.45%        |                           |                          |               |               |
| 75                            | 49.01%        | 28.84%        | 66.98%        |                           |                          |               |               |
| 53                            | 27.63%        | 14.68%        | 39.16%        | $\gamma_{5c}/\gamma_{4c}$ | $\beta_{5c}/\gamma_{4c}$ |               |               |
| 45                            | 21.99%        | 11.72%        | 31.13%        | 0.5290                    | 0.4710                   |               |               |
| 38                            | 17.83%        | 9.24%         | 25.49%        | Ef Finos                  | Ef Gruesos               | Ef Camara     |               |
| <b>d50</b>                    | <b>96.60</b>  | <b>63.84%</b> | <b>42.74%</b> | <b>82.64%</b>             | <b>0.6847</b>            | <b>0.7460</b> | <b>0.5107</b> |
| <b>d50c</b>                   | <b>112.12</b> | <b>72.95%</b> | <b>52.92%</b> | <b>90.80%</b>             | <b>0.6583</b>            | <b>0.8200</b> | <b>0.5398</b> |

Tabla 7. 20 Spigot #06

| Spigot #06                    | Alimento     | Descarga      | Rebose        |                          |                          |               |               |
|-------------------------------|--------------|---------------|---------------|--------------------------|--------------------------|---------------|---------------|
| Abertura<br>( $\mu\text{m}$ ) | fR5          | fS6c          | fR6=fZc       |                          |                          |               |               |
| 150                           | 99.14%       | 98.85%        | 99.99%        |                          |                          |               |               |
| 106                           | 89.45%       | 85.95%        | 99.64%        |                          |                          |               |               |
| 75                            | 66.98%       | 57.02%        | 95.95%        |                          |                          |               |               |
| 53                            | 39.16%       | 28.52%        | 70.17%        | $\beta_{Zc}/\gamma_{5c}$ | $\beta_{6c}/\gamma_{5c}$ |               |               |
| 45                            | 31.13%       | 22.21%        | 57.11%        | 0.2557                   | 0.7443                   |               |               |
| 38                            | 25.49%       | 17.70%        | 48.17%        | Ef Finos                 | Ef Gruesos               | Ef Camara     |               |
| <b>d50</b>                    | <b>42.11</b> | <b>28.80%</b> | <b>20.35%</b> | <b>53.42%</b>            | <b>0.4742</b>            | <b>0.8327</b> | <b>0.3949</b> |
| <b>d50c</b>                   | <b>62.69</b> | <b>51.41%</b> | <b>41.07%</b> | <b>81.52%</b>            | <b>0.4054</b>            | <b>0.9028</b> | <b>0.3660</b> |

Nota: Los datos de Porcentaje Acumulado Pasante de los Alimento, Descarga y Rebose para cada d50 se hallaron por Interpolación Lineal.

#### 7.7.4 Eficiencia del Clasificador Stokes

La eficiencia del clasificador es el producto de las eficiencias de las seis cámaras

##### Ecuación 7. 16

$$nT = n1 * n2 * n3 * n4 * n5 * n6$$

##### 7.7.4.1 Eficiencias Calculadas

Tabla 7. 21 Eficiencia del Clasificador

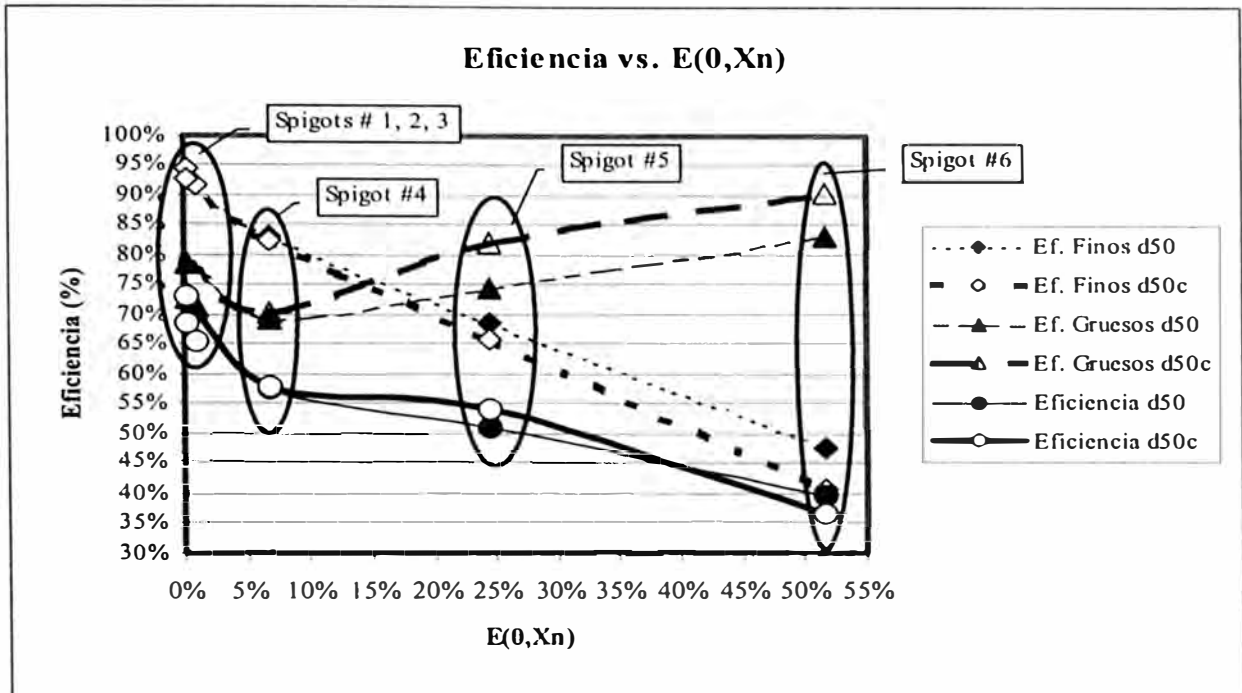
|             | Spigot #01 | Spigot #02 | Spigot #03 | Spigot #04 | Spigot #05 | Spigot #06 | Clasificador |
|-------------|------------|------------|------------|------------|------------|------------|--------------|
| <b>d50</b>  | 65.56%     | 68.62%     | 72.99%     | 57.60%     | 51.07%     | 39.49%     | <b>3.82%</b> |
| <b>d50c</b> | 65.56%     | 68.63%     | 73.00%     | 58.04%     | 53.98%     | 36.60%     | <b>3.77%</b> |

### 7.8 *VARIACIÓN DE EFICIENCIA RESPECTO A PARÁMETROS DE LAS CURVAS TROMP.*

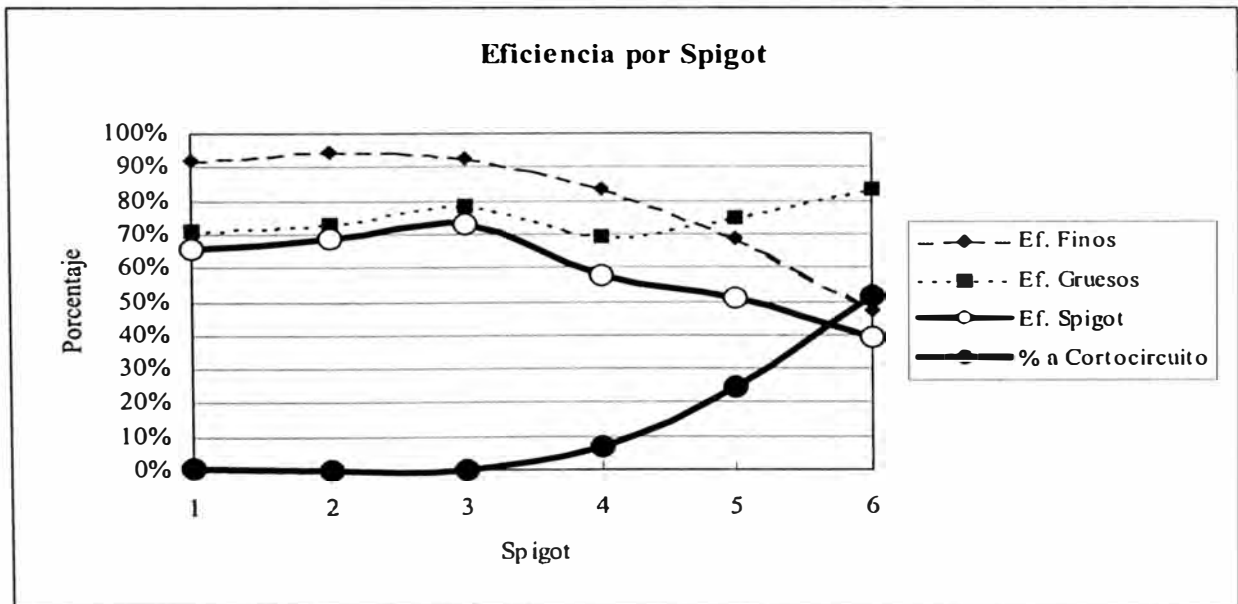
A continuación se presenta los siguientes gráficos:

- Gráfica de las Eficiencias de cada Cámara vs. el Porcentaje de Finos a la Descarga (E(0,Xn)), también
- Gráfica de las Eficiencias y Porcentaje de Finos a la Descarga vs. Spigot.

Gráfica 7. 19 Eficiencias vs Porcentaje de Finos a la Descarga (E(0,Xn))



Gráfica 7. 20 Eficiencia por Spigot



- De los gráficos 7.20 y 7.21 se observa la relación del Porcentaje a Cortocircuito (E(0,Xn)) con la eficiencia. Se observa la disminución de la eficiencia de Finos y el aumento en la eficiencia de Gruesos al aumentar el factor E(0,Xn) (porcentaje de Finos a la Descarga).

## CAPÍTULO 8 FUNCIONES DE LAS CURVAS DE PARTICIÓN.

### 8.1 INTRODUCCIÓN

Como se describió en el Capítulo 7, las curvas de partición corregidas se ajustaron a cuatro funciones:

Plitt (Ecuación 7.6)

**Ecuación 8. 1**

$$EDc(Xr) = 1 - \exp\left[\ln(0.50) * (Xr)^a\right]$$

Lynch (Ecuación 7.7)

**Ecuación 8. 2**

$$EDc(Xr) = \frac{\exp(a * Xr) - 1}{\exp(a * Xr) + \exp(a) - 2}$$

Log-Normal (Ecuación 7.8)

**Ecuación 8. 3**

$$EDc(Xr) = \int_0^{Xr} \frac{1}{\sqrt{2 * \pi * a * x}} * e^{-\frac{(\ln(x))^2}{2 * a^2}} dx = \text{logncdf}(Xr, 0, a)$$

Logística en ln(x) (Ecuación 7.9)

**Ecuación 8. 4**

$$EDc(Xp) = \frac{1}{1 + (Xr)^{-a}}$$



Siendo  $X_r$  el tamaño medio reducido, es decir:

**Ecuación 8. 5**

$$X_r = \frac{X_p}{d_{50c}}$$

En este Capítulo, el tratamiento es netamente matemático. El fin es establecer relaciones entre la pendiente y los factores “a” de las funciones ya mencionadas, esto para luego obtener un vector inicial con los valores aproximados para el ajuste de curvas.

## **8.2 PENDIENTE DE LA CURVA DE PARTICIÓN EN FUNCIÓN DEL PARÁMETRO DE FACTOR DE FORMA DE LAS ECUACIONES**

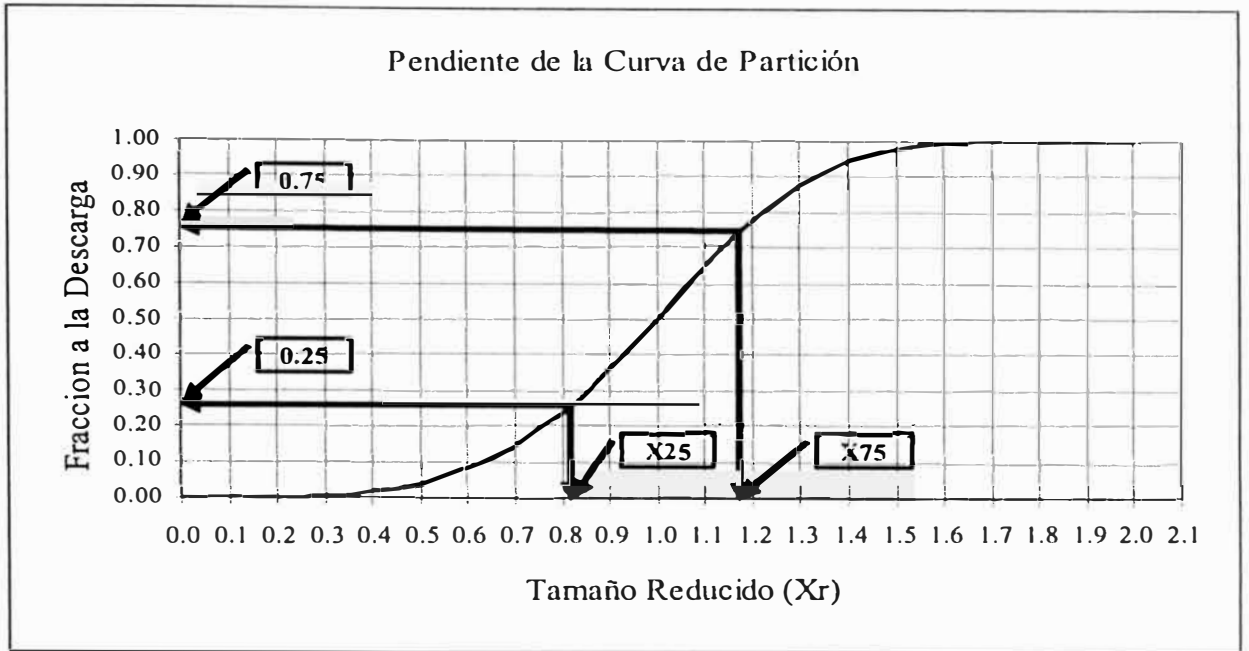
La pendiente de la curva se puede expresar tomando los puntos en los cuales el 75% y 25% de las partículas de la alimentación se reportan a la descarga y estos son los tamaños  $d_{75c}$  y  $d_{25c}$  respectivamente. Estos valores pueden ser calculados por medio de una interpolación lineal.

Es decir la pendiente de la curva puede establecerse como la pendiente comprendida entre los valores  $(X_{r_{25}}, 0.25)$  y  $(X_{r_{75}}, 0.75)$ .

Nota:

- $X_{r_{75}}$ : El Tamaño medio reducido para un 75%
- $X_{r_{25}}$ : El Tamaño medio reducido para un 25%

Gráfico 8. 1 Esquema para hallar la Pendiente de la Curva de Partición.



La pendiente estará dada por:

**Ecuación 8. 6**

$$\text{Pendiente} = m = \frac{0.75 - 0.25}{X_{r_{75}} - X_{r_{25}}} = \frac{1}{2 * (X_{r_{75}} - X_{r_{25}})}$$

Se establece un término llamado **Imperfección I** [9] y es dada por:

**Ecuación 8. 7**

$$\text{Imperfección} = I = \frac{d_{75}c - d_{25}c}{2 * d_{50}c}$$

Si tomamos los tamaños medios reducidos:

**Ecuación 8. 8**

$$\text{Imperfección} = I = \frac{X_{r_{75}} - X_{r_{25}}}{2}$$

Por las ecuaciones 8.6 y 8.8 se puede establecer lo siguiente:

**Ecuación 8.9**

$$Pendiente = m = \frac{1}{4 * Imperfección}$$

Se graficaron la variación de la Imperfección y Tamaños reducidos para 25% y 75% vs. los parámetros de forma "a" y la Inversa de la imperfección vs. Los parámetros de forma.

Nota: Para las gráficas y ajustes de curva siguientes, los factores de forma "a" se variaron desde 1.00E-12 a 100 en pasos de 0.10 (1001 datos para el ajuste), exceptuando para la distribución Log-Normal que se vario desde 0.01 hasta 5.00

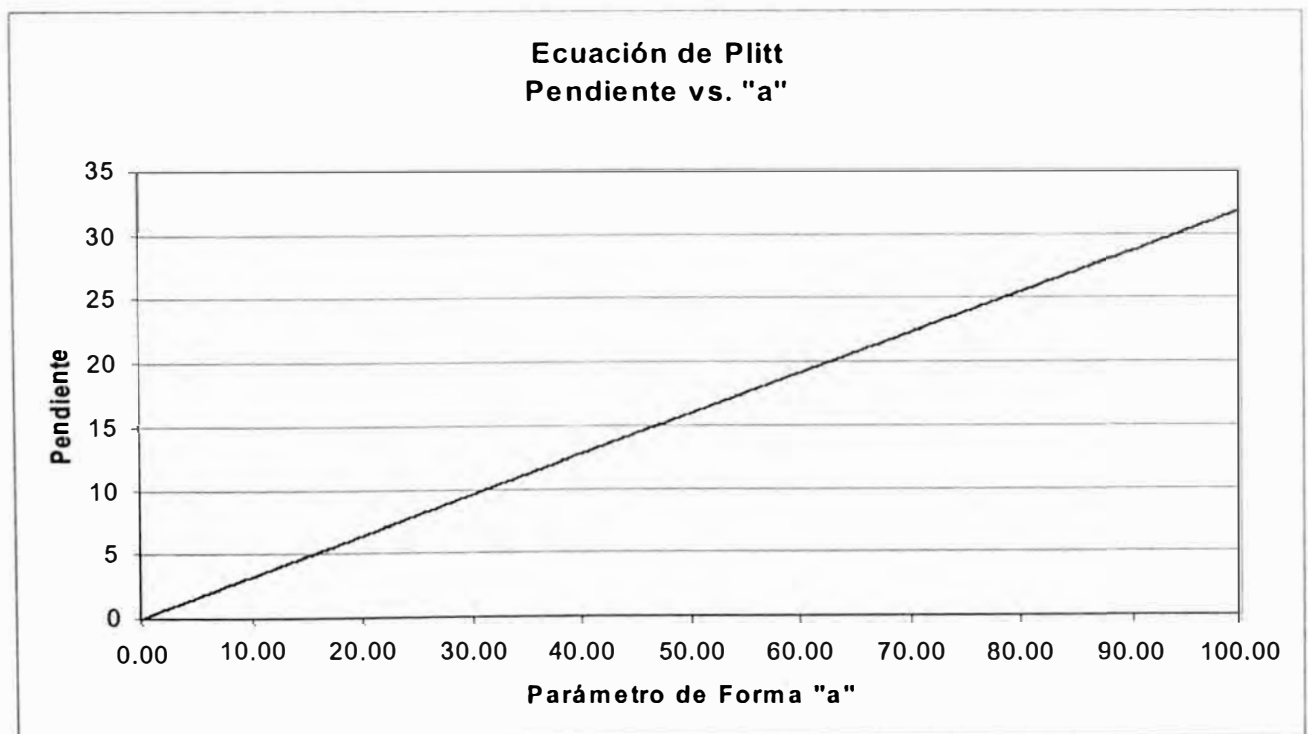
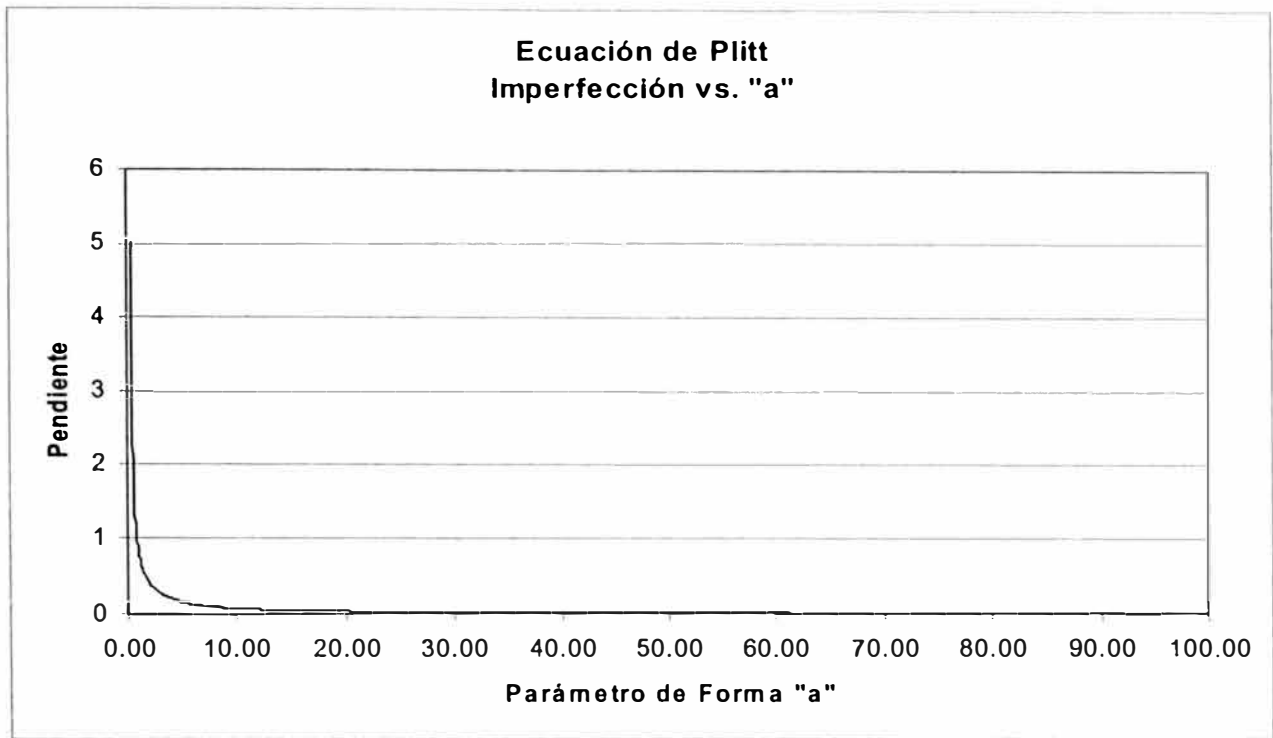
**8.2.1 Para la Ecuación de Plitt****Gráfico 8.2**

Gráfico 8.3



### 8.2.2 Para la Ecuación de Lynch:

Gráfico 8.4

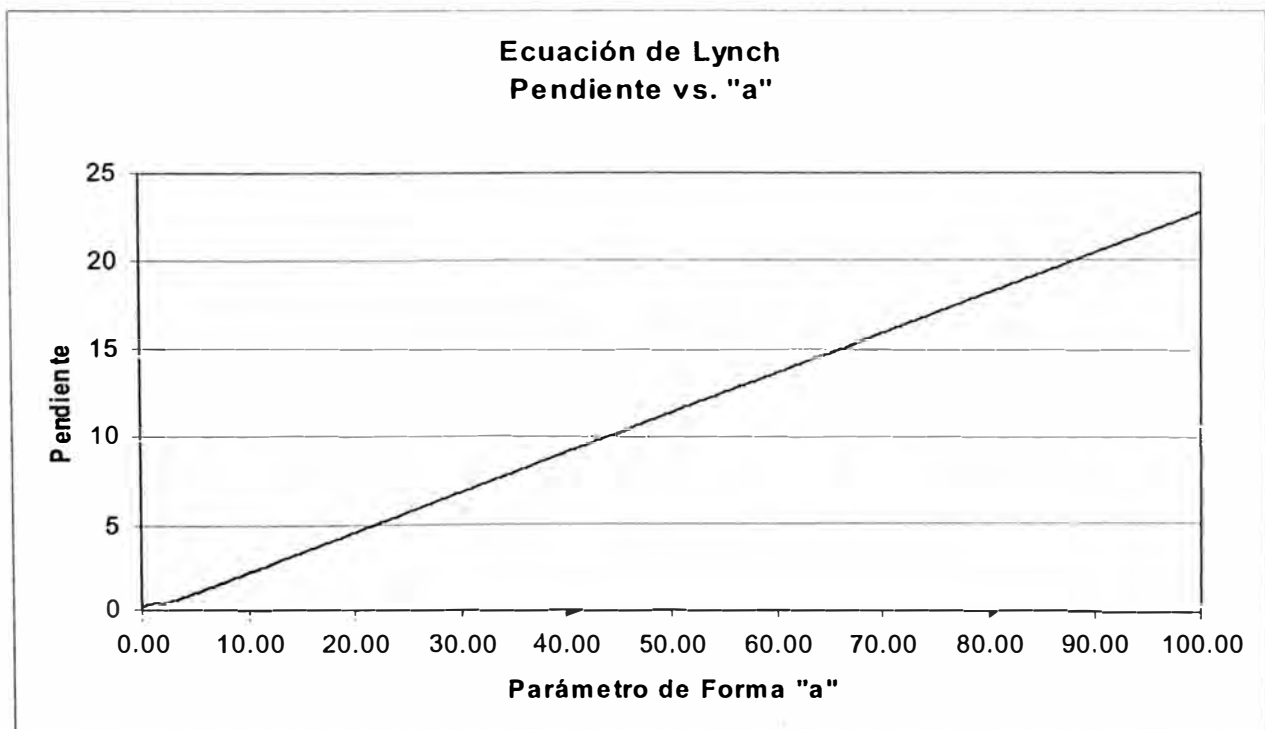
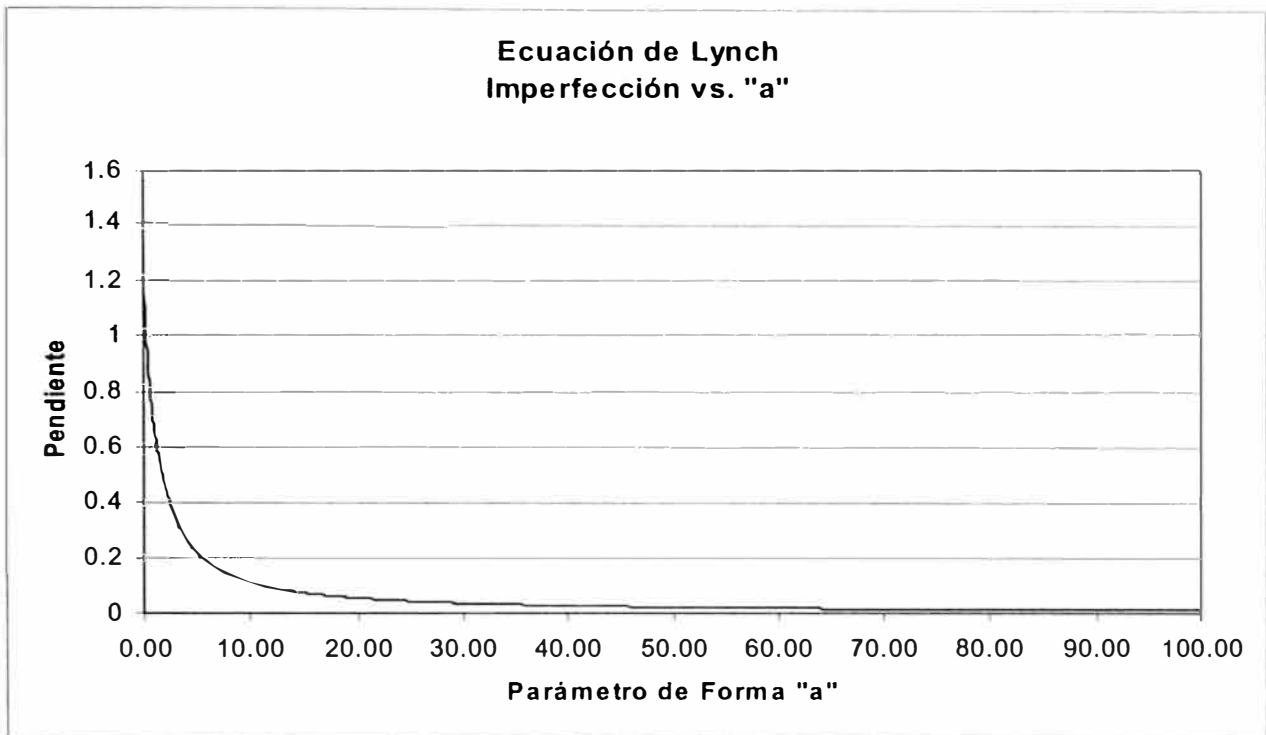


Gráfico 8.5



### 8.2.3 Para la distribución Log-Normal

Gráfico 8.6

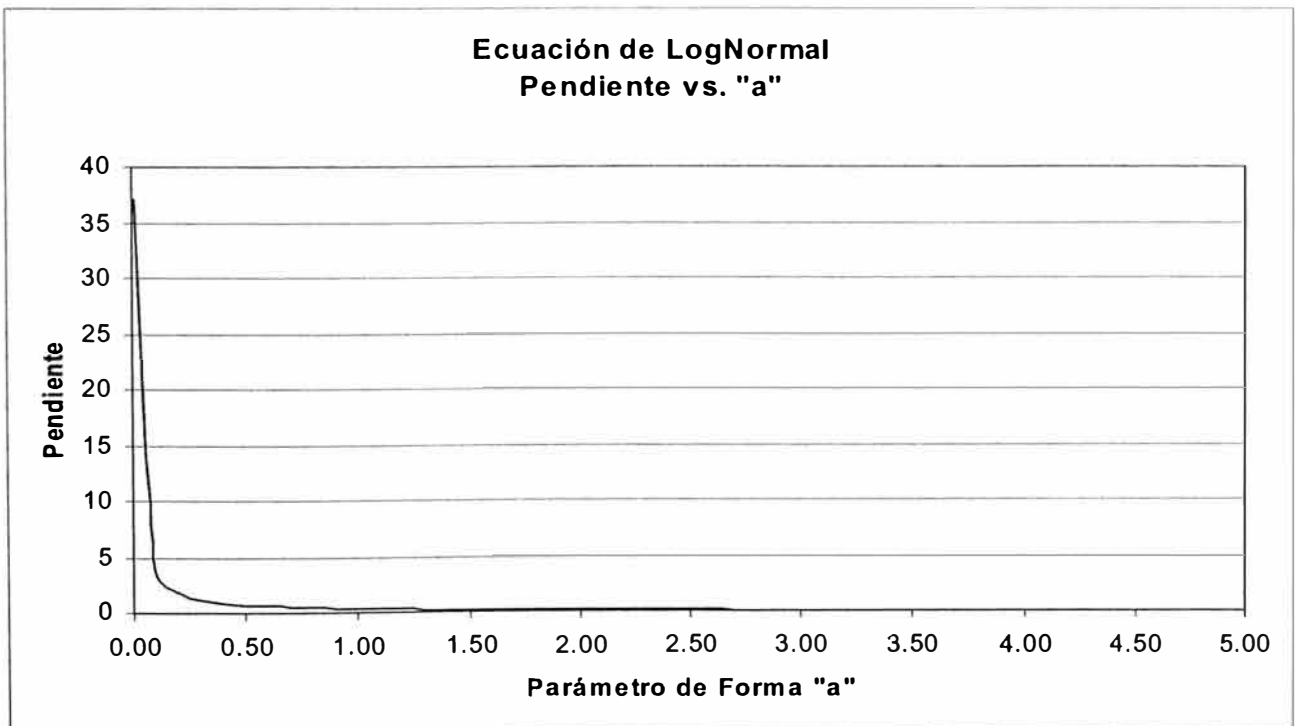
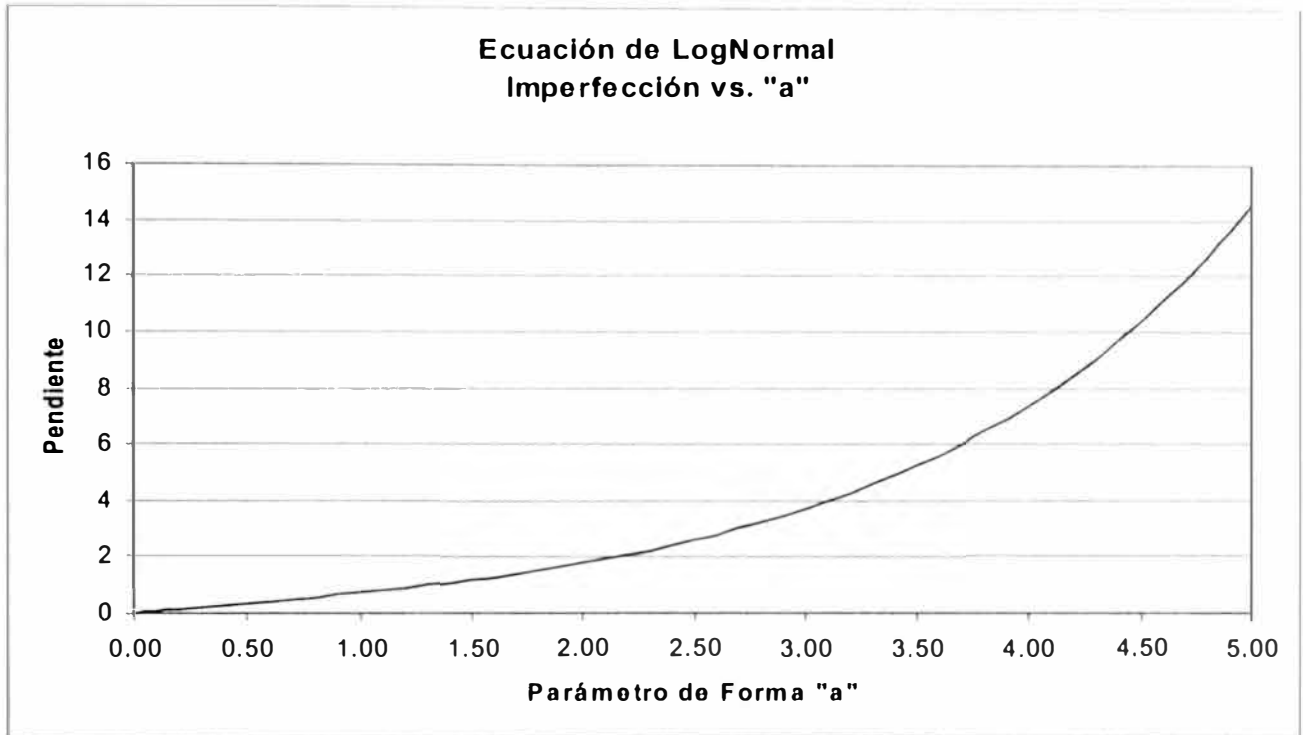


Gráfico 8.7



### 8.2.4 Para la función Logística en $\ln(x)$

Gráfico 8.8

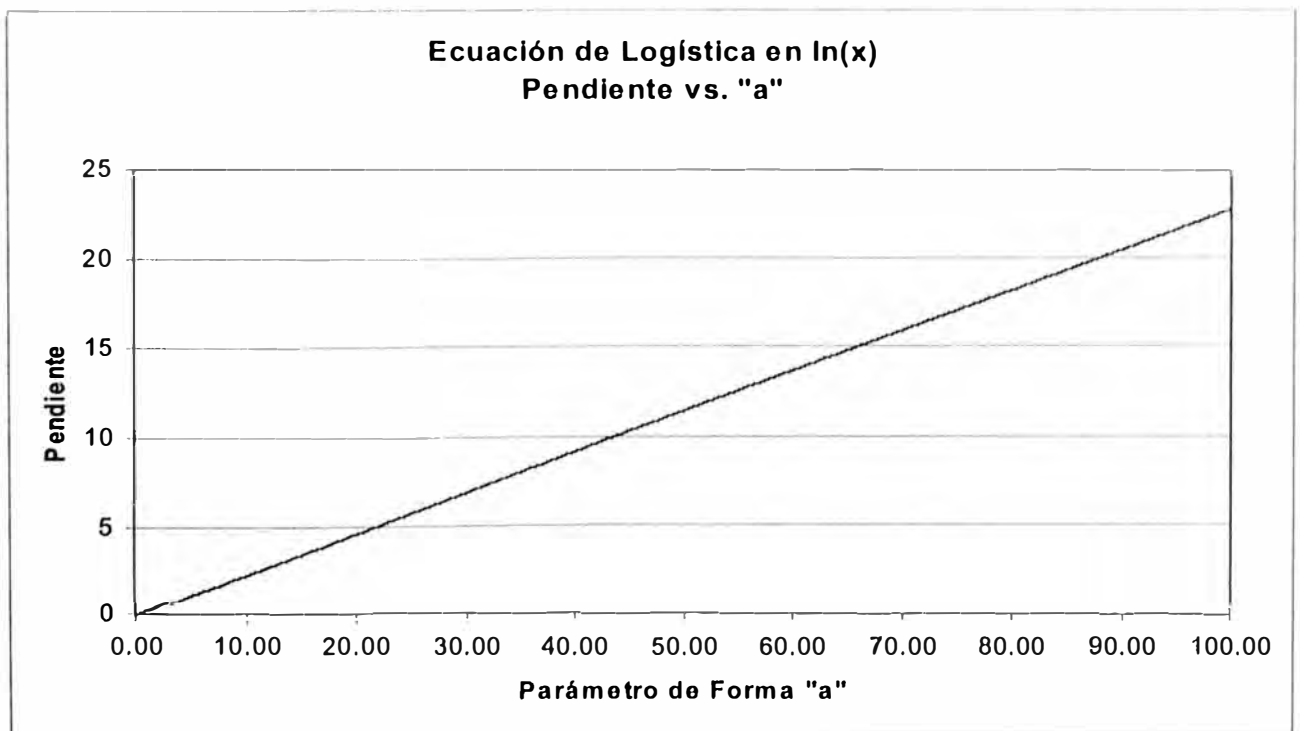
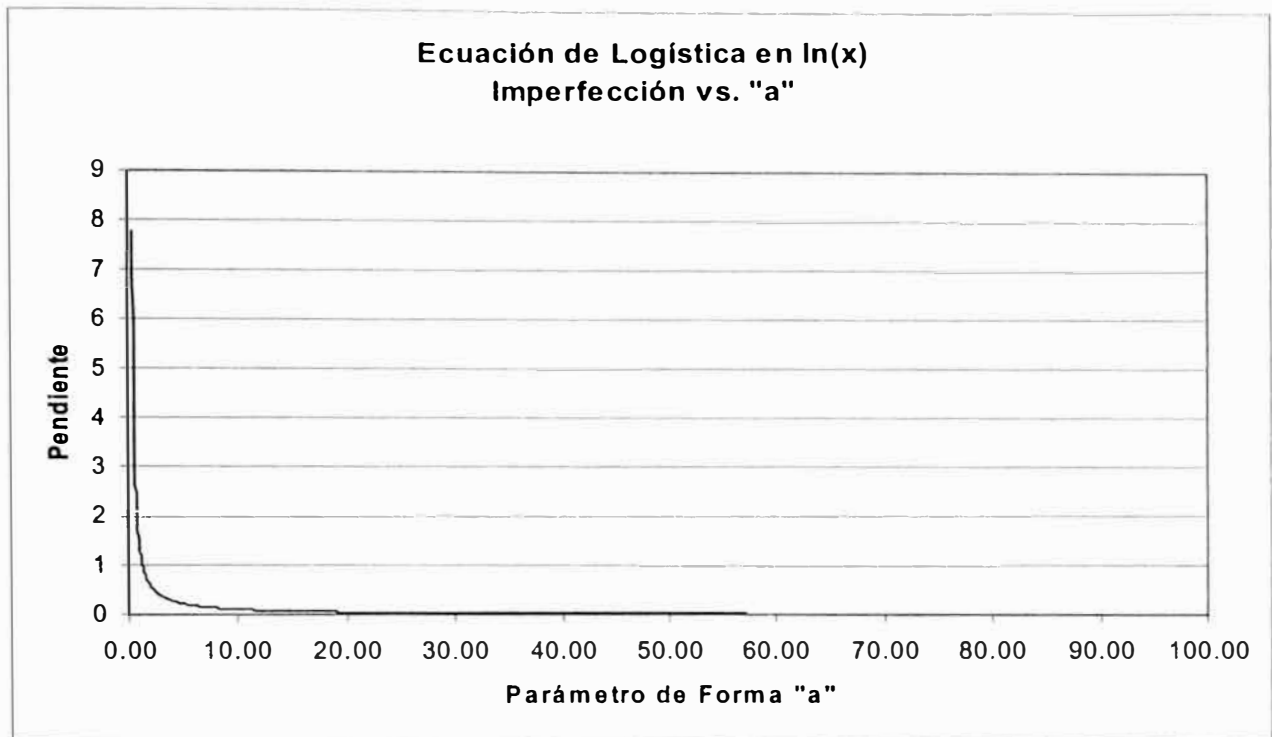


Gráfico 8. 9



Se observa que los factores de forma "a" de las ecuaciones de Plitt, Lynch y Logística en ln(x), son directamente proporcionales a la Pendiente, siendo los parámetros de ajuste:

**Ecuación 8. 10**

$$\text{Pendiente} = m = A * (F.\text{Forma}) + B$$

**Tabla 8. 1 Parámetros de Ajuste de la Pendiente en función del Factor de Forma**

| <b>Ecuación</b>           | <b>A</b> | <b>B</b>  | <b>r<sup>2</sup></b> |
|---------------------------|----------|-----------|----------------------|
| <b>Plitt</b>              | 0.318041 | 0.023437  | 1                    |
| <b>Lynch</b>              | 0.227327 | 0.015653  | 0.999991             |
| <b>Logística en ln(x)</b> | 0.227656 | -0.007343 | 0.999999             |

Estos datos son útiles especialmente para aproximar el factor de forma “a” de la ecuación de Lynch y Logística en  $\ln(x)$ .

Para la distribución Log-Normal, se establece una ecuación del siguiente tipo:

**Ecuación 8. 11**

$$\text{Pendiente} = m = \frac{0.3822}{(F.Forma)^{0.9934}} - 0.05115$$

con  $r^2 = 1$

### 8.3 MÉTODO PARA EL AJUSTE A LA CURVA DE LYNCH

Para obtener los parámetros aproximados para la ecuación de Lynch se procederá de la siguiente manera:

- Hallar los tamaños d25c, d50c y d75c por Interpolación lineal.
- Se calculan los tamaños medios reducidos  $Xr_{75}$  y  $Xr_{25}$
- Hallar la Pendiente con la ecuación 8.6:

$$\text{Pendiente} = m = \frac{1}{2 * (Xr_{75} - Xr_{25})}$$

- Obtener el Factor de Forma “a” por la ecuación 8.10:

$$a = \frac{m - 0.015653}{0.227327}$$

**Tabla 8. 2 Cálculo del Factor de Forma para la Ecuación de Lynch por el Método propuesto.**

|           | Spigot #01      | Spigot #02      | Spigot #03      | Spigot #04      | Spigot #05      | Spigot #06     |
|-----------|-----------------|-----------------|-----------------|-----------------|-----------------|----------------|
| d25c      | 432.2978        | 326.9237        | 186.6164        | 126.9384        | 87.4517         | 53.0679        |
| d50c      | <b>604.5354</b> | <b>428.1614</b> | <b>226.3996</b> | <b>173.3207</b> | <b>112.1173</b> | <b>62.6882</b> |
| d75c      | 879.6973        | 544.3817        | 289.6526        | 233.3594        | 145.1941        | 78.6118        |
| Pendiente | 0.6756          | 0.9845          | 1.0986          | 0.8143          | 0.9708          | 1.2271         |
| a         | <b>2.9031</b>   | <b>4.2618</b>   | <b>4.7640</b>   | <b>3.5133</b>   | <b>4.2018</b>   | <b>5.3289</b>  |



Los parámetros hallados por este método son:

**Tabla 8. 3 Comparación de Parámetros Hallados.**

|                       |             | Spigot #01 | Spigot #02 | Spigot #03 | Spigot #04 | Spigot #05 | Spigot #06 |
|-----------------------|-------------|------------|------------|------------|------------|------------|------------|
| <b>Solver</b>         | <b>a</b>    | 3.769146   | 5.108745   | 6.415283   | 4.151269   | 5.078146   | 6.051851   |
|                       | <b>d50c</b> | 622.874907 | 433.666431 | 229.758921 | 177.226663 | 113.109296 | 63.424582  |
| <b>Interp. Lineal</b> | <b>a</b>    | 2.9031     | 4.2618     | 4.7640     | 3.5133     | 4.2018     | 5.3289     |
|                       | <b>d50c</b> | 604.5354   | 428.1614   | 226.3996   | 173.3207   | 112.1173   | 62.6882    |

Este método (por interpolación) no dará los parámetros tan precisos como si se hallaran por medio de Solver. Pero esta aproximación en los parámetros “a” y “d50c” simplificarán el proceso para obtener los datos por medio de Solver o Matlab (recuérdese que es necesario introducir un vector inicial cercano a los valores reales).

Análogamente se puede aplicar para hallar los parámetros de la función Log-Normal y Logística en  $\ln(x)$ .

## **CAPÍTULO 9 PROGRAMACIÓN EN MATLAB**

### **9.1 INTRODUCCIÓN**

MATLAB es la abreviación de MATrix LABoratory. Es un sistema basado en matrices para cálculos matemáticos y de ingeniería, es decir, todas las variables en MATLAB son matrices o arreglos rectangulares de números. Se podría pensar que MATLAB es un tipo de lenguaje diseñado exclusivamente para efectuar manipulaciones matriciales, de hecho, MATLAB es al mismo tiempo un entorno y un lenguaje de programación.

Se debe de mencionar que el valor “eps” es el Numero más pequeño tal que, cuando se le suma uno, crea un número en punto flotante en el computador mayor que uno. (Floating point relative accuracy) [10].

`eps=2.220446049250313e-016`

Nota: Para el desarrollo de los programas se utilizo MATLAB 6.5

### **9.2 TIPOS DE ARCHIVOS USADOS**

Con el fin de programar todos los cálculos efectuados en la presente tesis se utilizaran básicamente tres tipos de archivos:

- Archivos-MAT: Donde se almenaran los datos y/o resultados.

- Archivos-M: Programas y/o funciones (Archivos script).
- Archivos-RPT: Ejecuta el reporte de resultados (salida en formato HTML).

### 9.2.1 Archivos-MAT:

Datosag.mat: Almacena los datos de Análisis Granulométricos:

fA, fS1, fS2, fS3, fS4, fS5, fS6, fZ.

Datosley.mat: Almacena los datos de Leyes de Estaño:

Leyes de Entradas y Salidas:

LA, LS1, LS2, LS3, LS4, LS5, LS6, LZ

Leyes de Fracciones:

LfA, LfS1, LfS2, LfS3, LfS4, LfS5, LfS6, LfZ

Tampart.mat: Almacena los datos de Tamaños de Partículas:

Tamaño máximo de la fracción en peso:

TamMax

Tamaño mínimo de la fracción en peso:

TamMin.

#### 9.2.1.1 Archivos-MAT: Ingreso de Datos

##### ***Forma #01:***

El ingreso de datos en Matlab se efectuó de la siguiente manera:

Análisis Granulométricos:

fA =[2.43;6.28;11.12;11.87;14.84;10.29;11.30;10.37;9.30;1.96;2.37;7.87]

fS1 =[13.81;31.62;30.52;13.60;6.25;1.67;0.99;0.50;0.36;0.08;0.09;0.51]

fS2 =[2.22;16.80;42.22;28.48;8.12;0.96;0.57;0.29;0.10;0.06;0.09;0.09]

fS3 =[0;0.92;10.13;31.27;44.78;9.91;1.86;0.63;0.40;0.04;0.02;0.04]

fS4 =[0;0;0;3.14;25.04;29.72;21.47;9.48;5.45;1.11;1.16;3.43]

fS5 =[0;0;0;0;3.86;17.62;29.74;19.92;14.20;3.05;2.39;9.22]

fS6 =[0;0;0;0;0;1.14;12.92;28.90;28.54;6.38;4.44;17.68]

fZ =[0;0;0;0;0;0;0.36;3.68;25.80;13.08;8.92;48.16]

save datosag.mat fA fS1 fS2 fS3 fS4 fS5 fS6 fZ

Nota: Este comando guardara el archivo *datosag.mat* solo las variables: *fA fS1 fS2 fS3 fS4 fS5 fS6 fZ*

Leyes de Estaño:

LA =3.28

LS1 =3.97

LS2 =2.65

LS3 =2.16

LS4 =2.84

LS5 =3.37

LS6 =3.98

LZ =3.54

LfA =[2.07;2.00;1.96;1.83;1.83;1.63;2.04;3.00;3.98;6.55;8.22;10.15]

LfS1 =[1.82;1.93;2.45;3.66;5.62;6.36;8.49;13.19;14.15;7.07;7.12;11.06]

LfS2 =[0.79;0.77;1.20;1.91;6.20;14.53;33.97;28.30;12.26;9.08;8.40;10.20]

LfS3 =[0;0.47;0.53;0.62;1.08;2.69;13.64;29.81;30.02;13.48;11.34;2.09]

LfS4 =[0;0;0;0.50;0.83;0.76;1.53;5.40;13.68;13.08;15.72;10.24]

```
LfS5 =[0;0;0;0;0.57;0.44;0.77;2.02;5.52;8.60;10.04;9.96]
```

```
LfS6 =[0;0;0;0;0;6.92;0.63;0.73;2.60;6.06;8.26;10.20]
```

```
LfZ =[0;0;0;0;0;0;1.66;0.42;0.44;1.00;1.63;6.29]
```

```
save datosley.mat LA LS1 LS2 LS3 LS4 LS5 LS6 LfZ LfA LfS1 LfS2 LfS3
LfS4 LfS5 LfS6 LfZ
```

Tamaño de Partículas:

```
TamMax =[1400;850;600;445;300;212;150;106;75;53;45;38]
```

```
TamMin =[850;600;445;300;212;150;106;75;53;45;38;0]
```

```
save tampart.mat TamMax TamMin
```

Nótese que las variables que corresponden a fracciones en peso, leyes de mallas y tamaño de partículas deben de tener las mismas dimensiones. En este caso es de 12x1

El uso de punto y coma “;” sirve para separar dar forma de Matriz Columna.

### ***Forma #02***

Se puede ingresar los datos como columna evitando el uso de punto y coma presionando “Enter” para cada ingreso de datos

Ej:

```
fA =[2.43
```

```
6.28
```

```
11.12
```

11.87

14.84

10.29

11.30

10.37

9.30

1.96

2.37

7.87]

### ***Forma #03***

Se puede ingresar los datos como Matriz Fila (usar espacios “ “en lugar de punto y coma “;”) y usar al final “ ’ ” para transponer la matriz.

Ej:

fA =[2.43 6.28 11.12 11.87 14.84 10.29 11.30 10.37 9.30 1.96 2.37 7.87]’

Si se quisiera modificar algún dato, se puede hacer mediante las tres formas de ingreso presentadas o editarlas directamente en la ventana “Workspace” y grabar los datos.

## **9.2.2 Archivos-M: Funciones y Programas**

Analizar

Programa que ejecuta:

- Corrección por Multiplicadores de Lagrange de Análisis Granulométricos y Químicos.
- Análisis Estadístico (Funciones estadísticas, y por ajuste de las funciones de distribución).
- Cálculo de las Curvas de Partición y ajuste de curvas.
- Cálculo de las Eficiencias de los Spigots
- Calculo de la Eficiencia del Clasificador.
- Gráfico de las Distribuciones Granulométricas y de Estaño.
- Gráfico de las Funciones de Distribución.
- Gráfico de las Curvas de Partición (Sin corregir, Corregidas y Reducidas).
- Gráfico de las Eficiencias por Spigot.

Nota: Todos los programas y funciones usados se encuentran en los Anexos.

### **9.2.3 Archivos-RPT: Resultados en HTML**

Ejecutar en Command Window las siguientes instrucciones:

```
analizar  
  
report Stokes_rep
```

Se obtendrá el siguiente resultado en HTML:

# EFICIENCIA DEL CLASIFICADOR STOKES

23-Feb-2003

Juan Antonio Kobashicawa Chinen

Copyright © 2003 by Juan Antonio Kobashicawa Chinen

Calculo de la Eficiencia del Clasificador Stokes

---

## **Table of Contents**

1. Correccion de Analisis Granulometricos por Multiplicadores de Lagrange
2. Correccion de Analisis Quimico por Multiplicadores de Lagrange
3. Analisis Estadistico
4. Curvas Tromp
5. Calculo del parametro d50
6. Distribucion de Estaño
7. Eficiencia del Clasificador Stokes
8. Graficos

## **List of Tables**

- 1-1. Analisis Granulometrico - Porcentajes en Peso
- 1-2. Analisis Granulometricos Corregidos - Porcentaje en Peso
- 1-3. Analisis Granulometrico - Porcentaje Acumulado Pasante
- 1-4. Analisis Granulometrico Corregido - Porcentaje Acumulado Pasante
- 2-1. Analisis Quimicos por Entradas y Salidas
- 2-2. Analisis Quimico Corregido por Entradas y Salidas
- 2-3. Analisis Quimico por Mallas
- 2-4. Analisis Quimico Corregido por Mallas



- 3-1. Parametros Estadisticos, Ajuste de Curvas - Alimento
- 3-2. Parametros Estadisticos, Ajuste de Curvas - Spigot #01
- 3-3. Parametros Estadisticos, Ajuste de Curvas - Spigot #02
- 3-4. Parametros Estadisticos, Ajuste de Curvas - Spigot #03
- 3-5. Parametros Estadisticos, Ajuste de Curvas - Spigot #04
- 3-6. Parametros Estadisticos, Ajuste de Curvas - Spigot #05
- 3-7. Parametros Estadisticos, Ajuste de Curvas - Spigot #06
- 3-8. Parametros Estadisticos, Ajuste de Curvas - Rebose
- 4-1. Curva Tromp - Spigot #01
- 4-2. Curva Tromp - Spigot #02
- 4-3. Curva Tromp - Spigot #03
- 4-4. Curva Tromp - Spigot #04
- 4-5. Curva Tromp - Spigot #05
- 4-6. Curva Tromp - Spigot #06
- 5-1. d50 Calculado por Interpolacion Lineal - Splines Lineales
- 5-2. d50 Corregido Calculado por Interpolacion Lineal - Splines Lineales
- 5-3. Ajuste a Curvas de Particion - Spigot #01
- 5-4. Ajuste a Curvas de Particion - Spigot #02
- 5-5. Ajuste a Curvas de Particion - Spigot #03
- 5-6. Ajuste a Curvas de Particion - Spigot #04
- 5-7. Ajuste a Curvas de Particion - Spigot #05
- 5-8. Ajuste a Curvas de Particion - Spigot #06
- 6-1. Distribucion de Estaño en Entradas y Salidas
- 6-2. Distribucion de Sn Total Ingresante
- 7-1. Eficiencia por Spigot
- 7-2. Eficiencia del Clasificador Stokes

## Chapter 1. Correccion de Analisis Granulometricos por Multiplicadores de Lagrange

Table 1-1. Analisis Granulometrico - Porcentajes en Peso

| Tamaño<br>((10 <sup>-3</sup> )mm) | Alimento | Spigot #01 | Spigot #02 | Spigot #03 | Spigot #04 | Spigot #05 | Spigot #06 | Rebose | Error       |
|-----------------------------------|----------|------------|------------|------------|------------|------------|------------|--------|-------------|
| 1090.87                           | 2.43     | 13.81      | 2.22       | 0          | 0          | 0          | 0          | 0      | 0.00294933  |
| 714.143                           | 6.28     | 31.62      | 16.8       | 0.92       | 0          | 0          | 0          | 0      | -0.00193004 |
| 516.72                            | 11.12    | 30.52      | 42.22      | 10.13      | 0          | 0          | 0          | 0      | -0.0003966  |
| 365.377                           | 11.87    | 13.6       | 28.48      | 31.27      | 3.14       | 0          | 0          | 0      | 0.000840564 |
| 252.19                            | 14.84    | 6.25       | 8.12       | 44.78      | 25.04      | 3.86       | 0          | 0      | -0.00120571 |
| 178.326                           | 10.29    | 1.67       | 0.96       | 9.91       | 29.72      | 17.62      | 1.14       | 0      | 0.00083567  |
| 126.095                           | 11.3     | 0.99       | 0.57       | 1.86       | 21.47      | 29.74      | 12.92      | 0.36   | -0.00155536 |
| 89.1628                           | 10.37    | 0.5        | 0.29       | 0.63       | 9.48       | 19.92      | 28.9       | 3.68   | 0.00189562  |
| 63.0476                           | 9.3      | 0.36       | 0.1        | 0.4        | 5.45       | 14.2       | 28.54      | 25.8   | -0.00256153 |
| 48.8365                           | 1.96     | 0.08       | 0.06       | 0.04       | 1.11       | 3.05       | 6.38       | 13.08  | -0.00528888 |
| 41.3521                           | 2.37     | 0.09       | 0.09       | 0.02       | 1.16       | 2.39       | 4.44       | 8.92   | 0.00530562  |
| 19                                | 7.87     | 0.51       | 0.09       | 0.04       | 3.43       | 9.22       | 17.68      | 48.16  | 0.00111131  |

Error definido por la siguiente formula:

$$\text{ErrorMalla} = fA - (fS1 \cdot b1c + fS2 \cdot b2c + fS3 \cdot b3c + fS4 \cdot b4c + fS5 \cdot b5c + fS6 \cdot b6c + fZ \cdot bZc)$$

Table 1-2. Analisis Granulometricos Corregidos - Porcentaje en Peso

| Tamaño<br>((10 <sup>-3</sup> )mm) | Alimento | Spigot #01 | Spigot #02 | Spigot #03 | Spigot #04 | Spigot #05  | Spigot #06  | Rebose      | Error         |
|-----------------------------------|----------|------------|------------|------------|------------|-------------|-------------|-------------|---------------|
| 1090.87                           | 2.17493  | 13.8445    | 2.25061    | 0.0494297  | 0.0380141  | 0.048279    | 0.0403571   | 0.0138636   | -6.93889e-018 |
| 714.143                           | 6.44692  | 31.5974    | 16.78      | 0.887653   | -0.0248764 | -0.0315938  | -0.0264096  | -0.00907233 | -1.38778e-017 |
| 516.72                            | 11.1543  | 30.5154    | 42.2159    | 10.1234    | -0.0051118 | -0.00649213 | -0.00542686 | -0.00186425 | 0             |
| 365.377                           | 11.7973  | 13.6098    | 28.4887    | 31.2841    | 3.15083    | 0.0137596   | 0.0115018   | 0.00395115  | 0             |
| 252.19                            | 14.9443  | 6.23589    | 8.10749    | 44.7598    | 25.0245    | 3.84026     | -0.0164983  | -0.00566755 | 0             |
| 178.326                           | 10.2177  | 1.67978    | 0.968673   | 9.92401    | 29.7308    | 17.6337     | 1.15143     | 0.00392814  | 0             |
| 126.095                           | 11.4345  | 0.971799   | 0.553857   | 1.83393    | 21.45      | 29.7145     | 12.8987     | 0.352689    | -1.38778e-017 |
| 89.1628                           | 10.2061  | 0.522183   | 0.309675   | 0.66177    | 9.50443    | 19.951      | 28.9259     | 3.68891     | 1.38778e-017  |
| 63.0476                           | 9.52153  | 0.330025   | 0.073414   | 0.35707    | 5.41698    | 14.1581     | 28.5049     | 25.788      | 0             |
| 48.8365                           | 2.4174   | 0.0181089  | 0.00510682 | -0.0486397 | 1.04183    | 2.96342     | 6.30763     | 13.0551     | 0             |
| 41.3521                           | 1.91115  | 0.152087   | 0.145067   | 0.10892    | 1.22838    | 2.47685     | 4.5126      | 8.94494     | 0             |
| 19                                | 7.77389  | 0.523005   | 0.101534   | 0.0586251  | 3.44432    | 9.23819     | 17.6952     | 48.1652     | 1.38778e-017  |

Error definido por la siguiente formula:

$$\text{ErrorMalla} = fAc - (fS1c \cdot b1c + fS2c \cdot b2c + fS3c \cdot b3c + fS4c \cdot b4c + fS5c \cdot b5c + fS6c \cdot b6c + fZc \cdot bZc)$$

Table 1-3. Analisis Granulometrico - Porcentaje Acumulado Pasante

| Tamaño<br>((10 <sup>-3</sup> )mm) | Alimento | Spigot #01    | Spigot #02 | Spigot #03   | Spigot #04   | Spigot #05 | Spigot #06   | Rebose |
|-----------------------------------|----------|---------------|------------|--------------|--------------|------------|--------------|--------|
| 850                               | 97.57    | 86.19         | 97.78      | 100          | 100          | 100        | 100          | 100    |
| 600                               | 91.29    | 54.57         | 80.98      | 99.08        | 100          | 100        | 100          | 100    |
| 445                               | 80.17    | 24.05         | 38.76      | 88.95        | 100          | 100        | 100          | 100    |
| 300                               | 68.3     | 10.45         | 10.28      | 57.68        | 96.86        | 100        | 100          | 100    |
| 212                               | 53.46    | 4.2           | 2.16       | 12.9         | 71.82        | 96.14      | 100          | 100    |
| 150                               | 43.17    | 2.53          | 1.2        | 2.99         | 42.1         | 78.52      | 98.86        | 100    |
| 106                               | 31.87    | 1.54          | 0.63       | 1.13         | 20.63        | 48.78      | 85.94        | 99.64  |
| 75                                | 21.5     | 1.04          | 0.34       | 0.5          | 11.15        | 28.86      | 57.04        | 95.96  |
| 53                                | 12.2     | 0.68          | 0.24       | 0.1          | 5.7          | 14.66      | 28.5         | 70.16  |
| 45                                | 10.24    | 0.6           | 0.18       | 0.06         | 4.59         | 11.61      | 22.12        | 57.08  |
| 38                                | 7.87     | 0.51          | 0.09       | 0.04         | 3.43         | 9.22       | 17.68        | 48.16  |
| 0                                 | 0        | -2.22045e-014 | 0          | 2.22045e-014 | 2.22045e-014 | 0          | 1.11022e-014 | 0      |

Table 1-4. Analisis Granulometrico Corregido - Porcentaje Acumulado Pasante

| Tamaño<br>((10 <sup>-3</sup> )mm) | Alimento     | Spigot #01   | Spigot #02 | Spigot #03   | Spigot #04 | Spigot #05 | Spigot #06 | Rebose  |
|-----------------------------------|--------------|--------------|------------|--------------|------------|------------|------------|---------|
| 850                               | 97.8251      | 86.1555      | 97.7494    | 99.9506      | 99.962     | 99.9517    | 99.9596    | 99.9861 |
| 600                               | 91.3782      | 54.5581      | 80.9694    | 99.0629      | 99.9869    | 99.9833    | 99.9861    | 99.9952 |
| 445                               | 80.2239      | 24.0427      | 38.7535    | 88.9396      | 99.992     | 99.9898    | 99.9915    | 99.9971 |
| 300                               | 68.4265      | 10.4329      | 10.2648    | 57.6555      | 96.8411    | 99.976     | 99.98      | 99.9931 |
| 212                               | 53.4823      | 4.19699      | 2.15733    | 12.8957      | 71.8167    | 96.1358    | 99.9965    | 99.9988 |
| 150                               | 43.2645      | 2.51721      | 1.18865    | 2.97168      | 42.0859    | 78.5021    | 98.845     | 99.9949 |
| 106                               | 31.83        | 1.54541      | 0.634797   | 1.13775      | 20.636     | 48.7876    | 85.9463    | 99.6422 |
| 75                                | 21.624       | 1.02323      | 0.325122   | 0.475975     | 11.1315    | 28.8365    | 57.0204    | 95.9533 |
| 53                                | 12.1024      | 0.693201     | 0.251708   | 0.118906     | 5.71454    | 14.6785    | 28.5154    | 70.1653 |
| 45                                | 9.68504      | 0.675092     | 0.246601   | 0.167545     | 4.67271    | 11.715     | 22.2078    | 57.1102 |
| 38                                | 7.77389      | 0.523005     | 0.101534   | 0.0586251    | 3.44432    | 9.23819    | 17.6952    | 48.1652 |
| 0                                 | 2.22045e-014 | 2.22045e-014 | 0          | 1.11022e-014 | 0          | 0          | 0          | 0       |

---

## Chapter 2. Correccion de Analisis Quimico por Multiplicadores de Lagrange

Table 2-1. Analisis Quimicos por Entradas y Salidas

| Alimento | Spigot #01 | Spigot #02 | Spigot #03 | Spigot #04 | Spigot #05 | Spigot #06 | Rebose | Error         |
|----------|------------|------------|------------|------------|------------|------------|--------|---------------|
| 3.28     | 3.97       | 2.65       | 2.16       | 2.84       | 3.37       | 3.98       | 3.54   | -4.44089e-016 |

Error definido por la siguiente formula:

$$DMq1=LA-(LS1*b1c+LS2*b2c+LS3*b3c+LS4*b4c+LS5*b5c+LS6*b6c+LZ*bZc)$$

Table 2-2. Analisis Quimico Corregido por Entradas y Salidas

| Alimento | Spigot #01 | Spigot #02 | Spigot #03 | Spigot #04 | Spigot #05 | Spigot #06 | Rebose  | Error         |
|----------|------------|------------|------------|------------|------------|------------|---------|---------------|
| 2.84689  | 3.12365    | 2.31824    | 1.76916    | 2.7836     | 3.09504    | 3.83047    | 3.61392 | -4.44089e-016 |

Error definido por la siguiente formula:

$$DMq1=LAc-(LS1c*b1c+LS2c*b2c+LS3c*b3c+LS4c*b4c+LS5c*b5c+LS6c*b6c+LZc*bZc)$$

Table 2-3. Analisis Quimico por Mallas

| Tamaño ((10^-3)mm)   | Alimento        | Spigot #01     | Spigot #02      | Spigot #03      | Spigot #04     | Spigot #05     | Spigot #06      | Rebose           | Error      |
|----------------------|-----------------|----------------|-----------------|-----------------|----------------|----------------|-----------------|------------------|------------|
| 1090.87              | 2.07            | 1.82           | 0.79            | 0               | 0              | 0              | 0               | 0                | 0.00879304 |
| 714.143              | 2               | 1.93           | 0.77            | 0.47            | 0              | 0              | 0               | 0                | 0.0301071  |
| 516.72               | 1.96            | 2.45           | 1.2             | 0.53            | 0              | 0              | 0               | 0                | 0.0462682  |
| 365.377              | 1.83            | 3.66           | 1.91            | 0.62            | 0.5            | 0              | 0               | 0                | 0.0432516  |
| 252.19               | 1.83            | 5.62           | 6.2             | 1.08            | 0.83           | 0.57           | 0               | 0                | 0.0369566  |
| 178.326              | 1.63            | 6.36           | 14.53           | 2.69            | 0.76           | 0.44           | 6.92            | 0                | 0.0225006  |
| 126.095              | 2.04            | 8.49           | 33.97           | 13.64           | 1.53           | 0.77           | 0.63            | 1.66             | 0.0456503  |
| 89.1628              | 3               | 13.19          | 28.3            | 29.81           | 5.4            | 2.02           | 0.73            | 0.42             | 0.0610908  |
| 63.0476              | 3.98            | 14.15          | 12.26           | 30.02           | 13.68          | 5.52           | 2.6             | 0.44             | -0.031012  |
| 48.8365              | 6.55            | 7.07           | 9.08            | 13.48           | 13.08          | 8.6            | 6.06            | 1                | 0.023259   |
| 41.3521              | 8.22            | 7.12           | 8.4             | 11.34           | 15.72          | 10.04          | 8.26            | 1.63             | 0.0090273  |
| 19                   | 10.15           | 11.06          | 10.2            | 2.09            | 10.24          | 9.96           | 10.2            | 6.29             | 0.102777   |
| <b>Error por E-S</b> | <b>0.208607</b> | <b>1.13713</b> | <b>0.501087</b> | <b>0.596217</b> | <b>0.12605</b> | <b>0.43353</b> | <b>0.306877</b> | <b>0.0992384</b> | <b>0</b>   |

Error definido por la siguiente formula:

Error por Malla (Columna)

$$DMq2=LfA.*fAc-(LfS1.*fS1c*b1c+LfS2.*fS2c*b2c+LfS3.*fS3c*b3c+LfS4.*fS4c*b4c+LfS5.*fS5c*b5c+LfS6.*fS6c*b6c+LfZ.*fZc*bZc)$$

Error por Entrada y/o Salida (Fila)

DMq=L-sum(Lf.\*fc);

Table 2-4. Analisis Quimico Corregido por Mallas

| Tamaño<br>((10 <sup>-3</sup> )mm) | Alimento | Spigot #01          | Spigot #02           | Spigot #03  | Spigot #04    | Spigot #05          | Spigot #06    | Rebose              | Error         |
|-----------------------------------|----------|---------------------|----------------------|-------------|---------------|---------------------|---------------|---------------------|---------------|
| 1090.87                           | 1.90196  | 2.09002             | 0.819505             | 0.000974775 | 0.000483702   | 0.000878366         | 0.000581344   | 5.12344e-005        | 0             |
| 714.143                           | 1.83282  | 2.32681             | 0.886613             | 0.478675    | -0.000126231  | -0.000267847        | -0.000165946  | -8.21675e-006       | 0             |
| 516.72                            | 1.79224  | 2.78825             | 1.43819              | 0.607568    | -1.76405e-005 | -4.16542e-005       | -2.47471e-005 | -5.84724e-007       | -2.77556e-017 |
| 365.377                           | 1.65589  | 3.81034             | 2.06978              | 0.858004    | 0.510741      | 8.75511e-005        | 5.19382e-005  | 1.17892e-006        | -5.55112e-017 |
| 252.19                            | 1.75156  | 5.68086             | 6.23622              | 1.33804     | 0.879843      | 0.587523            | -4.96762e-005 | 1.23841e-006        | -5.55112e-017 |
| 178.326                           | 1.49871  | 6.37812             | 14.5352              | 2.76183     | 0.852893      | 0.545828            | 6.92485       | 7.6439e-007         | 5.55112e-017  |
| 126.095                           | 1.79286  | 8.50164             | 33.9736              | 13.6564     | 1.62504       | 0.997626            | 0.702236      | 1.66024             | 2.77556e-017  |
| 89.1628                           | 2.60062  | 13.1975             | 28.3026              | 29.8182     | 5.46693       | 2.23899             | 0.972168      | 0.425988            | -5.55112e-017 |
| 63.0476                           | 4.2562   | 14.1517             | 12.26                | 30.0197     | 13.6631       | 5.4928              | 2.53133       | 0.38635             | 1.11022e-016  |
| 48.8365                           | 5.82287  | 7.0709              | 9.0802               | 13.4769     | 13.128        | 8.77929             | 6.37394       | 1.20686             | 2.77556e-017  |
| 41.3521                           | 7.85305  | 7.12533             | 8.4039               | 11.3446     | 15.7566       | 10.1389             | 8.40693       | 1.71884             | 0             |
| 19                                | 9.14194  | 11.0739             | 10.202               | 2.09175     | 10.3107       | 10.2197             | 10.6016       | 6.60521             | 0             |
| <b>Error por E-S</b>              | <b>0</b> | <b>8.88178e-016</b> | <b>-8.88178e-016</b> | <b>0</b>    | <b>0</b>      | <b>4.44089e-016</b> | <b>0</b>      | <b>4.44089e-016</b> | <b>0</b>      |



Error definido por la siguiente formula:

Error por Malla (Columna)

$$DMq2=LfAc.*fAc-(LfS1c.*fS1c*b1c+LfS2c.*fS2c*b2c+LfS3c.*fS3c*b3c+LfS4c.*fS4c*b4c+LfS5c.*fS5c*b5c+LfS6c.*fS6c*b6c+LfZc.*fZc*bZc)$$

Error por Entrada y/o Salida (Fila)

$$DMqc=Lc-sum(Lfc.*fc);$$

### Chapter 3. Analisis Estadistico

Table 3-1. Parametros Estadisticos, Ajuste de Curvas - Alimento

| Parametro      | Estadistica | GGS      | GM        | RR        | Normal    | Normal mod | LogNormal  | Gamma      | BC        | Harris 3p  | Beta       |
|----------------|-------------|----------|-----------|-----------|-----------|------------|------------|------------|-----------|------------|------------|
| r <sup>2</sup> | NaN         | 0.646948 | 0.994529  | 0.994631  | 0.968402  | 0.996219   | 0.996854   | 0.997965   | 0.946644  | 0.995577   | 0.996283   |
| min cuad       | NaN         | 0.482663 | 0.0088168 | 0.0059611 | 0.0509245 | 0.00609336 | 0.00506995 | 0.00327958 | 0.0592349 | 0.00604607 | 0.00508193 |
| alpha          | NaN         | 0.732977 | 30.7272   | 1.19455   | 168.923   | 516.739    | 1.02943    | 1.2208     | 0.961378  | 4.99518    | 1.0994     |
| beta           | NaN         | NaN      | NaN       | NaN       | NaN       | NaN        | NaN        | NaN        | NaN       | 1.04436    | 6.53373    |
| Xo             | NaN         | 725.086  | 8675.23   | 272.828   | 217.604   | -596.918   | 177.182    | 212.138    | 638.841   | 1404.13    | 1741.22    |
| Tamaño Medio   | 269.736     | 306.681  | 273.432   | 256.94    | 217.604   | 256.097    | 300.979    | 258.977    | 260.523   | 249.191    | 250.789    |
| Varianza       | 68384.2     | 46951.4  | 70196.3   | 46643.6   | 28534.9   | 48564.7    | 170813     | 54938.8    | 32560.9   | 41169      | 43296.5    |
| Desv. Std.     | 261.504     | 216.683  | 264.946   | 215.971   | 168.923   | 220.374    | 413.295    | 234.39     | 180.446   | 202.901    | 208.078    |
| CV             | 0.96948     | 0.70654  | 0.968963  | 0.840551  | 0.776284  | 0.86051    | 1.37317    | 0.905062   | 0.692631  | 0.81424    | 0.829694   |

Table 3-2. Parametros Estadisticos, Ajuste de Curvas - Spigot #01

| Parametro      | Estadistica | GGS      | GM       | RR        | Normal     | Normal mod | LogNormal  | Gamma      | BC        | Harris 3p  | Beta     |
|----------------|-------------|----------|----------|-----------|------------|------------|------------|------------|-----------|------------|----------|
| r <sup>2</sup> | NaN         | 0.828858 | 0.924564 | 0.920942  | 0.999055   | 0.999063   | 0.995812   | 0.997503   | 0.916596  | 0.998546   | 0.998351 |
| min cuad       | NaN         | 0.244549 | 0.111758 | 0.0629735 | 0.00140069 | 0.0013883  | 0.00620398 | 0.00369939 | 0.0664354 | 0.00207745 | 0.002356 |
| alpha          | NaN         | 1.63395  | 1.05746  | 1.86779   | 222.959    | 226.704    | 0.397815   | 6.42612    | 1.77699   | 7.22211    | 4.16168  |
| beta           | NaN         | NaN      | NaN      | NaN       | NaN        | NaN        | NaN        | NaN        | NaN       | 2.74028    | 7.21941  |
| Xo             | NaN         | 1154.98  | 1315.14  | 826.622   | 587.953    | 586.166    | 569.729    | 94.3344    | 1208.25   | 1408.73    | 1628.45  |
| Tamaño Medio   | 602.744     | 716.483  | 639.099  | 733.946   | 587.953    | 589.378    | 616.642    | 606.205    | 687.898   | 589.305    | 595.471  |
| Varianza       | 56406.3     | 86455.5  | 141365   | 166506    | 49710.9    | 49501.7    | 65199.9    | 57186      | 92600.4   | 47406.8    | 49681.5  |
| Desv. Std.     | 237.5       | 294.033  | 375.989  | 408.051   | 222.959    | 222.49     | 255.343    | 239.136    | 304.303   | 217.731    | 222.894  |
| CV             | 0.394032    | 0.410384 | 0.588249 | 0.555969  | 0.379213   | 0.377499   | 0.414086   | 0.39448    | 0.442367  | 0.369471   | 0.374315 |

Table 3-3. Parametros Estadisticos, Ajuste de Curvas - Spigot #02

| Parametro      | Estadistica | GGs      | GM       | RR        | Normal      | Normal mod  | LogNormal  | Gamma      | BC        | Harris 3p  | Beta       |
|----------------|-------------|----------|----------|-----------|-------------|-------------|------------|------------|-----------|------------|------------|
| r <sup>2</sup> | NaN         | -0.09304 | 0.890978 | 0.956891  | 0.999716    | 0.999713    | 0.998144   | 0.998893   | 0.923317  | 0.999687   | 0.999222   |
| min cuad       | NaN         | 2.02351  | 0.209562 | 0.0552371 | 0.000546497 | 0.000552566 | 0.00356843 | 0.00212835 | 0.0982557 | 0.00057873 | 0.00143978 |
| alpha          | NaN         | 2.16673  | 1.18454  | 2.62452   | 138.425     | 138.481     | 0.298218   | 11.426     | 2.43984   | 40.5344    | 8.24313    |
| beta           | NaN         | NaN      | NaN      | NaN       | NaN         | NaN         | NaN        | NaN        | NaN       | 3.96763    | 19.8924    |
| Xo             | NaN         | 948.36   | 1134.38  | 620.418   | 481.841     | 481.779     | 473.27     | 42.8846    | 875.555   | 1352.12    | 1659.79    |
| Tamaño Medio   | 498.588     | 648.884  | 517.41   | 551.218   | 481.841     | 481.909     | 494.79     | 490        | 567.527   | 479.978    | 486.284    |
| Varianza       | 33847.1     | 46637.3  | 101091   | 50997.8   | 19161.6     | 19114.4     | 22770      | 21013.5    | 38464     | 18017.9    | 19586.3    |
| Desv. Std.     | 183.976     | 215.957  | 318.027  | 225.827   | 138.425     | 138.255     | 150.897    | 144.96     | 196.122   | 134.231    | 139.951    |
| CV             | 0.368994    | 0.332813 | 0.61339  | 0.409687  | 0.287285    | 0.28689     | 0.304973   | 0.295837   | 0.345574  | 0.279661   | 0.287797   |

Table 3-4. Parametros Estadisticos, Ajuste de Curvas - Spigot #03

| Parametro      | Estadistica | GGS      | GM       | RR       | Normal     | Normal mod | LogNormal  | Gamma      | BC       | Harris 3p | Beta         |
|----------------|-------------|----------|----------|----------|------------|------------|------------|------------|----------|-----------|--------------|
| r <sup>2</sup> | NaN         | -2.49081 | 0.897947 | 0.977289 | 0.995446   | 0.995449   | 0.998606   | 0.997785   | 0.845423 | 0.993779  | -2.56543     |
| min cuad       | NaN         | 6.71123  | 0.206414 | 0.032461 | 0.00921003 | 0.00920504 | 0.00281936 | 0.00448019 | 0.220942 | 0.0119602 | 6.85468      |
| alpha          | NaN         | 2.81253  | 1.10284  | 3.52265  | 79.9135    | 80.0373    | 0.305893   | 11.0864    | 3.23875  | 52.2688   | 8.37295      |
| beta           | NaN         | NaN      | NaN      | NaN      | NaN        | NaN        | NaN        | NaN        | NaN      | 4.24278   | 1.15725e+006 |
| Xo             | NaN         | 543.422  | 686.324  | 363.495  | 291.429    | 291.444    | 288.727    | 27.0119    | 483.88   | 807.711   | 1020         |
| Tamaño Medio   | 310.228     | 400.886  | 324.697  | 327.165  | 291.429    | 291.486    | 302.556    | 299.464    | 344.528  | 288.31    | 0.00737987   |
| Varianza       | 11494.3     | 11873.3  | 38198.1  | 10595.6  | 6386.17    | 6393.67    | 8979.04    | 8089.1     | 8952.21  | 5786.8    | 6.50453e-006 |
| Desv. Std.     | 107.211     | 108.965  | 195.462  | 102.935  | 79.9135    | 79.9605    | 94.7578    | 89.9394    | 94.6161  | 76.071    | 0.0025504    |
| CV             | 0.345588    | 0.27181  | 0.600107 | 0.314627 | 0.274213   | 0.27432    | 0.313191   | 0.300334   | 0.274625 | 0.263852  | 0.345588     |

Table 3-5. Parametros Estadisticos, Ajuste de Curvas - Spigot #04

| Parametro      | Estadistica | GGs      | GM        | RR        | Normal      | Normal mod  | LogNormal | Gamma      | BC         | Harris 3p   | Beta       |
|----------------|-------------|----------|-----------|-----------|-------------|-------------|-----------|------------|------------|-------------|------------|
| r <sup>2</sup> | NaN         | 0.656777 | 0.938933  | 0.995592  | 0.999642    | 0.999855    | 0.991098  | 0.995749   | 0.991218   | 0.999646    | 0.998307   |
| min cuad       | NaN         | 0.440139 | 0.0869233 | 0.0038425 | 0.000509246 | 0.000206599 | 0.0126705 | 0.00605153 | 0.00765612 | 0.000454434 | 0.00217079 |
| alpha          | NaN         | 1.51517  | 1.19365   | 2.19834   | 74.0767     | 77.2866     | 0.485673  | 4.3597     | 1.89386    | 5.08709     | 3.052      |
| beta           | NaN         | NaN      | NaN       | NaN       | NaN         | NaN         | NaN       | NaN        | NaN        | 2.22073     | 6.43363    |
| Xo             | NaN         | 323.573  | 388.189   | 188.527   | 166.849     | 164.684     | 157.648   | 39.7656    | 292.363    | 419.155     | 528.9      |
| Tamaño Medio   | 171.872     | 194.924  | 176.788   | 166.964   | 166.849     | 167.923     | 177.382   | 173.366    | 171.228    | 167.982     | 170.173    |
| Varianza       | 6494.47     | 7133.84  | 11730.4   | 6427.01   | 5487.36     | 5429.43     | 8370.19   | 6894       | 5204.45    | 5246.97     | 5821.85    |
| Desv. Std.     | 80.5882     | 84.462   | 108.316   | 80.1686   | 74.0767     | 73.6847     | 91.4887   | 83.0301    | 72.1419    | 72.436      | 76.301     |
| CV             | 0.468886    | 0.433307 | 0.612345  | 0.480155  | 0.443973    | 0.438801    | 0.515772  | 0.47893    | 0.421321   | 0.431212    | 0.448372   |

Table 3-6. Parametros Estadisticos, Ajuste de Curvas - Spigot #05

| Parametro      | Estadistica | GGS      | GM        | RR         | Normal     | Normal mod  | LogNormal | Gamma     | BC        | Harris 3p   | Beta       |
|----------------|-------------|----------|-----------|------------|------------|-------------|-----------|-----------|-----------|-------------|------------|
| r <sup>2</sup> | NaN         | 0.770326 | 0.954035  | 0.998189   | 0.999143   | 0.999754    | 0.991017  | 0.996713  | 0.981112  | 0.999459    | 0.998942   |
| min cuad       | NaN         | 0.235594 | 0.0567505 | 0.00130798 | 0.00105749 | 0.000303671 | 0.0110903 | 0.0040581 | 0.0136438 | 0.000554525 | 0.00108477 |
| alpha          | NaN         | 1.26219  | 1.29105   | 2.07731    | 53.2697    | 56.9102     | 0.563033  | 3.5025    | 1.68875   | 4.65915     | 2.52391    |
| beta           | NaN         | NaN      | NaN       | NaN        | NaN        | NaN         | NaN       | NaN       | NaN       | 1.97184     | 5.33372    |
| Xo             | NaN         | 225.834  | 262.754   | 123.571    | 107.516    | 104.542     | 99.6118   | 32.245    | 201.335   | 289.714     | 343.362    |
| Tamaño Medio   | 112.356     | 126.004  | 114.625   | 109.456    | 107.516    | 108.887     | 116.721   | 112.938   | 111.97    | 109.009     | 110.29     |
| Varianza       | 3619.13     | 3855.99  | 5167.37   | 3057.71    | 2837.66    | 2765.67     | 5081.8    | 3641.69   | 2650.63   | 2656.57     | 2902.07    |
| Desv. Std.     | 60.1592     | 62.0966  | 71.8898   | 55.2966    | 53.2697    | 52.5897     | 71.2868   | 60.3464   | 51.4843   | 51.542      | 53.8709    |
| CV             | 0.535435    | 0.492815 | 0.626991  | 0.505196   | 0.495459   | 0.482976    | 0.610747  | 0.534332  | 0.459803  | 0.472824    | 0.48845    |

Table 3-7. Parametros Estadisticos, Ajuste de Curvas - Spigot #06

| Parametro      | Estadistica | GGS      | GM        | RR         | Normal      | Normal mod  | LogNormal  | Gamma      | BC        | Harris 3p   | Beta      |
|----------------|-------------|----------|-----------|------------|-------------|-------------|------------|------------|-----------|-------------|-----------|
| r <sup>2</sup> | NaN         | 0.743009 | 0.943311  | 0.997851   | 0.999239    | 0.99941     | 0.993702   | 0.997056   | 0.956358  | 0.998789    | 0.997981  |
| min cuad       | NaN         | 0.20549  | 0.0623574 | 0.00128866 | 0.000837196 | 0.000649473 | 0.00692732 | 0.00323835 | 0.0261656 | 0.000968299 | 0.0016143 |
| alpha          | NaN         | 1.09883  | 1.4083    | 2.35058    | 32.6247     | 33.6923     | 0.482525   | 4.52009    | 1.65599   | 6.71009     | 3.28873   |
| beta           | NaN         | NaN      | NaN       | NaN        | NaN         | NaN         | NaN        | NaN        | NaN       | 2.25088     | 8.01798   |
| Xo             | NaN         | 159.726  | 179.499   | 80.1654    | 70.0465     | 69.011      | 66.4013    | 16.1476    | 135.599   | 195.277     | 246.91    |
| Tamaño Medio   | 71.2551     | 83.6233  | 74.4784   | 71.0403    | 70.0465     | 70.6948     | 74.5993    | 72.9888    | 74.7203   | 70.9291     | 71.8174   |
| Varianza       | 1221.78     | 2053.66  | 2300.2    | 1031.91    | 1064.37     | 1016.13     | 1458.98    | 1178.6     | 1215.83   | 955.528     | 1021.77   |
| Desv. Std.     | 34.954      | 45.3173  | 47.9659   | 32.1234    | 32.6247     | 31.8768     | 38.1965    | 34.3307    | 34.8687   | 30.9116     | 31.9652   |
| CV             | 0.490547    | 0.541922 | 0.643787  | 0.452185   | 0.465757    | 0.450907    | 0.512023   | 0.470356   | 0.466657  | 0.43581     | 0.44509   |

Table 3-8. Parametros Estadisticos, Ajuste de Curvas - Rebose

| Parametro      | Estadistica | GGS       | GM        | RR         | Normal     | Normal mod | LogNormal  | Gamma      | BC        | Harris 3p  | Beta       |
|----------------|-------------|-----------|-----------|------------|------------|------------|------------|------------|-----------|------------|------------|
| r <sup>2</sup> | NaN         | 0.771139  | 0.981309  | 0.990615   | 0.997068   | 0.998297   | 0.994259   | 0.996098   | 0.919499  | 0.995071   | 0.992059   |
| min cuad       | NaN         | 0.0609431 | 0.0148493 | 0.00197861 | 0.00232909 | 0.00135276 | 0.00456128 | 0.00310037 | 0.0169712 | 0.00131244 | 0.00211472 |
| alpha          | NaN         | 0.545084  | 2.04824   | 2.20504    | 21.3786    | 23.4376    | 0.449209   | 4.50029    | 1.03691   | 7.12749    | 3.14882    |
| beta           | NaN         | NaN       | NaN       | NaN        | NaN        | NaN        | NaN        | NaN        | NaN       | 1.99846    | 9.88398    |
| Xo             | NaN         | 115.731   | 121.417   | 47.12      | 40.5342    | 38.6698    | 40.2539    | 9.63756    | 94.3727   | 131.947    | 176.069    |
| Tamaño Medio   | 39.2954     | 40.8284   | 39.8273   | 41.731     | 40.5342    | 41.1918    | 44.5273    | 43.3718    | 40.3424   | 41.6195    | 42.5395    |
| Varianza       | 478.719     | 1201.6    | 804.554   | 399.309    | 457.045    | 445.436    | 443.307    | 417.999    | 702.023   | 407.075    | 404.784    |
| Desv. Std.     | 21.8797     | 34.6641   | 28.3715   | 19.9827    | 21.3786    | 21.1054    | 21.0548    | 20.445     | 26.4957   | 20.1761    | 20.1192    |
| CV             | 0.5568      | 0.849018  | 0.712335  | 0.478846   | 0.527422   | 0.512368   | 0.472853   | 0.471389   | 0.656772  | 0.484775   | 0.472955   |



---

## Chapter 4. Curvas Tromp

Table 4-1. Curva Tromp - Spigot #01

| <b>Tamaño ((10<sup>-3</sup>)mm)</b> | <b>ED</b> | <b>EDc</b> |
|-------------------------------------|-----------|------------|
| 1090.87                             | 86.132    | 86.1179    |
| 714.143                             | 66.3181   | 66.2839    |
| 516.72                              | 37.0176   | 36.9537    |
| 365.377                             | 15.61     | 15.5244    |
| 252.19                              | 5.6462    | 5.55046    |
| 178.326                             | 2.22449   | 2.12528    |
| 126.095                             | 1.14998   | 1.04968    |
| 89.1628                             | 0.692304  | 0.591541   |
| 63.0476                             | 0.468999  | 0.36801    |
| 48.8365                             | 0.101362  | 0          |
| 41.3521                             | 1.07679   | 0.976413   |
| 19                                  | 0.910331  | 0.80979    |

Table 4-2. Curva Tromp - Spigot #02

| Tamaño ((10 <sup>-3</sup> )mm) | ED        | EDc       |
|--------------------------------|-----------|-----------|
| 714.143                        | 92.7394   | 92.7376   |
| 516.72                         | 72.1169   | 72.1098   |
| 365.377                        | 34.3417   | 34.325    |
| 252.19                         | 6.9004    | 6.87677   |
| 178.326                        | 1.16363   | 1.13854   |
| 126.095                        | 0.588065  | 0.56283   |
| 89.1628                        | 0.36668   | 0.341388  |
| 63.0476                        | 0.0929686 | 0.0676073 |
| 48.8365                        | 0.0253784 | 0         |
| 41.3521                        | 0.920868  | 0.895717  |
| 19                             | 0.158186  | 0.132841  |

Table 4-3. Curva Tromp - Spigot #03

| <b>Tamaño ((10<sup>-3</sup>)mm)</b> | <b>ED</b> | <b>EDc</b> |
|-------------------------------------|-----------|------------|
| 365.377                             | 92.7453   | 92.7735    |
| 252.19                              | 66.0751   | 66.2071    |
| 178.326                             | 19.4768   | 19.79      |
| 126.095                             | 3.16288   | 3.53947    |
| 89.1628                             | 1.26997   | 1.65393    |
| 63.0476                             | 0.730843  | 1.1169     |
| 48.8365                             | -0.390414 | 0          |
| 41.3521                             | 1.12685   | 1.51136    |
| 19                                  | 0.147719  | 0.53604    |

Table 4-4. Curva Tromp - Spigot #04

| <b>Tamaño ((10<sup>-3</sup>)mm)</b> | <b>ED</b> | <b>EDc</b> |
|-------------------------------------|-----------|------------|
| 365.377                             | 99.0218   | 98.9548    |
| 252.19                              | 83.7439   | 82.6312    |
| 178.326                             | 55.7279   | 52.6976    |
| 126.095                             | 29.3792   | 24.5455    |
| 89.1628                             | 14.2076   | 8.33542    |
| 63.0476                             | 8.58955   | 2.33287    |
| 48.8365                             | 6.40613   | 0          |
| 41.3521                             | 9.88482   | 3.71679    |
| 19                                  | 6.68429   | 0.297196   |

Table 4-5. Curva Tromp - Spigot #05

| <b>Tamaño ((10<sup>-3</sup>)mm)</b> | <b>ED</b> | <b>EDc</b> |
|-------------------------------------|-----------|------------|
| 178.326                             | 94.8185   | 93.1461    |
| 126.095                             | 73.1921   | 64.5396    |
| 89.1628                             | 44.1493   | 26.123     |
| 63.0476                             | 31.1914   | 8.98285    |
| 48.8365                             | 24.7263   | 0.431025   |
| 41.3521                             | 28.0899   | 4.88028    |
| 19                                  | 24.4004   | 0          |

Table 4-6. Curva Tromp - Spigot #06

| <b>Tamaño ((10<sup>-3</sup>)mm)</b> | <b>ED</b> | <b>EDc</b> |
|-------------------------------------|-----------|------------|
| 178.326                             | 99.8829   | 99.7578    |
| 126.095                             | 99.0694   | 98.0743    |
| 89.1628                             | 95.8029   | 91.3143    |
| 63.0476                             | 76.2904   | 50.934     |
| 48.8365                             | 58.4452   | 14.004     |
| 41.3521                             | 59.4906   | 16.1674    |
| 19                                  | 51.6783   | 0          |

## Chapter 5. Calculo del parametro d50

Table 5-1. d50 Calculado por Interpolacion Lineal - Splines Lineales

| Spigot #01 | Spigot #02 | Spigot #03 | Spigot #04 | Spigot #05 | Spigot #06 |
|------------|------------|------------|------------|------------|------------|
| 604.194    | 428.111    | 226.709    | 166.971    | 96.6028    | NaN        |

Table 5-2. d50 Corregido Calculado por Interpolacion Lineal - Splines Lineales

| Spigot #01 | Spigot #02 | Spigot #03 | Spigot #04 | Spigot #05 | Spigot #06 |
|------------|------------|------------|------------|------------|------------|
| 604.535    | 428.161    | 226.4      | 173.321    | 112.117    | 62.4648    |

Table 5-3. Ajuste a Curvas de Particion - Spigot #01

| Parametro      | Plitt    | Lynch    | LogNormal | Logistica en Ln |
|----------------|----------|----------|-----------|-----------------|
| r <sup>2</sup> | 0.833091 | 0.989205 | 0.997816  | 0.998742        |
| alpha          | 1.60769  | 3.62059  | 0.50644   | 3.34015         |
| d50c           | 890.986  | 619.959  | 599.599   | 599.294         |

Table 5-4. Ajuste a Curvas de Particion - Spigot #02

| <b>Parametro</b> | <b>Plitt</b> | <b>Lynch</b> | <b>LogNormal</b> | <b>Logistica en Ln</b> |
|------------------|--------------|--------------|------------------|------------------------|
| r <sup>2</sup>   | 0.784734     | 0.99528      | 0.999829         | 0.999711               |
| alpha            | 2.23837      | 5.08132      | 0.352602         | 4.79154                |
| d50c             | 609.84       | 433.351      | 421.467          | 421.434                |

Table 5-5. Ajuste a Curvas de Particion - Spigot #03

| <b>Parametro</b> | <b>Plitt</b> | <b>Lynch</b> | <b>LogNormal</b> | <b>Logistica en Ln</b> |
|------------------|--------------|--------------|------------------|------------------------|
| r <sup>2</sup>   | 0.831664     | 0.996679     | 0.998277         | 0.999119               |
| alpha            | 2.14712      | 6.2594       | 0.293576         | 5.75826                |
| d50c             | 296.311      | 229.199      | 225.674          | 225.725                |

Table 5-6. Ajuste a Curvas de Particion - Spigot #04

| <b>Parametro</b> | <b>Plitt</b> | <b>Lynch</b> | <b>LogNormal</b> | <b>Logistica en Ln</b> |
|------------------|--------------|--------------|------------------|------------------------|
| r <sup>2</sup>   | 0.995563     | 0.997426     | 0.997563         | 0.997155               |
| alpha            | 2.45577      | 4.02962      | 0.430117         | 3.92217                |
| d50c             | 180.549      | 176.725      | 169.986          | 170.176                |

Table 5-7. Ajuste a Curvas de Particion - Spigot #05

| Parametro      | Plitt    | Lynch    | LogNormal | Logistica en Ln |
|----------------|----------|----------|-----------|-----------------|
| r <sup>2</sup> | 0.986952 | 0.996411 | 0.995342  | 0.995651        |
| alpha          | 3.66628  | 5.07798  | 0.354958  | 4.75361         |
| d50c           | 118.697  | 113.11   | 110.022   | 110.174         |

Table 5-8. Ajuste a Curvas de Particion - Spigot #06

| Parametro      | Plitt   | Lynch    | LogNormal | Logistica en Ln |
|----------------|---------|----------|-----------|-----------------|
| r <sup>2</sup> | 0.94426 | 0.991314 | 0.990223  | 0.988227        |
| alpha          | 2.70581 | 6.05094  | 0.287941  | 5.93271         |
| d50c           | 69.1453 | 63.4253  | 62.5292   | 62.5181         |



## Chapter 6. Distribucion de Estaño

Table 6-1. Distribucion de Estaño en Entradas y Salidas

| Tamaño<br>((10 <sup>-3</sup> )mm) | Alimento | Spigot #01 | Spigot #02 | Spigot #03   | Spigot #04   | Spigot #05   | Spigot #06   | Rebose        |
|-----------------------------------|----------|------------|------------|--------------|--------------|--------------|--------------|---------------|
| 1090.87                           | 1.45304  | 9.2633     | 0.795597   | 2.72349e-005 | 6.60565e-006 | 1.37015e-005 | 6.12492e-006 | 1.96544e-007  |
| 714.143                           | 4.1505   | 23.5369    | 6.41751    | 0.24017      | 1.1281e-006  | 2.73415e-006 | 1.14414e-006 | 2.06272e-008  |
| 516.72                            | 7.02212  | 27.2387    | 26.1899    | 3.47659      | 3.2395e-008  | 8.73737e-008 | 3.50607e-008 | 3.01632e-010  |
| 365.377                           | 6.86188  | 16.6017    | 25.4354    | 15.1721      | 0.578123     | 3.89225e-007 | 1.55956e-007 | 1.28893e-009  |
| 252.19                            | 9.19452  | 11.341     | 21.8097    | 33.8524      | 7.90976      | 0.728987     | 2.13961e-007 | -1.94214e-009 |
| 178.326                           | 5.37899  | 3.4299     | 6.07351    | 15.4924      | 9.10949      | 3.10981      | 2.0816       | 8.30853e-010  |
| 126.095                           | 7.201    | 2.64494    | 8.11671    | 14.1564      | 12.5223      | 9.57791      | 2.36471      | 0.162025      |
| 89.1628                           | 9.32318  | 2.20623    | 3.78071    | 11.1538      | 18.6665      | 14.4328      | 7.34135      | 0.434827      |
| 63.0476                           | 14.235   | 1.49517    | 0.38825    | 6.05889      | 26.589       | 25.1265      | 18.8372      | 2.75689       |
| 48.8365                           | 4.94441  | 0.0409924  | 0.0200026  | -0.370523    | 4.91347      | 8.40596      | 10.4959      | 4.35972       |
| 41.3521                           | 5.27185  | 0.346924   | 0.525885   | 0.698442     | 6.9533       | 8.11377      | 9.90402      | 4.25437       |
| 19                                | 24.9635  | 1.85414    | 0.446825   | 0.069315     | 12.7581      | 30.5042      | 48.9752      | 88.0322       |

Table 6-2. Distribucion de Sn Total Ingresante

| <b>Tamaño<br/>((10<sup>-3</sup>)mm)</b> | <b>Alimento</b> | <b>Spigot #01</b> | <b>Spigot #02</b> | <b>Spigot #03</b> | <b>Spigot #04</b> | <b>Spigot #05</b> | <b>Spigot #06</b> | <b>Rebose</b>  |
|---|-----------------|-------------------|-------------------|-------------------|-------------------|-------------------|-------------------|----------------|
| 1090.87                                 | 1.45304         | 1.37528           | 0.0777505         | 3.27985e-006      | 9.62586e-007      | 2.81946e-006      | 1.30391e-006      | 1.35609e-008   |
| 714.143                                 | 4.1505          | 3.49442           | 0.627158          | 0.0289231         | 1.64388e-007      | 5.62626e-007      | 2.4357e-007       | 1.42321e-009   |
| 516.72                                  | 7.02212         | 4.044             | 2.55944           | 0.418678          | 4.72065e-009      | 1.79795e-008      | 7.4639e-009       | 2.08116e-011   |
| 365.377                                 | 6.86188         | 2.46478           | 2.4857            | 1.82715           | 0.084245          | 8.00937e-008      | 3.32006e-008      | 8.8932e-011    |
| 252.19                                  | 9.19452         | 1.68374           | 2.13137           | 4.07678           | 1.15262           | 0.150009          | 4.55491e-008      | -1.34001e-010  |
| 178.326                                 | 5.37899         | 0.509221          | 0.59354           | 1.86571           | 1.32745           | 0.639927          | 0.443142          | 5.7326e-011    |
| 126.095                                 | 7.201           | 0.392681          | 0.793214          | 1.70483           | 1.82477           | 1.97092           | 0.503411          | 0.0111792      |
| 89.1628                                 | 9.32318         | 0.327548          | 0.369474          | 1.34323           | 2.72011           | 2.96995           | 1.56287           | 0.0300016      |
| 63.0476                                 | 14.235          | 0.221981          | 0.0379421         | 0.72966           | 3.87459           | 5.17046           | 4.01016           | 0.190216       |
| 48.8365                                 | 4.94441         | 0.00608594        | 0.00195478        | -0.0446214        | 0.715999          | 1.72976           | 2.23443           | 0.300806       |
| 41.3521                                 | 5.27185         | 0.0515061         | 0.0513926         | 0.084112          | 1.01325           | 1.66963           | 2.10842           | 0.293537       |
| 19                                      | 24.9635         | 0.275276          | 0.0436665         | 0.00834747        | 1.85914           | 6.27708           | 10.4261           | 6.07392        |
| <b>Total (%)</b>                        | <b>100</b>      | <b>14.8465</b>    | <b>9.7726</b>     | <b>12.0428</b>    | <b>14.5722</b>    | <b>20.5777</b>    | <b>21.2885</b>    | <b>6.89966</b> |

---

## Chapter 7. Eficiencia del Clasificador Stokes

Table 7-1. Eficiencia por Spigot

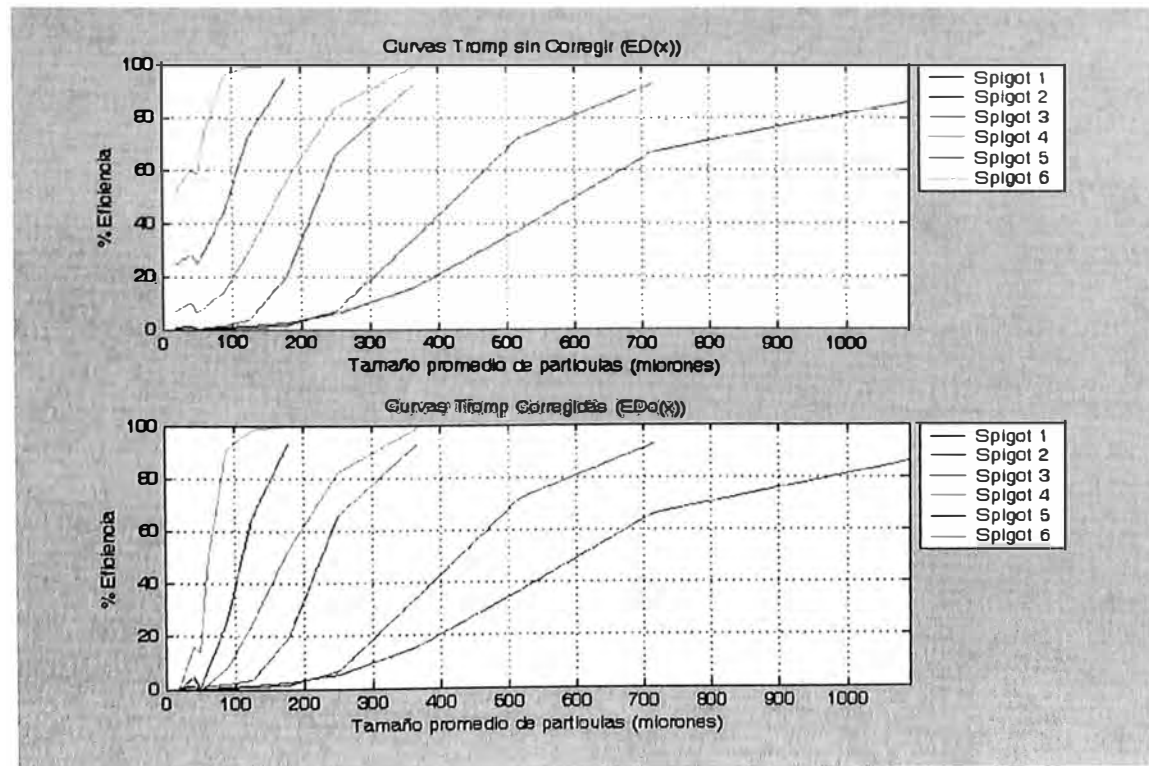
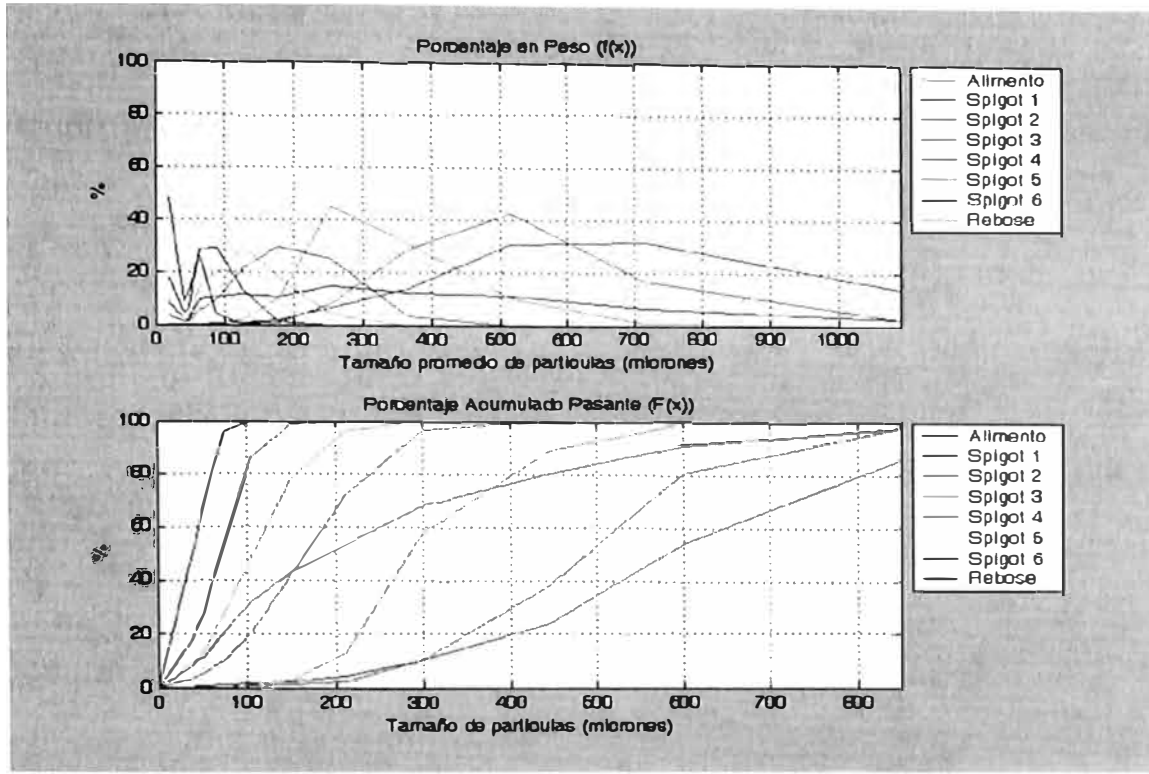
| Parametro       | Spigot #01 | Spigot #02 | Spigot #03 | Spigot #04 | Spigot #05 | Spigot #06 |
|-----------------|------------|------------|------------|------------|------------|------------|
| Ef. Finos (%)   | 91.8467    | 94.3892    | 92.8501    | 82.4345    | 65.8343    | 40.6366    |
| Ef. Gruesos (%) | 71.385     | 72.7143    | 78.6231    | 70.4015    | 81.9966    | 90.1952    |
| Ef. Spigot (%)  | 65.5648    | 68.6344    | 73.0016    | 58.0351    | 53.9819    | 36.6522    |

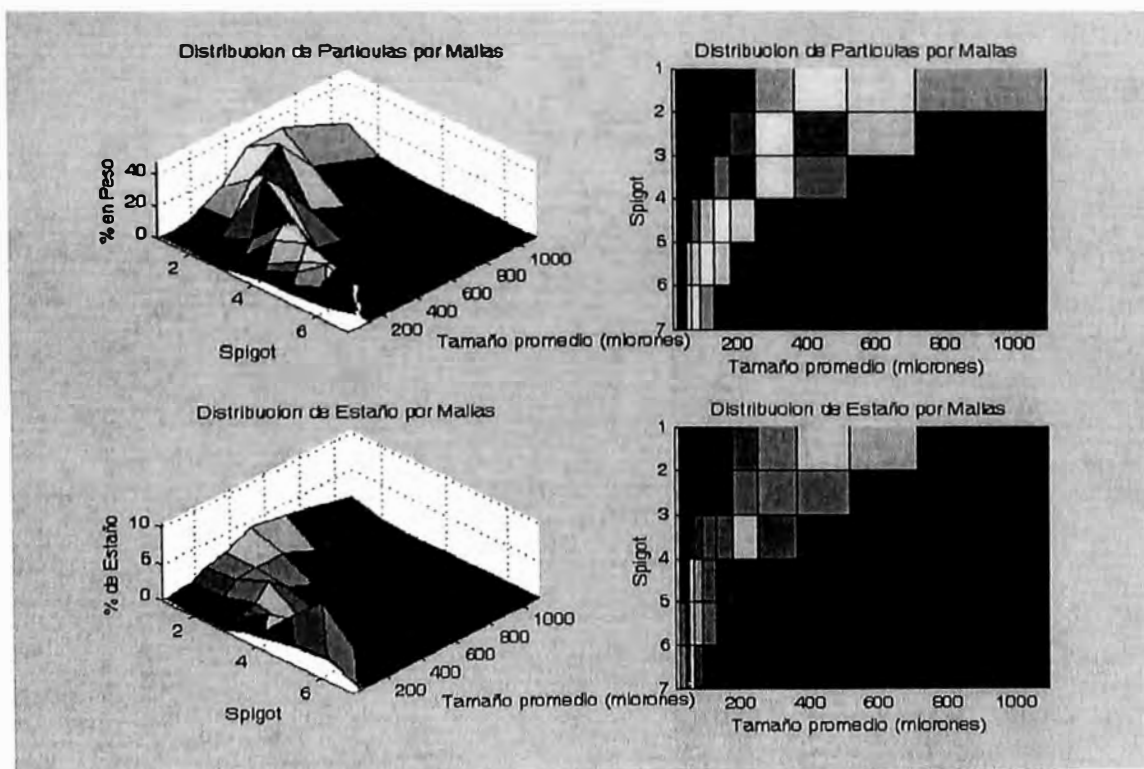
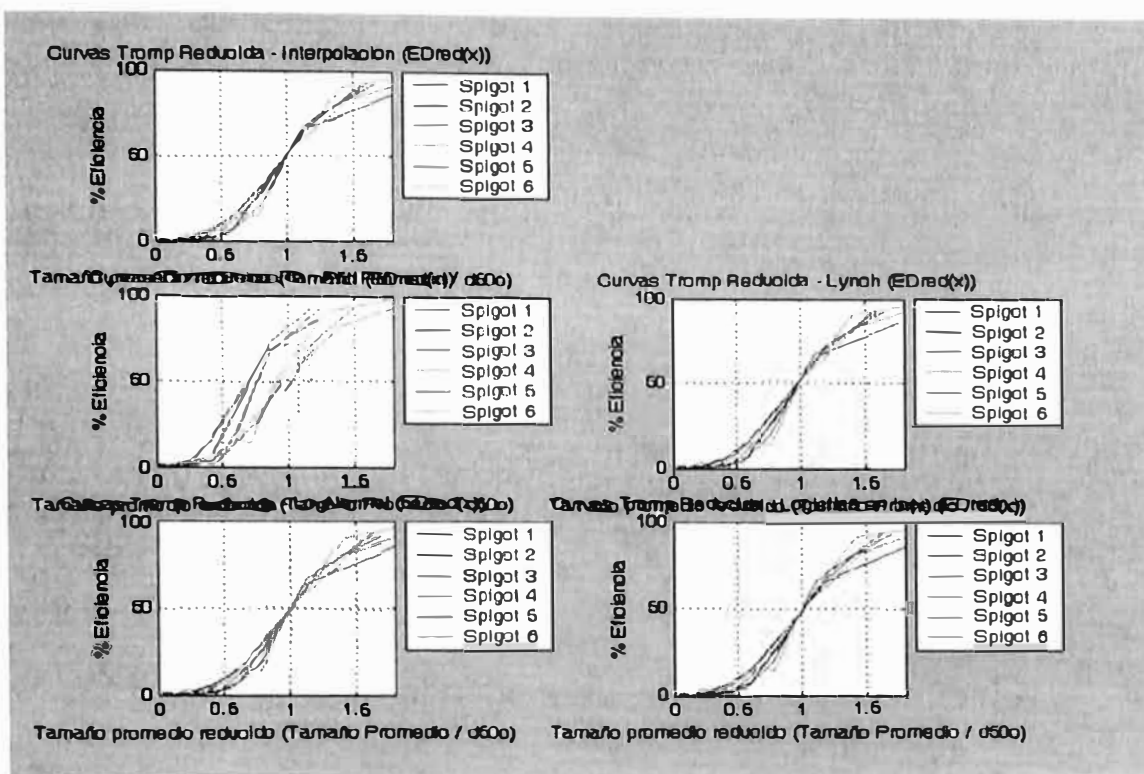
Table 7-2. Eficiencia del Clasificador Stokes

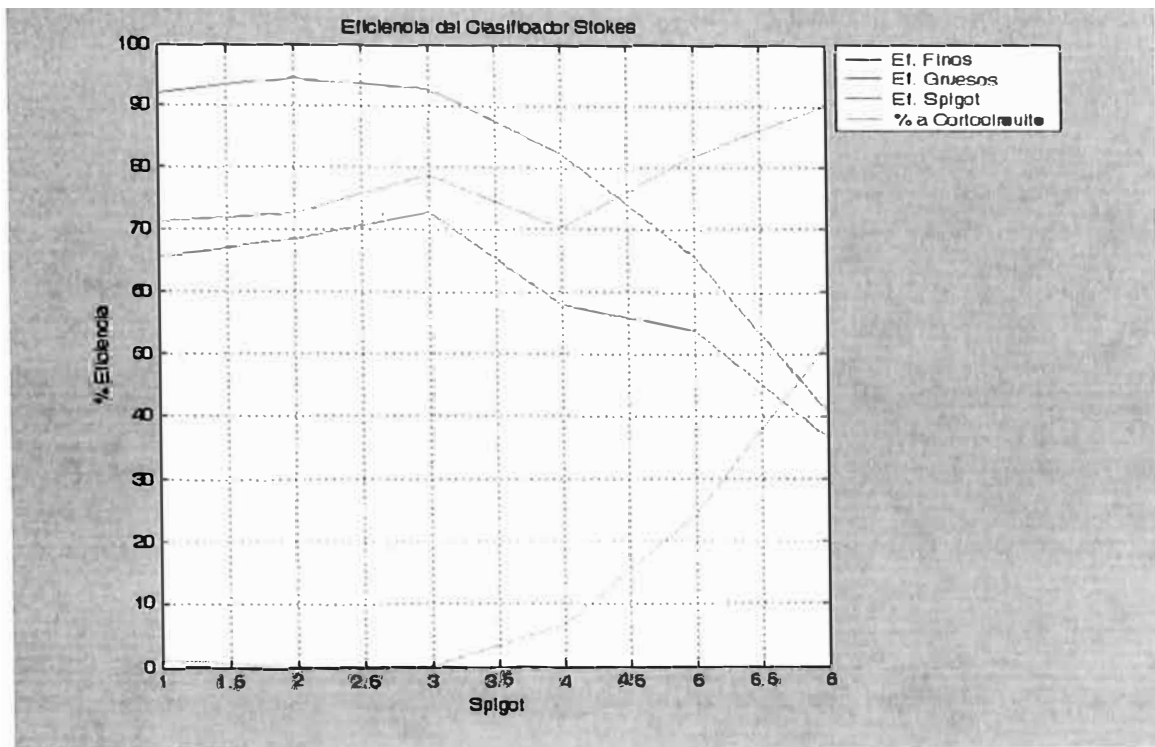
| Eficiencia del Clasificador Stokes (%) |
|--|
| 3.77211                                |

---

Chapter 8. Graficos







## RESULTADOS Y DISCUSIÓN

La presente tesis puede verse como un conjunto de herramientas matemáticas que como en el caso de los Capítulos 2 al 5 se presenta una corrección de Análisis Granulométricos y Análisis Químicos en una forma general para un nodo, aplicable indistintamente del número de entradas o salidas de dicho nodo salvo unas modificaciones en el tamaño de algunas matrices que se presentan en el capítulo respectivo. Así mismo se presenta en forma práctica mediante tablas las correcciones de dichos análisis para el Clasificador Stokes. Cabe resaltar que las correcciones de Análisis Granulométricos es necesario para este caso, ya que el método para obtener la eficiencia del clasificador en cuestión, requiere conocer los análisis granulométricos de los reboses de las cámaras, y dichos análisis pueden obtenerse mediante ecuaciones de balance de masa de los análisis granulométricos corregidos.

Los análisis granulométricos pueden representarse básicamente por dos parámetros estadísticos: Tamaño Medio (en términos de longitud) y Coeficiente de Variación (adimensional), se observa que los Coeficientes de distribución de los productos del clasificador (entre ~35% y ~55%) (Tablas 6.15 al 6.21) son menores al alimentado (~96%) (Tabla 6.14) lo que quiere decir que los productos del clasificador tienen una mayor uniformidad en la distribución de tamaños. Esto en forma breve puede notarse que en la curva de Fracciones Acumuladas Pasantes vs.

Tamaño de partícula la curva de la Alimentación tiene una menor pendiente que las curvas de los productos (prácticamente la curva del alimento interseca a las curvas de los productos). Respecto al Tamaño Medio, se observa que este disminuye a lo “largo” del clasificador, esto significa que el tamaño medio de la descarga de una cámara es mayor que la descarga de la siguiente cámara. En si, el producto más grueso (descarga del Spigot #01) tiene un Tamaño Medio de  $600\mu\text{m}$  (Tabla 6.15) y el más fino (rebose del clasificador) tiene un Tamaño Medio de  $40\mu\text{m}$ . (Tabla 6.21)

Estos parámetros estadísticos mencionados (Tamaño Medio y Coeficiente de Variación) están relacionados en forma directa con los parámetros de ajuste de las curvas de distribución. Esto se manifiesta en que independientemente cual sea la amplitud del rango de los tamaños de partículas en la que se distribuye la muestra, el Coeficiente de Variación determinara la pendiente de la curvas Acumuladas Pasantes, siendo estas inversamente proporcional, es decir, a un mayor coeficiente de variación, la pendiente de dicha curva será menor. Como se puede observar en el Capítulo 6, este Coeficiente de Variación depende sólo del “factor de forma” (o factores de forma como en el caso de la función de Harris y Distribución Beta) (exceptuando la distribución Normal y Normal Modificada). El tamaño Medio está relacionado directamente con el parámetro de tamaño de las funciones de distribución presentadas.

Se observa también, que una muestra puede representarse por varias curvas de distribución. En general, las muestras presentadas siguen distribuciones probabilísticas (por ejemplo una distribución Gamma podría representar mejor una



muestra que la función de Gates Gaudin Schuhmann) (Tabla 6.22 – Alimento). Se observa también que funciones de dos parámetros (distribuciones probabilísticas – Gamma, Log-Normal-) pueden representar mejor una muestra que funciones de tres parámetros (Harris, Distribución Beta) (Tabla 6.22 – 6.23), siendo estas últimas un poco más difíciles de ajustar, así se utilice un software como Matlab (extensamente usado en esta tesis) es necesario introducir un vector inicial con valores cercanos a los reales y este vector inicial resulta un poco complicado de calcular cuando la función presenta tres parámetros. Este vector inicial compuesto de los factores de forma y parámetro de tamaño, para todos los casos (exceptuando las funciones que se pueden linealizar como Gates Gaudin Schuhmann, Rosin Rammler y Broadbent Callcott) se calculan mediante los parámetros estadísticos mencionados. En forma general, el ajuste para las curvas que no se pueden linealizar, se emplea el criterio de Mínimos Cuadrados.

Con respecto a las eficiencias, se puede ver en el Capítulo 7 que las eficiencias disminuyen en las últimas cámaras, desde ~65% (Spigot #01) hasta ~40% (Spigot #06) (Tabla 7.21). En una curva de partición ideal se puede observar que son curvas donde no existe cortocircuito y que las pendientes “tienden al infinito” (en el parámetro de corte  $d_{50}$  se observa una recta vertical) (Gráfica 7.2). Por ende, si nuestro objetivo es mejorar la eficiencia del clasificador (en forma numérica) debemos de llevar a cero el cortocircuito y aumentar la pendiente de las curvas. De estos dos factores, antes de fijarse en la pendiente es disminuir el cortocircuito. El cortocircuito es el principal factor para tener eficiencias menores en las últimas cámaras (Gráficas 7.19 7.20).

Análogamente a las funciones de distribución, las curvas de partición se ajustaron a diversas funciones, de las cuales las funciones Log-Normal, la Logística en  $\ln(x)$  y la ecuación de Lynch son las que mejor se ajustaron (Tabla 7.13). Debe de tomarse en cuenta que las curvas Log-Normal y la Logística en  $\ln(x)$  dan resultados muy parecidos. Los factores de forma de estas curvas de partición también están relacionados con la pendiente, sin importar claro está el valor del  $d_{50}$ , esto debido a que se utilizaron curvas de partición reducidas. Se observa también que los factores  $d_{50}$  disminuyen “a lo largo” del clasificador, esto es lógico sabiendo que en las últimas cámaras son muestras más finas. Los  $d_{50}$  hallados varían desde  $\sim 600\mu\text{m}$  (Spigot #01) hasta  $\sim 40\mu\text{m}$  (Spigot #06).

Se debe de tomar en cuenta que las curvas de partición al igual que las funciones de distribución granulométrica son curvas de probabilidad. Pero las curvas de partición no son curvas acumulativas a pesar de que se ajustan a curvas de distribución acumulada (como la curva de Plitt –distribución acumulada Weibull- y la Log-Normal –distribución acumulada Log-Normal-),

Finalmente se obtiene la eficiencia del Clasificador Stokes que resulta de la multiplicación de las eficiencias de las cámaras, esto debido a que están en serie, dando un valor de  $\sim 4\%$ . Estos valores de eficiencia son netamente referenciales, ya que puede haber diversos métodos para hallar la eficiencia de un equipo.

De lo expuesto, cabe mencionar que se debe de desarrollar lo siguiente:

- Desarrollar un método general para corregir los Análisis Granulométricos y Químicos en sistemas que incluyan nodos y ramas.
- El método mencionado deberá ser tal que presente las fracciones granulométricas en el rango de 0 a 1 (Recuérdese que en el método presentado puede existir fracciones corregidas de valor negativo).
- Investigar y/o desarrollar funciones de densidad y de distribución para determinar que distribuciones representan los diferentes tipos de muestras presentes en el campo de procesamiento de minerales.
- Determinar para los diferentes tipos de muestras (ej: producto de molienda, overflow, underflow de clasificadores, etc), los rangos de Coeficiente de Variación en que se encuentran.
- Investigar sobre funciones de densidad mixtas y su aplicación para representar por ejemplo una muestra alimento a un molino en circuito cerrado (Alimentación Fresca + Carga Circulante).
- Determinar relaciones (Ej: pendiente y factores de forma) para poder obtener el vector inicial para el ajuste de Funciones de Distribución análogamente al desarrollado para las curvas de partición en el capítulo 8. Especialmente para las funciones de Harris y la distribución Beta.
- Analizar el comportamiento de los parámetros de tamaño y factor de forma de las funciones de Harris y Beta al variar los parámetros estadísticos (análogamente al realizado a las funciones de sólo dos parámetros).

- Desarrollar software y/o complementos que mantengan una interfaz gráfica con el usuario (Uso del Graphic User Interface - GUI de Matlab).

## CONCLUSIONES

### *CORRECCIÓN DE ANÁLISIS GRANULOMÉTRICOS POR MULTIPLICADORES DE LAGRANGE.*

1. Para hallar la eficiencia de un clasificador como es el Stokes es necesario corregir previamente los análisis granulométricos.
2. El método de Multiplicadores de Lagrange puede ser útil para sistemas más complejos, e inclusive no limitarse sólo para corregir análisis granulométricos.
3. Se utilizaron para los cálculos los análisis granulométricos de las fracciones en peso, ya que estos son los requeridos para obtener las curvas Tromp.
4. Otra razón para usar los análisis de las fracciones en peso, fue que, si bien los análisis acumulados presentaban menor error al corregir (0.315 frente a 0.738 de las fracciones en peso), estos mismos al hallar los análisis de fracciones en peso, daban un error mayor (0.869).
5. Los Análisis Granulométricos Acumulados, tanto Retenidos como Pasante, dan los mismos valores al corregirse por los Multiplicadores de Lagrange.
6. Este método posee una limitación, y es el de que puede presentarse fracciones negativas (Fracciones en Peso corregidas).
7. Se observaron las siguientes propiedades:

- La suma de las Fracciones en Peso del Análisis Granulométrico es 1 (100%).
- La suma de los errores  $\Delta M$  es Cero.
- La suma de los Multiplicadores de Lagrange es Cero.
- La suma de las correcciones es Cero.
- La suma de las Fracciones en peso de los Análisis Granulométricos corregidos es 1 (100%).

### ***CORRECCIÓN DE ANÁLISIS QUÍMICO POR MULTIPLICADORES DE LAGRANGE.***

8. En los Análisis Químicos se presentan tres tipos de errores:
  - Por Flujos
  - Por Entradas y Salidas del Sistema
  - Por Mallas
9. El error debido a las Entradas y Salidas del Sistema se corregirá inherentemente al corregir las mallas valoradas y los flujos.
10. Si se incluye la ecuación correspondiente a las entradas y Salidas del Sistema (Ecuación 4.3) en el modelo de la corrección, se tendrá un modelo más complicado que incluye una matriz cuadrada de determinante cero (matriz singular o matriz que no posee inversa) ya que dicha ecuación 4.3 es linealmente dependiente de las ecuaciones por Flujo (Ecuación 4.1) y de las ecuaciones por Mallas (Ecuación 4.5).

11. Debido a los tipos de errores mencionados, la corrección de los Análisis Químicos se volvió más complicada. En la corrección de Análisis Granulométricos presenta solo un tipo de error que es debido a las Mallas.
12. Esta complicación se hace notoria en las correcciones, debido a la dependencia de dos multiplicadores de Lagrange (uno referido a Mallas y el otro referido a Flujos de las Entradas y Salidas del Sistema).
13. Se observaron las siguientes propiedades:

- La sumatoria de todas las correcciones es cero

$$\boxed{\begin{aligned} &\sum(\Delta LfA) + \sum(\Delta LfE1) + \sum(\Delta LfE2) + \dots + \sum(\Delta LfEm) + \\ &\sum(\Delta LfS1) + \sum(\Delta LfS2) + \dots + \sum(\Delta LfSn) + \sum(\Delta LfZ) + \\ &\Delta LA + \Delta LE1 + \Delta LE2 + \Delta LEm + \Delta LS1 + \Delta LS2 + \Delta LSn + \Delta LZ = 0 \end{aligned}}$$

- La suma de todas las Leyes corregidas es idéntica a la suma de todas las leyes sin corregir.

$$\boxed{\sum(\text{Leyes Corregidas}) = \sum(\text{Leyes Sin Corregir})}$$

## ***ANÁLISIS ESTADÍSTICO***

14. A medida que Aumenta el Coeficiente de variación (CV), el factor de Forma (Alpha):

- Aumenta:
  - i. Función Gaudin Meloy (A CV>100% toma valores negativos, pero el Alpha Aumenta).
  - ii. Distribución Normal
  - iii. Distribución Normal Modificada
  - iv. Distribución Log-Normal.
- Disminuye:

1. Función de Gates Gaudin Schuhmann.
- ii. Función de Rosin Rammler
- iii. Distribución Gamma
- iv. Función de Broadbent Callcott

15. A medida que Aumenta el Coeficiente de Variación (CV), el parámetro de Tamaños  $X_0$ :

- Aumenta:
  1. Función Gates Gaudin Schuhmann.
  - ii. Función Gaudin Meloy (A  $CV > 100\%$  toma valores negativos).
  - iii. Distribución Gamma.
  - iv. Función de Broadbent Callcott.
- Disminuye:
  1. Función de Rosin Rammler (se mantiene aproximadamente constante e igual al Tamaño medio hasta un  $CV = 100\%$ , pasado este valor, este parámetro  $X_0$  disminuye).
  - ii. Distribución Normal Modificada (Toma valores negativos a partir de  $CV \sim 80\%$ ).
  - iii. Distribución Log-Normal.
- Constante:
  - i. Distribución Normal (Igual al Tamaño Medio).

16. A medida que Aumenta el Coeficiente de Variación (CV), la mediana  $X_{50}$ :

- Aumenta: (Ninguna de las funciones de dos parámetros presentadas)
- Disminuye: (Todas las funciones de dos parámetros presentadas exceptuando la Distribución Normal)



- Constante:
  - i. Distribución Normal (De valor igual a  $X_0$ ).

17. A medida que Aumenta el Coeficiente de Variación (CV), el punto de Inflexión  $X_i$ :

- No presenta:
  - i. Función Gates Gaudin Schuhmann
  - ii. Función Gaudin Meloy
- Aumenta: (Ninguna de las funciones de dos parámetros presentadas)
- Disminuye:
  - i. Función de Rosin Rammler presenta un punto de inflexión cuando  $CV < 100\%$
  - ii. Distribución Normal Modificada presenta un punto de inflexión a valores menores de  $CV \sim 80\%$ .
  - iii. Distribución Log-Normal.
  - iv. Distribución Gamma presenta un punto de inflexión cuando  $CV < 100\%$ .
  - v. Función de Broadbent Callcott presenta un punto de inflexión a valores menores de  $CV \sim 70\%$ .
- Constante:
  - i. Distribución Normal (De valor igual a  $X_0$ ).

18. En la función de Gaudin Meloy y la de Harris, el parámetro de tamaño  $X_0$  representa un tamaño Máximo, por la forma de estas funciones, si el tamaño "x" es mayor a  $X_0$  se obtendrá un valor complejo.

19. En el Alimento se tiene el máximo coeficiente de variación: 96.95%

20. Las partículas ya clasificadas (Spigots y Rebose) muestran un Coeficiente de Variación entre: 34.56% y 55.68% siendo la media: 45.15%
21. En el gráfico de Porcentaje en Peso (Gráfico 6.14); compárese el ancho de la distribución de la alimentación con respecto a las descargas. Obsérvese también la diferencia de altura de las campanas de las salidas con respecto a la de la alimentación.
22. En el gráfico de Porcentaje acumulado Pasante (Gráfico 6.15), se puede observar la diferencia en las pendientes de las salidas con respecto a la de la alimentación
23. La determinación de qué función (o qué funciones) pueden representar una muestra esta dada por:
- $R^2$  mayor a 0.99
  - Inspección de las gráficas.
  - Concordancia de los parámetros estadísticos (Tamaño Medio y Coeficiente de Variación principalmente).
24. En una forma general, las muestras presentadas son representadas por distribuciones probabilísticas (ver Tablas 6.22 y 6.23).

### ***CÁLCULO DE LA EFICIENCIA DEL CLASIFICADOR STOKES***

25. Las curvas de partición de los tres primeros Spigots se asemejan a curvas corregidas (cortocircuito mínimo), la corrección en estos casos puede prescindirse.

26. En la corrección de las curvas de partición se debe de tener en cuenta que los valores EDC se encuentren entre 0 y 1, ya que estos valores representan probabilidades.
27. Las eficiencias halladas sobre la base del d50 y d50c no varían mucho entre si, obteniéndose: (Tabla 7.21)

|             | Spigot #01 | Spigot #02 | Spigot #03 | Spigot #04 | Spigot #05 | Spigot #06 | Clasificador |
|-------------|------------|------------|------------|------------|------------|------------|--------------|
| <b>d50</b>  | 65.56%     | 68.62%     | 72.99%     | 57.60%     | 51.07%     | 39.49%     | <b>3.82%</b> |
| <b>d50c</b> | 65.56%     | 68.63%     | 73.00%     | 58.04%     | 53.98%     | 36.60%     | <b>3.77%</b> |

28. La eficiencia, gráficamente, va a depender de dos factores principalmente: La pendiente de la curva y la cantidad de finos a la descarga (Cortocircuito).
29. La interpolación Lineal da un valor tan aproximado como la interpolación por Lagrange, se va a preferir este debido a su simplicidad.
30. Las funciones que representan mejor las curvas de partición son las de Lynch, Log-Normal y Logística en  $\ln(x)$ .
31. El mejor método práctico para hallar el factor d50c (y por ende el d50) es la Interpolación Lineal.
32. Los factores d50c por los métodos de Interpolación (Lineal y Lagrange) y los del Ajuste a la curvas de Lynch, Log-Normal y Logística en  $\ln(x)$  dan valores muy aproximados, y por ende su similitud en las Curvas de Partición Reducida.
33. El factor d50c hallado por la ecuación de Plitt no es confiable debido a que las curvas de Partición Reducida no coinciden en la coordenada (1.00;50%).

34. El factor de forma “a” de las funciones de las curvas de Partición de Plitt, Lynch, Logística en  $\ln(x)$  son directamente proporcional a la pendiente de la Curva de Partición.
35. El factor de forma “a” para la distribución Log-Normal es inversamente proporcional a la pendiente de la Curva de Partición.
36. A un mayor valor de  $E(0, X_n)$  (Finos a la descarga o Cortocircuito) disminuye la Eficiencia de Finos y aumenta la Eficiencia de Gruesos.
37. A un mayor valor de  $E(0, X_n)$  (Finos a la descarga o Cortocircuito) disminuye la Eficiencia de la Cámara.
38. La disminución en la eficiencia a pesar del incremento del parámetro “a” en los Spigots 4, 5 y 6, es debido a que se incrementa el valor  $E(0, X_n)$ .

### ***PROGRAMACIÓN EN MATLAB***

39. Para programar en Matlab se recomienda la comprobación de los resultados con otro programa (se prefiere usar una hoja de cálculo).
40. La programación en Matlab puede simplificar cálculos tediosos y/o difíciles y obtener resultados confiables en segundos.
41. El representar los resultados inmediatamente en formato de página Web (HTML) hace atractiva la utilización de Matlab en el momento de presentar un reporte.
42. Se ve la posibilidad de utilizar Matlab con fines de optimizar y/o simular procesos Metalúrgicos.

## REFERENCIAS BIBLIOGRÁFICAS

1. Iván Quiroz Núñez.  
“Ingeniería Metalúrgica – Operaciones Unitarias en Procesamiento de Minerales.”
2. Stanley I. Grossman.  
“Álgebra Lineal”  
Grupo Editorial Iberoamérica S.A.  
Quinta Edición, 1996.
3. Errol G. Kelly, David J. Spottiswood.  
“Introducción al Procesamiento de Minerales”  
Editorial Limusa S. A.  
Primera Edición, 1990
4. Christopher Morris.  
“Diccionario Enciclopédico de Ciencia y Tecnología” Tomo IV  
Prentice Hall Hispanoamericana, S. A.  
Primera Edición, 1996.
5. A. J. Lynch.  
“Circuitos de Trituración y Molienda de Minerales”  
Editorial Rocas y Minerales  
Primera Edición, 1980
6. Hamdy A. Taha  
“Investigación de Operaciones”  
Sexta Edición.
7. Athanasios Papoulis  
“Probability, Random Variables and Stochastic Processes”  
McGraw-Hill  
Third Edition, 1991.
8. Louis Maisel  
“Probabilidad y Estadística”  
Fondo Educativo Interamericano, S.A. 1973

9. B. A. Wills  
“Tecnología de Procesamiento de Minerales – Tratamiento de menas y recuperación de minerales.”  
Editorial Limusa S. A.  
Primera Edición en Español, Segunda Reimpresión, 1994
10. The MathWorks, Inc.  
“Matlab: Edición de Estudiante.” Guía de usuario. Versión 4  
Prentice Hall  
Primera edición en español, 1996.
11. Cinética de los procesos de la Metalurgia Extractiva  
Hong Yong Sohn  
Milton E. Wadsworth  
Editorial Trillas  
Primera Edición, 1986
12. Diseño de Plantas de Proceso de Minerales  
Andrew L. Mular  
Roshan B. Bhappu  
Editorial Rocas y Minerales  
Segunda Edición, 1982
13. Estadística  
Murray R. Spiegel  
McGraw – Hill, 1969  
Series de Compendios Schaum
14. “Computaciones Graficas y Mecánicas”  
Joseph Lipka  
Compañía Editorial Continental S.A.  
Primera edición en español - Octava reimpresión 1967.
15. “The Mathematica Book”  
Stephen Wolfram  
Wolfram Media, Inc.  
Tercera edición, 1996.

## **ANEXOS**

## APENDICE A: ANALIZAR.M

### **PROGRAMA PARA CALCULAR LA EFICIENCIA DEL CLASIFICADOR STOKES EN MATLAB.**

Se deberá de introducir los datos como se indica en el Capitulo 9.

```
%-----  
clear  
format bank  
load datosag.mat % Carga analisis granulometricos (Porcentajes en Peso).  
load datosley.mat % Carga leyes en Porcentaje de Estaño.  
load tampart.mat % Carga tamaños minimos y tamaños maximos.  
  
nombres_ES={'Alimento' 'Spigot #01' 'Spigot #02' 'Spigot #03' 'Spigot #04' 'Spigot  
#05' 'Spigot #06' 'Rebose'};  
nombres_ES_err={'Alimento' 'Spigot #01' 'Spigot #02' 'Spigot #03' 'Spigot #04'  
'Spigot #05' 'Spigot #06' 'Rebose' 'Error'};  
nombres_ES_tam={'Tamaño ((10^-3)mm)' 'Alimento' 'Spigot #01' 'Spigot #02'  
'Spigot #03' 'Spigot #04' 'Spigot #05' 'Spigot #06' 'Rebose'};  
nombres_ES_tam_err={'Tamaño ((10^-3)mm)' 'Alimento' 'Spigot #01' 'Spigot #02'  
'Spigot #03' 'Spigot #04' 'Spigot #05' 'Spigot #06' 'Rebose' 'Error'};  
nombres_ES_par={'Parametro' 'Alimento' 'Spigot #01' 'Spigot #02' 'Spigot #03'  
'Spigot #04' 'Spigot #05' 'Spigot #06' 'Rebose'};  
nombres_Spigot={'Spigot #01' 'Spigot #02' 'Spigot #03' 'Spigot #04' 'Spigot #05'  
'Spigot #06'};  
nombres_Spigot_tam={'Tamaño {\mu} m)' 'Spigot #01' 'Spigot #02' 'Spigot #03'  
'Spigot #04' 'Spigot #05' 'Spigot #06'};  
nombres_Spigot_par={'Parametro' 'Spigot #01' 'Spigot #02' 'Spigot #03' 'Spigot #04'  
'Spigot #05' 'Spigot #06'};  
nombres_ED_tam={'Tamaño ((10^-3)mm)' 'ED' 'EDc'};  
  
% Hallar Tamaño Promedio  
TamProm=sqrt(TamMax.*TamMin); %Tamaños promedio geometrico  
TamProm(length(TamMax),1)=TamMax(length(TamMax))/2; % Promedio  
aritmético (Ultimo termino)  
  
% Definiendo Cell Array de Tamaños  
tmax_ca=num2cell(TamMax)  
tmin_ca=num2cell(TamMin)  
tp_ca=num2cell(TamProm)  
  
% Fracciones en Peso  
fA=fA/sum(fA);
```



```
fS1=fS1/sum(fS1);
fS2=fS2/sum(fS2);
fS3=fS3/sum(fS3);
fS4=fS4/sum(fS4);
fS5=fS5/sum(fS5);
fS6=fS6/sum(fS6);
fZ=fZ/sum(fZ);
ag_fp=[fA fS1 fS2 fS3 fS4 fS5 fS6 fZ]*100;
```

```
% Fracciones Acumuladas Retenidas
```

```
GA=cumsum(fA);
GS1=cumsum(fS1);
GS2=cumsum(fS2);
GS3=cumsum(fS3);
GS4=cumsum(fS4);
GS5=cumsum(fS5);
GS6=cumsum(fS6);
GZ=cumsum(fZ);
ag_G=[GA GS1 GS2 GS3 GS4 GS5 GS6 GZ]*100;
```

```
% Fracciones Acumuladas Pasantes
```

```
FA=1-cumsum(fA)
FS1=1-cumsum(fS1);
FS2=1-cumsum(fS2);
FS3=1-cumsum(fS3);
FS4=1-cumsum(fS4);
FS5=1-cumsum(fS5);
FS6=1-cumsum(fS6);
FZ=1-cumsum(fZ);
ag_F=[FA FS1 FS2 FS3 FS4 FS5 FS6 FZ]*100;
```

```
%-----
%Correccion de Analisis Granulometricos por Multiplicadores de Lagrange
correccion_ag_ml
```

```
%-----
%Correccion de Analisis Quimico por Multiplicadores de Lagrange
correccion_ley_ml
```

```
%-----
% Analisis Estadistico
```

```
TamMin_A=[max(TamMax(FA<1));TamMin(FA<1)];
TamMin_S1=[max(TamMax(FS1<1));TamMin(FS1<1)];
TamMin_S2=[max(TamMax(FS2<1));TamMin(FS2<1)];
TamMin_S3=[max(TamMax(FS3<1));TamMin(FS3<1)];
TamMin_S4=[max(TamMax(FS4<1));TamMin(FS4<1)];
```

```
TamMin_S5=[max(TamMax(FS5<1));TamMin(FS5<1)];
TamMin_S6=[max(TamMax(FS6<1));TamMin(FS6<1)];
TamMin_Z=[max(TamMax(FZ<1));TamMin(FZ<1)];
```

```
FA_estad=[1;FA(FA<1)];
FS1_estad=[1;FS1(FS1<1)];
FS2_estad=[1;FS2(FS2<1)];
FS3_estad=[1;FS3(FS3<1)];
FS4_estad=[1;FS4(FS4<1)];
FS5_estad=[1;FS5(FS5<1)];
FS6_estad=[1;FS6(FS6<1)];
FZ_estad=[1;FZ(FZ<1)];
```

```
fd_A=ajustar(TamMin_A,FA_estad);
fd_S1=ajustar(TamMin_S1,FS1_estad);
fd_S2=ajustar(TamMin_S2,FS2_estad);
fd_S3=ajustar(TamMin_S3,FS3_estad);
fd_S4=ajustar(TamMin_S4,FS4_estad);
fd_S5=ajustar(TamMin_S5,FS5_estad);
fd_S6=ajustar(TamMin_S6,FS6_estad);
fd_Z=ajustar(TamMin_Z,FZ_estad);
```

```
%-----
% Hallar las curvas Tromp
```

```
g1c=1-b1c;
g2c=g1c-b2c;
g3c=g2c-b3c;
g4c=g3c-b4c;
g5c=g4c-b5c;
```

```
fR1c=(fAc-fS1c*b1c)/g1c;
fR2c=(fR1c*g1c-fS2c*b2c)/g2c;
fR3c=(fR2c*g2c-fS3c*b3c)/g3c;
fR4c=(fR3c*g3c-fS4c*b4c)/g4c;
fR5c=(fR4c*g4c-fS5c*b5c)/g5c;
```

```
ED1=(fS1c./fAc)*b1c*100;
ED2=(fS2c./fR1c)*(b2c/g1c)*100;
ED3=(fS3c./fR2c)*(b3c/g2c)*100;
ED4=(fS4c./fR3c)*(b4c/g3c)*100;
ED5=(fS5c./fR4c)*(b5c/g4c)*100;
ED6=(fS6c./fR5c)*(b6c/g5c)*100;
```

```
% Elimina valores mayores a 100
XED1=TamProm(find(ED1<100)); ED1=ED1(ED1<100);
XED2=TamProm(find(ED2<100)); ED2=ED2(ED2<100);
```

```

XED3=TamProm(find(ED3<100)); ED3=ED3(ED3<100);
XED4=TamProm(find(ED4<100)); ED4=ED4(ED4<100);
XED5=TamProm(find(ED5<100)); ED5=ED5(ED5<100);
XED6=TamProm(find(ED6<100)); ED6=ED6(ED6<100);

```

```
% Hallar los valores ED Maximos
```

```

[max1,p1]=max(ED1);
[max2,p2]=max(ED2);
[max3,p3]=max(ED3);
[max4,p4]=max(ED4);
[max5,p5]=max(ED5);
[max6,p6]=max(ED6);

```

```
% Eliminando valores erroneos
```

```

XED1=XED1(p1:length(XED1),1); ED1=ED1(p1:length(ED1),1);
XED2=XED2(p2:length(XED2),1); ED2=ED2(p2:length(ED2),1);
XED3=XED3(p3:length(XED3),1); ED3=ED3(p3:length(ED3),1);
XED4=XED4(p4:length(XED4),1); ED4=ED4(p4:length(ED4),1);
XED5=XED5(p5:length(XED5),1); ED5=ED5(p5:length(ED5),1);
XED6=XED6(p6:length(XED6),1); ED6=ED6(p6:length(ED6),1);

```

```
% Hallar ED corregidos
```

```

ED1c=(ED1-min(ED1))/(100-min(ED1))*100;
ED2c=(ED2-min(ED2))/(100-min(ED2))*100;
ED3c=(ED3-min(ED3))/(100-min(ED3))*100;
ED4c=(ED4-min(ED4))/(100-min(ED4))*100;
ED5c=(ED5-min(ED5))/(100-min(ED5))*100;
ED6c=(ED6-min(ED6))/(100-min(ED6))*100;

```

```
% Curvas Tromp
```

```

ct_S1=[XED1 ED1 ED1c];
ct_S2=[XED2 ED2 ED2c];
ct_S3=[XED3 ED3 ED3c];
ct_S4=[XED4 ED4 ED4c];
ct_S5=[XED5 ED5 ED5c];
ct_S6=[XED6 ED6 ED6c];

```

```
% Definiendo Cell Array de Curvas Tromp
```

```

ct_S1_ca=num2cell(ct_S1);
ct_S2_ca=num2cell(ct_S2);
ct_S3_ca=num2cell(ct_S3);
ct_S4_ca=num2cell(ct_S4);
ct_S5_ca=num2cell(ct_S5);
ct_S6_ca=num2cell(ct_S6);

```

```

ct_S1_ca=cat(1,nombres_ED_tam,ct_S1_ca)
ct_S2_ca=cat(1,nombres_ED_tam,ct_S2_ca)

```

```

ct_S3_ca=cat(1,nombres_ED_tam,ct_S3_ca)
ct_S4_ca=cat(1,nombres_ED_tam,ct_S4_ca)
ct_S5_ca=cat(1,nombres_ED_tam,ct_S5_ca)
ct_S6_ca=cat(1,nombres_ED_tam,ct_S6_ca)

```

```

% Parametros de ajuste a curvas de Particion
cp_S1=ajustar_CP(XED1,ED1c/100)
cp_S2=ajustar_CP(XED2,ED2c/100)
cp_S3=ajustar_CP(XED3,ED3c/100)
cp_S4=ajustar_CP(XED4,ED4c/100)
cp_S5=ajustar_CP(XED5,ED5c/100)
cp_S6=ajustar_CP(XED6,ED6c/100)

```

```

%-----
% Calculo de d50

```

```

d50sc1=interp1(ED1,XED1,50);
d50sc2=interp1(ED2,XED2,50);
d50sc3=interp1(ED3,XED3,50);
d50sc4=interp1(ED4,XED4,50);
d50sc5=interp1(ED5,XED5,50);
d50sc6=interp1(ED6,XED6,50);
% Interpolacion lineal - ED sin corregir
d50=[d50sc1 d50sc2 d50sc3 d50sc4 d50sc5 d50sc6];

```

```

% Definiendo Cell Array de d50 sin corregir - Interpolacion Lineal
d50_ca=num2cell(d50);
d50_ca=cat(1,nombres_Spigot,d50_ca)

```

```

%-----
% Calculo de d50c

```

```

d50c1=interp1(ED1c,XED1,50);
d50c2=interp1(ED2c,XED2,50);
d50c3=interp1(ED3c,XED3,50);
d50c4=interp1(ED4c,XED4,50);
d50c5=interp1(ED5c,XED5,50);
d50c6=interp1(ED6c,XED6,50);
% Interpolacion lineal - ED corregidas
d50corr=[d50c1 d50c2 d50c3 d50c4 d50c5 d50c6];

```

```

% Definiendo Cell Array de d50 corregido - Interpolacion Lineal
d50corr_ca=num2cell(d50corr);
d50corr_ca=cat(1,nombres_Spigot,d50corr_ca)

```

```

%-----

```

% Distribucion de Estaño por Productos

```
Dist_A=100*(fAc.*LfAc)/sum(fAc.*LfAc);
Dist_S1=100*(fS1c.*LfS1c)/sum(fS1c.*LfS1c);
Dist_S2=100*(fS2c.*LfS2c)/sum(fS2c.*LfS2c);
Dist_S3=100*(fS3c.*LfS3c)/sum(fS3c.*LfS3c);
Dist_S4=100*(fS4c.*LfS4c)/sum(fS4c.*LfS4c);
Dist_S5=100*(fS5c.*LfS5c)/sum(fS5c.*LfS5c);
Dist_S6=100*(fS6c.*LfS6c)/sum(fS6c.*LfS6c);
Dist_Z=100*(fZc.*LfZc)/sum(fZc.*LfZc);
```

% Distribucion del Sn respecto al Sn de Entradas y/o Salidas

```
distES=[Dist_A Dist_S1 Dist_S2 Dist_S3 Dist_S4 Dist_S5 Dist_S6 Dist_Z];
[sum(Dist_A) sum(Dist_S1) sum(Dist_S2) sum(Dist_S3) sum(Dist_S4)
sum(Dist_S5) sum(Dist_S6) sum(Dist_Z)];
```

% Definiendo Cell Array de Distribucion de Estaño por Productos

```
distES_ca=num2cell(distES);
distES_ca=cat(2,tp_ca,distES_ca);
distES_ca=cat(1,nombres_ES_tam,distES_ca)
```

%-----  
% Distribucion del Estaño ingresante al sistema en productos

```
SnTotal=sum(fAc.*LfAc);
Dist_At=100*(fAc.*LfAc)/SnTotal;
Dist_S1t=100*(fS1c.*LfS1c*b1c)/SnTotal;
Dist_S2t=100*(fS2c.*LfS2c*b2c)/SnTotal;
Dist_S3t=100*(fS3c.*LfS3c*b3c)/SnTotal;
Dist_S4t=100*(fS4c.*LfS4c*b4c)/SnTotal;
Dist_S5t=100*(fS5c.*LfS5c*b5c)/SnTotal;
Dist_S6t=100*(fS6c.*LfS6c*b6c)/SnTotal;
Dist_Zt=100*(fZc.*LfZc*bZc)/SnTotal;
```

% Distribucion del Sn respecto al Sn Total ingresante

```
distSn=[Dist_At Dist_S1t Dist_S2t Dist_S3t Dist_S4t Dist_S5t Dist_S6t Dist_Zt];
```

% Definiendo Cell Array de Distribucion del Sn respecto al Sn Total ingresante

```
distSn_ca=num2cell(distSn);
distSn_ca=cat(2,tp_ca,distSn_ca);
distSn_ca=cat(1,nombres_ES_tam,distSn_ca);
```

% Distribucion del Sn respecto a los Productos

```
distSnProd=[sum(Dist_At) sum(Dist_S1t) sum(Dist_S2t) sum(Dist_S3t)
sum(Dist_S4t) sum(Dist_S5t) sum(Dist_S6t) sum(Dist_Zt)];
distSnProd_ca=num2cell(distSnProd);
distSnProd_ca=cat(2,{'Total (%)'},distSnProd_ca);
```

```
distSn_ca=cat(1,distSn_ca,distSnProd_ca)
```

```
%-----
% Calculo de la Eficiencia

% Porcentajes Acumulados Retenidos
FR1c=1-cumsum(fR1c);
FR2c=1-cumsum(fR2c);
FR3c=1-cumsum(fR3c);
FR4c=1-cumsum(fR4c);
FR5c=1-cumsum(fR5c);
% Spigot 01
FAI_1=interp1(TamMin,FAc,d50c1);% Alimento
FDes_1=interp1(TamMin,FS1c,d50c1);% Descarga
FReb_1=interp1(TamMin,FR1c,d50c1);% Rebose
Ef_Finos1=(FReb_1/FAI_1)*g1c;
Ef_Gruesos1=(1-FDes_1)/(1-FAI_1)*b1c;
Ef_Spigot1=Ef_Finos1*Ef_Gruesos1;
% Spigot 02
FAI_2=interp1(TamMin,FR1c,d50c2);% Alimento
FDes_2=interp1(TamMin,FS2c,d50c2);% Descarga
FReb_2=interp1(TamMin,FR2c,d50c2);% Rebose
Ef_Finos2=(FReb_2/FAI_2)*(g2c/g1c);
Ef_Gruesos2=(1-FDes_2)/(1-FAI_2)*(b2c/g1c);
Ef_Spigot2=Ef_Finos2*Ef_Gruesos2;
% Spigot 03
FAI_3=interp1(TamMin,FR2c,d50c3);% Alimento
FDes_3=interp1(TamMin,FS3c,d50c3);% Descarga
FReb_3=interp1(TamMin,FR3c,d50c3);% Rebose
Ef_Finos3=(FReb_3/FAI_3)*(g3c/g2c);
Ef_Gruesos3=(1-FDes_3)/(1-FAI_3)*(b3c/g2c);
Ef_Spigot3=Ef_Finos3*Ef_Gruesos3;
% Spigot 04
FAI_4=interp1(TamMin,FR3c,d50c4);% Alimento
FDes_4=interp1(TamMin,FS4c,d50c4);% Descarga
FReb_4=interp1(TamMin,FR4c,d50c4);% Rebose
Ef_Finos4=(FReb_4/FAI_4)*(g4c/g3c);
Ef_Gruesos4=(1-FDes_4)/(1-FAI_4)*(b4c/g3c);
Ef_Spigot4=Ef_Finos4*Ef_Gruesos4;
% Spigot 05
FAI_5=interp1(TamMin,FR4c,d50c5);% Alimento
FDes_5=interp1(TamMin,FS5c,d50c5);% Descarga
FReb_5=interp1(TamMin,FR5c,d50c5);% Rebose
```

```

Ef_Finos5=(FReb_5/FAI_5)*(g5c/g4c);
Ef_Gruesos5=(1-FDes_5)/(1-FAI_5)*(b5c/g4c);
Ef_Spigot5=Ef_Finos5*Ef_Gruesos5;
% Spigot 06
FAI_6=interp1(TamMin,FR5c,d50c6);% Alimento
FDes_6=interp1(TamMin,FS6c,d50c6);% Descarga
FReb_6=interp1(TamMin,FZc,d50c6);% Rebose
Ef_Finos6=(FReb_6/FAI_6)*(bZc/g5c);
Ef_Gruesos6=(1-FDes_6)/(1-FAI_6)*(b6c/g5c);
Ef_Spigot6=Ef_Finos6*Ef_Gruesos6;
Ef_Finos=[Ef_Finos1 Ef_Finos2 Ef_Finos3 Ef_Finos4 Ef_Finos5 Ef_Finos6]*100;
Ef_Gruesos=[Ef_Gruesos1 Ef_Gruesos2 Ef_Gruesos3 Ef_Gruesos4 Ef_Gruesos5
Ef_Gruesos6]*100;
Ef_Spigot=[Ef_Spigot1 Ef_Spigot2 Ef_Spigot3 Ef_Spigot4 Ef_Spigot5
Ef_Spigot6]*100;

leg_Ef={'Ef. Finos (%)';'Ef. Gruesos (%)';'Ef. Spigot (%)'};
Ef_Spigot=[Ef_Finos;Ef_Gruesos;Ef_Spigot];

% Definiendo Cell Array de Eficiencia por Spigot
Ef_Spigot_ca=num2cell(Ef_Spigot);
Ef_Spigot_ca=cat(2,leg_Ef,Ef_Spigot_ca);
Ef_Spigot_ca=cat(1,nombres_Spigot_par,Ef_Spigot_ca)

% Eficiencia del Clasificador Stokes
Ef_Stokes=Ef_Spigot1*Ef_Spigot2*Ef_Spigot3*Ef_Spigot4*Ef_Spigot5*Ef_Spigot
6*100;

% Definiendo Cell Array de Eficiencia del Clasificador Stokes
Ef_Stokes_ca=num2cell(Ef_Stokes);
Ef_Stokes_ca=cat(1,{'Eficiencia del Clasificador Stokes (%)'},Ef_Stokes_ca)

%-----
close all

%graph01

figure
% Porcentajes en Peso
subplot(2,1,1),plot(TamProm,ag_fp)
xlabel('Tamaño promedio de partículas (micrones)')
ylabel('%')
title('Porcentaje en Peso (f(x))')
axis([0 max(TamProm) 0 100])
set(gca,'XGrid','on','YGrid','on');

```

```

legend('Alimento','Spigot 1','Spigot 2','Spigot 3','Spigot 4','Spigot 5','Spigot
6','Rebose',-1);
% Porcentajes Acumulados Pasante
subplot(2,1,2),plot(TamMin,ag_F)
xlabel('Tamaño de particulas (micrones)')
ylabel('%')
title('Porcentaje Acumulado Pasante (F(x))')
axis([0 max(TamMin) 0 100])
set(gca,'XGrid','on','YGrid','on');
legend('Alimento','Spigot 1','Spigot 2','Spigot 3','Spigot 4','Spigot 5','Spigot
6','Rebose',-1);

%-----
%graph02

figure
% Curvas Tromp
subplot(2,1,1),plot(XED1,ED1,XED2,ED2,XED3,ED3,XED4,ED4,XED5,ED5,XED
6,ED6)
xlabel('Tamaño promedio de particulas (micrones)')
ylabel('% Eficiencia')
title('Curvas Tromp sin Corregir (ED(x))')
axis([0 max(TamProm) 0 100])
set(gca,'XGrid','on','YGrid','on');
legend('Spigot 1','Spigot 2','Spigot 3','Spigot 4','Spigot 5','Spigot 6',-1);
% Curvas Tromp Corregidas
subplot(2,1,2),plot(XED1,ED1c,XED2,ED2c,XED3,ED3c,XED4,ED4c,XED5,ED5c
,XED6,ED6c)
xlabel('Tamaño promedio de particulas (micrones)')
ylabel('% Eficiencia')
title('Curvas Tromp Corregidas (EDc(x))')
axis([0 max(TamProm) 0 100])
set(gca,'XGrid','on','YGrid','on');
legend('Spigot 1','Spigot 2','Spigot 3','Spigot 4','Spigot 5','Spigot 6',-1);

figure
% Curvas Tromp Reducidas Interpolacion
Xred1=XED1/d50c1;
Xred2=XED2/d50c2;
Xred3=XED3/d50c3;
Xred4=XED4/d50c4;
Xred5=XED5/d50c5;
Xred6=XED6/d50c6;
subplot(3,2,1),plot(Xred1,ED1c,Xred2,ED2c,Xred3,ED3c,Xred4,ED4c,Xred5,ED5c,
Xred6,ED6c)
xlabel('Tamaño promedio reducido (Tamaño Promedio / d50c)')
ylabel('% Eficiencia')

```



```

title('Curvas Tromp Reducida - Interpolacion (EDred(x))')
axis([0 max(Xred1) 0 100])
set(gca,'XGrid','on','YGrid','on');
legend('Spigot 1','Spigot 2','Spigot 3','Spigot 4','Spigot 5','Spigot 6',-1);

% Curvas Tromp Reducidas Plitt
Xred1_Plt=XED1/cell2mat(cp_S1(4,2));
Xred2_Plt=XED2/cell2mat(cp_S2(4,2));
Xred3_Plt=XED3/cell2mat(cp_S3(4,2));
Xred4_Plt=XED4/cell2mat(cp_S4(4,2));
Xred5_Plt=XED5/cell2mat(cp_S5(4,2));
Xred6_Plt=XED6/cell2mat(cp_S6(4,2));
subplot(3,2,3),plot(Xred1_Plt,ED1c,Xred2_Plt,ED2c,Xred3_Plt,ED3c,Xred4_Plt,ED
4c,Xred5_Plt,ED5c,Xred6_Plt,ED6c)
xlabel('Tamaño promedio reducido (Tamaño Promedio / d50c)')
ylabel('% Eficiencia')
title('Curvas Tromp Reducida - Plitt (EDred(x))')
axis([0 max(Xred1) 0 100])
set(gca,'XGrid','on','YGrid','on');
legend('Spigot 1','Spigot 2','Spigot 3','Spigot 4','Spigot 5','Spigot 6',-1);

% Curvas Tromp Reducidas Lynch
Xred1_Ly=XED1/cell2mat(cp_S1(4,3));
Xred2_Ly=XED2/cell2mat(cp_S2(4,3));
Xred3_Ly=XED3/cell2mat(cp_S3(4,3));
Xred4_Ly=XED4/cell2mat(cp_S4(4,3));
Xred5_Ly=XED5/cell2mat(cp_S5(4,3));
Xred6_Ly=XED6/cell2mat(cp_S6(4,3));
subplot(3,2,4),plot(Xred1_Ly,ED1c,Xred2_Ly,ED2c,Xred3_Ly,ED3c,Xred4_Ly,ED
4c,Xred5_Ly,ED5c,Xred6_Ly,ED6c)
xlabel('Tamaño promedio reducido (Tamaño Promedio / d50c)')
ylabel('% Eficiencia')
title('Curvas Tromp Reducida - Lynch (EDred(x))')
axis([0 max(Xred1) 0 100])
set(gca,'XGrid','on','YGrid','on');
legend('Spigot 1','Spigot 2','Spigot 3','Spigot 4','Spigot 5','Spigot 6',-1);

% Curvas Tromp Reducidas LogNormal
Xred1_LN=XED1/cell2mat(cp_S1(4,4));
Xred2_LN=XED2/cell2mat(cp_S2(4,4));
Xred3_LN=XED3/cell2mat(cp_S3(4,4));
Xred4_LN=XED4/cell2mat(cp_S4(4,4));
Xred5_LN=XED5/cell2mat(cp_S5(4,4));
Xred6_LN=XED6/cell2mat(cp_S6(4,4));
subplot(3,2,5),plot(Xred1_LN,ED1c,Xred2_LN,ED2c,Xred3_LN,ED3c,Xred4_LN,
ED4c,Xred5_LN,ED5c,Xred6_LN,ED6c)
xlabel('Tamaño promedio reducido (Tamaño Promedio / d50c)')

```

```

ylabel('% Eficiencia')
title('Curvas Tromp Reducida - LogNormal (EDred(x))')
axis([0 max(Xred1) 0 100])
set(gca,'XGrid','on','YGrid','on');
legend('Spigot 1','Spigot 2','Spigot 3','Spigot 4','Spigot 5','Spigot 6',-1);

% Curvas Tromp Reducidas Logistica en ln(x)
Xred1_Log=XED1/cell2mat(cp_S1(4,5));
Xred2_Log=XED2/cell2mat(cp_S2(4,5));
Xred3_Log=XED3/cell2mat(cp_S3(4,5));
Xred4_Log=XED4/cell2mat(cp_S4(4,5));
Xred5_Log=XED5/cell2mat(cp_S5(4,5));
Xred6_Log=XED6/cell2mat(cp_S6(4,5));
subplot(3,2,6),plot(Xred1_Log,ED1c,Xred2_Log,ED2c,Xred3_Log,ED3c,Xred4_Log,ED4c,Xred5_Log,ED5c,Xred6_Log,ED6c)
xlabel('Tamaño promedio reducido (Tamaño Promedio / d50c)')
ylabel('% Eficiencia')
title('Curvas Tromp Reducida - Logistica en ln(x) (EDred(x))')
axis([0 max(Xred1) 0 100])
set(gca,'XGrid','on','YGrid','on');
legend('Spigot 1','Spigot 2','Spigot 3','Spigot 4','Spigot 5','Spigot 6',-1);

%-----
%graph03

prod=[1 2 3 4 5 6 7];
Zp=100*[fS1c fS2c fS3c fS4c fS5c fS6c fZc];
ZSn=[Dist_S1t Dist_S2t Dist_S3t Dist_S4t Dist_S5t Dist_S6t Dist_Zt];

figure
% Porcentaje en Peso
subplot(2,2,1),surf(prod,TamProm,Zp)
xlabel('Spigot')
ylabel('Tamaño promedio (micrones)')
zlabel('% en Peso')
title('Distribucion de Particulas por Mallas')
set(gca,'XScale','linear','YScale','linear','ZScale','linear');
axis([1 7 10 max(TamProm) 0 max(max(Zp))])
view(45,60)
% Porcentaje en Peso Vista de Planta
subplot(2,2,2),surf(prod,TamProm,Zp)
xlabel('Spigot')
ylabel('Tamaño promedio (micrones)')
zlabel('% en Peso')
title('Distribucion de Particulas por Mallas')
set(gca,'XScale','linear','YScale','linear','ZScale','linear');
axis([1 7 10 max(TamProm) 0 max(max(Zp))])

```

```

view(90,90)
% Distribucion de Estaño
subplot(2,2,3),surf(prod,TamProm,ZSn)
xlabel('Spigot')
ylabel('Tamaño promedio (micrones)')
zlabel('% de Estaño')
title('Distribucion de Estaño por Mallas')
set(gca,'XScale','linear','YScale','linear','ZScale','linear');
axis([1 7 10 max(TamProm) 0 max(max(ZSn))])
view(45,60)
% Distribucion de Estaño Vista de Planta
subplot(2,2,4),surf(prod,TamProm,ZSn)
xlabel('Spigot')
ylabel('Tamaño promedio (micrones)')
zlabel('% de Distribucion')
title('Distribucion de Estaño por Mallas')
set(gca,'XScale','linear','YScale','linear','ZScale','linear');
axis([1 7 10 max(TamProm) 0 max(max(ZSn))])
view(90,90)

%-----
%graph04

figure
Spigot=[1 2 3 4 5 6];
ccED1=ED1(length(ED1),1);
ccED2=ED2(length(ED2),1);
ccED3=ED3(length(ED3),1);
ccED4=ED4(length(ED4),1);
ccED5=ED5(length(ED5),1);
ccED6=ED6(length(ED6),1);
ccED=[ccED1 ccED2 ccED3 ccED4 ccED5 ccED6];
plot(Spigot,Ef_Finos,Spigot,Ef_Gruesos,Spigot,Ef_Spigot,Spigot,ccED)
xlabel('Spigot')
ylabel('% Eficiencia')
title('Eficiencia del Clasificador Stokes')
axis([min(Spigot) max(Spigot) 0 100])
set(gca,'XGrid','on','YGrid','on');
legend('Ef. Finos','Ef. Gruesos','Ef. Spigot','% a Cortocircuito',-1);

```

## APENDICE B: CORRECCION AG ML.M

### *PROGRAMA PARA CORREGIR LOS ANALISIS GRANULOMETRICOS DEL CLASIFICADOR STOKES EN MATLAB.*

```
%-----  
%Correccion de Analisis Granulometricos por Multiplicadores de Lagrange  
  
% Se utilizaran los datos de Porcentaje en Peso (No Fracciones)  
AZ=fA-fZ;  
S1Z=fS1-fZ;  
S2Z=fS2-fZ;  
S3Z=fS3-fZ;  
S4Z=fS4-fZ;  
S5Z=fS5-fZ;  
S6Z=fS6-fZ;  
  
% Hallar los terminos de la Ecuacion Lineal  
B=[sum(S1Z.*AZ)  
    sum(S2Z.*AZ)  
    sum(S3Z.*AZ)  
    sum(S4Z.*AZ)  
    sum(S5Z.*AZ)  
    sum(S6Z.*AZ)];  
A=[sum(S1Z.*S1Z) sum(S2Z.*S1Z) sum(S3Z.*S1Z) sum(S4Z.*S1Z)  
    sum(S5Z.*S1Z) sum(S6Z.*S1Z)  
    sum(S1Z.*S2Z) sum(S2Z.*S2Z) sum(S3Z.*S2Z) sum(S4Z.*S2Z) sum(S5Z.*S2Z)  
    sum(S6Z.*S2Z)  
    sum(S1Z.*S3Z) sum(S2Z.*S3Z) sum(S3Z.*S3Z) sum(S4Z.*S3Z) sum(S5Z.*S3Z)  
    sum(S6Z.*S3Z)  
    sum(S1Z.*S4Z) sum(S2Z.*S4Z) sum(S3Z.*S4Z) sum(S4Z.*S4Z) sum(S5Z.*S4Z)  
    sum(S6Z.*S4Z)  
    sum(S1Z.*S5Z) sum(S2Z.*S5Z) sum(S3Z.*S5Z) sum(S4Z.*S5Z) sum(S5Z.*S5Z)  
    sum(S6Z.*S5Z)  
    sum(S1Z.*S6Z) sum(S2Z.*S6Z) sum(S3Z.*S6Z) sum(S4Z.*S6Z) sum(S5Z.*S6Z)  
    sum(S6Z.*S6Z)];  
  
% Hallar los Caudales Unitarios  
X=[A\B;1-sum(A\B)];  
b1c=X(1,1);  
b2c=X(2,1);  
b3c=X(3,1);  
b4c=X(4,1);  
b5c=X(5,1);
```

```

b6c=X(6,1);
bZc=X(7,1);

% Hallar los Errores por las mallas
ErrorMalla=fA-(fS1*b1c+fS2*b2c+fS3*b3c+fS4*b4c+fS5*b5c+fS6*b6c+fZ*bZc);

% Hallar los Multiplicadores de Lagrange (Lambda)
Lambda=-2/(1+sum(X.^2))*ErrorMalla;

% Hallar las Correcciones
DfA=-1/2*Lambda;
DfS1=b1c/2*Lambda;
DfS2=b2c/2*Lambda;
DfS3=b3c/2*Lambda;
DfS4=b4c/2*Lambda;
DfS5=b5c/2*Lambda;
DfS6=b6c/2*Lambda;
DfZ=bZc/2*Lambda;

% Corregir los Analisis Granulometricos
fAc=fA-DfA;
fS1c=fS1-DfS1;
fS2c=fS2-DfS2;
fS3c=fS3-DfS3;
fS4c=fS4-DfS4;
fS5c=fS5-DfS5;
fS6c=fS6-DfS6;
fZc=fZ-DfZ;

% Hallar los Errores por las mallas
ErrorMallaCorr=fAc-
(fS1c*b1c+fS2c*b2c+fS3c*b3c+fS4c*b4c+fS5c*b5c+fS6c*b6c+fZc*bZc);

% Analisis Granulometricos Corregidos
agc_fp=[fAc fS1c fS2c fS3c fS4c fS5c fS6c fZc]*100;

% Fracciones Acumulados Retenidos
GAc=cumsum(fAc);
GS1c=cumsum(fS1c);
GS2c=cumsum(fS2c);
GS3c=cumsum(fS3c);
GS4c=cumsum(fS4c);
GS5c=cumsum(fS5c);
GS6c=cumsum(fS6c);
GZc=cumsum(fZc);
agc_G=[GAc GS1c GS2c GS3c GS4c GS5c GS6c GZc]*100;

```

```

% Fracciones Acumulados Pasantes
FAc=1-cumsum(fAc);
FS1c=1-cumsum(fS1c);
FS2c=1-cumsum(fS2c);
FS3c=1-cumsum(fS3c);
FS4c=1-cumsum(fS4c);
FS5c=1-cumsum(fS5c);
FS6c=1-cumsum(fS6c);
FZc=1-cumsum(fZc);
agc_F=[FAc FS1c FS2c FS3c FS4c FS5c FS6c FZc]*100;

% Hallar el Error de la Correccion
S=sum(DfA.^2)+sum(DfS1.^2)+sum(DfS2.^2)+sum(DfS3.^2)+sum(DfS4.^2)+sum(
DfS5.^2)+sum(DfS6.^2)+sum(DfZ.^2);

%-----
% Definiendo Cell Array de Fracciones en Peso
ag_fp_ca=num2cell([ag_fp ErrorMalla]);
ag_fp_ca=cat(2,tp_ca,ag_fp_ca);
ag_fp_ca=cat(1,nombres_ES_tam_err,ag_fp_ca)

% Definiendo Cell Array de Fracciones en Peso Corregidas
agc_fp_ca=num2cell([agc_fp ErrorMallaCorr]);
agc_fp_ca=cat(2,tp_ca,agc_fp_ca);
agc_fp_ca=cat(1,nombres_ES_tam_err,agc_fp_ca)

% Definiendo Cell Array de Fracciones Acumuladas Retenidas
ag_G_ca=num2cell(ag_G);
ag_G_ca=cat(2,tmin_ca,ag_G_ca);
ag_G_ca=cat(1,nombres_ES_tam,ag_G_ca)

% Definiendo Cell Array de Fracciones Acumuladas Retenidas
agc_G_ca=num2cell(agc_G);
agc_G_ca=cat(2,tmin_ca,agc_G_ca);
agc_G_ca=cat(1,nombres_ES_tam,agc_G_ca)

% Definiendo Cell Array de Fracciones Acumuladas Pasantes
ag_F_ca=num2cell(ag_F);
ag_F_ca=cat(2,tmin_ca,ag_F_ca);
ag_F_ca=cat(1,nombres_ES_tam,ag_F_ca)

```

```
% Definiendo Cell Array de Fracciones Acumuladas Pasantes  
    agc_F_ca=num2cell(agc_F);  
    agc_F_ca=cat(2,tmin_ca,agc_F_ca);  
agc_F_ca=cat(1,nombre_ES_tam,agc_F_ca)
```

## APENDICE C: CORRECCION LEY ML.M

### *PROGRAMA PARA CORREGIR LOS ANALISIS QUIMICOS DEL CLASIFICADOR STOKES EN MATLAB.*

```
%-----  
%Correccion de Analisis Quimico por Multiplicadores de Lagrange  
  
% Hallar los Errores  
DMqA=LA-sum(LfA.*fAc); % Debe de ser FRACCIONES, no porcentajes.  
DMqS1=LS1-sum(LfS1.*fS1c);  
DMqS2=LS2-sum(LfS2.*fS2c);  
DMqS3=LS3-sum(LfS3.*fS3c);  
DMqS4=LS4-sum(LfS4.*fS4c);  
DMqS5=LS5-sum(LfS5.*fS5c);  
DMqS6=LS6-sum(LfS6.*fS6c);  
DMqZ=LZ-sum(LfZ.*fZc);  
  
DMq=LfA.*fAc-  
(LfS1.*fS1c*b1c+LfS2.*fS2c*b2c+LfS3.*fS3c*b3c+LfS4.*fS4c*b4c+LfS5.*fS5c*  
b5c+LfS6.*fS6c*b6c+LfZ.*fZc*bZc);  
  
% Hallar las matrices:  
  
DMqES=[DMqA  
        DMqS1  
        DMqS2  
        DMqS3  
        DMqS4  
        DMqS5  
        DMqS6  
        DMqZ];  
  
Qu=[1  
     -b1c  
     -b2c  
     -b3c  
     -b4c  
     -b5c  
     -b6c  
     -bZc];  
  
F2=[fAc.^2 fS1c.^2 fS2c.^2 fS3c.^2 fS4c.^2 fS5c.^2 fS6c.^2 fZc.^2];  
  
SF2=[sum(fAc.^2)
```



```

sum(fS1c.^2)
sum(fS2c.^2)
sum(fS3c.^2)
sum(fS4c.^2)
sum(fS5c.^2)
sum(fS6c.^2)
sum(fZc.^2)];

H=F2*inv(diag(SF2)+eye(8));

phi_0=F2*diag(Qu)*Qu;

% Calculo de los multiplicadores de Lagrange

Lambda_q=2*inv(H*(diag(Qu))^2*F2'-diag(phi_0))*(DMq+H*diag(Qu)*DMqES);

Lambda_ES=inv(diag(SF2)+eye(8))*(diag(Qu)*F2*Lambda_q-2*DMqES);

% Hallar las correcciones

DLfA=1/2*fAc.*(-Lambda_q+Lambda_ES(1,1));
DLfS1=1/2*fS1c.*(+Lambda_q*b1c+Lambda_ES(2,1));
DLfS2=1/2*fS2c.*(+Lambda_q*b2c+Lambda_ES(3,1));
DLfS3=1/2*fS3c.*(+Lambda_q*b3c+Lambda_ES(4,1));
DLfS4=1/2*fS4c.*(+Lambda_q*b4c+Lambda_ES(5,1));
DLfS5=1/2*fS5c.*(+Lambda_q*b5c+Lambda_ES(6,1));
DLfS6=1/2*fS6c.*(+Lambda_q*b6c+Lambda_ES(7,1));
DLfZ=1/2*fZc.*(+Lambda_q*bZc+Lambda_ES(8,1));

DLA=-1/2*Lambda_ES(1,1);
DLS1=-1/2*Lambda_ES(2,1);
DLS2=-1/2*Lambda_ES(3,1);
DLS3=-1/2*Lambda_ES(4,1);
DLS4=-1/2*Lambda_ES(5,1);
DLS5=-1/2*Lambda_ES(6,1);
DLS6=-1/2*Lambda_ES(7,1);
DLZ=-1/2*Lambda_ES(8,1);

% Correccion de Leyes de Flujos
LAc=LA-DLA;
LS1c=LS1-DLS1;
LS2c=LS2-DLS2;
LS3c=LS3-DLS3;
LS4c=LS4-DLS4;
LS5c=LS5-DLS5;
LS6c=LS6-DLS6;
LZc=LZ-DLZ;

```

% Correccion de Leyes de Mallas

LfAc=LfA-DLfA;

LfS1c=LfS1-DLfS1;

LfS2c=LfS2-DLfS2;

LfS3c=LfS3-DLfS3;

LfS4c=LfS4-DLfS4;

LfS5c=LfS5-DLfS5;

LfS6c=LfS6-DLfS6;

LfZc=LfZ-DLfZ;

% Errores Generales y flujos corregidos

DMq1c=LAc-

(LS1c\*b1c+LS2c\*b2c+LS3c\*b3c+LS4c\*b4c+LS5c\*b5c+LS6c\*b6c+LZc\*bZc);

DMqAc=LAc-sum(LfAc.\*fAc);

DMqS1c=LS1c-sum(LfS1c.\*fS1c);

DMqS2c=LS2c-sum(LfS2c.\*fS2c);

DMqS3c=LS3c-sum(LfS3c.\*fS3c);

DMqS4c=LS4c-sum(LfS4c.\*fS4c);

DMqS5c=LS5c-sum(LfS5c.\*fS5c);

DMqS6c=LS6c-sum(LfS6c.\*fS6c);

DMqZc=LZc-sum(LfZc.\*fZc);

% Errores de mallas corregidos

DMq2c=LfAc.\*fAc-

(LfS1c.\*fS1c\*b1c+LfS2c.\*fS2c\*b2c+LfS3c.\*fS3c\*b3c+LfS4c.\*fS4c\*b4c+LfS5c.\*fS5c\*b5c+LfS6c.\*fS6c\*b6c+LfZc.\*fZc\*bZc);

% Analisis Quimicos (puede ser %, gr/t, etc...)

%Por Entradas y Salidas

aq\_ES=[LA LS1 LS2 LS3 LS4 LS5 LS6 LZ];

% Leyes de Flujo Corregidas

aqc\_ES=[LAc LS1c LS2c LS3c LS4c LS5c LS6c LZc];

%Por Mallas

aq\_fp=[LfA LfS1 LfS2 LfS3 LfS4 LfS5 LfS6 LfZ];

% Leyes de Mallas Corregidas

aqc\_fp=[LfAc LfS1c LfS2c LfS3c LfS4c LfS5c LfS6c LfZc];

%-----

% Definiendo Cell Array de Analisis Quimicos por Mallas

aq\_fp\_ca=num2cell([aq\_fp DMq]);

aq\_fp\_ca=cat(2,tp\_ca,aq\_fp\_ca);

```

err_vert=num2cell([DMqA DMqS1 DMqS2 DMqS3 DMqS4 DMqS5 DMqS6
DMqZ [0]]);
err_vert=cat(2,{'Error por E-S'},err_vert);
aq_fp_ca=cat(1,nombres_ES_tam_err,aq_fp_ca);
aq_fp_ca=cat(1,aq_fp_ca,err_vert)

% Definiendo Cell Array de Analisis Quimicos Corregidos por Mallas
aqc_fp_ca=num2cell([aqc_fp DMq2c]);
aqc_fp_ca=cat(2,tp_ca,aqc_fp_ca);
err_vert_corr=num2cell([DMqAc DMqS1c DMqS2c DMqS3c DMqS4c
DMqS5c DMqS6c DMqZc [0]]);
err_vert_corr=cat(2,{'Error por E-S'},err_vert_corr);
aqc_fp_ca=cat(1,nombres_ES_tam_err,aqc_fp_ca);
aqc_fp_ca=cat(1,aqc_fp_ca,err_vert_corr)

% Definiendo Cell Array de Analisis Quimicos por Entradas y Salidas
aq_ES_ca=num2cell([aq_ES DMq1c]);
aq_ES_ca=cat(1,nombres_ES_err,aq_ES_ca)

% Definiendo Cell Array de Analisis Quimicos Corregidos por Entradas y Salidas
aqc_ES_ca=num2cell([aqc_ES DMq1c]);
aqc_ES_ca=cat(1,nombres_ES_err,aqc_ES_ca)

```

## APENDICE D: AJUSTAR.M

### *PROGRAMA PARA AJUSTAR LOS ANALISIS GRANULOMÉTRICOS A LAS FUNCIONES DE DISTRIBUCION PRESENTADAS EN EL CAPÍTULO 6.*

```
%-----  
%Ingresar Tamaños Minimos y FRACCIONES Acumuladas Pasantes  
% Fracciones Acumuladas pasantes: Introducir tambien las coordenadas (0,0)  
% y (Xmax,1) Donde el TODO el material es menor al tamaño Xmax.  
  
function fajuste=Ajustar(tmin,F)  
tinitial=cputime;  
  
% Ordena en orden DESCENDENTE  
mat=[tmin,F];  
mat=-sortrows(-mat,1);  
  
tmin=mat(:,1);  
F=mat(:,2);  
  
G=1-F;  
f=diff(G);  
f=f/sum(f);  
  
%TamMin  
TamMin=tmin(2:length(tmin));  
  
%TamMax  
TamMax=tmin(1:length(tmin)-1);  
  
% Tamaño Promedio  
TP=tamprom(tmin,F);  
  
save datos_Tam_f.mat TP f TamMax TamMin  
  
% Calculo de los Parametros estadisticos.  
r2_Estad=NaN;  
min_cuad_Estad=NaN;  
alpha_Estad=NaN;  
beta_Estad=NaN;  
Xo_Estad=NaN;  
TamMed_Estad=sum(TP.*f);  
Varianza_Estad=sum(((TP-TamMed_Estad).^2).*f);
```

```

DesvStd_Estad=sqrt(Varianza_Estad);
CoefVar_Estad=DesvStd_Estad./TamMed_Estad;

estad=[r2_Estad
min_cuad_Estad
alpha_Estad
beta_Estad
Xo_Estad
TamMed_Estad
Varianza_Estad
DesvStd_Estad
CoefVar_Estad];

save p_estad.mat estad

leyenda={'r^2';'min cuad';'alpha';'beta';'Xo';'Tamaño Medio';'Varianza';'Desv.
Std.';'CV'};

nombre_fun={'Parametro','Estadistica','GGS','GM','RR','Normal','Normal
mod','LogNormal','Gamma','BC','Harris 3p','Beta'};

%-----
fajuste=[estad ggs(tmin,F) gm(tmin,F) rr(tmin,F) normal(tmin,F)
normal_mod(tmin,F) lognormal(tmin,F) gamma_f(tmin,F) bc(tmin,F)
harris3p(tmin,F) beta_f(tmin,F)];

F_GGS=(tmin/fajuste(5,2)).^fajuste(3,2);
F_GM=1-(1-tmin/fajuste(5,3)).^fajuste(3,3);
F_RR=1-exp(-(tmin/fajuste(5,4)).^fajuste(3,4));
F_Normal=normcdf(tmin,fajuste(5,5),fajuste(3,5));

K=normcdf(0,fajuste(5,6),fajuste(3,6));
F_Normal_mod=(normcdf(tmin,fajuste(5,6),fajuste(3,6))-K)/(1-K);

F_LogNormal=logncdf(tmin,log(fajuste(5,7)),fajuste(3,7));
F_Gamma=gammainc(tmin/fajuste(5,8),fajuste(3,8));
F_BC=(1-exp(-(tmin/fajuste(5,9)).^fajuste(3,9)))/(1-exp(-1));
F_Harris=1-(1-(tmin/fajuste(5,10)).^fajuste(4,10)).^fajuste(3,10);
F_Beta=betainc(tmin/fajuste(5,11),fajuste(3,11),fajuste(4,11));

nombre_F={'Tamaño','Datos','GGS','GM','RR','Normal','Normal
mod','LogNormal','Gamma','BC','Harris 3p','Beta'};
F_obt=[tmin F*100 F_GGS*100 F_GM*100 F_RR*100 F_Normal*100
F_Normal_mod*100 F_LogNormal*100 F_Gamma*100 F_BC*100 F_Harris*100
F_Beta*100];

f_resul=num2cell(F_obt);

```

```

f_resul=cat(1,nombre_F,f_resul)

fajuste=num2cell(fajuste);
fajuste=cat(2,leyenda,fajuste);
fajuste=cat(1,nombre_fun,fajuste);

figure(1)
plot(tmin,F*100,'ok',...
      tmin,F_GGS*100,'-.r',...
      tmin,F_GM*100,'-.m',...
      tmin,F_RR*100,'-.c',...
      tmin,F_Normal*100,'-.g',...
      tmin,F_Normal_mod*100,'-.b',...
      tmin,F_LogNormal*100,'r',...
      tmin,F_Gamma*100,'m',...
      tmin,F_BC*100,'c',...
      tmin,F_Harris*100,'k',...
      tmin,F_Beta*100,'-.k','LineWidth',2);
xlabel('Tamaño (Micrometros)')
ylabel('Porcentaje Acumulado Pasante')
title('Funciones de Distribucion')
axis([0 max(TamMin) 0 100])
set(gca,'XGrid','on','YGrid','on');
legend('Datos','Gates Gaudin Schuhmann','Gaudin Meloy','Rosin
Rammler','Normal','Normal mod','LogNormal','Gamma','Broadbent Calcott','Harris
3p','Beta',-1);

figure(2)
semilogx(tmin,F*100,'ok',...
          tmin,F_GGS*100,'-.r',...
          tmin,F_GM*100,'-.m',...
          tmin,F_RR*100,'-.c',...
          tmin,F_Normal*100,'-.g',...
          tmin,F_Normal_mod*100,'-.b',...
          tmin,F_LogNormal*100,'r',...
          tmin,F_Gamma*100,'m',...
          tmin,F_BC*100,'c',...
          tmin,F_Harris*100,'k',...
          tmin,F_Beta*100,'-.k','LineWidth',2);
xlabel('Tamaño (Micrometros)')
ylabel('Porcentaje Acumulado Pasante')
title('Funciones de Distribucion')
axis([0 max(TamMin) 0 100])
set(gca,'XGrid','on','YGrid','on');
legend('Datos','Gates Gaudin Schuhmann','Gaudin Meloy','Rosin
Rammler','Normal','Normal mod','LogNormal','Gamma','Broadbent Calcott','Harris
3p','Beta',-1);

```

figure(3)

```
semilogy(tmin,F*100,'ok',...
          tmin,F_GGS*100,'-r',...
          tmin,F_GM*100,'-m',...
          tmin,F_RR*100,'-c',...
          tmin,F_Normal*100,'-g',...
          tmin,F_Normal_mod*100,'-b',...
          tmin,F_LogNormal*100,'r',...
          tmin,F_Gamma*100,'m',...
          tmin,F_BC*100,'c',...
          tmin,F_Harris*100,'k',...
          tmin,F_Beta*100,'-k','LineWidth',2);
xlabel('Tamaño (Micrometros)')
ylabel('Porcentaje Acumulado Pasante')
title('Funciones de Distribucion')
axis([0 max(TamMin) 0 100])
set(gca,'XGrid','on','YGrid','on');
legend('Datos','Gates Gaudin Schuhmann','Gaudin Meloy','Rosin
Rammler','Normal','Normal mod','LogNormal','Gamma','Broadbent Calcott','Harris
3p','Beta',-1);
```

figure(4)

```
loglog(tmin,F*100,'ok',...
        tmin,F_GGS*100,'-r',...
        tmin,F_GM*100,'-m',...
        tmin,F_RR*100,'-c',...
        tmin,F_Normal*100,'-g',...
        tmin,F_Normal_mod*100,'-b',...
        tmin,F_LogNormal*100,'r',...
        tmin,F_Gamma*100,'m',...
        tmin,F_BC*100,'c',...
        tmin,F_Harris*100,'k',...
        tmin,F_Beta*100,'-k','LineWidth',2);
xlabel('Tamaño (Micrometros)')
ylabel('Porcentaje Acumulado Pasante')
title('Funciones de Distribucion')
axis([0 max(TamMin) 0 100])
set(gca,'XGrid','on','YGrid','on');
legend('Datos','Gates Gaudin Schuhmann','Gaudin Meloy','Rosin
Rammler','Normal','Normal mod','LogNormal','Gamma','Broadbent Calcott','Harris
3p','Beta',-1);
```

tfinal=cputime;

tiempo=tfinal-tinicial

## APENDICE E: GGS.M

### *PROGRAMA PARA AJUSTAR LOS ANALISIS GRANULOMÉTRICOS A LA FUNCIÓN DE GATES GAUDIN SCHUHMANN*

```
%-----  
% Ajusta a la funcion Gates Gaudin Schuhmann  
% Subfuncion del programa "Ajustar.m"  
function fggs=ggs(TamMin,F)  
  
F=F(1:length(F)-1,1);  
TamMin=TamMin(1:length(TamMin)-1,1);  
  
Reg=polyfit(log10(TamMin),log10(F),1);  
% r=corrcoef(log10(TamMin),log10(F));  
  
%r2_GGS=r(1,2)^2;  
alpha_GGS=Reg(1,1);  
beta_GGS=NaN;  
Xo_GGS=(1/(10^Reg(1,2)))^(1/alpha_GGS);  
TamMed_GGS=(alpha_GGS/(alpha_GGS+1))*Xo_GGS;  
Varianza_GGS=(alpha_GGS/((alpha_GGS+2)*(alpha_GGS+1)^2))*Xo_GGS^2;  
DesvStd_GGS=sqrt(Varianza_GGS);  
CV_GGS=DesvStd_GGS/TamMed_GGS;  
  
% Calculo del R cuadrado  
F_GGS=(TamMin/Xo_GGS).^alpha_GGS;  
F_medio=mean(F);  
  
SSR=sum((F_GGS-F_medio).^2);  
SST=sum((F-F_medio).^2);  
SSE=sum((F-F_GGS).^2);  
  
r2_GGS=1-SSE/SST;  
  
fggs=[r2_GGS  
SSE  
alpha_GGS  
beta_GGS  
Xo_GGS  
TamMed_GGS  
Varianza_GGS  
DesvStd_GGS  
CV_GGS];
```



## APENDICE F: GM.M

### *PROGRAMA PARA AJUSTAR LOS ANALISIS GRAUOLOMÉTRICOS A LA FUNCIÓN DE GAUDI. MELOY*

```
%-----  
% Ajusta a la funcion Gaudin Meloy  
% Subfuncion del programa "Ajustar.m"  
  
function fgm=gm(TamMin,F)  
  
load p_estad.mat  
  
TamMed_Estad=estad(6,1);  
CoefVar_Estad=estad(9,1);  
  
%Calculo de Valores iniciales.  
alpha_GM=2*CoefVar_Estad^2/(1-CoefVar_Estad^2);  
Xo_GM=TamMed_Estad*(alpha_GM+1);  
  
% Vector de valores iniciales.  
par_inic=[alpha_GM Xo_GM];  
  
% Halla los parametros por minimos cuadrados.  
par = lsqcurvefit(@minGM,par_inic,TamMin,F);  
  
alpha_GM=par(1);  
beta_GM=NaN;  
Xo_GM=par(2);  
TamMed_GM=Xo_GM/(alpha_GM+1);  
Varianza_GM=Xo_GM^2*alpha_GM/((alpha_GM+2)*(alpha_GM+1)^2);  
DesvStd_GM=sqrt(Varianza_GM);  
CV_GM=DesvStd_GM/TamMed_GM;  
  
% Calculo del R cuadrado  
F_GM=1-(1-TamMin/Xo_GM).^alpha_GM;  
F_medio=mean(F);  
  
SSR=sum((F_GM-F_medio).^2);  
SST=sum((F-F_medio).^2);  
SSE=sum((F-F_GM).^2);  
  
r2_GM=1-SSE/SST;  
  
% Resultados
```

```
fgm=[r2_GM  
SSE  
alpha_GM  
beta_GM  
Xo_GM  
TamMed_GM  
Varianza_GM  
DesvStd_GM  
CV_GM];  
%-----
```

### **Función minGM**

```
%-----  
function fGM=minGM(x,TamMin)  
fGM=1-(1-TamMin/x(2)).^x(1);
```

## APENDICE G: RR.M

### *PROGRAMA PARA AJUSTAR LOS ANALISIS GRANULOMÉTRICOS A LA FUNCIÓN DE ROSIN RAMMLER*

```
%-----  
% Ajusta a la funcion Rosin Rammler  
% Subfuncion del programa "Ajustar.m"  
function frr=rr(TamMin,F)  
  
F=F(2:length(F)-1,1);  
TamMin=TamMin(2:length(TamMin)-1,1);  
Reg=polyfit(log10(TamMin),log10(log(1./(1-F))),1); % Verificar si es posible  
cambiar (100*(100-F).^-1)  
%r=corrcoef(log10(TamMin),log10(log(1./(1-F))));  
  
%r2 RR=r(1,2)^2;  
alpha_RR=Reg(1,1);  
beta_RR=NaN;  
Xo_RR=10^(Reg(1,2)/(-alpha_RR));  
TamMed_RR=gamma((alpha_RR+1)/alpha_RR)*Xo_RR;  
Varianza_RR=(gamma((alpha_RR+2)/alpha_RR)-  
(gamma((alpha_RR+1)/alpha_RR))^2)*Xo_RR^2;  
DesvStd_RR=sqrt(Varianza_RR);  
CV_RR=DesvStd_RR/TamMed_RR;  
  
% Calculo del R cuadrado  
F_RR=1-exp(-(TamMin/Xo_RR).^alpha_RR);  
F_medio=mean(F);  
  
SSR=sum((F_RR-F_medio).^2);  
SST=sum((F-F_medio).^2);  
SSE=sum((F-F_RR).^2);  
r2_RR=1-SSE/SST;  
  
frr=[r2_RR  
SSE  
alpha_RR  
beta_RR  
Xo_RR  
TamMed_RR  
Varianza_RR  
DesvStd_RR  
CV_RR];
```

## APENDICE H: NORMAL.M

### *PROGRAMA PARA AJUSTAR LOS ANALISIS GRANULOMÉTRICOS A LA DISTRIBUCIÓN NORMAL*

```
%-----  
function fNormal=Normal(TamMin,F)  
  
load p_estad.mat  
TamMed_Estad=estad(6,1);  
CoefVar_Estad=estad(9,1);  
  
%Calculo de Valores iniciales.  
alpha_Normal=CoefVar_Estad*TamMed_Estad; % Igual a la Desviacion Standard  
Xo_Normal=TamMed_Estad; % Igual al Tamaño Medio  
  
% Vector de valores iniciales.  
par_inic=[alpha_Normal Xo_Normal];  
  
% Halla los parametros por minimos cuadrados.  
par = lsqcurvefit(@minNormal,par_inic,TamMin,F);  
  
alpha_Normal=par(1);  
beta_Normal=NaN;  
Xo_Normal=par(2);  
TamMed_Normal=Xo_Normal;  
Varianza_Normal=alpha_Normal^2;  
DesvStd_Normal=sqrt(Varianza_Normal);  
CV_Normal=DesvStd_Normal/TamMed_Normal;  
  
% Calculo del R cuadrado  
F_Normal=normcdf(TamMin,Xo_Normal,alpha_Normal);  
F_medio=mean(F);  
  
SSR=sum((F_Normal-F_medio).^2);  
SST=sum((F-F_medio).^2);  
SSE=sum((F-F_Normal).^2);  
  
r2_Normal=1-SSE/SST;  
  
% Resultados  
  
fNormal=[r2_Normal  
SSE  
alpha_Normal  
beta_Normal
```

```
Xo Normal  
TamMed Normal  
Varianza Normal  
Desv td Normal  
V_Normal];  
%-----
```

### **Función minNormal**

```
%-----  
función fNormal minNormal(p TamMin)  
fNormal n rmedf(TamMin,p(2),p(1));
```

## APENDICE I: NORMAL MOD.M

### *PROGRAMA PARA AJUSTAR LOS ANALISIS GRANULOMÉTRICOS A LA DISTRIBUCIÓN NORMAL MODIFICADA*

```
%-----  
function fNormal_mod=Normal_mod(TamMin,F)  
  
load p estad.mat  
  
TamMed_Estad=estad(6,1);  
CoefVar_Estad=estad(9,1);  
  
%Calculo de Valores iniciales.  
alpha_Normal_mod=CoefVar_Estad*TamMed_Estad; % Igual a la Desviacion  
Standard  
Xo_Normal_mod=TamMed_Estad; % Igual al Tamaño Medio  
  
% Vector de valores iniciales.  
par_inic=[alpha_Normal_mod Xo_Normal_mod];  
  
% Halla los parametros por minimos cuadrados.  
par = lsqcurvefit(@minNormal_mod,par_inic,TamMin,F);  
  
alpha_Normal_mod=par(1);  
beta_Normal_mod=NaN;  
Xo_Normal_mod=par(2);  
  
K=normcdf(0,Xo_Normal_mod,alpha_Normal_mod);  
F_Normal_mod=(normcdf(TamMin,Xo_Normal_mod,alpha_Normal_mod)-K)/(1-  
K);  
  
    Q=1/sqrt(2)*Xo_Normal_mod/alpha_Normal_mod;  
    TamMed_Normal_mod=1/((1-K)*sqrt(2*pi))*(alpha_Normal_mod*exp(-  
    Q^2)+sqrt(pi/2)*Xo_Normal_mod*(1+erf(Q)));  
    Varianza_Normal_mod=1/(2*(1-  
    K))*(alpha_Normal_mod*sqrt(2/pi)*Xo_Normal_mod*exp(-  
    Q^2)+(alpha_Normal_mod^2+Xo_Normal_mod^2)*(1+erf(Q)))-  
    TamMed_Normal_mod^2;  
    DesvStd_Normal_mod=sqrt(Varianza_Normal_mod);  
    CV_Normal_mod=DesvStd_Normal_mod/TamMed_Normal_mod;  
  
% Calculo del R cuadrado  
  
F_medio=mean(F);
```

```
SSR=sum((F_Normal_mod-F_medio).^2);
SST=sum((F-F_medio).^2);
SSE=sum((F-F_Normal_mod).^2);
```

```
r2_Normal_mod=1-SSE/SST;
```

```
% Resultados
```

```
fNormal_mod=[r2_Normal_mod
SSE
alpha_Normal_mod
beta_Normal_mod
Xo_Normal_mod
TamMed_Normal_mod
Varianza_Normal_mod
DesvStd_Normal_mod
CV_Normal_mod];
%-----
```

### **Función minNormal\_mod**

```
%-----
function fNormal_mod=minNormal_mod(p,TamMin)
K=normcdf(0,p(2),p(1));
fNormal_mod=(normcdf(TamMin,p(2),p(1))-K)/(1-K);
```

## APENDICE J: LOGNORMAL.M

### *PROGRAMA PARA AJUSTAR LOS ANALISIS GRANULOMÉTRICOS A LA DISTRIBUCIÓN LOG-NORMAL*

```
%-----  
function flognormal=lognormal(TamMin,F)  
  
load p_estad.mat  
  
TamMed_Estad=estad(6,1);  
CoefVar_Estad=estad(9,1);  
  
%Calculo de Valores iniciales.  
alpha_LogNormal=sqrt(log(CoefVar_Estad^2+1));  
Xo_LogNormal=TamMed_Estad/sqrt(exp(alpha_LogNormal^2));  
  
% Vector de valores iniciales.  
par_inic=[alpha_LogNormal Xo_LogNormal];  
  
% Halla los parametros por minimos cuadrados.  
par = lsqcurvefit(@minLogNormal,par_inic,TamMin,F);  
  
alpha_LogNormal=par(1);  
beta_LogNormal=NaN;  
Xo_LogNormal=par(2);  
TamMed_LogNormal=Xo_LogNormal*exp(alpha_LogNormal^2/2);  
Varianza_LogNormal=Xo_LogNormal^2*(exp(2*alpha_LogNormal^2)-  
exp(alpha_LogNormal^2));  
DesvStd_LogNormal=sqrt(Varianza_LogNormal);  
CV_LogNormal=DesvStd_LogNormal/TamMed_LogNormal;  
  
% Calculo del R cuadrado  
F_LogNormal=logncdf(TamMin,log(Xo_LogNormal),alpha_LogNormal);  
F_medio=mean(F);  
  
SSR=sum((F_LogNormal-F_medio).^2);  
SST=sum((F-F_medio).^2);  
SSE=sum((F-F_LogNormal).^2);  
  
r2_LogNormal=1-SSE/SST;  
  
% Resultados  
  
flognormal=[r2_LogNormal  
SSE
```



```
alpha_LogNormal  
beta_LogNormal  
Xo_LogNormal  
TamMed_LogNormal  
Varianza_LogNormal  
DesvStd_LogNormal  
CV_LogNormal];  
%-----
```

### **Función minLogNormal**

```
%-----  
function fLogNormal=minLogNormal(p,TamMin)  
fLogNormal=logncdf(TamMin,log(p(2)),p(1));
```

## APENDICE K: GAMMA F.M

### ***PROGRAMA PARA AJUSTAR LOS ANALISIS GRANULOMÉTRICOS A LA DISTRIBUCIÓN GAMMA***

```
%-----  
function fgamma=gamma_f(TamMin,F) % Se usa gamma_f para NO confundir con  
la funcion gamma de Matlab  
  
load p_estad.mat  
  
TamMed_Estad=estad(6,1);  
CoefVar_Estad=estad(9,1);  
  
%Calculo de Valores iniciales.  
alpha_Gamma=1/CoefVar_Estad^2;  
Xo_Gamma=TamMed_Estad/alpha_Gamma;  
  
% Vector de valores iniciales.  
par_inic=[alpha_Gamma Xo_Gamma];  
  
% Halla los parametros por minimos cuadrados.  
par = lsqcurvefit(@minGamma,par_inic,TamMin,F);  
  
alpha_Gamma=par(1);  
beta_Gamma=NaN;  
Xo_Gamma=par(2);  
TamMed_Gamma=Xo_Gamma*alpha_Gamma;  
Varianza_Gamma=Xo_Gamma^2*alpha_Gamma;  
DesvStd_Gamma=sqrt(Varianza_Gamma);  
CV_Gamma=DesvStd_Gamma/TamMed_Gamma;  
  
% Calculo del R cuadrado  
F_Gamma=gammainc(TamMin/Xo_Gamma,alpha_Gamma);  
F_medio=mean(F);  
  
SSR=sum((F_Gamma-F_medio).^2);  
SST=sum((F-F_medio).^2);  
SSE=sum((F-F_Gamma).^2);  
  
r2_Gamma=1-SSE/SST;  
  
% Resultados
```

```
fgamma=[r2_Gamma  
SSE  
alpha_Gamma  
beta_Gamma  
Xo_Gamma  
TamMed_Gamma  
Varianza_Gamma  
DesvStd_Gamma  
CV_Gamma];  
%-----
```

### **Función minGamma**

```
%-----  
function fGamma=minGamma(p,TamMin)  
fGamma=gammainc(TamMin/p(2),p(1));
```

## APENDICE L: BC.M

### ***PROGRAMA PARA AJUSTAR LOS ANALISIS GRANULOMÉTRICOS A LA FUNCIÓN DE BROADBENT CALLCOTT***

```
%-----  
% Ajusta a la funcion Broadbent Callcott  
% Subfuncion del programa "Ajustar.m"  
function fbc=bc(TamMin,F)  
  
F=F(2:length(F)-1,1);  
TamMin=TamMin(2:length(TamMin)-1,1);  
Reg=polyfit(log10(TamMin),log10(log(1./(1-F*(1-exp(-1))))),1); % Verificar si es  
posible cambiar (100*(100-F).^-1)  
%r=corrcoef(log10(TamMin),log10(log(1./(1-F*(1-exp(-1))))));  
  
%r2_BC=r(1,2)^2;  
alpha_BC=Reg(1,1);  
beta_BC=NaN;  
Xo_BC=10^(Reg(1,2)/(-alpha_BC));  
TamMed_BC=Xo_BC/(1-exp(-  
1))*gamma(1+1/alpha_BC)*gammainc(1,1+1/alpha_BC);  
Varianza_BC=Xo_BC^2*(1/(1-exp(-  
1))*gamma(1+2/alpha_BC)*gammainc(1,1+2/alpha_BC)-(TamMed_BC/Xo_BC)^2);  
DesvStd_BC=sqrt(Varianza_BC);  
CV_BC=DesvStd_BC/TamMed_BC;  
  
% Calculo del R cuadrado  
F_BC=(1-exp(-(TamMin/Xo_BC).^alpha_BC))/(1-exp(-1));  
F_medio=mean(F);  
  
SSR=sum((F_BC-F_medio).^2);  
SST=sum((F-F_medio).^2);  
SSE=sum((F-F_BC).^2);  
r2_BC=1-SSE/SST;  
  
fbc=[r2_BC  
SSE  
alpha_BC  
beta_BC  
Xo_BC  
TamMed_BC  
Varianza_BC  
DesvStd_BC  
CV_BC];
```

## APENDICE M: HARRIS3P.M

### *PROGRAMA PARA AJUSTAR LOS ANALISIS GRANULOMÉTRICOS A LA FUNCIÓN DE HARRIS*

```
%-----  
function h3p=harris3p(TamMin,F)  
  
% Eliminar la coordenada (0,0)  
F=F(1:length(F)-1,1);  
TamMin=TamMin(1:length(TamMin)-1,1);  
  
% Vector de valores iniciales.  
alpha_Harris=1;  
beta_Harris=1;  
Xo_Harris=max(TamMin)*1.005; %Valor ligeramente mayor para la cual  
(Xmax,100%)  
  
par_inic=[alpha_Harris beta_Harris Xo_Harris];  
  
% Halla los parametros por minimos cuadrados.  
OPTIONS = OPTIMSET('MaxFunEvals',10000,'TolX',1.e-12,'MaxIter',10000);  
par = lsqcurvefit(@minharris3p,par_inic,TamMin,F,[],[],OPTIONS);  
  
alpha_Harris=real(par(1));  
beta_Harris=real(par(2));  
Xo_Harris=real(par(3));  
TamMed_Harris=Xo_Harris*alpha_Harris*beta(1+1/beta_Harris,alpha_Harris);  
Varianza_Harris=Xo_Harris^2*(alpha_Harris*beta(1+2/beta_Harris,alpha_Harris)-  
(alpha_Harris*beta(1+1/beta_Harris,alpha_Harris))^2);  
DesvStd_Harris=sqrt(Varianza_Harris);  
CV_Harris=DesvStd_Harris/TamMed_Harris;  
  
% Calculo del R cuadrado  
F_Harris=1-(1-(TamMin/Xo_Harris).^beta_Harris).^alpha_Harris;  
F_medio=mean(F);  
  
SSR=sum((F_Harris-F_medio).^2);  
SST=sum((F-F_medio).^2);  
SSE=sum((F-F_Harris).^2);  
  
r2_Harris=1-SSE/SST;  
  
% Resultados
```

```
h3p=[r2_Harris  
SSE  
alpha_Harris  
beta_Harris  
Xo_Harris  
TamMed_Harris  
Varianza_Harris  
DesvStd_Harris  
CV_Harris];  
%-----
```

### **Función minharris3p**

```
%-----  
function fh3p=minharris3p(p,TamMin)  
fh3p=1-(1-(TamMin/p(3)).^p(2)).^p(1);
```

## APENDICE N: BETA F.M

### *PROGRAMA PARA AJUSTAR LOS ANALISIS GRANULOMÉTRICOS A LA DISTRIBUCIÓN BETA*

```
%-----  
function fbeta=beta_f(TamMin,F)  
  
% Eliminar la coordenada (0,0)  
F=F(1:length(F)-1,1);  
TamMin=TamMin(1:length(TamMin)-1,1);  
  
%-----  
% Vector de valores iniciales.  
X50=interp1(F,TamMin,0.50); %Mediana  
  
load p_estad.mat  
  
Media=estad(6,1); %Tamaño Medio  
CVar=estad(9,1); %Coeficiente de Variacion  
  
%Calculo de Valores iniciales (usando los parametros estadisticos).  
  
save beta_estad.mat X50 Media CVar  
  
alpha_Beta_inic=fminbnd(@minalpha_Beta,1.e-12,1/CVar^2-1.e-12); % el rango de  
alpha_Beta es entre 0 y 1/CV^2  
beta_Beta_inic=CVar^2*(alpha_Beta_inic^2+1)/(1-alpha_Beta_inic*CVar^2);  
  
Xo_Beta_inic=max(TamMin)*1.2; % Valor ligeramente mayor para la cual  
(Xmax,100%) AUMENTAR EN CASO SE TENGA MENSAJE DE ERROR QUE  
0<X<1  
% Valor original 1.005  
  
par_inic=[alpha_Beta_inic beta_Beta_inic Xo_Beta_inic];  
  
% Halla los parametros por minimos cuadrados.  
OPTIONS = OPTIMSET('MaxFunEvals',10000,'TolX',1.e-12,'MaxIter',10000);  
par = lsqcurvefit(@minBeta,par_inic,TamMin,F,[],[],OPTIONS);  
  
alpha_Beta=par(1);  
beta_Beta=par(2);  
Xo_Beta=par(3);  
TamMed_Beta=Xo_Beta*alpha_Beta/(alpha_Beta+beta_Beta);  
Varianza_Beta=Xo_Beta^2*(alpha_Beta*beta_Beta/((alpha_Beta+beta_Beta+1)*(al  
pha_Beta+beta_Beta)^2));
```

```

DesvStd_Beta=sqrt(Varianza_Beta);
CV_Beta=DesvStd_Beta/TamMed_Beta;

% Calculo del R cuadrado
F_Beta=betainc(TamMin/Xo_Beta,alpha_Beta,beta_Beta);
F_medio=mean(F);

SSR=sum((F_Beta-F_medio).^2);
SST=sum((F-F_medio).^2);
SSE=sum((F-F_Beta).^2);

r2_Beta=1-SSE/SST;

% Resultados

fbeta=[r2_Beta
SSE
alpha_Beta
beta_Beta
Xo_Beta
TamMed_Beta
Varianza_Beta
DesvStd_Beta
CV_Beta];

%-----
Función minalpha_Beta
%-----
function min_a=minalpha_Beta(a)

load beta_estad.mat

min_a=(0.50-betainc(X50*a*(1-
a*CVar^2)/(Media*(CVar^2+a)),a,CVar^2*(a^2+1)/(1-a*CVar^2)))^2;
%-----
Función minBeta
%-----
function fBeta=minBeta(p,TamMin)
fBeta=betainc(TamMin/p(3),p(1),p(2));

```



## APENDICE O: AJUSTAR CP.M

### *PROGRAMA PARA AJUSTAR LAS CURVAS DE PARTICIÓN*

```
%-----  
function EDc_ajuste=Ajustar_CP(tp,EDc)  
tinicial=cputime;  
  
% Ordena en orden DESCENDENTE  
mat=[tp,EDc];  
mat=-sortrows(-mat,1);  
tp=mat(:,1);  
EDc=mat(:,2);  
  
leyenda={'r^2';'alpha';'d50c'};  
nombre_fun={'Parametro','Plitt','Lynch','LogNormal','Logistica en Ln'};  
  
%-----  
EDc_ajuste=[Plitt(tp,EDc) Lynch(tp,EDc) LogNormal_CP(tp,EDc)  
Logistica_ln(tp,EDc)];  
  
EDc_Plitt=1-exp(log(0.5)*(tp/EDc_ajuste(3,1)).^EDc_ajuste(2,1));  
EDc_Lynch=minLynch([EDc_ajuste(2,2) EDc_ajuste(3,2)],tp);  
EDc_LogNormal=logncdf(tp,log(EDc_ajuste(3,3)),EDc_ajuste(2,3));  
EDc_Logistica_ln=1./(1+(tp/EDc_ajuste(3,4)).^(-EDc_ajuste(2,4)));  
  
nombre_EDc={'Tamaño','Datos','Plitt','Lynch','LogNormal','Logistica en Ln'};  
EDc_obt=[tp EDc*100 EDc_Plitt*100 EDc_Lynch*100 EDc_LogNormal*100  
EDc_Logistica_ln*100];  
  
EDc_resul=num2cell(EDc_obt);  
EDc_resul=cat(1,nombre_EDc,EDc_resul)  
  
EDc_ajuste=num2cell(EDc_ajuste);  
EDc_ajuste=cat(2,leyenda,EDc_ajuste);  
EDc_ajuste=cat(1,nombre_fun,EDc_ajuste);  
  
figure(1)  
plot(tp,EDc*100,'ok',...  
tp,EDc_Plitt*100,'r',...  
tp,EDc_Lynch*100,'k',...  
tp,EDc_LogNormal*100,'b',...  
tp,EDc_Logistica_ln*100,'g','LineWidth',2);  
xlabel('Tamaño Promedio')  
ylabel('EDc')
```

```

title('Curva de Particion Corregida')
axis([0 max(tp) 0 100])
set(gca,'XGrid','on','YGrid','on');
legend('Datos','Plitt','Lynch','LogNormal','Logistica en Ln',-1);

```

```

figure(2)
semilogx(tp,EDc*100,'ok',...
          tp,EDc_Plitt*100,'r',...
          tp,EDc_Lynch*100,'k',...
          tp,EDc_LogNormal*100,'b',...
          tp,EDc_Logistica_In*100,'g','LineWidth',2);
xlabel('Tamaño Promedio')
ylabel('EDc')
title('Curva de Particion Corregida')
axis([0 max(tp) 0 100])
set(gca,'XGrid','on','YGrid','on');
legend('Datos','Plitt','Lynch','LogNormal','Logistica en Ln',-1);

```

```

figure(3)
semilogy(tp,EDc*100,'ok',...
          tp,EDc_Plitt*100,'r',...
          tp,EDc_Lynch*100,'k',...
          tp,EDc_LogNormal*100,'b',...
          tp,EDc_Logistica_In*100,'g','LineWidth',2);
xlabel('Tamaño Promedio')
ylabel('EDc')
title('Curva de Particion Corregida')
axis([0 max(tp) 0 100])
set(gca,'XGrid','on','YGrid','on');
legend('Datos','Plitt','Lynch','LogNormal','Logistica en Ln',-1);

```

```

figure(4)
loglog(tp,EDc*100,'ok',...
        tp,EDc_Plitt*100,'r',...
        tp,EDc_Lynch*100,'k',...
        tp,EDc_LogNormal*100,'b',...
        tp,EDc_Logistica_In*100,'g','LineWidth',2);
xlabel('Tamaño Promedio')
ylabel('EDc')
title('Curva de Particion Corregida')
axis([0 max(tp) 0 100])
set(gca,'XGrid','on','YGrid','on');
legend('Datos','Plitt','Lynch','LogNormal','Logistica en Ln',-1);

```

```

tfinal=cputime;
tiempo=tfinal-tinicial

```

## APENDICE P: PLITT.M

### *PROGRAMA PARA AJUSTAR A LA FUNCIÓN DE PLITT*

```
%-----  
function fPlitt=Plitt(XED,EDc) % Se usa gamma_f para NO confundir con la  
funcion gamma de Matlab  
  
XED=XED(find(EDc>0)); % Elimina valores negativos correspondiente a ED  
EDc=EDc(EDc>0);  
  
EDc=EDc(find(XED>0)); % Elimina valores negativos correspondiente a XED  
XED=XED(XED>0);  
  
Reg=polyfit(log10(XED),log10(log((1-EDc).^(-1))),1);  
a_Plitt=Reg(1,1);  
d50c_Plitt=(10^(-Reg(1,2)))*(-log(0.50))^(1/a_Plitt);  
  
% Calculo del R cuadrado  
EDc_Plitt=1-exp(log(0.5)*(XED/d50c_Plitt).^a_Plitt);  
EDc_medio=mean(EDc);  
  
SSR=sum((EDc_Plitt-EDc_medio).^2);  
SST=sum((EDc-EDc_medio).^2);  
SSE=sum((EDc-EDc_Plitt).^2);  
  
r2_Plitt=1-SSE/SST;  
  
fPlitt=[r2_Plitt  
a_Plitt  
d50c_Plitt];
```

## APENDICE Q: LYNCH.M

### *PROGRAMA PARA AJUSTAR A LA FUNCIÓN DE LYNCH*

```
%-----  
function fLynch=Lynch(XED,EDc) % Se usa gamma_f para NO confundir con la  
funcion gamma de Matlab  
  
XED=XED(find(EDc>0));% Elimina valores negativos (si hubiera)  
EDc=EDc(EDc>0);  
  
% Hallando valor aproximado de a y d50  
d50c=interp1(EDc,XED,0.50);  
d75c=interp1(EDc,XED,0.75);  
d25c=interp1(EDc,XED,0.25);  
imp_Ly=(d75c-d25c)/(2*d50c);  
A=0.90932551046718;B=0.06140909112888; % Obtenido por regresion  
(inv(imp_Ly) vs. a) a=10^-12:0.01:100 r2=0.99999080728768  
a_aprox=(1/imp_Ly-B)/A;  
par_inic=[a_aprox d50c];  
  
% Obteniendo los valores optimos de a y d50c  
opt = lsqcurvefit(@minLynch,par_inic,XED,EDc,[],[],OPTIMSET('TolX',1.e-12));  
a_Ly=opt(1);  
d50c_Ly=opt(2);  
  
% Calculo del R cuadrado  
EDc_Lynch=minLynch([a_Ly d50c_Ly],XED);  
EDc_medio=mean(EDc);  
  
SSR=sum((EDc_Lynch-EDc_medio).^2);  
SST=sum((EDc-EDc_medio).^2);  
SSE=sum((EDc-EDc_Lynch).^2);  
r2_Lynch=1-SSE/SST;  
  
fLynch=[r2_Lynch  
        a_Ly  
        d50c_Ly];  
%-----  
        Función minLynch  
%-----  
function fLynch=minLynch(p,XED)  
fLynch=(exp(p(1)*XED/p(2))-1)./(exp(p(1)*XED/p(2))+exp(p(1))-2);
```

## APENDICE R: LOGNORMAL CP.M

### *PROGRAMA PARA AJUSTAR A LA DISTRIBUCIÓN LOG-NORMAL.*

```
%-----  
function fLogNormal=LogNormal(XED,EDc)  
  
%Calculo de Valores iniciales.  
d50c_LogNormal=interp1(EDc,XED,0.50);  
alpha_LogNormal=0.5;  
  
% Vector de valores iniciales.  
par_inic=[alpha_LogNormal d50c_LogNormal];  
  
% Halla los parametros por minimos cuadrados.  
par = lsqcurvefit(@minLogNormal_CP,par_inic,XED,EDc);  
  
alpha_LogNormal=par(1);  
d50c_LogNormal=par(2);  
  
% Calculo del R cuadrado  
EDc_LogNormal=logncdf(XED,log(d50c_LogNormal),alpha_LogNormal);  
EDc_medio=mean(EDc);  
  
SSR=sum((EDc_LogNormal-EDc_medio).^2);  
SST=sum((EDc-EDc_medio).^2);  
SSE=sum((EDc-EDc_LogNormal).^2);  
  
r2_LogNormal=1-SSE/SST;  
  
% Resultados  
  
fLogNormal=[r2_LogNormal  
            alpha_LogNormal  
            d50c_LogNormal];  
  
Función minLogNormal_CP  
  
function fLogNormal=minLogNormal_CP(p,TP)  
fLogNormal=logncdf(TP,log(p(2)),p(1));
```

## APENDICE S: LOGISTICA LN.M

### *PROGRAMA PARA AJUSTAR A LA FUNCIÓN LOGÍSTICA EN LN(X)*

```
%-----  
function fLogistica_ln=Logistica_ln(XED,EDc) % Se usa gamma_f para NO  
confundir con la funcion gamma de Matlab  
  
XED=XED(find(EDc>0)); % Elimina valores negativos correspondiente a ED  
EDc=EDc(EDc>0);  
  
EDc=EDc(find(XED>0)); % Elimina valores negativos correspondiente a XED  
XED=XED(XED>0);  
  
d50c_Logistica_ln=interp1(EDc,XED,0.50);  
a_Logistica_ln=3.5;  
  
% Vector de valores iniciales.  
par_inic=[a_Logistica_ln d50c_Logistica_ln];  
  
% Halla los parametros por minimos cuadrados.  
par = lsqcurvefit(@minLogistica_ln,par_inic,XED,EDc);  
  
a_Logistica_ln=par(1);  
d50c_Logistica_ln=par(2);  
  
% Calculo del R cuadrado  
EDc_Logistica_ln=1./(1+(XED/d50c_Logistica_ln).^(-a_Logistica_ln));  
EDc_medio=mean(EDc);  
  
SSR=sum((EDc_Logistica_ln-EDc_medio).^2);  
SST=sum((EDc-EDc_medio).^2);  
SSE=sum((EDc-EDc_Logistica_ln).^2);  
r2_Logistica_ln=1-SSE/SST;  
  
fLogistica_ln=[r2_Logistica_ln  
              a_Logistica_ln  
              d50c_Logistica_ln];  
%-----  
Función minLogistica_ln  
%-----  
function minlog=minLogistica_ln(p,XED)  
minlog=1./(1+(XED/p(2)).^(-p(1)));
```

## APENDICE T:

### ***MÉTODO PARA OBTENER LOS TAMAÑOS PROMEDIOS DE LOS INTERVALOS DE UN ANÁLISIS GRANULOMÉTRICO.***

#### RESUMEN

Obtener el tamaño promedio de un intervalo de tamaños de un Análisis Granulométrico va más allá de si corresponde a un promedio aritmético, geométrico o armónico, debido a esto se intuye que el tamaño promedio de un intervalo debe de estar influenciado por la característica de la muestra (llámese Tamaño Medio y/o Coeficiente de Variación). Se trabaja para esto con las Fracciones Acumuladas Pasantes y su respectivo tamaño, por lo tanto, la pendiente de dicha curva debe de influir en el tamaño medio de los intervalos de tamaño. El tratamiento que se da, es una modificación al Método de Simpson para integrar el área bajo una curva y el concepto matemático de “Valor Medio”. Este método está limitado por la dificultad en el cálculo (aunque se puede programar) y en que no se toma en cuenta la morfología de las partículas

#### DESARROLLO DEL MÉTODO

La ecuación que denota el valor medio de una función  $F(x)$  en un intervalo  $[X_i : X_{i+1}]$  es:

**Ecuación 1**

$$Fi^*(x) = \frac{1}{X_{i+1} - X_i} * \int_{X_i}^{X_{i+1}} F(x) dx$$

Para nuestro caso en particular denotaremos como:

$Fi^*(x)$ : Fracción o Porcentaje Acumulado Pasante Promedio en el intervalo  $[X_i : X_{i+1}]$ .

$F(x)$ : Función de la Fracción o Porcentaje Acumulado Pasante.

$[X_i : X_{i+1}]$ : Intervalo de tamaños donde:

$X_i$ : Tamaño Mínimo del Intervalo.

$X_{i+1}$ : Tamaño Máximo del Intervalo.

En un Análisis Granulométrico efectuado por mallas se obtienen los siguientes datos:

- Tamaños Mínimos y Máximos de los Intervalos de tamaño (estos son las aberturas de las mallas)
- Fracciones (o porcentajes) en Peso

- Fracciones Acumuladas Retenidas
- Fracciones Acumuladas Pasantes.

Para poder usar la Ecuación 1 debemos de obtener la función  $F(x)$ . Esta función lo obtendremos para cada intervalo por medio de una modificación de la Integración de Simpson.

Recuérdese que el método para hallar el valor medio consiste en igualar el área bajo la curva en un intervalo  $[X_i : X_{i+1}]$  con el área igual a un rectángulo de base  $(X_{i+1} - X_i)$  y de altura  $F_i^*(x)$ .

La Integración de Simpson la modificaremos para nuestro objetivo, esto es, necesitamos hallar el área bajo la curva en cada intervalo de tamaño, esto lo efectuaremos de la siguiente manera:

En un análisis granulométrico por mallas obtenemos una tabla similar al siguiente:

**Tabla 1**

| Tamaño Mínimo<br>(Abertura de la Malla) | Fracción (ó Porcentaje)<br>Acumulada Pasante<br>$F(x)$ |
|---|--|
| $X_k$                                   | $F(X_k) = 1 = 100\%$                                   |
| $X_{k-1}$                               | $F(X_{k-1})$   |
| ...                                     | ...  |
| $X_{i+1}$                               | $F(X_{i+1})$   |
| $X_i$                                   | $F(X_i)$   |
| $X_{i-1}$                               | $F(X_{i-1})$   |
| ...                                     | ...  |
| $X_3$                                   | $F(X_3)$   |
| $X_2$                                   | $F(X_2)$   |
| $X_1$                                   | $F(X_1)$   |
| $X_0 = 0$                               | $F(X_0 = 0) = 0 = 0\%$                                 |

Donde:

- $X_{i+1} > X_i$
- $X_k$ : Tamaño a la cual  $F(X_k) = 1 = 100\%$  ó en síntesis, toda la muestra tiene un tamaño menor a  $X_k$ .



- $X_0$  : Tamaño a la cual  $F(X_0) = 0 = 0\%$  ó en síntesis, toda la muestra tiene un tamaño mayor  $X_0$  (obviamente, todas las partículas tienen un tamaño mayor que 0).

Sin entrar a detalles, la integración por el método de Simpson consiste en ajustar tres puntos contiguos (dos intervalos de tamaños contiguos) a una curva cuadrática e integrar.

Por ejemplo:

Los puntos  $(X_{i-1}, F(X_{i-1}))$ ,  $(X_i, F(X_i))$ ,  $(X_{i+1}, F(X_{i+1}))$  se ajustarán a la siguiente ecuación cuadrática.

$$F_i(x) = a_i * x^2 + b_i * x + c_i \quad x \in [X_{i-1} : X_{i+1}]$$

Los coeficientes  $a_i, b_i, c_i$  se obtendrán por la siguiente ecuación:

**Ecuación 2**

$$\begin{bmatrix} a_i \\ b_i \\ c_i \end{bmatrix} = \begin{bmatrix} X_{i-1}^2 & X_{i-1} & 1 \\ X_i^2 & X_i & 1 \\ X_{i+1}^2 & X_{i+1} & 1 \end{bmatrix}^{-1} * \begin{bmatrix} F_i(X_{i-1}) \\ F_i(X_i) \\ F_i(X_{i+1}) \end{bmatrix}$$

Análogamente para  $(X_i, F(X_i))$ ,  $(X_{i+1}, F(X_{i+1}))$ ,  $(X_{i+2}, F(X_{i+2}))$

$$F_{i+1}(x) = a_{i+1} * x^2 + b_{i+1} * x + c_{i+1} \quad x \in [X_i : X_{i+2}]$$

Los coeficientes  $a_{i+1}, b_{i+1}, c_{i+1}$  se obtendrán por la siguiente ecuación:

**Ecuación 3**

$$\begin{bmatrix} a_{i+1} \\ b_{i+1} \\ c_{i+1} \end{bmatrix} = \begin{bmatrix} X_i^2 & X_i & 1 \\ X_{i+1}^2 & X_{i+1} & 1 \\ X_{i+2}^2 & X_{i+2} & 1 \end{bmatrix}^{-1} * \begin{bmatrix} F_{i+1}(X_i) \\ F_{i+1}(X_{i+1}) \\ F_{i+1}(X_{i+2}) \end{bmatrix}$$

Con esto vemos que para el intervalo  $x \in [X_i : X_{i+1}]$  tenemos dos curvas cuadráticas ajustadas. La curva que tomaremos será el promedio aritmético de estas dos.

Es decir:

**Ecuación 4**

$$F_{i,i+1}(x) = \frac{(a_i + a_{i+1})}{2} * x^2 + \frac{(b_i + b_{i+1})}{2} * x + \frac{(c_i + c_{i+1})}{2} \quad x \in [X_i : X_{i+1}]$$

El siguiente paso será hallar el valor medio de  $F_{i,i+1}(x)$

Si reemplazamos la ecuación 4 en la ecuación 1

$$F_{i,i+1}^*(x) = \frac{1}{X_{i+1} - X_i} * \int_{X_i}^{X_{i+1}} \left( \frac{a_i + a_{i+1}}{2} * x^2 + \frac{(b_i + b_{i+1})}{2} * x + \frac{(c_i + c_{i+1})}{2} \right) dx$$

Integrando y evaluando obtenemos:

**Ecuación 5**

$$F_{i,i+1}^* = \frac{(a_i + a_{i+1})}{6} * (X_{i+1}^2 + X_{i+1} * X_i + X_i^2) + \frac{(b_i + b_{i+1})}{4} * (X_{i+1} + X_i) + \frac{(c_i + c_{i+1})}{2}$$

El criterio para hallar el tamaño medio de dicho intervalo es que este tamaño medio reemplazado en la ecuación 4 debe de dar el valor medio; es decir:

$$F_{i,i+1}(\bar{x}_{i,i+1}) = F_{i,i+1}^*$$

$$\begin{aligned} \frac{(a_i + a_{i+1})}{2} * \bar{x}_{i,i+1}^2 + \frac{(b_i + b_{i+1})}{2} * \bar{x}_{i,i+1} + \frac{(c_i + c_{i+1})}{2} &= \\ = \frac{(a_i + a_{i+1})}{6} * (X_{i+1}^2 + X_{i+1} * X_i + X_i^2) + \frac{(b_i + b_{i+1})}{4} * (X_{i+1} + X_i) + \frac{(c_i + c_{i+1})}{2} \end{aligned}$$

Resolviendo esta ecuación cuadrática obtenemos:

**Ecuación 6**

$$\bar{x}_{i,i+1} = \frac{-Q_{i,i+1} \pm \sqrt{4 * K_{i,i+1} + Q_{i,i+1}^2}}{2}$$

Donde:

$$Q_{i,i+1} = \frac{b_i + b_{i+1}}{a_i + a_{i+1}}$$

$$K_{i,i+1} = \frac{X_{i+1}^2 + X_{i+1} * X_i + X_i^2}{3} + \frac{Q_{i,i+1}}{2} * (X_{i+1} + X_i)$$

Vemos que  $\bar{x}_{i,i+1}$  puede tomar dos valores, el valor real será el que cumpla:

$$\bar{x}_{i,i+1} \in [X_i : X_{i+1}]$$

Intervalos especiales:

- $x \in [X_0 : X_1]$  ( $x \in [0 : X_1]$ ) (es decir "x" pertenece al intervalo de tamaños más fino o el material que ha pasado por la malla de mínima abertura utilizada).

Entonces para este intervalo solo podrá ajustarse a una curva que será la obtenida por los siguientes pares ordenados:

$$(0,0), (X_1, F(X_1)), (X_2, F(X_2))$$

$$F_1(x) = a_1 * x^2 + b_1 * x + c_1 \quad x \in [X_1 : X_{i+2}]$$

Por lo tanto, el tamaño medio se hallará por la ecuación 6 pero los factores  $Q, K$  serán:

$$Q_{0,1} = \frac{b_1}{a_1}$$

$$K_{0,1} = \frac{X_1^2}{3} + \frac{Q_{0,1}}{2} * X_1$$

- $x \in [X_{k-1} : X_k]$  (es decir "x" pertenece al intervalo de tamaños más grueso).

Entonces para este intervalo solo podrá ajustarse a una curva que será la obtenida por los siguientes pares ordenados:

$$(X_{k-2}, F(X_{k-2})), (X_{k-1}, F(X_{k-1})), (X_k, 100\%)$$

$$F_{k-1}(x) = a_{k-1} * x^2 + b_{k-1} * x + c_{k-1} \quad x \in [X_{k-2} : X_k]$$

Por lo tanto, el tamaño medio se hallará por la ecuación 6 pero los factores  $Q, K$  serán:

$$Q_{k-1,k} = \frac{b_{k-1}}{a_{k-1}}$$

$$K_{k-1,k} = \frac{X_k^2 + X_k * X_{k-1} + X_{k-1}^2}{3} + \frac{Q_{k-1,k}}{2} * (X_k + X_{k-1})$$

## CONCLUSIONES

Este método no es práctico en el cálculo, pero podría aproximar con una mejor precisión el cálculo de parámetros estadísticos (Tamaño Medio, Varianza, etc.) de una muestra ya que estos tamaños promedios calculados están influidos por el tipo de distribución que presenta una muestra.

Si bien es cierto que no se toma en cuenta la morfología de las partículas, los métodos tradicionales (media Aritmética, Geométrica o Armónica) tampoco tienen en cuenta eso. Cabe recalcar que estos últimos sólo toman en cuenta el intervalo de tamaños para el cálculo de los tamaños promedios.

## APENDICE U: TAMPROM.M

### *PROGRAMA PARA OBTENER LOS TAMAÑOS PROMEDIOS DE LOS INTERVALOS*

% Funcion para hallar el tamaño promedio de los intervalos de un Analisis  
% Granulometrico.

% Ingresar Aberturas de las mallas y los Porcentajes  
% Acumulados Pasantes.

% Nota Importante: Ingresar el tamaño a la cual F=100% (es decir la  
% abertura de malla a la cual pasa toda la muestra.

% tmin: Abertura de la malla  
% F: Fraccion o Porcentaje Acumulado Pasante

```
function tp=tamprom(tmin,F)
```

```
% Ordena en orden ascendente  
mat=[tmin,F];  
mat=sortrows(mat,1);
```

```
X=mat(:,1);  
F_01=mat(:,2);
```

```
Y=[];  
for i=0:length(F_01)-3  
A=[ X(i+1)^2 X(i+1) 1  
X(i+1+1)^2 X(i+1+1) 1  
X(i+2+1)^2 X(i+2+1) 1];  
B=[ F_01(i+1)  
F_01(i+1+1)  
F_01(i+2+1)];
```

```
Yi=A\B;  
Y=[Y Yi];  
end
```

```
% Duplicar la Primera y la Ultima columna  
Ymod_i=[Y(:,1) Y];  
Ymod_ip1=[Y Y(:,length(Y))];
```

```
% Hallar Qi (vector fila)
```

```

Ymod_sum=Ymod_i + Ymod_ip1;
Qi=(Ymod_sum(2,:)./Ymod_sum(1,:))';

% Hallar Ki (Xmod: Vectores columna)
Xmod_i=X(1:length(X)-1,1);
Xmod_ip1=X(2:length(X),1);

Xmod_prod=Xmod_i.*Xmod_ip1;
Xmod_sum=Xmod_i+Xmod_ip1;

Xmod_i_cuad=Xmod_i.^2;
Xmod_ip1_cuad=Xmod_ip1.^2;

Ki=(Xmod_ip1_cuad+Xmod_prod+Xmod_i_cuad)/3+Qi.*Xmod_sum/2;

%Calculo de los tamaños promedios
Xprom_1=(-Qi+sqrt(4*Ki+Qi.^2))/2;
Xprom_2=(-Qi-sqrt(4*Ki+Qi.^2))/2;

TamProm=[];
for i=1:length(Xprom_1)
    if Xprom_1(i)>Xmod_i(i) & Xprom_1(i)<Xmod_ip1(i)
        TamProm=[TamProm;Xprom_1(i)];
    else
        TamProm=[TamProm;Xprom_2(i)];
    end
end
tp=-sort(-TamProm);

```

## APENDICE V:

### INTERPOLACION DE LAGRANGE

Se tiene la siguiente tabla de valores de X e Y.

**Tabla 2**

|     |    |    |    |    |     |        |    |
|-----|----|----|----|----|-----|--------|----|
| (X) | X1 | X2 | X3 | X4 | ... | X(n-1) | Xn |
| (Y) | Y1 | Y2 | Y3 | Y4 | ... | Y(n-1) | Yn |

La expresión para la interpolación es la siguiente:

**Ecuación 7**

$$Y = Y_1 * \frac{(X - X_2)(X - X_3)...(X - X_n)}{(X_1 - X_2)(X_1 - X_3)...(X_1 - X_n)} + Y_2 * \frac{(X - X_1)(X - X_3)...(X - X_n)}{(X_2 - X_1)(X_2 - X_3)...(X_2 - X_n)} + \dots$$
$$\dots + Y_n * \frac{(X - X_1)(X - X_2)...(X - X_{(n-1)})}{(X_n - X_1)(X_n - X_2)...(X_n - X_{(n-1)})}$$

Nota: La deducción de esta fórmula se encuentra en el texto:

“Computaciones Gráficas y Mecánicas”

Joseph Lipka